

The background image shows a wide-angle view of a deep, narrow canyon with layered rock walls. A waterfall flows down the left side of the canyon, creating a misty spray at the bottom. The water then flows into a larger pool where several small boats are visible. The surrounding area is lush with green vegetation.

ISSN 1512-407X

ISSN 1512-407X

სამთო უნივერსიტეტი

1(43) Mining Journal
Горный Журнал 2020

სამთოის
სამსახური
სამთორმაციო
ანალიზური
რეფერირებადი

პიმიური შექმლობის

Degussa-Huls

www.cyplus.com

Nalco

www.nalco.com

კონსულტაციები

Australian Mining Consultants

www.minesite.aust.com

Knight Piesold

www.knightpiesold.com

MJRS

www.mjrs.com

SRK

www.srk.co.uk

საინჰინერო კომპანიები

Bateman

www.bateman.co.za

Kvaerner

www.kvaerner.com

McIntosh Redpath Engineering

www.mcintoshengineering.com

MDM

www.mdm-eng.co.za

ჰიდროტექნიკობის

Universal Hydraulics

www.universalhydraulics.co.uk

გასაღების გადაზიდვა

Boart Longyear

www.boartlongyear.com

Roxon

www.roxongroup.com

Svedala

www.svedala.com

ტეალისეულის გამძიდვება

Larox

www.larox.com

Nordberg

www.nordberg.com

Outokumpu Mintec

www.outokumpu.com

Svedala

www.svedala.com

სამორ ინფორმაცია

Mining Journal

www.mininginformation.com

www.miningevents.com

სამორ პროგრამული

uzrunvelyofa

Mintec

www.mintec.com

მილსაღები სისტემები

Alvenius Industrier

www.alvenius.se

Victaulic

www.victaulic.com

www.mmsi.com

O'K Mining

www.ok-mining.com

Padley and Venables

www.padley-venables.com

Rockmore International

www.rockmore-intl.com

Sandvik Rock Tools

www.sandvik.com

Sandvik Tamrock

www.sandviktamrock.com

Voest Alpine

www.vaeimco.com

საბაზო მილისების დამუშავება

Atlas Copco

www.atlascopco.com

www.copdrill.com

Atlas Copco Wagner

www.atlascopco.com

Boart Longyear

www.boardlongyear.com

Caterpillar

www.CAT.com

Fosroc Mining

www.fosrocmining.com

Ingersoll-Rand

www.irgmg.com

MBT/Meyco

www.ugc.mbt.com

McIntosh Redpath Engineering

www.mcintoshengineering.com

Modular Mining Systems

www.mmsi.com

Padley and Venables

www.padley-venables.com

Rockmore International

www.rockmore-intl.com

Sandvik Rock Tools

www.sandvik.com

Sandvik Tamrock

www.sandviktamrock.com

Siemag Transplan

www.siemag.de

Swedeneers Minetech

www.swedeneers.com

Voest Alpine

www.vaeimco.com

სარჩევი - СОДЕРЖАНИЕ - CONTENTS

გეოლოგია	
ა. ხაჩაბუანი, ნ. გიგია, გ. მცვიძე, თ. გურული განლინილური თიხების დისარქისტულობის მაპამაღლებრივი და მთელი მცველობრივი არამონიული მაპებისათვის.....	5
ღ. პლუზიული, გ. მიხეილიშვილი გუარერეთი-ტყაროსთავის (ხარკვი) მაციანი ველის სტრატიგიულ-არეალობრივი არამონი.....	9
ა. ჩახვიძე, გ. კავთაძე გოლინის მაფიანი რაიონის გეოლოგიის ზოგიერთი საკითხი.....	5
სამთო მრეწველობის პროცესები	
ა. გალაგონი, გ. კალილიანი, ნ. ლიმიძე, ღ. ძალევილიშვილი მარგალურის მრეწველობის ნარჩენების ზოგ- ორის მრავალრიცხვიანი გათი სასურავი მიკრობლებითი ჩართვის მიზნი.....	18
ა. გაგანიანი პარიერის მეპარიური მოწოდებულობის უსაფრთხო ემსალურატაციისა და რეორნის მოთხოვები.....	21
ა. ჯავიძე, ა. სიჭაჩავა, ს. სიმინავა სს „ვადეულის“ პარიერის და ცაყანქვ- უა მუნიციპალიტეტის საილენდის ავოსაღები საცხოვრისო რეაქტორების მასიურებელი პიდრეაბლივური კავებისა და რეგულირების დოკუმენტითა დაცულებება.....	26
აუტომატის ენერგიის გამოყენება	
ა. ვალერიანი, გ. ვალერიანი, თ. იავალი, გ. პირავანი აუტომატის აროვერების მეპარიზე.....	35
ს. კაჭაბეგიძე, ა. აურიანიძე, გ. არაიაძე აუტომატის ენერგიის გამოყენების სის- ტერმინი რეაქტორების მოწოდებით მუნიციპალიტეტი გამოიყენება მუნიციპალიტეტის მიზნები.....	41
ა. სახალიშვილი, გ. გოგიაძე, ა. დიმიტრიანი, გ. თამაზიძე ქალაქის მდებარეობისათვის სიმარტ რეკლამი მდებარეობის დამზადება აუტომატის მოწოდების 47	47
ღ. ცვირავა, გ. პატარევი, ს. კავთაძე, გ. ვალევანი, გაკალავი დ. კირიაკი, გ. არაშვილი ალექსანდრეს გამორინებული მიზნების სის- ტერმინი რეაქტორების მიზნები.....	49
პრატისტი	
ა. დავითაშვილი, თ. რიგავაშვილი, გ. დავითაშვილი ს. სიმინავა მიზნისმიზან დიოტონის კონსტრუქციების კატოლიკი დაცვის კონცესაციონული აღმაღური დამზადება.....	53
უსაფრთხოების მემკინებელი	
ღ. დავითაშვილი, თ. რიგავაშვილი, გ. დავითაშვილი, ს. სიმინავა მიზნისმიზან დიოტონის კონსტრუქციების კატოლიკი დაცვის კონცესაციონული აღმაღური დამზადება.....	58
თ. ფინანსების	
მოვნის მიზნის გაანგარიშებები საკარისენ ავორიზაციანის მუშაობისას.....	61
პრატი	
ა. ჯავაგონი, თ. მოვავავაშვილი, გ. ლოსაბერიძე, ს. ვაჟამარიაშვილი პლიტური ტიპის კონსენტრაციი მიზნები ტანკის მდგრადრის გაანგარიშების პრატის მიზნები მუნიციპალიტეტი აუტოზო.....	65
ეკოლოგია	
ა. ვალერიანი, თ. მოვავავაშვილი, გ. ლოსაბერიძე, ს. ვაჟამარიაშვილი პლიტური ტიპის კონსენტრაციი მიზნები ტანკის მდგრადრის გაანგარიშების პრატის მიზნები მუნიციპალიტეტი აუტოზო.....	65
ეკონომიკა	
ა. ვალერიანი, ს. სამირანიძე, გ. კარაშვილი, ღ. ჩახაძე, მ. გაგანიანი, თ. მისამარი თიხების მაფიანი რაიონის მიზნები მოდიფიცირების რეზისის უზრუნველყოფა მათი პუნქტუაციი აძმინდვების მიზნი.....	76
ა. ლოაჯაძე, გ. დაგაბაძე, გ. ცაინიაშვილი სამთო-სამრეცველო კლასიფიკაციის ურთიერთების ართერციალის აძმულური ასამაღები იმურითის რეზისი.....	77
იურიდიკი	
მოლიცე მოწოდები მაპატარები 80.....	95
ავორიზაცია საკურადაცვული	99

საქართველო - СОДЕРЖАНИЕ - CONTENTS

ГЕОЛОГИЯ

ХАЧАТУРЯН К.К., ГЕГИЯ Н.А., ЭНУКИДЗЕ Г.Ш., ГУРУЛИ Т.С.	
ИССЛЕДОВАНИЕ И ОЦЕНКА ДИСПЕРСНОСТИ	
БЕНТОНИТОВЫХ ГЛИН И ЕЕ ЗНАЧЕНИЕ ДЛЯ	
ПРАКТИЧЕСКОГО ПРИМЕНЕНИЯ9	

БЛУАШВИЛИ Д.И., МИНДИАШВИЛИ Г.Г.	
СТРУКТУРНО-ГЕОЛОГИЧЕСКАЯ ПОЗИЦИЯ	
ГУДЖАРЕТИ-ЦКАРОСТАВСКОГО (ХАЧКОВИ)	
РУДНОГО ПОЛЯ14	

ГАГНИДЗЕ М.Р., КВИЦИАНИ А.А.	
НЕКОТОРЫЕ ВОПРОСЫ ГЕОЛОГИИ БОЛНИССКОГО	
РУДНОГО РАЙОНА18	

ПРОБЛЕМЫ ГОРНОЙ ПРОМЫШЛЕННОСТИ	
МАЛАШХИА Ш.С., КАНДЕЛАКИ М.Ш., ЛОМИДЗЕ Н.Н.,	
КАРТВЕЛИШВИЛИ Л.Г.	
МИКРОБИОЛОГИЧЕСКАЯ ТРАНСФОРМАЦИЯ	
ОТХОДОВ ПРОИЗВОДСТВА МАРГАНЦА	
С ЦЕЛЬЮ ИХ ВКЛЮЧЕНИЯ КАК	
МИКРОЭЛЕМЕНТА В УДОБРЕНИЯХ.....21	

БЕЖАНИШВИЛИ А.Г.	
ТРЕБОВАНИЯ БЕЗОПАСНОЙ ЭКСПЛУАТАЦИИ И	
РЕМОНТА МЕХАНИЧЕСКОГО ОБОРУДОВАНИЯ	
КАРЬЕРА26	

ДЖАНГИДЗЕ М.В., СИЛАГАДЗЕ В.А., СТЕРЯКОВА С.И.	
РАЗРАБОТКА МЕРОПРИЯТИЙ САМОТЕЧНОГО	
ГИДРАВЛИЧЕСКОГО ПИТАНИЯ И РЕГУЛИРОВАНИЯ	
ЦЕМЕНТАЦИОННЫХ РЕАКТОРОВ ДЛЯ ИЗВЛЕЧЕНИЯ	
МЕДИ ИЗ КИСЛЫХ ВОД АО «МАДНЕУЛЬСКОГО»	
КАРЬЕРА И ОТВАЛЬНОГО ПОДДОНА34	

ИСПОЛЬЗОВАНИЕ ЭНЕРГИИ ВЗРЫВА	
НАДИРАШВИЛИ М.Д., ВАРШАНИДЗЕ Я.З., ИАШВИЛИ Т.Т.,	
БЕИНАШВИЛИ Г.Г.	
МЕХАНИЗМ ВЗРЫВНЫХ ПРОЦЕССОВ41	

КУЧУХИДЗЕ З.К., АПРИАШВИЛИ А.Г.,	
ТХЕЛИДЗЕ Г.З., АБЕСАДЗЕ Н.А.	
СПОСОБЫ СНИЖЕНИЯ СЕЙСМИЧЕСКИХ	
ВИБРАЦИЙ, ВЫЗВАННЫХ ВЗРЫВОМ46	

ЧАГЕЛИШВИЛИ Э.Ш., ГОДИБАДЗЕ Б.А., ДГЕБУАДЗЕ А.А.,	
ТУТБЕРИДЗЕ М.Л.	
ПРОИЗВОДСТВО ТЕПЛООТРАЖАЮЩИХ	
ЭЛЕМЕНТОВ ВЗРЫВНОЙ ТЕХНОЛОГИЕЙ	
ДЛЯ СИЛОВОЙ ЭЛЕКТРОНИКИ53	

ЦВЕРАВА Д.Т., БЕЖАНОВ Ф.Х., КВИНИКАДЗЕ С.М., ВАНИШВИЛИ А.Л.,	
КИРТАДЗЕ Л.Б., АБАШИДЗЕ Г.С.	
РЕЗУЛЬТАТЫ ИСПЫТАНИЙ ПЛАСТБЕТОНОВ ПРИ	

ПОВЫШЕННЫХ И ВЫСОКИХ ТЕМПЕРАТУРАХ И НА	
ВОСПЛАМЕНЕНИЕ (ГОРЮЧЕСТЬ)58	

ТЕХНИКА БЕЗОПАСНОСТИ

ЛЕЛУАШВИЛИ Л.В., РИГИШВИЛИ Т.Р., ЛЕЛУАШВИЛИ Г.Л.,	
СТЕРЯКОВА С.И.	
КОНДЕНСАТОРНЫЙ АНОДНЫЙ ЗАЗЕМЛИТЕЛЬ ДЛЯ	
КАТОДНОЙ ЗАЩИТЫ60	

ПИРЦХАЛАВА Т.Г.	
РАСЧЕТ ЭМИССИИ ПЫЛИ ПРИ РАБОТЕ КАРЬЕРНОГО	
АВТОТРАНСПОРТА64	

АНАЛИЗ

ДЖАПАРИДЗЕ Л.А., ГОБЕДЖИШВИЛИ Т.Г., ЛОСАБЕРИДЗЕ М.В.,	
ДЕМЕТРАШВИЛИ С.А.	
СРАВНИТЕЛЬНЫЙ АНАЛИЗ СУЩЕСТВУЮЩИХ	
МЕТОДОВ РАСЧЕТА КОНСЕКВЕНТНЫХ	
ОПОЛЗНЕВЫХ ТЕЛ БЛОЧНОГО ТИПА70	

ЭКОНОМИКА

ШАПАКИДЗЕ Е.В., СХВИТАРИДЗЕ Р.Е., КАМУШАДЗЕ И.Г., ГАБУНИЯ Л.В.,	
ГЕДЖАДЗЕ И.В., ЧЕИШВИЛИ О.Ю., ПЕТРИАШВИЛИ Т.Т.	
РАЗРАБОТКА РЕЖИМА ТЕРМИЧЕСКОГО	
МОДИФИЦИРОВАНИЯ ГЛИНИСТЫХ	
ПОРОД С ЦЕЛЬЮ ИХ ПУЦЦОЛНОВОЙ	
АКТИВАЦИИ71	

ЛОБДЖАНИДЗЕ Г.З., ТАБАТАДЗЕ Г.Д., НАНИТАШВИЛИ Г.Ж.	
АКТУАЛЬНЫЕ АСПЕКТЫ ПОТЕНЦИАЛА	
ФОРМИРОВАНИЙ ГОРНО-ПРОМЫШЛЕННОГО	
КЛАСТЕРА В ИМЕРЕТИНСКОЙ ОБЛАСТИ94	

ЮБИЛЕЙ

ГОДЕРДЗИ ТАБАТАДЗЕ – 8095	
К СВЕДЕНИЮ АВТОРОВ97	

საქართველო - СОДЕРЖАНИЕ - CONTENTS

GEOLOGY

KHACHATURIAN K., GEGIA N., ENUKIDZE G., GURULI T.	
RESEARCH AND ASSESSMENT OF DISPERSION OF BENTONITIC CLAYS AND ITS VALUE FOR PRACTICAL APPLICATION.....	9

BLUASHVILI D., MINDIASHVILI G.	
STRUCTURAL-GEOLOGICAL POSITION OF GU- JARETI-TSKAROSTAVI (KHACHKHOV) ORE FIELD	14

GAGNIDZE M., KVITSIANI A.	
GENERAL ISSUES OF BOLNISI ORE DISTRICT GEOLOGY	18

PROBLEMS OF MINING INDUSTRY

MALASHKHA SH., KANDELAKI M., LOMIDZE N., KARTVELISHVILI L.	
BIO-TRANSFORMATION OF WASTE FROM THE MAN- GANANESE INDUSTRY INTO MICROELEMENTS IN THEIR FERTILIZERS	21

BEZHANISHVILI A.	
REQUIREMENTS OF SAFETY EXPLOITATION AND REPAIR OF MECHANICAL EQUIPMENT OF QUARRY	26

JANGIDZE M., SILAGADZE V., STERIAKOVA S.	
DEVELOPMENT OF ACTIVITIES OF GRAVITY HYDRAULIC FEED AND REGULATION OF CEMENTATION REACTORS FOR EXTRACTION OF COPPER FROM ACID WATER OF JSC "MADNEULI" CAREER AND DUMP PALLET	34

APPLICATION OF EXPLOSIVE ENERGY

NADIRASHVILI M., VARSHANIDZE I., IASHVILI T., BEINASHVILI G.	
MECHANISM OF EXPLOSIVE PROCESSES.....	41

KUCHUKHIDZE Z., APRIASHVILI A., TKHELIIDZE G., ABESADZE N.	
THE WAYS TO REDUCE THE SEISMIC VIBRATIONS GENERATED BY THE EXPLOSION	46

CHAGELISHVILI E., GODIBADZE B., DGEBUADZE A., TUTBERIDZE M.	
PRODUCTION OF HEAT-REFLECTING ELEMENTS BY EXPLOSIVE TECHNOLOGY FOR POWER ELECTRONICS	53

TSVERAVA D., BEZHANOVI F., KVINIKADZE S., VANISHVILI A., KIRTHADZE L., ABASHIDZE G.	
TEST RESULTS OF POLYMER CONCRETE AT ELEVATED AND HIGH TEMPERATURES AND ON INFLAMMATION (FLAMMABILITY	58

SAFE TECHNICS

LELUASHVILI L., RIGISHVILI T., LELUASHVILI G., STERYAKOVA S.	
CONDENSING ANODIC GROUNDING OF CATHODIC PRO- TECTION	60

PIRTSKHALAVA T.

CALCULATION OF EMISSION OF DUST AT WORK OF CA- REER MOTOR TRANSPORT	65
--	----

ANALYSIS

JAPARIDZE L., GOBEJISHVILI T., LOSABERIDZE M., DEMETRASHVILI S.	
COMPARATIVE ANALYSIS OF EXISTING METHODS FOR CALCULATING CONSEQUENTIAL LANDSLIDE BODIES OF BLOCK TYPE	70

EKONOMICS

SHAPAKIDZE E., SKHVITARIDZE R., KAMUSHADZE I., GABUNIA L., GE- JADZE I., CHEISHVILI O., PETRIASHVILI T.	
DEVELOPMENT OF THE REGIME OF THERMAL MODIFICATION OF CLAYEY ROCKS FOR THEIR POZZOLANIC ACTIVATION	76

LOBJANIDZE G., TABATADZE G., NANITASHVILI G.	
CURRENT ASPECTS OF THE POTENTIAL FOR MINING-INDUSTRIAL CLUSTERS FORMATION IN THE IMERETI REGION	94

IUBILEE	
GODERDZI TABATADZE – 80	95

ATTENTION	98
-----------------	----

აკად. დოკტორი პ. ხაჩატურიანი, აკად. დოკტორი ნ. გეგია,

გ. თელავი, თ. გურული

გენერაციული თიხეპის დისარსიულობის გამოკვლევა-შეკვეთა და მისი მიზანის განვითარებისთვის

ანოტაცია. სტატიაში მოცემულია ბენტონიტების ერთ-ერთი მნიშვნელოვანი ტექნოლოგიური პარამეტრის – ღისერსიულობის მოკლე აღწერა და მისი გაუმჯობესების გზები. გამოკვლეულია საქართველოს ჩურჩულო-ჭიხელისა და განისქერდის საბაზოების ბენტონიტური თიხები, შესაბარებლად კი შესწავლილია ვაიომინგის (აშშ) და საბერძნეთის ბენტონიტური თიხები. დადგენილია, რომ ჩურჩულო-ჭიხელის ბენტონიტები ბუნებრივი სახით არიან ძლიერ ავრცელებული და პრაქტიკულად არ შეიცავენ კოლოიდურ წვრილდისპერსიულ ფრაქციას, რომელიც თითქმის არ იცვლება პეტიტორით (5, 7 და 9% $\text{Na}_4\text{P}_2\text{O}_7$) დამუშავების შედეგად. ვანისქერდის ბენტონიტი ნატრიუმის პიროვოსფატის მოქმედებისას მოზღვული დისპერსიულობის მონაცემებით ჩამორჩება აშშ-ს ბენტონიტები, მაგრამ ის ამჟღავნებს მსგავსებას საბერძნეთის ბენტონიტურ თიხასთან, რაც მნიშვნელოვანია მისი პრაქტიკული გამოყენებისთვის.

საბმანო სიტუაცია: საბაზო; ბენტონიტური თიხა; მონტმორილონიტი; მიმოცვლითი კატიონები; დისპერსიულობა; სედიმენტაციური მეთოდი; წვრილდისპერსიული ფრაქცია; პეტიტოზატორი.

ბენტონიტური თიხების ხარისხის ერთ-ერთი მნიშვნელოვანი მაჩვენებელია მათი ღისერსიულობა ბუნებრივ მდგრამარებაში და ნატრიუმის მარილებით დამუშავებისას ადვილად დისპერგირების უნარი. ღისერსიულობა დამოკიდებულია მიმოცვლითი კატიონების სახეობაზე და მათ რაოდენობაზე: რაც უფრო მეტია ბენტონიტის ნაწილაკების დიფუზურ შრეში ტუტე მეტალების მიმოცვლითი კატიონების რაოდენობა, მთელ უფრო მაღალია მისი ღისერსიულობა. ტუტე ბენტონიტები ამჟღავნებენ მაღალ დისპერსიულობას, ვინაიდან წყლის მოლეკულებსა და წვრილდისპერსიულ ნაწილაკებს შორის არსებული კავშირის გამო ეს უკანასკნელი წყლის არეში ხანგრძლივი დროის განმავლობაში იმყოფებიან შეწონილ მდგრამარებაში; აღნიშნულ თიხებში წვრილდისპერსიული ფრაქციის რაოდენობა აღწევს 60-90 %-ს. ტუტემიწა ბენტონიტები ამჟღავნებენ დაბალ დისპერსიულობას, რადგანაც მათ დიფუზურ შრეში სჭარბობს კალციუმის და მაგნიუმის სუსტად ჰიდრატირებული მიმოცვლითი კატიონები, რომლებიც მჭიდროდ აკავშირებენ თიხის ნაწილაკებს ერთ-მანეთთან, ხოლო წყლის არეში უკანასკნელი იშლებიან მსხვილ აგრეგატებად, რომლებსაც არ შეეძლიათ დაღხანს ყოფნა შეწონილ მდგრამარებაში და ისინი სწრაფად იღებებიან. ტიპიურ ტუტემიწა ბენტონიტებში ნატრიუმის ონების მცირე რაოდენობით შეყვნა იწვევს წვრილდისპერსიული ფრაქციის გამოსავლის ზრდას [1].

ღისერსიულობის განსაზღვრის არსებული სხვადასხვა მეთოდებიდან ბენტონიტებისთვის საუკეთესო შედეგები მიიღება სედიმენტაციური მეთოდით, რომლის გამარტივებული ვარიანტი შემუშავებულია და მრა-

ვალი წლის განმავლობაში გამოიყენება ალექსანდრე თვალჭრელიძის სახელობის მინერალური ნედლეულის კავკასიის ინსტიტუტში [2].

მოცემული კვლევის მიზანს წარმოადგენს ბენტონიტური თიხების ერთ-ერთი ძირითადი ტექნოლოგიური პარამეტრის – ღისერსიულობის გამოკვლევა და შეფასება. ჩატარდა საქართველოს ჩურჩულო-ჭიხელისა და ვანისქედის საბაზოების ბენტონიტური თიხების დისპერსიული ანალიზი, შესაბარებლად კი გამოკვლეული იყო აშშ-ს (ვაიომინგი №1) და საბერძნეთის ბენტონიტები.

რენტგენოფაზური ანალიზით დადგენილ იქნა წარმოდგენილი სინჯების პოლიმინერალური აგებულება; ყველა მათგანში იდენტიფიცირებულია $\text{Ca}-\text{მონტმორილონიტი}$, ამასთანვე ვანისქედის და საბერძნეთის ბენტონიტებში მისი სტრუქტურა მოწესრიგებულია მაღალი ხარისხით, ხოლო ჩურჩულო-ჭიხელის სინჯებში ის საშუალოდ დაკრისტალებულია. მინარევების სახით სინჯები ძირითადად შეიცავს $\text{Ca}-\text{მინდვრის}$ შპატსა და კვარცს, ხოლო ქარსი, ა-კრისტობალიტი, კალციტი და კაოლინიტი წარმოდგენილია კვალის სახით. ქიმიური ანალიზის მონაცემებით მათში ტუტემიწა კატიონების შეცველობა მნიშვნელოვანდ აღმატება ტუტე

კატიონების რაოდენობას. გამოსაკვლევი თიხების აგრეგირების ხარისხისა და არათიხური მინერალებით მათი დაბინძურების დადგენის მიზნით, ღისერსიულობის განსაზღვრა ჩატარდა როგორც ბუნებრივი სახით, ასევე ნატრიუმის პიროვოსფატი (Na₄P₂O₇) დამუშავების შემდეგ, რომელიც, როგორც ცნობილია, თიხებისთვის არის ყველაზე უფრო უფექტური პეტიტოზატორი. სინჯების დაწვრილმანების ხარისხი შეადგენდა -5+0 მმ-ს; ცდები ასევე ჩატარდა -2+1 მმ ფრაქციაზე: ორივე ფრაქციის შემთხვევაში თიხერ სუსპენზიებში პეტიტიზატორის შეყვანის შემდეგ მიღებულია პრაქტიკულად ერთნაირი შედეგი.

ცხრილში 1 მოყვანილია Na₄P₂O₇-ს სხვადასხვა რაოდენობის დამატებისას მიღებული ბენტონიტური თიხების ღისერსიულობის ცვლილების შედეგები. ცხრილის მონაცემებით, ჩურჩულო-ჭიხელის საბაზოს ყველა შესწავლილი სინჯი არის უხეშდისპერსიული: I ფრაქციის გამოსავალი მაღალია და საშუალოდ აღწევს ~ 52 %-ს; ეს სინჯები პრაქტიკულად არ შეიცავს ყველაზე მნიშვნელოვან კოლოიდურ წვრილდისპერსიულ III ფრაქციას (სინჯებში №1 და №5 მისი შემცველობა შეადგებს შესაბამისად მხოლოდ 1,11 და 4,90 %-ს); II ფრაქციის შემცველობა მათში შეადგენს საშუალოდ ~ 47 %-ს. 5 %-ანი პეტიტიზატორით დამუშავების შემდეგ მიმდინარეობს უხეშდისპერსიულიფრაგენის ნაწილობრივი დეზაგრეგაცია, რის ხარჯზე შუალედური II ფრაქციის საშუალო გამოსავალი, ბუნებრივთან შედარებით, ოდნავ იმატებს, ასევე უმნიშვნელოდ იმატებს III ფრაქციის საშუალო გამოსავალიც.

გეოლოგია - GEOLOGY

როდესაც თიხა ძლიერ აგრეგირებულია, სუსპენზიაში უმნიშვნელოდ და შეადგინა ~ 10 %-ს; 9 %-ანი $\text{Na}_4\text{P}_2\text{O}_7$ -თ დამუშავების შედეგად სინჯების დისპერსიულობა ფრაქციების მიხედვით თითქმის არ შეიცვალა: ფრაქციების სიღიღები დარჩა ისეთივე, როგორიც იყო 7 %-ანი $\text{Na}_4\text{P}_2\text{O}_7$ -თ დამუშავების შემდეგ. აქედან გამომდინარე, ჩურჩუტო-ჭინელის შესწავლილი სინჯებისთვის ოპტიმალურია 7 %-ანი $\text{Na}_4\text{P}_2\text{O}_7$ -თ დამუშავება. მიღებული შედეგებით დადგინდა, რომ სინჯების დამუშავება ნატრიუმის შესაბამისად გაიზარდა და შეადგინა საშუალოდ ~ 54 %-ს, ხოლო III ფრაქციის საშუალო გამოსავალი შეიცვალა

ცხრილი 1

ბენტონიტური თიხების დისპერსიულობა

№ №	ბენტონიტის საბადო	დისპერსიულობა ფრაქციების მიხედვით		
		I ფრაქცია > 60 მკ	II ფრაქცია 1,5-60 მკ	III ფრაქცია <1,5 მკ
1	ჩურჩუტო-ჭინელი სინჯი № 1			
	-,- ბუნებრივი სახით	48,0	50,89	1,11
	-,- დამუშავებული 5 % $\text{Na}_4\text{P}_2\text{O}_7$	44,0	50,47	5,53
	-,- დამუშავებული 7 % $\text{Na}_4\text{P}_2\text{O}_7$	33,8	59,40	6,80
	-,- დამუშავებული 9 % $\text{Na}_4\text{P}_2\text{O}_7$	33,6	55,33	11,07
2	ჩურჩუტო-ჭინელი სინჯი № 2			
	-,- ბუნებრივი სახით	52,5	47,50	0
	-,- დამუშავებული 5 % $\text{Na}_4\text{P}_2\text{O}_7$	47,0	45,09	7,91
	-,- დამუშავებული 7 % $\text{Na}_4\text{P}_2\text{O}_7$	40,0	51,78	8,22
	-,- დამუშავებული 9 % $\text{Na}_4\text{P}_2\text{O}_7$	34,8	52,55	12,65
3	ჩურჩუტო-ჭინელი სინჯი G _{4/2}			
	-,- ბუნებრივი სახით	64,9	35,10	0
	-,- დამუშავებული 5 % $\text{Na}_4\text{P}_2\text{O}_7$	59,5	34,97	5,53
	-,- დამუშავებული 7 % $\text{Na}_4\text{P}_2\text{O}_7$	53,8	34,34	11,86
	-,- დამუშავებული 9 % $\text{Na}_4\text{P}_2\text{O}_7$	53,0	34,82	12,18
4	ჩურჩუტო-ჭინელი სინჯი G _{5/2}			
	-,- ბუნებრივი სახით	47,5	52,50	0
	-,- დამუშავებული 5 % $\text{Na}_4\text{P}_2\text{O}_7$	29,3	64,69	6,01
	-,- დამუშავებული 7 % $\text{Na}_4\text{P}_2\text{O}_7$	11,7	80,87	7,43
	-,- დამუშავებული 9 % $\text{Na}_4\text{P}_2\text{O}_7$	17,0	77,47	5,53
5	ჩურჩუტო-ჭინელი სინჯი № 5			
	-,- ბუნებრივი სახით	45,0	50,10	4,90
	-,- დამუშავებული 5 % $\text{Na}_4\text{P}_2\text{O}_7$	39,8	49,45	10,75

გეოლოგია - GEOLOGY

	-,- დამუშავებული 7 % $\text{Na}_4\text{P}_2\text{O}_7$	42,0	44,87	13,13
6	ვანისქედი - 1			
	-,- ბუნებრივი სახით	29,15	55,27	15,58
	-,- დამუშავებული 5 % $\text{Na}_4\text{P}_2\text{O}_7$	12,85	54,02	33,13
	-,- დამუშავებული 7 % $\text{Na}_4\text{P}_2\text{O}_7$	7,0	47,0	46,0
	-,- დამუშავებული 9 % $\text{Na}_4\text{P}_2\text{O}_7$	7,0	37,0	56,0
7	ვაიომინგი № 1			
	-,- ბუნებრივი სახით	2,3	18,95	78,75
	-,- დამუშავებული 5 % $\text{Na}_4\text{P}_2\text{O}_7$	2,5	12,42	85,08
	-,- დამუშავებული 7 % $\text{Na}_4\text{P}_2\text{O}_7$	2,5	14,32	83,18
	-,- დამუშავებული 9 % $\text{Na}_4\text{P}_2\text{O}_7$	2,2	11,61	86,19
8	საბერძნეთი			
	-,- ბუნებრივი სახით	36,0	54,04	9,96
	-,- დამუშავებული 5 % $\text{Na}_4\text{P}_2\text{O}_7$	21,2	45,43	33,37
	-,- დამუშავებული 7 % $\text{Na}_4\text{P}_2\text{O}_7$	19,5	33,06	47,44
	-,- დამუშავებული 9 % $\text{Na}_4\text{P}_2\text{O}_7$	11,3	33,35	55,35

პიროფოსფატის გაზრდილი რაოდენობითაც თითქმის არ ზრდის კოლოიდური ფრაქციის გამოსავალს; სავარაუდოდ, ეს იმით არის განპირობებული, რომ ჩურჩუტო-ჭიშელის თიხის ნაწილაკები ძლიერ შეცემნებულია წყალში ძნელად ხსნადი ნივთიერებებით.

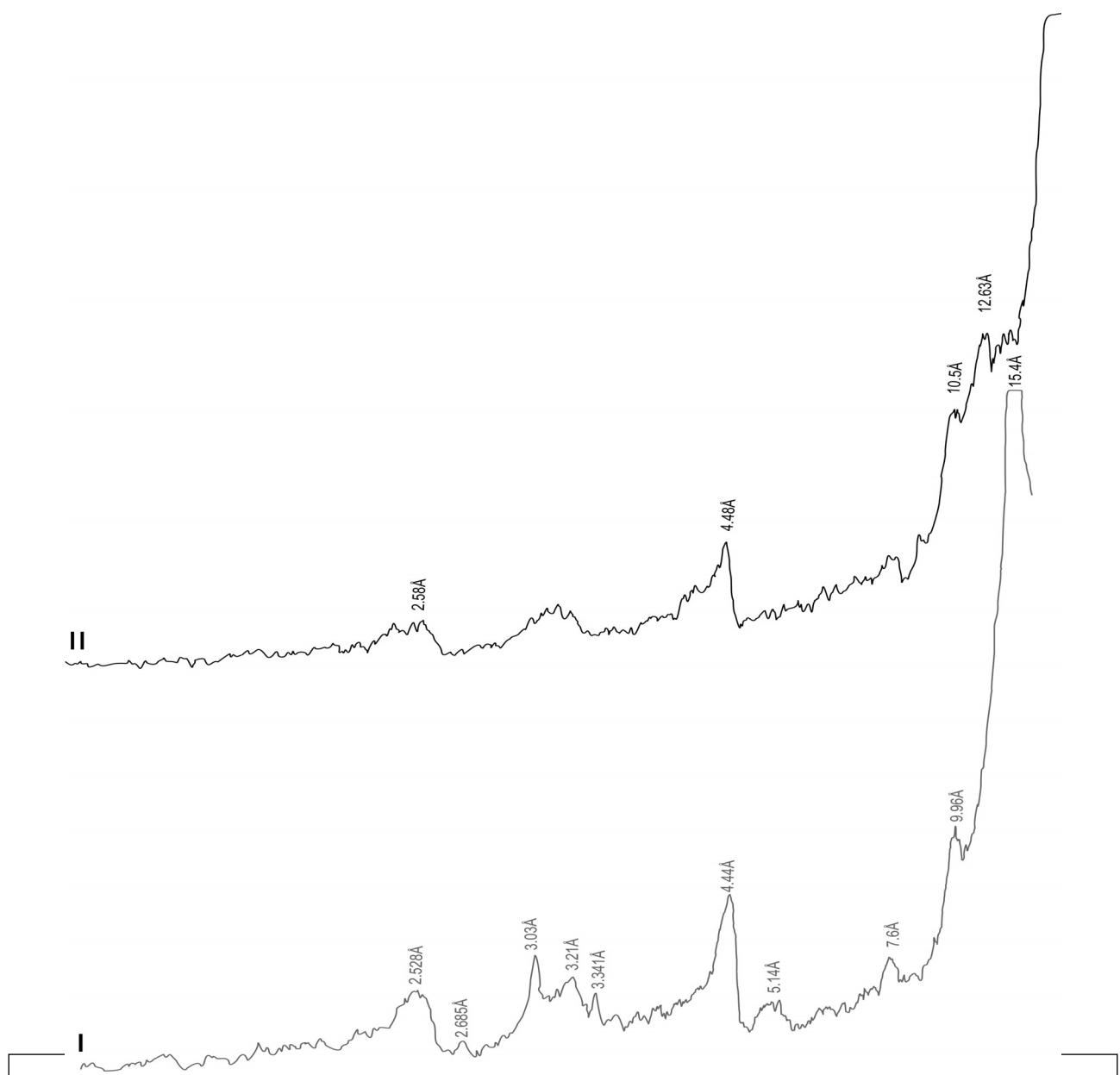
ბუნებრივ მდგომარეობაში ვანისქედის-1 სინჯში ფრაქციები განაწილებულია შემდეგანარად: I ფრაქციის გამოსავალი შეადგენს ~ 29 %-ს, II ფრაქციის გამოსავალი ~ 55 %-ს, ხოლო III ფრაქციის გამოსავალი ~ 16 %-ს. 5 %-ანი $\text{Na}_4\text{P}_2\text{O}_7$ -თ დამუშავების შემდეგ III ფრაქციის გამოსავალი იზრდება ~ 33 %-მდე; 7 %-ანით დამუშავების შემდეგ ის უკვე შეადგენს 46 %-ს, ხოლო 9 %-ანით დამუშავების შემდეგ კი მისი გამოსავალი შეადგენს 56 %-ს. III კოლოიდური ფრაქციის აღნიშნული მატება მიმდინარეობს, ძირითადად, I და II ფრაქციების დეზაგრეგირების ხარჯზე. მაშასადამე, მიღებული მონაცემებიდან გამომდინარეობს, რომ ვანისქედის-1 სინჯისთვის 9 %-ანი $\text{Na}_4\text{P}_2\text{O}_7$ -თ დამუშავება არის ოპტიმალური; ის იწვევს სინჯის მაქსიმალურ დეზაგრეგირებას და წვრილდესპერსიული ფრაქციის გამოსავალი მიყავს ისეთ მნიშვნელობამდე (~ 60 %-მდე), რომელიც დამახსიათებელია ტუტე ბენტონიტებისთვის. უნდა აღინიშნოს, რომ რენტგენოდიფრაქტომეტრიული შესწავლის შედეგად ამ სინჯის II ფრაქციაში, რომელიც მიღებულია 9 %-ანი $\text{Na}_4\text{P}_2\text{O}_7$ -თ დამუშავებით, საწყის ფორმისაგან განსხვავდით, დაფიქსირებულია სუსტად დაკრისტალებული $\text{Na}-\text{მონტმორილონიტი}$ (იხ. სახ.1), რომლისთვის ნორმალურ პირობებში დამასასიათებელია d_{001} რეფლექსის გარკვეული მნიშვნელობა: $d_{001} \sim 12 \text{ \AA}$.

აშშ-ს მაღალხარისხოვან ბენტონიტში (ვაიომინგი №1), როგორც მოსალოდნელი იყო, წვრილდესპერსიული III ფრაქციის გამოსავალი მაღალია და ბუნებრივ მდგომარეობაში აღწევს ~ 80 %-ს, ხოლო პეპტიზატორით დამუშავებისას ის იზრდება და აღწევს 86 %-ს; ამავე დროს უხეშდისპერსიული I ფრაქციის გამოსავალი, რომელიც ბუნებრივ მდგომარეობაში შეადგენს მხოლოდ ~ 2,3 %-ს, პრაქტიკულად არ იცვლება და III ფრაქციის მატება ხდება შუალედური ფრაქციის დეზაგრეგაციის ხარჯზე.

ბუნებრივ მდგომარეობაში საბერძნეთის ბენტონიტში III ფრაქციის გამოსავალი შეადგენს ~ 10 %-ს, ხოლო პეპტიზატორით დამუშავებისას ის მატულობს და აღწევს ~ 55 %-ს, რაც გამოწვეულია I და II ფრაქციების დეზაგრეგირებით.

მაშასადამე, ჩატარებული კლევის საფუძველზე შეიძლება დავასკვნათ, რომ ჩურჩუტო-ჭიშელის ბენტონიტი ბუნებრივი სახით არიან ძლიერ აგრეგირებულნი და პრაქტიკულად არ შეიცავენ კოლოიდურ წვრილდესპერსიულ ფრაქციას, რომელიც თითქმის არ იცვლება პეპტიზატორით (5,7 და 9 % $\text{Na}_4\text{P}_2\text{O}_7$)

დამუშავების შედეგად. ვანისქედის ბენტონიტი ნატრიუმის პიროფოსფატის მოქმედებისას მიღებული დისპერსიულობის მონაცემებით ჩამორჩება აშშ-ს ბენტონიტის, მაგრამ ის ამჟღავნებს მსგავსებას საბერძნეთის ბენტონიტურ თიხასთან და შეიძლება გამოყენებულ იქნას როგორც თიხის საბურლი ხსნარების მოსაზადებლად, ასევე მრეწველობის სხვადასხვა დარგებში.



ნახ. 1. ვანისქედი - 1 ბენტონიტის დიფრაქტოგრამები:
1 - ბუნებრივი სანით - Ca - მონტმორილონიტი; 2 - 9 % -ანი $\text{Na}_4\text{P}_2\text{O}_7$ -თ
დამუშავების შემდეგ (II ფრაქცია) - Na - მონტმორილონიტი

ლიტერატურა

1. Мерабишвили М.С. Бентонитовые глины. Мецниереба, Тбилиси, 1979. 310 с.
2. Роква М.Л., Мачабели Г.А., Мерабишвили М.С. Поиски, разведка и оценка месторождений бентонитовых глин. Недра, Москва, 1971. 76 с.
3. Шахbazov Э., Велиев Ф. Разработка нанобентонита на основе природного ресурса

Азербайджана. В сб.: Конференция по нефтехимии, посвященная 100-летию со дня рождения академика Л.Д. Меликадзе, Тбилиси, 2012. с. 52-57.

4. Буланов В.А., Сизых А.И. Кристаллохимизм породообразующих минералов. Иркут. Ун-т, Иркутск, 2005. 220 с.

ХАЧАТУРЯН К.К., ГЕГИЯ Н.А., ЭНУКИДЗЕ Г.Ш., ГУРУЛИ Т.С.

ИССЛЕДОВАНИЕ И ОЦЕНКА ДИСПЕРСНОСТИ БЕНТОНИТОВЫХ ГЛИН И ЕЕ ЗНАЧЕНИЕ ДЛЯ ПРАКТИЧЕСКОГО ПРИМЕНЕНИЯ

АННОТАЦИЯ: В статье приводится краткое описание одного из важнейших технологических параметров бентонитовых глин – дисперсности и указаны пути ее повышения. Исследованы бентонитовые глины Грузии из месторождений Чурчуто-Чихели и Ванискеди, а также для сравнения изучены бентонитовые глины из Вайоминга (США) и Греции. Установлено, что бентониты Чурчуто-Чихели в природном виде сильно агрегированы и практически не содержат коллоидную мелкодисперсную фракцию, которая почти не изменяется в результате обработки пептизатором (5, 7 и 9 % $\text{Na}_4\text{P}_2\text{O}_7$). Бентонит Ванискеди по данным дисперсности, полученными после обработки порошкофосфатом натрия, уступает бентониту США, но проявляет сходство с бентонитом Греции, что важно для его практического применения.

КЛЮЧЕВЫЕ СЛОВА: месторождение; бентонитовая глина; монтмориллонит; обменные катионы; дисперсность; седиментационный метод; мелкодисперсная фракция; пептизатор.

KNACHATURIAN K., GEGIA N., ENUKIDZE G., GURULI T.

RESEARCH AND ASSESSMENT OF DISPERSION OF BENTONITIC CLAYS AND ITS VALUE FOR PRACTICAL APPLICATION

ANNOTATION: The short description of one of the most important process parameters of bentonitic clays – dispersions is provided in article and paths of its increase are specified. Bentonitic clays of Georgia from Churchuto-Chikheli and Vaniskedi's fields are investigated and also for comparison bentonitic clays from Wyoming (USA) and Greece are studied. It is established that Churchuto-Chikheli bentonites in a natural look are strongly aggregated and practically don't support the colloid fine fraction which almost doesn't change as a result of processing by a peptizator (5, 7 and 9 % of $\text{Na}_4\text{P}_2\text{O}_7$). Vaniskedi bentonite according to dispersion, received after processing porofofosfatty sodium, concedes to bentonite of the USA, but shows looking alike bentonite of Greece that is important for its practical application.

KEY WORDS: field; bentonitic clay; montmorillonite; exchangeable cations; dispersion; sedimentation method; fine fraction; peptizator.

უაკ 549. 621. 9

**აკად. დოქტორი, ასოც. პროფესორი დ. გლუაშვილი
დოქტორანტი გ. მინდიავაშვილი
გუჯარეთი-ცხაროსთავის (ხაჩმავი)
გამოყოფილობის აღმიანიშვილი**

ანოტაცია. ნაშრომში განხილულია აჭარა-თრიალეთის გუჯარეთი-ხაჩმავის მაღნიანი ველის სტრუქტურულ-გეოლოგიური თავისებურებები. მაღნიანი ველი ტექტონიკურად მეტად გართულებულია, ვევდებით სხვადასხვა ტიპის დიზუნქტივებს და ნაპრალებს. გახსნის ხარისხის მიხედვით საკლდვა ტერიტორიაზე კლინიფერა: ფარული, დახურული და ღია ტიპის ნაპრალები. სწორედ აღნაშენული ტიპის ნაპრალები წარმოადგენერ გამაღნებისათვის ხელსაყრელ გარემოს. მაღნიანი ველის ფარგლებში, გამაღნების ინტენსივობის მიხედვით, ამჟამად გამოიყოფა ორი მინერალური ტიპი: დასავლეთი გუჯარეთის და აღმოსავლეთი ხაჩმავის (წყაროსთავის), რომელებიც ერთმანეთისგან სივრცებით გამოჯნელია შედარებით ნაკლებად მინერალიზებული ტარისნის აზევებული ბლოკები.

თუ გავითვალისწინებთ რაონის გეოლოგიურ აგ-

ბულებას, კერძოდ, კი მაგმატიზმსა და დიზუნქტივური სტრუქტურების ხასიათს, მაღნიანი ველის ფარგლებში მაგმური სისტემებისთვის იქმნება ხელსაყრელი პარობები. კერძოდ, არჯევან-ბაკურიანის რღვევის მიმღებარე ზოლში იქმნება ყველა პირობა პილროთერმული ზონების ასოციაციებისათვის. შესაძლებელია მაღანწარმოშობაში მონაწილეობას დებულობ დწებ, როგორც ორთოგენეტური წარმოშობის პილროთერმული, ასევე მეტეორული წყლები, რომლებიც მეტალებისა უქსტრაქციას ახდენენ შემცველი ქანებიდან. ჩვენი აზრით აღვილი უნდა პქონოდა ფლუიდებისა და მეტეორული წყლების აქტიურ კონტაქტისაციას, რის შედეგადაც ჩამოყალიბდა გუჯარეთი-ხაჩმავის მაღნიანი ველი.

საკვანძო სიტყვები: მაღნიანი ველი; გამაღნება; მაღნიანი ველის ასოციაცია; რღვევა; მოწყვეტის და

სხლებვის ნაპრალები; პიდროთერმები; კონტაქტური.

გუჯარეთი-ხაჩქოვის მაღნიანი ველი მდებარეობს აჭარა-თრიალეთის ნაოჭა სისტემის ფარგლებში. აღნიშნული ნაოჭა სისტემა, რიგი მკვლევარების მონაცემებით [1, 2, 3, 4] ჩაისახა გვიან ცარცულ დროში, ამიერკავკასიის შეალექური მასივის ცნტრალურ ნაწილში, სუბგანედური ტროგის სახით, რომელიც მკვეთრად გამოიყო ადრეულ პალეოგენში.

გუჯარეთი-ხაჩქოვის მაღნიანი ველი ჩრდილოეთიდან შემთხვევაზღვრება არჯევნ-ბაკურინის სუბგანედური რეგიონული შეცოცებით, სამხრეთიდან-ნეოგენ-შეოთხეული და გვით. დასავლეთიდან და აღმოსავლეთიდან კი მაღნიანი გვლის გარცელება განისაზღვრება გარდიგარდო-ახლომერიდანული მიმართულების რღვევით სტრუქტურებით და სუბინტრუზული სხეულების კონცენტრაციის არეალით. მაღნიანი ველის ენდოგენური გამადნების სტრუქტურული კონტროლი განისაზღვრება არჯევნ-ბაკურინის რეგიონული რღვევით. იგი, ჩვენი აზრით, უნდა წარმოადგენდეს მადანგამანაწილებელ სტრუქტურას და როგორც სხვა მაღნეული ველების უამრავ შემთხვევაში, საკუთრივ არ შეიცავს გამადნებას. აღნიშნული რღვევითი სტრუქტურა ციცაბოლ ეცემა სამხრეთით და შესხლებვას უფრო წარმოადგენს, ვიდრე შეცოცებას. მის მიმართ ჩრდილოეთით საგძი გვერდში მდებარე გვანეოცენურ ტერიგენულ ნალექებზე, სახურავ გვერდში თავზე ადგვეს შეა ეოცენის კულანოგენ-დანალექი ქანები. მაღანტემპცევლია შეაეოცენური ნორმალური, ნატრიუმიანი სერიის [5] მძლავრი კულკანოგენ-დანალექი კონცენტრაციის ქანები.

გუჯარეთი-ხაჩქოვის მაღნიან ველზე გამადნება, რომელიც წარმოადგენილია პიდროთერმალური ოქრო-სულფიდური (სპილენ-ბილიმეტალური) და პირიტული ტიპებით, განთავსებულია ზემოთ აღნიშნული რეგიონული რღვევის სახურავ ბლოკებში და ლოკალიზებულია მასთან შეუდლებულ და მის პარალელურ, ჩრდილოეთით ციცაბოლ დაქნებულ ნაპრალოვნების ზონებში.

ოქრო-სულფიდური გამადნება სხვადასხვა უბანებზე წარმოადგენილია ერთი, ან რამდენიმე განშტოებული, პარალელური ან კულისისებრი მონაცემებისაცან შემდგარი მინერალიზებული ზონისგან. მასში აღნიშნება ოქროსშემცველი სულფიდების სხვადასხვა ასოციაციები, რომელთა შემადგენელი ძირითადი მად-ნეული მინერალებია: ქალკოპირიტი, გალენიტი, სფალერიტი, პირიტი; ძარღული მინერალებიდან კი - კვარცი, კალციტი და ბარიტი.

მაღნიანი ველის ფარგლებში, გამადნების ინტენსივობის მიხედვით, ამჟამად გამოიყოფა ორი ობიექტი: დასავლეთ გუჯარეთის და აღმოსავლეთ ხაჩქოვის (წყაროსთავის), რომელებიც ერთმანეთისგან სივრცობრივად გამიჯნულია შედარებით ნაკლებად მინერალიზებული ტარსონის აზევებული ბლოკით.

გუჯარეთის საბაზო მდებარეობს თრიალეთის ქედის სამხრეთით, მდინარეების გუჯარეთის წყლის და რეხას აუზების ზემო წელში. ოქრო-სულფიდური გამადნების განაწილებასა და ლოკალიზაციაში, როგორც ზემოთაც ითქვა, მნიშვნელოვან როლს ასრულებს არჯევნ-ბაკურინიას სუბგანედური შეცოცება და მისი პარალელური რღვევით და ნაპრალოვანი სტრუქტურები.

მაღანტემპცევლ ქანებს წარმოადგენს შეა ეოცენური

მასიური ანდეზიტ-ბაზალტური შედგენილობის ლითოდა კრისტალო-ლითოკლასტური ფსეფიტური ტუფები და ანდეზიტური ავგიტ-პლაგიოკლაზიანი განფენები და ლავობრექჩიები, ანდეზიტური და ანდეზიტო-ბაზალტური ფსამიტური ტუფების შუაშრეებით. ვულკანოგენ-დანალექი კონცენტრაციების სიმძლავრე 2 კმ-მდებარების სიმძლავრი 2 კმ-მდებარები.

მაღანტემპცევლმა ვულკანოგენურმა ქანებმა განიცადეს სხვადასხვა ინტენსივობით გმოვლენილი რეგიონული პროპილიტიზაცია. ყველაზე ფართო გავ-რცელებისაა ქლორიტ-კალციტ-ალბიტური მინერალური ასოციაცია. შედარებით ლოკალური გავრცელებისაა ისეთი ტიპი პომორფული მინერალების ასოციაციები, როგორიცაა ეპიდორტი (ცოიზიტი), კვარცი, ჰიდროქარსი, ცეოლითი. დაიგურ ქანებზე, მომეტებული ნაპრალოვნებისა და ტემპერატურული გრადიენტის ზონებში განვთავრებულია ლოკალური პრენიტ-ჰუმეცელიტიანი მეტასომატიტები.

პროპილიტიზირებული ვულკანიტების ფონზე განვითარებულია პიდროთერმულად შეცელილი მძლავრი (200-300-მ-მდე) ზონა, რომელიც შედგება კვარც-სერიციტ-ჰიდროქარსიანი ლოკალური მაღანმომიჯნავე მეტასომატიტებისაგან. ზონას კი გააჩნია მკეთრი საზღვრები და ადგილი აქვს მის თანდათან გა-დასვლას პროპილიტიზირებულ შემცველ ქანებში.

საკუთრივ მაღანმომიჯნები მეტასომატიტებში ადგილი აქვს ქანთმაშინი და პროპილიტური ფირმაციის შემაღენლობაში შემავალი მინერალების თითქმის მთლიანად ჩანაცვლებას. აღნიშნულ მეტასომატიტებში მაღნიანი მინერალებიდან ფართოდაა წარმოადგენილი პირიტი და მისი დაშლის პროცესში, ქანებს სშირად ზედაპირზე უანგმიწის სახე აქვთ და ზედაპირზე მოწვანო პროპილიტებისგან გამოირჩევიან გათეთრებული და მოყვითალო-ზერა ფერის უბნების სახით. მეტასომატიტების ურთიერთზედების და მეტასომატიტური ფაციესის არამკეთრი გადასვლების მიუხედავად, ენდოგენურ გამადნებასთან მიმართებაში შეინიშნება მათი სუსტად გამოხატული ზონალობა, კერძოდ: პროპილიტებში ეპიდოტ-ცოიზიტ-ჰუმეცელიტ (პრენიტული) ასოციაცია განვთავრებულია პიფსომეტრულად ქვედა პრიზონტებში და დაკავშირებულად მომეტებული ტემპერატურული გრადიენტის მქონე ზონებთან, ვერტიკალური მიმართულებით (მაღნის ზედა და ზედა მაღნიან დონეებზე) შეინიშება ცეოლითების და მონტმორილონიტის გაჩნიას ტენდენცია. კვარც-სერიციტულ მეტასომატიტებში ლატერალურად გარე ზონებიდან ცნტრისკნ კვარცის რაოდენობა თანდათან მატულობს, ხოლო სერიციტის-კლებულობს.

მაღნიანი ძარღვები, ზემოადნიშნული შეცელილი ზონების ფარგლებში, ხასიათდებიან ურთიერთპარალელური და კულისისებრი განლაგებით, განტორ ებით, გაბერგებით და გამოსოლებებით როგორც მიმართებაზე, ასევე დაქანებაზე. მაღნიანი ძარღვების სიმძლავრე მერყეობს რამდენიმე სანტიმეტრიდან 2,5 მ-მდე და საშუალოდ 18-ს შეადგენს.

ოქრო გუჯარეთის ობიექტზე ძირითადად წარმოადგენილია თავისუფალი სახით. იგი ძალის წვრილმარცვლოვანია; მისი ზომა შეადგენს 0,005-0,2 მმ, გვხვდება 0,4-1,0 მმ სიღილის ცალკეული გამონაყოფები, ძალიან იშვათად - 1-4 მმ მარცვლები, აღინიშნება ოქროს ფირფიტული და წაგრძელებული

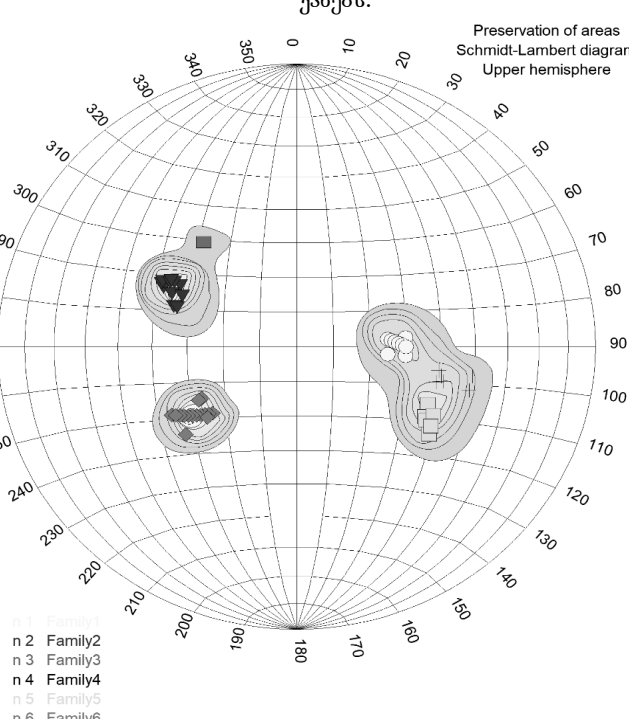
გეოლოგია - GEOLOGY

ფორმები. ოქრო შედარებით სუფთაა და ვერცხლის გარდა (12,3/25,4 %), შეიცავს სპილენძს-0,02%, რეინას-0,01%, მარგანეცს-0,0001 %. ოქროს სინჯიანობა მერყეობს 700 და 950 %-მდე და საშუალოდ შეადგენს 761 % [6].

მაღალშემცველი ზონების მთლიანობა როგორც ჰორიზონტალურ, ისე ვერტიკალურ სიბრტყეში დარღვეულია მერიდიანული მიმართების რღვევით, რომელთა ამპლიტუდა ზოგ შემთხვევაში პირველ ასეულ მეტრებს აღწევს. შედეგად ობიექტი პირობითად დაყოფილია სამდასავლეთ, ცენტრალურ და აღმოსავლეთ ნაწილებად.

გუჯარეთის ობიექტი მ. ცხელიშვილის [6] მიერ შესწავლილია ზედაპირული (თხრილები, ტრანშები) და მიწისქვეშა (ოთხი გვირაბი) გამონაკუნძულებით და ჭაბურღილებით. გუჯარეთის ოქრო-სულფიდურ ობიექტზე დათვლილია C_2 კატეგორიის მარაგები: ოქრო-1,14 ტ (საშ. შემცველობა 5,8 გ/ტ), ვერცხლი- 5,26 ტ (საშ. შემცველობა 14,35 გ/ტ); სპილენძი- 5485 ტ (საშ. შემცველობა 1,2 %); ტყვია- 1560 ტ (საშ. შემცველობა 0,37 %); თუთია- 1668 ტ (საშ. შემცველობა 0,58 %). P_1 კატეგორიის პროგნოზული რესურსები კი შეადგენს: ოქრო- 3,9 ტ; ვერცხლი - 7,6 ტ; სპილენძი - 13811 ტ. ტყვია - 4018 ტ; თუთია - 7910 ტ.

რაც შეეხება ხაჩკოვის მაღანგამოვლინებას იგი ჩრდილოეთიდან შემოისაზღვრება არჯევან-ბაკურინის სუბგნედური რეგიონული შესხლეტვა-შეცოცებით, სამხრეთიდან-ნეოგენ-მეორთხეული ლავებით. დასავლეთიდან და აღმოსავლეთიდან კი მაღანგამოვლინების გარცელება განისაზღვრება გარდიგარდმოახლო მერიდიანული მიმართულების რღვევით სტრუქტურებით და სუბინტრუზიული სხეულების კონცენტრაციის არეალით. მაღანგამოვლინებაზე ენდოგენური გამაღნების სტრუქტურული კონტროლი განისაზღვრება არჯევან-ბაკურინის რეგიონული რღვევით



ნახ. 1 ნაპრალთა გეოლოგიური მდებარება შეიძტის ბადეზე

ხაჩკოვის მაღანგამოვლინებაზე გამაღნება, რომელიც წარმოდგენილია ჰიდროთერმალური ოქრო-სულფიდური (სპილენ-ბოლიმეტრალური) და პირიტული ტიპებით, განთავსებულია ზემოთ აღნიშნული რეგიონული რღვევის სახურავ ბლოკებში და ლოკალიზებულია მასთან შეუძლებულ და მის პარალელურ, ჩრდილოეთით ციცაბოლ დაქანებულ ნაპრალოვნების ზონებში.

ოქრო-სულფიდური გამაღნება სხვადასხვა უბანებზე წარმოდგენილია ერთი, ან რამდენიმე განშტოებული, პარალელური ან კულისისებრი მონაკვეთებისგან შემდგარი მინერალიზებული ზონისგან. მასში აღნიშნება ოქროსშემცველი სულფიდების სხვადასხვა ასოციაციები, რომელთა შემაღებელი ძირითადი მაღნეული მინერალებია: ქალკოპირიტი, გალენიტი, სფალერიტი, პირიტი; ძარღვული მინერალებიდან კი - კვარცი, კლიტიტი და ბარიტი. აღნიშნულის გამო, მაღნგამოვლინების ფარგლებში დაფიქსირებულია რიგი სტრუქტურებისა, რომლებიც, ჩვენით, წარმოადგენ გარდიგარდმო რღვევისგან და მაღნის დარიბი ინტერგალებისგან განმხოლობებული ერთიანი, მინერალიზებული ზონის შემაღებელ ნაწილებს. მაღანგამოვლინების ფარგლებში ფიქსირდება აგრეთვე სხვადასხვა გენეტური ტიპის რღვევითი სტრუქტურები, რომლებიც გამაღნების თვალსაზრისით ქმნიან, როგორც მაღანმომყვან, ისე მაღანგმეტცველ და მაღან-განმანაწილებელ სისტემებს.

როგორც ზემოთ ავღინიშნეთ, მაღნიანი ველი ტექტონიკურად მეტად გართულებულია, სადაც ველდებით სხვადასხვა ტიპის ტექტონიკურ ნაპრალებს, რომლებიც ხელსაყრელ პირობებს ქმნიან გამაღნებისათვის.

საველე სამუშაოების დროს, ჩვენ მოვახდონეთ ნაპრალთა კლასიფიცირება გეომეტრიული და გენეტური ნიშნების მიხედვით. გეომეტრიული კლასიფიკაციისას ნაპრალები დავაჯგუფეთ სივრცობრივი ორიენტაციის მიხედვით (ნახ.1). ისინი უმეტესად კვეთონ შემცველ ქანებს.

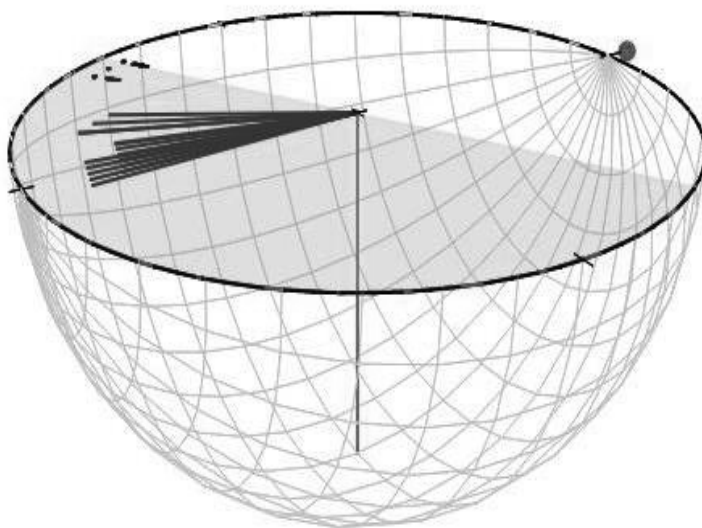
საკვლევ ტერიტორიაზე დავაფიქსირეთ ხუთი ნაპრალთა სერია, რომელიც კოლტერ შმიდტის ბადეზე გაერთიანდნენ სამ ნაპრალთა სისტემაში. მათი წოლის ელემენტებია:

1. დაქ. აზ. 85-95. დახრის კუთხე 25-35 (10 ნაპრალი);
2. დაქანების აზიმუტი 280-295, დახრის კუთხე 38-42 (12 ნაპრალი);
3. დაქანების აზიმუტი 115-125, დახრის კუთხე 50-60 (8 ნაპრალი);
4. დაქანების აზიმუტი 100-110, დახრის კუთხე 55-62 (6 ნაპრალი);
5. დაქანების აზიმუტი 230-20, დახრის კუთხე 35-48 (15 ნაპრალი).

მადანგამოვლენების ფარგლებში გამოიყოფა ორი გენეტური ტიპის ნაპრალები, მოწყვეტისა და სხლეტვის.

მოწყვეტის ნაპრალები ჩვეულებრივად გახსნილი არიან და რაიმე გადანაცვლების კვალს არ ატარებენ. შექმნილი სიცარიელე ხშირად ამოვსებულია სხვადასხვაგვარი (ჰიდროტერმული, მაგმური, ზოჯერ კლასტური) წარმონაქ მნებით. მათი ზედაპირები უსწორმასწოროა, ხაოიანი, ზოჯერ დაკილულიც. მოწყვეტის ნაპრალების გასწვრივ შეიმჩნევა ქანების ნამსხვრევი მასალა. ხშირად აღნიშნული ნაპრალები მიმართებისა და დაქანების გასწვრივ სწრაფად ისოლებიან.

მოწყვეტის ტიპის ნაპრალები ნაოჭის ღერძული სიბრტყე



— მოწყვეტის ტიპის ნაპრალები

ნაოჭის ღერძული სიბრტყე

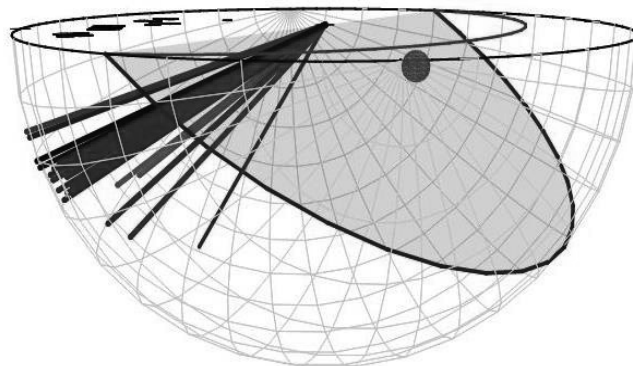
ნახ. 2. ნაოჭის ღერძისა და ნაპრალთა ურთიერთდამოკიდებულება სამგანზო-მილებან სტერეობაზე

სხლეტვის ნაპრალები ჩვეულებრივ მჭიდროდ არიან დახურული. მათ გააჩნიათ გლუვი ზედაპირები, რომელიც შეიძლება გადანაცვლების კვლები ნაკარტების, შტრიხებისა და სხლეტვის სარკეთა სახით. ამ ნაპრალებისათვის დამახასიათედელია ნაკლები ცვალება-დობა მიმართებასა და დაქანებაზე. შეიმჩნევა უძნები სა-დაც მათ დიდი გამწეობა ახასიათებთ. ამ ტიპის ნაპრალთა ფართო გავრცელება მიუთითებს უბნის შეკუმშვაზე. რღვევების მიმდებარე ზოლში შეიმჩნევა წვრილი ნაპრალიანობა რომელიც არსად არ ატარებს გამჭოლ ხას-იათს. ეს ნაპრალები რღვევის სიბრტყის პარალელური არიან და აქვთ სხლეტვის ნაპრალთა ბუნება.

ზემოთ ხსენებული ნაპრალების ინტერპრეტაციით

ნაოჭის ღერძთან და რღვევის სიბრტყესთან, მიგვიყვანა იმ დასკვნამდე, რომ დანაოჭების საწყის სტადიაზე, როდესაც დეფორმაციის ელიფსოიდის ღერძს ვერტიკალური მდებარეობა უკავია, ხოლო C მაქსიმალურ შეკუმშვისას ჰორიზონტალური, წარმოიშვა მოწყვეტის ტიპის ნაპრალები, რომელიც მართობულ მდგომარეობაში იმყოფებიან ნაოჭის ღერძთან (ნახ. 2).

შემდგომმა ტექტონიკურმა პროცესებმა გამოიწვია, პლასტიკური დეფორმაციის შეცვლა მსხვრევი დისლოკაციით, რასაც მოჰყვა დიზუნქტიური სტრუქტურების ჩამოყალიბება. დანაოჭების ამ ეტაპზე გაჩენილი ნაპრალები, რომელიც მახვილი კუთხით არიან ორიენტირებული რღვევის სიბრტყესთან, წარმოადგენ სხლეტვის ნაპრალთა სისტემას (ნახ. 3).



● სხლეტგის ტიპის ნაპრალები

არჯევან-ბაკურიანის რღვევა

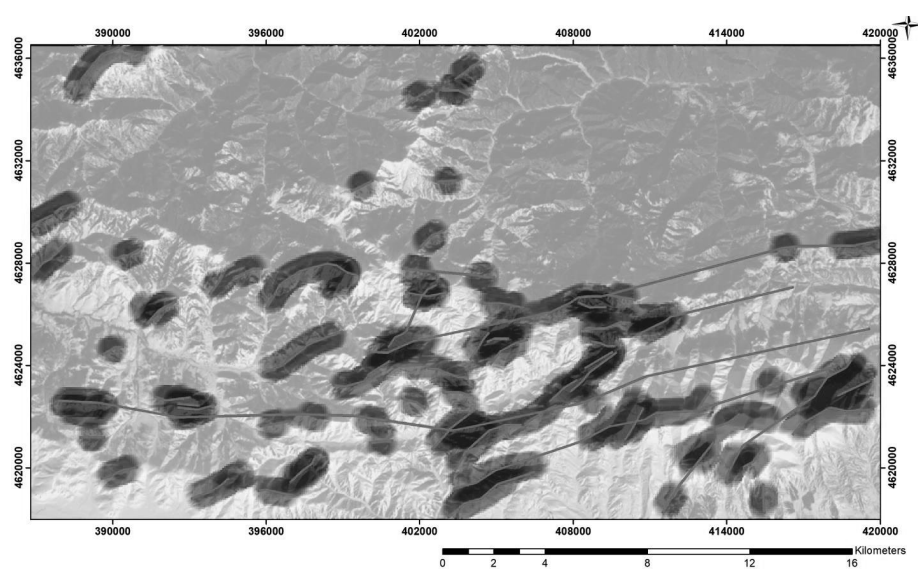
ნახ. 3. რღვევისა და ნაპრალთა ურთიერთდამოკიდებულება სამგანზომილებიან სტერეობადეზე

დისტანციური ზონდირების მეთოდით ჩატარებული კვლევა მოიცავს გუჯარეთის, ხაჩურის, გაბურის და ტარსონის კონტურში მოქცეულ საკვლევი ტერიტორიის ინტერპრეტაციას. ეს მონაცემები მოპოვებულ იქნა დისტანციური ზონდირების ანალიზისა და იმ ტექნიკის გამოყენებით, რომლის მეშვეობითაც ზდება გეოლოგიური სტრუქტურებისა და შესაძლო პიდროთერმულად შეცვლილი ზონების დადგენა.

როგორც ნახ. 4-დან ჩანს ტერიტორია ნიშვნულოვნადაა დანაწევრებული სხვადასხვა ორიენტაციისა

და გავრცელების ძარღვებით, სადაც მნიშვნელოვნად ჭარბობს ჩრდილო-აღმოსავლური ძარღვები, ისინი გამჭიმავი ნაპრალების მთელი რიგის გაჩენას განაპირობებენ, რომლებიც ართულებს ტერიტორიის გეომორფოლოგიასა და მის მედეგობას ეგზოგნური პროცესებისადმი.

შესასწავლი ტერიტორიის გეოლოგიური ფორმირების, ძარღვული და ნაპრალოვნანი ტექტონიკის გაშიფვრის მიზნით შესწავლილ იქნა ძარღვების და დაიკების კავშირი არჯევან-ბაკურიანის რღვევასთან მიმართებაში.



ნახ. 4 დისტანციური ზონდირების მეთოდით გამოყოფილი რღვევითი სტრუქტურები და მათთან დაკავშირებული ჰიდროთერმული შეცვლის ზონები

რაც შეეხება არჯევან-ბაკურიანის რეგიონალურ რღვევას, იგი წარმოადგენს რთულ სტრუქტურას. რღვევის სირთულეს მიუთითებს ის ფაქტი რომ, უშუალოდ მათთან შეცვლებულ სხლეტგის ნაპრალთა სისტემას რომლებიც კვარცის ძარღვების მატარებელნი არიან, კეთის დანაოჭების საწყის სტადიაზე წარმოშობილი ნაპრალები, ეს უგანასკნელნი კი ოქროს მატარებელნი

არიან. აქედან გამომდინარე არჯევან-ბაკურიანის სუბგანედური რეგიონალური რღვევა დანაოჭებამდე არსებობა და ალბათ მისი ჩასახვა მოხდა რითებული სტრუქტურის სახით, ხოლო დანაოჭებამ და ქერქის დიუერენცირებულმა მოძრაობამ გამოიწვია მისი გარდაქმნა. სწორედ ამ გარდაქმნის ზონებში ფიქსირდება გუჯარეთი-წყაროსთავის მაღნიანი ველი.

დაპრესა

ამრიგად,ჩატარებული კვლევა გვიჩვენებს,რომ აჭარა-თრიალეთის ნაოჭა სისტემის ფარგლებში გვიანეოცენურ ტერიგენულ ნალექებსა და შეა ეოცენის ვულკანოგენ-დანალექი ქანებში ფორმირებულია მნიშვნელოვანი მაღნიანი ველი, რომელიც გამოყოფილ იქნა როგორც გუჯარეთი-წყაროსთავის (ხაჩკოვი) მაღნიანი ველი. იგი მთლიანად კონტროლდება არჯევან-ბაკურიანის რღვევით და მისი გამკვეთი ახალგაზრდა რღვევათა სისტემით და მიეკუთვნება ტიპურ პოსტმაგმურ ჰიდროთერმულ წარმონაქმნების.

თუ გავითვალისწინებთ მაღნიანი ველის გეოლოგიურ და სტრუქტურულ აგებულებას, კერძოდ, კი მაგმატიზმსა და დიზუნქტიური სტრუქტურების ხასიათს, მაშინ არჯევან-ბაკურიანის რღვევის მიმდებარე ზოლში იქმნება ხელსაყრელი ფიზიკო-მექანიკური პირობები მაღნიანი ველის ჩამოსაყალიბებ-ლად. ჩვენი აზრით, სწორედ ამ სტრუქტურის ზონის ფარგლებში მოხდა ივენულური ფლუიდების და მეტეორული წყლების კონტამინაცია, რამაც გამოიწვია აღნიშვნული მაღნიანი ველის ჩამოყალიბება.

ლიტერატურა

1. Адамия Ш. А. и др. Аджаро-Триалетский про-

**БЛУАШВИЛИ Д.И., МИНДИАШВИЛИ Г. Г
СТРУКТУРНО-ГЕОЛОГИЧЕСКАЯ ПОЗИЦИЯ
ГУДЖАРЕТИ-ЦКАРОСТАВСКОГО (ХАЧКОВИ)
РУДНОГО ПОЛЯ**

АННОТАЦИЯ. В статье рассмотрены структурно-геологические особенности Гуджарети-Хачковского рудного поля в Аджара-Триалети. Тектоника рудного поля весьма осложнена, встречаются дизъюнктивы различного типа и трещины. На исследуемой территории по степени открытия встречаются трещины скрытого, закрытого и открытого типа. Именно эти трещины создают благоприятные условия для оруденения. В пределах рудного поля по интенсивности оруденения на данный момент выделяют два объекта: западный Гуджарети и восточный – Хачкови (Цкаростави). Данные объекты разделены тарсонским менее минерализованным поднятым блоком.

Принимая во внимание геологическое строение района. В частности, магматизм и характер дизъюнктивных структур, в пределах рудного поля создаются благоприятные условия для магматических систем. В прилегающей к Ардевани-Бакурианскому разлому полосе имеются все условия для формирования гидротермальных зон. В рудообразовании возможно участвуют как гидротермы ортогенетического происхождения, так и метеорные воды, которые осуществляют экстракцию металлов из вмещающих пород. По нашему мнению, имеет место контаминация флюидов и метеорных вод, в результате чего сформировалось Гуджарети-Хачковское рудное поле.

КЛЮЧЕВЫЕ СЛОВА: рудное поле; оруденение; рудопроявление; складчатая система; разрыв; трещины скола и скольжения; гидротермы; контаминация.

гиб и проблема образования блугобловодкой впадины Черного моря. Ж. Геотектоника, Москва, 1974. с. 67-89.

2. Адамия Ш. А. и др. Характерные черты тектоники Кавказа В. Кн: Геодинамика Кавказа, Наука, Москва, 1989. с. 3-15.

3. Аревадзе В. Л. И др. Отчет Хачковской геолого-поисковой партии по работам 1967-1970. Геол. Фонды. Тбилиси, 1971. с. 558.

4. Аревадзе В. Л. Анчабадзе Е.Г. Отчет о результатах поисковых работ в центральной части Аджара-Триалетской складчатой зоны за 1974-76. Геол. Фонды. Тбилиси, 1977. с.550

5. Дзоценидзе Г.С. Домниоценовый вулканизм Грузии. В. Кн: Геология СССР. Груз. ССР, Т,1 Недра, Москва, 1964. с.38-96.

6. მ. ცხელიშვილი და სხვ. ძებნა შეფასებითი სამუშაოების ჩატარება გუჯარეთი-ხაჩკოვის მაღნიანი ველის გუჯარეთის ოქროს მაღანგამოვლინებაზე 1985-1992 წლებში, გეოლ. ფონდები. თბილისი, 1992. გვ. 86.

7. ი. ნაროზული, გ. გაგნიძე. ძამა-გუჯარეთის მაღნიანი კვანძის ობიექტების გეოლოგიური მოცემების შემუშავება და სარეკომენდაციების მომზადება შესრულებული სამუშაოების ანგარიში. კავკასიის მინერალური ნედლეულის ასტიტუტი. თბილისი, 2001. გვ. 77.

BLUASHVILI D., MINDIASHVILI G.

**STRUCTURAL-GEOLOGICAL POSITION OF
GUJARETI-TSKAROSTAVI (KHACHKOV) ORE
FIELD**

ABSTRACT. Structural-geological characteristics of Adjara-Trialeti Gujarateli-Khachkovi ore field are reviewed in the annotation work. The ore field is tectonically highly complicated, various type dysunctives and fractures are observed. According to opening quality the following take place at the investigation territory: invisible, closed and open type fractures. Exactly the mentioned type fractures represent environment convenient for oreing-down. According to oreing-down intensity, two units are selected now within the ore field areas: Gujarateli – to West and Khachkovi (Tskarostavi) – to East, which are spatially isolated from each other by less mineralized uplift block of Tarsoni.

Considering geological structure of the region, in particular, magmatism and disjunctive structure characters, convenient conditions are made for magmatic systems within ore field areas. In particular, in adjacent line of Arjevani-Bakuriani fault, all conditions for establishing hydrothermal zones are made. Orthogenetic origin hydrotherms as well as meteoric waters may take part in ore production; they make metal extraction from containing rocks. In our opinion, active contamination of fluids and meteoric waters might take place, resulted of which Gujarateli-Khachkovi ore field was formed.

KEY WORDS: ore field; oreing-down; ore observation; fold system; fault; calve and thrust fractures; hydrotherms; contamination.

**აკად. დოკტორი მ. გაგიძე, აკად. დოკტორი ა. პვილიანი
ზოგადის მაღლიანი რაიონის გეოლოგიის ზოგიერთი საკითხები**

ანუტაცია. ნაშრომში განხილულია ბოლნისის მაღნიანი რაიონის გეოლოგიის ზოგიერთი საკითხები, მათ შორის სტრუქტურული ერთეულების, მეტასომატური წარმონაქმნების, გამდნების საუროო ნიშნები და თავისებურებები, ზონალობა, ჰერსაქეტივები.

საბაზნი სიტყვები: მაღნიანი რაიონი; სტრუქტურა; ჰიდროთერმალიტები; ზონალობა.

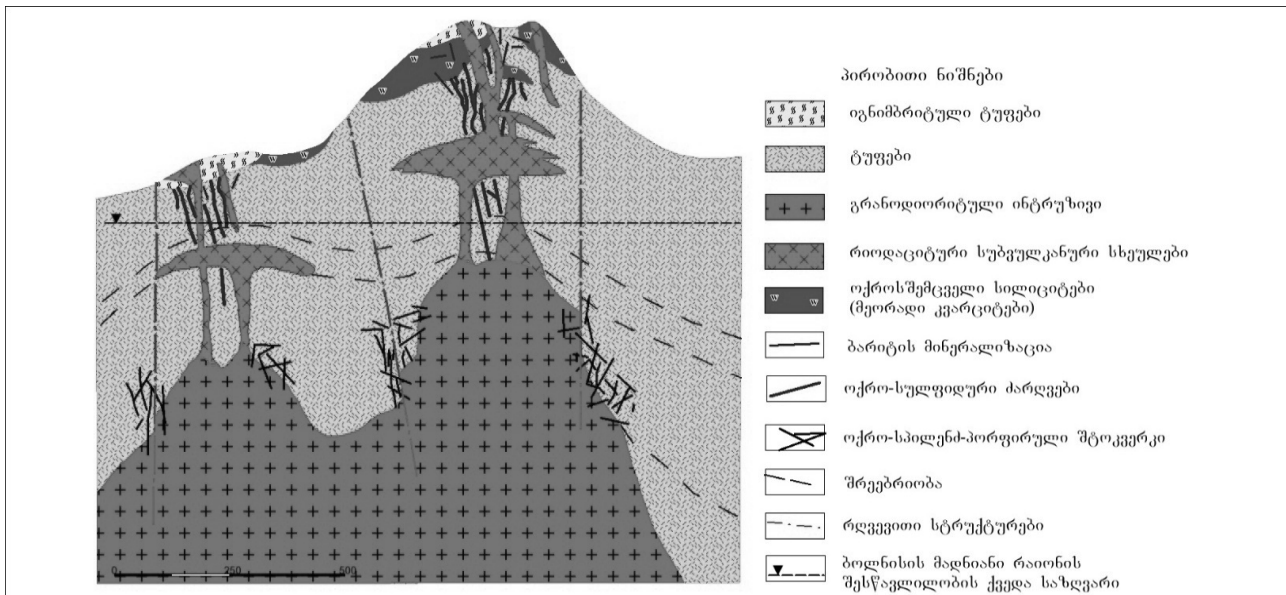
სამუშაო შესრულებულია ფონდურ და ლიტერატურულ წყაროებზე, შპს „ქავეულის სამთო ჯგუფის“ და საკუთარ მასალებზე დაყრდნობით.

ბოლნისის მაღნიანი რაიონის ქვედა სტრუქტურული სართული გამოხატულია მოზაიკურ-ბლოკური აგებულების იურამდელი გრანიტოიდული წარმონაქმნებით. მისი ფორმირება მიმდინარეობდა ზოგიერთი ბლოკის

ამოზიდვის და პარალელურად მათ ირგვლივ არსებული სხვა ბლოკების დაძირვის ფონზე.

მაღნიანი რაიონის ზედა სტრუქტურული სართული კი წარმოდგენილია მეზო-კაინოზოური, უპირატესად გვიანცარცული (სენომან-კაბანური) წყვებებით.

გვიანცარცული სიღრმული არხების მეშვეობით სხვადასხვა ჰიდრომეტრულ დონეზე ადგილი ჰქონდა ვულკანურ-პლუტონური მასის მრავალჯერად შემოჭრას. შედეგად მაღნიანი რაიონის სხვადასხვა უბანზე გრანიტოიდული ინტრუზივების თავზე ყალიბდებოდა განსხვავებული სიმძლავრისა და ლითო-ფაციალური შედენილობის წარმონაქმნები. უკანასკნელი გამოხატულია ფუძე-საშუალო და მეუკე-ტუტე შედგენილობის, რთულად დიფერენცირებული ანტიდრომული რიგის ვულკანიტებით [1], მათი სუბვულკანური ანალოგებით, რომელთაც სხვადასხვა ჰიდრომეტრულ დონეზე თან ახლავს შესაბამისი მაღნის ტიპები (ნახ. 1).



მაღნიანი რაიონის გვიანცარცული ვულკანიზმისთვის დამახასიათებელია პიროკლასტოლითების უპირატესი გავრცელება.

რიოდაციტურ ტუფებთან ერთად, სხვადასხვა ლითო-სტრატიგრაფიულ დონეზე ფიქსირდება იგნიმბირიტული ტუფები. მაგალითად: დავით-გარევის ბარიტ-ოქრო-სულფიდურ საბადოზე იგნიმბირიტული ტუფები შეინიშნება სამ ჰიდრომეტრულ დონეზე, რომელთაგან ორი დონე შეესაბამება იქრო-სულფიდური მაღნების დონეს, ერთი-მაღნისზედა დონეს.

მაღნიანი რაიონის თითქმის ყველა ენდოგენური საბადო და მაღანგამოვლინება თავმოყრილია ზედაცარცული ასაკის ვულკანიტების არეალში და მათი ფორმირება მჭიდროდაა დაკავშირებული უკანასკნელთა ფუნქციონი-

რებაზე. რაიონის მაღნიანი სისტემის ფესვური ნაწილები დაკავშირებულია გრანიტული (გრანოდიორიტული) ინტრუზივების კერტბან. ისინი უნდა წარმოადგენდნენ მაღანიტარმომქმნელი ფლუიდების წყაროს, რომელზეც დაშენებულია ერთონი მაღნიანი სისტემის შემსახურელი მაღნიანი ქვესისტემები [2, 3]. აქედან გამომდინარე, რაიონის მაღნიან ობიექტებს გააჩნიათ ბევრი საერთო ნიშანი, მაგრამ ცალკეული ობიექტები აღიქმებან მხოლოდ მათთვის დამახასიათებელი გეოლოგიური თავისებურებებით.

ვულკანურ-პლუტონური სისტემისთვის დამახასიათებელია კალდერული სტრუქტურები. ბოლნისის მაღნიან რაიონში არის ფაქტები შედარებით მცირე ზომის ცენტრალური ტიპის სტრუქტურების ფორმირებისაც. ისინი ზოგან გამოხატულია რეგიონის თანამედროვე რელიეფში,

იყოს წარმოდგნილი [3]; შეინიშნება აგრეთვე მაღნების კლასიკური ზონალობის საწინააღმდეგო უკუ ზონალობა, კერძოდ: მუშევანი 2-ის ოქრო-სპილენზის საბადოზე გაკარცებულ, ბარიტიზირებულ ტუფებში შეინიშნება ქალკოპირიტის ჩანაწინებულები, მალაქიტთან, აზურიტთან, ბორნიტთან ერთად. აქ სპილენზის გვიანი გენერაციის მინერალიზაცია მაღაქიტის სახით ფიქსირდება აგრეთვე სხვადასხვა რეინერაციის ბარიტის ფირფიტებს შორის და კარიც-ბარიტული ძარღვაებით შეესტებული ნაპრალების ზალბანდების ცენტრალურ უბნებში. ბარიტის მინერალიზაცია მისი მცირე ფირფიტისებრი დაგროვებების სახით, ფიქსირდება დავით-გარეჯის ბარიტ-ოქრო-სულფიდურ და მუშევანის ოქრო-მცირესულფიდურ ობიექტებზე ჭაბურღილებში, შესაბამისად 199-200 და 307.8მ-ზეც.

დარბაზის, ვაზისხევის გამოვლინებებზე ზედა მაღნიან დონეზე განვითარებულია ვერცხლისწყლის მინერალიზაცია [9]. ოქრო-სულფიდური მაღნების ზედა დონეზე, ეროზიისგან შემორჩენილ ადგილებზე, გვხვდება რკინის და მარგანეცის ენდოგენური მინერალიზაცია მათი ქანგულების, ეგრეთწოდებული რკინა-მარგანეციანი “ქუდების” სახით (საჯას რკინის, რატევანის მარგანეცის გამოვლინება).

Au, Cu, Pb, Zn-ის შემცველობების ურთიერთგანაწილება, მათი კორელაციური ანალიზი მიუთითებს, რომ ოქროს გამაღნება ნაკლებადაა დაკავშირებული სულფიდებთან და იგი აღნიშნულ კომპონენტებთან ერთად, მნიშვნელოვანწილად განპირობებულია მეტსომატურად შეცვლილ ქანებზე ზედებული გენერაციის კვარცის მინერალიზაციით.

მაღნიანი რაიონის სტებულგანურ სხეულებთან მიმართებაში მოვიყვანთ რამდენიმე ფაქტს:

-მუშევანი 3-ის გამოვლინებაზე აღნიშნა ოქროს და სულფიდების შემცველობა ანდეზიტურ დაიკურ სხეულში;

-აღმოსავლეთ ელიას უბანზე ანდეზიტურ სხეულებში დაიკვირვება სპილენზის მინერალიზაცია მაღაქიტის სახით;

-სოფელ რაჭისუბის ჩრდილოეთი, ბრექჩიულებულ რიოდაციტებში დაფიქსირდა კვარც-ბარიტული მინერალიზაცია, მცირე სიმძლავრის ძარღვაების სახით;

-აღმოსავლეთ ქვემო ბოლნისის ობიექტზე რიო-

დაციტში არსებული ნაპრალის გასწვრივ აღინიშნება მაღაქიტის მინერალიზაცია;

-სოფელ ქვემო ბოლნისის სამხრეთით, მდინარე ფოლადურის მარჯვენა ფერდზე რიოდაციტებში აღილია აქვს ჰემატიტის ძარღვაკულ-ჩაწინებულ გამაღნებას.

გვიან მაღნიან და მაღნისშემდგომ პროცესში, ჰიდროთერმალიტებთან ერთად ზედა პორიზონტებში ადგილი აქვს ზედაპირული წყლების ცირკულაციას; შედეგად, ჩამოყალიბდა 40-60, ზოგჯერ 80-100 მ-მდე სიმძლავრის ჟანგის ზონები. მუშევანი 3-ზე და დავით-გარეჯის ტბილებებზე ჭაბურღილებში ნაპრალების გასწვრივ შეინიშნება გამოყანგული უბნები შეასპამისად 200 და 171-182მ სიღრმეზე. ჟანგვის ზონები წარმოდგენილია უპირატესად რკინის ჰიდროჟანგებით, ზოგან სულფიდების მეორადი მინერალებით.

მაღნისშემდგომი პროცესი წარმოდგენილია გვიანი კარბონატიზაციით.

მინერაგენების დამასრულებელ სტადიაზე, თავს იჩენს გამოფიტვის ნიშნება. შედეგად, ჰიდროთერმალიტებში შეინიშნება გათიხება უსწორმასწორ უბნების, ქანების ზედაპირებზე მცირე სიმძლავრის თეთრი აპეკების და სხვათა სახით.

ამგარად, ყოველივე ზემოთ აღნიშნული უნდა მიუთითებდეს მასზე, რომ ოქროს გამოყოფა ნარჩენი ფლუიდებიდან მიმდინარეობდა პულსაციურად, სისტემის შემადგენელი კომპონენტების კონცენტრაციის, წნევის, ტემპერატურის და ხსნარების ქიმიური შედეგნილობის მუკვედან ($\text{PH} < 5$) – ტუტესექნ ($\text{PH}=8$) ევოლუციის ფონზე, საბადოების ფორმირების ხანგრძლივი, მაგრამ ერთიანი პროცესის გვიანი ეტაპის მინიმუმ ორ სტადიაზე. პირველ სტადიაზე გამოიყოფოდა საშუალოტემპერატურული ოქრო - სულფიდებთან ასოციაციაში, ხოლო ბოლო სტადიაზე - დაბალტემპერატურული, რაზეც სხვა ფაქტორებთან ერთად მიუთითებს ოქროს მინერალიზაცია ისეთი მინერალების ასოციაციაში როგორიცაა ქალცედონი, ოპალი და სხვა [8, 10].

მოცემული სტრუქტურულ-ნივთიერი ზონალობის გათვალისწინებით ბეჭთაქარის, დავით-გარეჯის, მუშევანის, ბნელისების, შიხილო-სამღერეთის, კაკლიანის, დარბაზის და კიანეთის ობიექტები პერსპექტიული უნდა იყოს სიღრმეში ოქრო-სპილენზიანი მაღნების გახსნის თვალსაზრისით.

of gold mineralization. International Workshop “Gold and Base Metal Deposits of the Mediterranean and the South Caucasus – Challenges and Opportunites”, November 11-15, Georgia, Tbilisi, 2012. p.15.

1. გოგიშვილი ვ. გ., გოგიშვილი თ. შ., ზულიაშვილი თ. გ., სუხიშვილი ა. ი., ზოხონელიძე მ. ი., მუსერიძე ნ. კ. პეტროლოგია კისლых пород верхнемеловой вулканогенной толщи Южной Грузии и некоторые вопросы блоковой тектоники. В кн.: Проблемы геологии и металлогенеза Кавказа. „Мецниереба“, Тбилиси, 1976. с. 76-90.
2. ბუაძე ვ. ი. დრ. ბოლნисская рудоносная система: инфраструктура и интерпретации рудообразования. Сборник трудов КИМС, Тбилиси, 2009. с. 38-47.
3. Gugushvili V., Kutelia Z. Porphyry gold-copper system of the Bolnisi mining district and analysis of two types

ლიტერატურა

1. გოგიშვილი ვ. გ., გოგიშვილი თ. შ., ზულიაშვილი თ. გ., სუხიშვილი ა. ი., ზოხონელიძე მ. ი., მუსერიძე ნ. კ. პეტროლოგია კისლых пород ვერცხლის ზონალობის მინერალიზაციით. საქართველოს სამსახურის მინერალების მისამართის მინერალიზაციის მაღაქიტის სახით; რაჭისუბის ჩრდილოეთი, ბრექჩიულებულ რიოდაციტებში დაფიქსირდა კვარც-ბარიტული მინერალიზაცია, მცირე სიმძლავრის ძარღვაების სახით;
2. ბუაძე ვ. ი. დრ. ბოლნისის ბოლნისის ობიექტზე რიო-

- строения и условия формирования золото-барит-полиметаллических месторождений Давид-Гареджи и Абульмульк (Болниssкий рудный район, Южная Грузия). Канд. дисс. Тбилиси, 1983. 260 с.
7. Гогишвили В.Г. Гидротермально измененные породы Северо-Западной части Сомхитско-Карабахской зоны (Малый Кавказ). Диссертация на соискание учёной степени доктора геолого-минералогических наук. КИМС, Тбилиси, 1969. 350 с.
 8. Аревадзе Д.В. Физико-химические условия формирования и источники рудообразующих растворов Маднеульского медноколчеданно-
- барит-полиметаллического месторождения. ТГУ, КИМС, Тбилиси, 2016. 127 с.
9. Квициани А.А. Закономерности размещения и вещественный состав ртутных изолотовсодержащих ртутных месторождений, и рудопроявлений Сванетского и Болниssкого рудных районов (Грузия). Автореферат диссертации на соискание учёной степени кандидата геологоминералогических наук. КИМС, Тбилиси, 1982. 25 с.
 10. M. Gagnidze, A. Kvitsiani, D. Cheishvili. Struktural-Substance Zoning In Bolnisi Ore-Bearing Region. Mineralogikal Society of Georgia, Georgian Technical University, Tbilisi, 2019. pp.30-33.

ГАГНИДЗЕ М. Р., КВИЦИАНИ А. А. НЕКОТОРЫЕ ВОПРОСЫ ГЕОЛОГИИ БОЛНИССКОГО РУДНОГО РАЙОНА

АННОТАЦИЯ. В работе рассмотрены некоторые вопросы геологии Болниssкого рудного района, в том числе общие признаки и особенности структурных единиц, метасоматических образований, оруденения, их зональность, перспективы.

КЛЮЧЕВЫЕ СЛОВА: рудный район; структура; гидротермалиты; зональность.

GAGNIDZE M., KVITSIANI A. GENERAL ISSUES OF BOLNISI ORE DISTRICT GEOLOGY

ANNOTATION. The work examines some of the issues of the geology of the Bolnisi ore region, including structural units, metasomatic formations, general features and characteristics of ore mineralization, zoning and prospects.

KEY WORDS: ore region; structure; hydrothermal rocks; zonation.

აკად. დოქტორი გ. გალაშჩია, აკად. დოქტორი ე. კანდელაკი, დოქტორანტი ნ. ლომიძე, აკად. დოქტორი ლ. ძართვალიშვილი მაცხაობების მრავალფორმული ნარჩენების განვითარების სამსახურის მიზნით ჩატარებული საზოგადო მომსახური

ანოტაცია. ნაშრომში განხილულია მანგანუმის მრეწველობის ნარჩენების მიკრო-მარკოფორმული გარდაქმნის შესაძლებლობები მცენარეთა მქობავ სასუქებში მათი ჩართვის მზნით. კვლევები განხორციელდა ჭიათურის გამამდიდრებული ფარიის ნარჩენებზე, შეამტკიცა მანგანუმის მრავალფორმული მარკობრივი მანგანუმის არამდგენელი მიკრობიოცენზის წარმომადგენელი *Pseudomonas* და *Aeromonas*-ის შტამები. შესწავლილი იქნა მათი მანგანუმის რელუციონის უნარი და ამ პროცესებზე მოქმედი პროცესები. მანგანუმის ინტენსივობა, აღდგენის მაჩვენებლები, დადგენილი იქნა, რომ აღდგენის პროცესზე მნიშვნელოვნად მოქმედებს მყარის და თხევადის თანაფარდობა, ორგანული კვების წყარო, პროცესის ხანგრძლივობა და მიკროორგანიზმების ადაპტაციის უნარი ლითონის მაღალ კონცენტრაციებთან.

გამოტუტების მაქსიმალური დონე მიღწევა 12 დღე-დაბის პერიოდში. მყარის და თხევადის ოპტიმალური შეფარდება 1:20, გამოტუტების მიღწეული დონე 95%.

სამკანის სიტყვები: მანგანუმი; მრეწველობა; ბიოტრანსფორმაცია; სასუქება; რელუციონება; მიკროორგანიზმი; გამოტუტება; მყარი; თხევადი.

მცენარეთა ზრდა-განვითარების პროცესში მნიშვნელოვნი როლი მიენიჭა მიკროელემენტებს.

მიკროელემენტების ფიზიოლოგიური როლი მცენარეთა კვებაში მრავალფორმულია. მნიშვნელოვნია მათი მონაწილეობა ფერმენტაციულ პროცესებში, რაც განპირობებს მცენარეებში მიმდინარე ისეთი ბიოქიმიური რეაქციების სწორად განვითარებას როგორიცაა ნივთიერებათა სინთეზი და დაშლა, სუნთქვითი პროცესები, ფოტოსინთეზი და სხვა. ცნობილი მიკროელემენტებიდან თითოეულს თავისი როლი აკისრია მცენარეთა კვებაში. მათ შორის ერთ-ერთი უმთავრესია მანგანუმი. ფოტოსინთეზში ნახშირორჟანგის შეკავშირებისათვის ორგანულ ნაერთებთან, ასევე ცილების და ცხიმების სინთეზში, ის აქტიურად ზემოქმედებს სუნთქვით პროცესებზე, არეგულირებს უანგვა აღდგენით პროცესებს, ზრდის მცენარეთა მედიკობას ატმოსფერული უარყოფითი ზემოქმედების მიმართ.

სასუქებში მანგანუმის მიკროელემენტების სახით ჩართვის საკითხის უზრუნველსაყოფად მიზანშეწონილია მანგანუმის მრეწველობის სხვადასხვა ფორმაციის ნარჩენების გამოყენება. აღნიშნული ნარჩენების სრულყოფილად გამოყენებისათვის საჭიროა მათი გარდაქმნა მცენარეებისათვის ათვისებად ფორმებად, ამ მიმართულებით გამოყენებული იქნა მიკრობიოლოგიური პროცესები.

მანგანუმის ბაქტერიალური გამოტუტების მექანიზმი

ბა წინარში გადასული მანგანუმის რაოდენობა. პროცესი მთავრდება 20 დღეში. მნიშვნელოვანი პარამეტრია მყარი და თხევადი ფაზების შეფარდება. ჰულპის განზავების სარისხის ზრდასთან ერთად იზრდება გამოყენებული რეაგენტების რაოდენობაც, რომელიც თანაფარდობაშია გადასამუშავებელი ნედლეულის წონასთან. აღნაშული პარამეტრი ერთ-ერთი ფაქტორია იმათგან, რომელიც განაპირობებს ლითონების ბაქტერიალური გამოტუტვის პროცესის სიჩქარეს.

მყარი და თხევადი ფაზების თანაფარდობის გავლენის შესაფასებლად ჩატარებული იქნა კვლევები სხვადასხვა პირობებისათვის, კერძოდ: 1:4; 1:10; 1:20 და 1:40. შედეგების

შეფასება ხდებოდა გამოტუტვის პროცესის დაწყების მომენტის შეფასებით და გამოტუტვის რაოდენობრივი მაჩვენებლებით. შედეგები მოცემულია ცხრილში. შედეგების ანალიზი გვიჩვენებს, რომ მყარის მაღალი კონცენტრაცია პულპაში შემაფერხებელი ფაქტორია. კერძოდ 25 %-იანი კონცენტრაციისას გამოსატუტი სხნარის pH-ის შემცირება და შესაბამისად ლითონების გადასვლა სხნარში დაიწყო მე-9 დღეს, 10 %-იანი კონცენტრაციისას. მე-8 დღეს 2.5-5 %-იანი კონცენტრაციისას მე-2-4 დღეს. ამასთან მანგანუმის გამოტუტვის დონემ შეადგინა შესაბამისად 33 %, 82 და 90 %.

ცხრილი 1

მდ-ნის რაო- დე- ნობა, გრ	მანგანუმის შემცველობა საწყის მადანში		მყარი	საწყისი სხნარის მახასიათებლები			საბოლოო სხნარის მახასიათებლები			მანგანუმი სხნარ-ში 15 დღე-ლამის შემცირებულ გრ/ლ	მანგანუმი სხნარ-ში ცდის ბოლოს გრ/ლ	მანგანუმი მყარ ნარჩე- ნები გრ/ლ	ანგანუმის გამოტუტვა %
	%	გრ		pH	Eh mv	rH ₂	pH	Eh mv	rH ₂				
250.0	12.2	30.5	1:4	7.35	429	28.7	5.0	344	21.0	6.9	9.7	9.08	33.0
100.0	12.2	12.2	1:10	7.35	429	28.7	4.9	385	22.6	7.2	9.92	2.72	82.0

მანგანუმის პროცესის ინტენსიფიკაციის მიზნით გამოყენებული მიკროორგანიზმები ადაპტირებული იქნა მანგანუმის მაღალ კონცენტრაციასთან. რისთვისაც წარმოებდა თანმიმდევრობითი პასირებები მყარ საკვებ არეზე, რომლებიც შეიცავდნენ მანგანუმის მზარდ კონცენტრაციისას.

ადაპტირების პროცესები ზორციელდება პეტრის ჯამებში. გამოყენებული იქნა საკვები არე №5. რომელსაც ემატებოდა შლამის 0.063-0.07 მმ ფრაქციის შესაბამისი რაოდენობა. კულტურის გადათესვა ხდებოდა შტრინგების მეოთხით. თითოეული პასაჟის ხანგრძლივობა შეადგენდა 2 დღე-ლამეს.

Aeromonas sp. შტამი 125, 60-70 გრ/ლ. შლამის კონცენტრაციისას დაშლის ზონებს იძლეოდა მე-4-5 პასაჟისას. ადაპტირებული კულტურების მანგანუმის გამოტუტვის უნარის ინტენსიურობის საბოლოო შეფასება ხდებოდა ცდების მეშვეობით. ცდები ტარდებოდა როვებში იგივე წარმომადგენლობის შლამებზე, 50გრ-იან

ლიტერატურა

- ლ. ქართველიშვილი, ჭ. გაბულია, შ. მალაშვილა, ნ. ლომიძე, მ. კანდელაკი, ლ. ჩოჩია, ნ. ჩხობაძე. ბიოტექნოლოგის გამოყენების შესაძლებლობები კალიუმის შემცველი არამაღნეული ნედლეულიდან კალიუმის ნაერთების მისაღებად. სამთო უურნალი №2(35), თბილისი, 2015. გვ. 68-72.
- შ. მალაშვილა. აგრომინერალური რესურსების ბაზაზე წარმოებული ორგანო-მინერალური და

წონაკებზე, რომელსაც ემატება №5 საკვები არე, მყარისა და თხევადის შეფარდება 1:20. ინოკულაცია 24 საათიანი ადაპტირებული კულტურით.

შედეგების ანალიზმა უჩვენა, რომ ადაპტირებული კულტურის გამოყენების შემთხვევაში საკვები სხნარი pH შემცირებას იწყებდა უკვე მე-2-3 დღეს (pH 6.0-5.0) მე-5 დღეს ხდებოდა არის შემუავება (pH-4.5), რის გამოც იზრდებოდა შლამიდან მანგანუმის გამოტუტვის ინტენსივობა. ხოლო საბოლოოდ გამოტუტვის პროცესის ხანგრძლივობა მცირდება 20-დან 12 დღე-ლამემდე, მანგანუმის გამოტუტვა – 92 - 95 %.

მიკროორგანიზმების უნარი გამოიტუტოს მანგანუმი და გადაიყვანოს ის სხნარში, შეიძლება გამოყენებული იქნას მანგანუმის ნარჩენების გამოსაყენებლად მცენარეთა მკვებავი სასუქების მთლიანი რიც სახეობებში ჩასართავდე როგორც მიკროელემენტი.

- ბიოორგანომინერალური სასუქები, როგორც გეოეკოლოგიური უსაფრთხოების ფაქტორი. სამთო უურნალი №2(39), თბილისი, 2017. გვ. 76-79.
- Каравайко Г. И., Кузнецов С.И., Голомзик А.И. Роль микроорганизмов в выщелачивании металлов из руд. Изд. Наука, Москва, 1972. 248 с.

თვეში.

მანქანების ტრანსპორტირება ტრაქტორებით და ბულდოზებით დასაშვებია მხოლოდ ჩისტი ჩაბმის გამოყენებით და უსაფრთხოების უზრუნველსაყოფად სპეციალურად დამუშავებული ღონისძიებების დაცვით.

მანქანების და მექანიზმების შეზეთვა სვლის დროს დასაშვებია მხოლოდ სპეციალური მოწყობილობით.

საპონი და საწმენი მასალები სამთო და სატრანსპორტო მანქანებზე უნდა ინახებოდეს ლითონის დახურულ კუთხებში. სამთო მანქანებსა და ლოკომოტივებზე ბერზინისა და სხვა ადვილდაალებადი ნივთიერებების შენახვა დაუშვებელია.

ელექტროენერგიის მიწოდების მოულოდნელი შეწყვეტისას მექანიზმების მომსახურე პერსონალი ვალდებულია დაუყოფნებლივ გადაიყვანოს ძრავების ასამუშავებელი მოწყობილობა და მართვის ბერკეტები მდგომარეობაში „დადექ“.

ყველა სახის რემონტთან დაკავშირებით სამუშაოების წესისა და თანამიმდევრობის დასადგენად უნდა დამუშავდეს ინსტრუქციები (ტექნოლოგიური რეკენდი და სხვა).

აკრძალულია სარემონტო-სამონტაჟო სამუშაოების წარმოება მექანიკური დანადგარების და მოძრავი ნაწილების უშუალო სიახლოეს, აგრეთვე, ბაზების ქვეშ მყიფი ელექტრული სადენებისა და მოწყობილობის მახლობლად, თუ ეს მოძრავი ნაწილები, სადენები და მოწყობილობა სათანადოდ არაა შემოლობილი. პირებს, რომლებიც დაიშვებიან ელექტრომოწყობილობის რემონტზე, უნდა ჰქონდეთ საკვალიფიკაციო ჯგუფი ელექტროუსაფრთხოებაში მომხმარებელთა ელექტროდანადგარების ექსპლუატაციისას უსაფრთხოების ტექნიკის წესების შესაბამისად.

მექანიზმების ნაწილების რემონტი და შეცვლა დასაშვებია მხოლოდ მანქანის სრული გაჩერებისა და იმ ამამუშავებელი აპარატების ბლოკირების შემდეგ, რომლებსაც მოძრაობაში მოჰყავთ ეს მექანიზმები. თუ სარემონტო სამუშაოებისათვის აუცილებელია ელექტროენერგიის მიწოდება, დამუშავებული უნდა იქნეს სამუშაოთა ორგანიზაციის სპეციალური პროექტი.

ცეცხლოვანი სამუშაოები (აირსაშემდუღებლო, აირ-საჭრელი და ელექტროსაშემდუღებლო) უნდა წარმოებდეს საშემდუღებლო და სხვა ცეცხლოვანი სამუშაოების წარმოებისას სახანძრო უსაფრთხოების წესების შესაბამისად.

ექსკავატორებისა და საბურლი დაზგების რემონტი დასაშვებია საფეხურის სამუშაო ბაქანზე, ამსთან, ეს მექანიზმები განლაგებული უნდა იყოს შესაძლო ჩამოქცევის ზონის იქთ. ბაქანი უნდა იყოს მოსწორებული და ჰქონდეს მანქანების მისასვლელი გზა.

საბურლი დაზგა უნდა დაიღდას საფეხურის მოსწორებულ ბაქანზე და განლაგდეს ისე, რომ დაზგების საგალი ნაწილი, სულ მცირე, 3 მ-ით მაინც იყოს დაცილებული საფეხურის კიდევან. ცალკეულ შემთხვევებში, საბურლი დაზგის კონსტრუქციის გათვალისწინებით, დასაშვებია სავალი ნაწილის განლაგება უფრო ახლოს, ჩამოქცევის პრიზმის საზღვრებში. აკრძალულია საბურლი დაზგის დომერატების ქვეშ მადინისა და ქანის ნატეხების ამოღება. აწეული ანმით საბურლი დაზგის

გადაადგილება საფეხურზე დასაშვებია მხოლოდ მოსწორებულ პორიზონტალურ ბაქანზე. დაზგის გადაადგილებისას ელექტროგადაცემის ხაზების ქვეშ ანდა უნდა იყოს დაშვებული, საბურლი ინსტრუმენტი-მოხსნილი ან სამიეროდ დამაგრებული.

საბურლი დაზგის ამწევი ბაგირი გაანგარიშებული უნდა იყოს მაქსიმალურ დატვირთვაზე და ჰქონდეს სიმტკიცის ხუთმაგი მარაგი.

ამწევი ბაგირის მავთულების გამოშვერილი ბოლოები უნდა მოიჭრას. თუ ამწევ ბაგირში შეგრეხის ერთი ბიჯის სიგრძეზე მავთულების 10%-ზე მეტია გაწყვეტილი, ბაგირი უნდა გამოიცვალოს.

ერთხმანი ექსკავატორი უნდა განლაგდეს კარიერის ან ნაყარის საფეხურზე ისეთ მყარ, მოსწორებულ ფუქეზე, რომლის ქანობი არ აღემატება ექსკავატორის ტექნიკური პასპორტით გათვალისწინებულ დასაშვებ ქანობს. ყველა შემთხვევაში მანძილი საფეხურის ნაყარის გვერდს ან სატრანსპორტო ჭურჭელსა და წინაღლებირთს შორის უნდა იყოს, სულ ცოტა, 1 მ. ექსკავატორის მუშაობისას მისი კაბინა უნდა განლაგდეს სანგრევის საწინააღმდეგო მხარეს. ექსკავატორზე უნდა იყოს სანგრევის პასპორტი, რომელშიც ნაჩვენები უნდა იყოს სამუშაო ბაქნების დაფირდების კუთხების დასაშვები ზომები, საფეხურის სიმაღლე და დაშორება სამთო და სატრანსპორტო მოწყობილობიდან საფეხურის ან ნაყარის კიდემდე. ექსკავატორის გადაადგილებისას ჩამჩა უნდა დაიცალოს და აიწიოს ძირიდან არაუმეტეს 1 მ სიმაღლეზე, ხოლო ისარი დაყენებული უნდა იქნეს ექსკავატორის მოძრაობის მიმართულებით. მაბიჯი ექსკავატორის მოძრაობისას ჩამჩა უნდა დაიცალოს, ხოლო ისარი დაყენებული უნდა იქნეს ექსკავატორის მოძრაობის მიმართულების საწინააღმდეგო მხარეს.

ადმართზე და დაღმართზე ექსკავატორის მოძრაობისას აუცილებელია თვითნებური დასრულიერების გამომრიცხავი ღონისძიებების გათვალისწინება. ექსკავატორის გადაადგილება უნდა მოხდეს მემანქანის თანაშემწის სიგნალების მიხედვით. ამასთან, უზრუნველყოფილი უნდა იქნეს ექსკავატორის მემანქანესა და მის თანაშემწის შორის მუდმივი ხილვადობა. მაბიჯი ექსკავატორისთვის დასაშვებია სიგნალების გადაცემა მემანქანის თანაშემწედან მემანქანესთან ბრიგადის მესამე წევრის მეშვეობით. დაუშვებელია ექსკავატორის მუშაობა საფეხურების შევრილებისა და ქმების ქვეშ.

ჯავჭანი მრავალჩამიანი (რკინიგზის, მუხლუხა, თვლიანი), აგრეთვე, მაბიჯი ექსკავატორის ლიანდაგისა და გზის ქმნობი და რადიუსის განისაზღვრება ექსკავატორის ტექნიკური პასპორტით. მოწყობილობა, რომელიც აკონტროლებს და აფიქსირებს ლიანდაგის სიგანესა და ქანობს, თვეში ერთხელ მაინც უნდა შემოქმდეს. ამ მოწყობილობის არარსებობისას ან უწესივრობისას ექსკავატორის მუშაობა დაუშვებელია.

დაუშვებელია ექსკავატორების ლიანდაგის ექსპლუატაცია კარიერის გაწყვლოვანებულ საფეხურზე, თუ არ გამოიყენება წყალსარინი მოწყობილობა. ერთხმანი ექსკავატორზე გამოყენებული ბაგირები უნდა შეესაბამებოდეს პასპორტს. გაწყვეტილი მავთულების რაოდენობაში შეგრეხის ბიჯის სიგრძეზე არ უნდა აღმატებოდეს ბაგირში მისი საერთო რაოდენობის 15 %-ს.

გაწყვეტილი მავთულების გამოშვერილი ბოლოები უნდა მოიჭრას.

ერთხამჩიანი ექსკავატორით რკინიგზის ვაგონების დატვირთვისას და განტვირთვისას სუქსკავატორო სანაკაროზე მატარებლის ბრიგადა უნდა დაემორჩილოს ექსკავატორის მემანქანის სიგნალებს.

ექსკავატორის მუშაობისას აკრძალულია ჩამჩის მოქმედების ზონაში ადამიანების ყოფნა (მათ შორის, მომსახურე პერსონალის). ერთხამჩიანი ექსკავატორის მუშაობისას საფეხურის ჩამონგრევის ან ჩამომეტყრების საფრთხის შემთხვევაში ან ფეთქებადი მასალების მტყუნებული მუხტის აღმოჩენისას ექსკავატორის მუშაობა უნდა შეწყდეს და ექსკავატორი გაყვანილი უნდა იქნეს უსაფრთხო ადგილის. ექსკავატორის სანგრევიდან გამოსაყანად ყოველთვის უნდა იყოს თავისუფალი გასასვლელი. ერთხამჩიანი ექსკავატორის ისეთ გრუნტზე მუშაობისას, რომელიც ვერ უძლებს მუხლუხების წნევას, გათვალისწინებული უნდა იქნეს ექსკავატორის მდგრადი მდგომარეობის უზრუნველყოფით სპეციალური ღონისძიებები.

მრავალჩამჩიანი ექსკავატორის მუშაობის დროს ადამიანები არ უნდა იყოფებოთ დატვირთულ ვაგონებთან და მათ შეუასეთობის განმტვირთავი და განმტვირთავი ლიუკების, კონვეიერების, გადამტვირთავი მოწყობილობისას და ექსკავატორის სავალი მოწყობილობის ჩარჩოს ქვეშ. მრავალჩამჩიანი ექსკავატორის კაბინა აღჭურვილი უნდა იყოს მოწყობილობით, რომელიც საშუალებას აძლევს მემანქანებს მხედველობის არეში იქონიოს ექსკავატორის მოდებარე უბანი სანგრევში. მრავალჩამჩიან ექსკავატორს უნდა ჰქონდეს სამარჯვები, რომელიც გამორიცხავის ჩამჩის ჩარჩოს როტორის აწევას, დაშვებას ან მობრუნებას მეტი კუთხით, ვიდრე ეს გათვალისწინებულია ექსკავატორის კონსტრუქციით.

სატრანსპორტო-სანაკარო ზიდებს და კონსოლურ ნაყარწარმომქნელებს ქარის სიჩქარის და მიმართულების უწყვეტი ავტომატური გაზომვისათვის უნდა ჰქონდეს მოქმედი ხელსაწყოები, რომელიც ბლოკირებული უნდა იყონ ნაყარწარმომქნელების აგარიულ სიგნალთან და სავალი მექნიზმების მართვის სისტემებთან, აგრეთვე საზომ-საკონტროლო ხელსაწყოები, ბოლო ამორტიველები, სასიგნალო და სალაპარაკო მოწყობილობა. გარდა ავტომატური სამტებრუჭო მოწყობილობისა, ზიდის სავალურიკას უნდა ჰქონდეს წესივრული ხელის მუხრუჭი.

გზებთან და გასასვლელებთან ახლოს განლაგებული ყველა წინაღმგირთი უნდა იყოს შემოღობილი. სატრანსპორტო-სანაკარო ზიდების და კონსოლური ნაყარწარმომქნელების ყველა საკონვეიერო ზაზს ორივე მხრიდან უნდა ჰქონდეს შემოღობილი ბაქნები კონვეიერის მომსახურებისათვის. კონვეიერის გასწროვ გასასვლელის სიგანე უნდა იყოს, სულ ცოტა, 700 მმ.

სატრანსპორტო-სანაკარო ზიდის კომპლექსის ხანძარსაწინაღო დაცვა უნდა შეიცავდეს კონკრეტულ ხანძარსაწინაღო დაცვა უნდა შეიცავდეს კონკრეტულ ხანძარსაწინაღო ლონისძიებებს, აგრეთვე განსაზღვრავდეს ხანძრის ჩაქრობის საშუალებების რაოდენობას და მათი შენახვის ადგილებს.

მაბიჯ და მაბიჯ-ლიანდაგიანი სელის კონსოლური ნაყარწარმომქნელის გადაადგილებისას აკრძალულია

კონსოლის ქვეშ ტრანსპორტის, მანქანის, მექანიზმების და ადამიანების გავლა. სატრანსპორტო-სანაკარო ზიდის სანაკარო კონსოლის ბოლოსა და ნაყარის ქიშს შორის მანძილი არ უნდა იყოს 3 მ-ზე ნაკლები.

ჰექა-ქუხილის დროს, ნისლსა და ქარბუქში 25 მ-დე ხილვაღილისას, აგრეთვე, თავსხმა წვიმის, სველი და დიდი თოვლის დროს სატრანსპორტო-სანაკარო ზიდის გადაადგილება და მუშაობა აკრძალულია.

დაუშვებელია 1 მ-ზე ახლოს სატრანსპორტო-სანაკარო ზიდის მიახლოება შენობებთან ან სამთო-სატრანსპორტო მოწყობილობასთან, აგრეთვე სატრანსპორტო-სანაკარო ზიდის მუშაობა მომუშავე სამთო-სატრანსპორტო მოწყობილობის ზემოთ. აკრძალულია ზიდის გზების ექსპლუატაცია კარიერის გაწყლოვანებულ საფეხურებზე. ნაყრის ჩამოცურების ნიშნების გამოვლენისას სატრანსპორტო-სანაკარო ზიდი გამოყვანილი უნდა იქნეს სახი-ფათვი ზონიდან.

სატრანსპორტო-სანაკარო ზიდების, ნაყარწარმოქნელებისა და ექსკავატორების კონსტრუქციული ელემენტები, აგრეთვე, მათი ტრაქები და ბაქნები სისტემატიურად უნდა იწმინდებოდეს სამთო მასისა და ტალა-ახისგან (ჭუჭყისაგან).

ბულდოზერის (ტრაქტორის) ექსპლუატაციისას დაუშვებელია მისი უმეთვალყურეოდ დატოვება ჩართული ძრავათი და აწევლი დანით. აკრძალულია ბულდოზერით (ტრაქტორით) მუშაობა ბლოკირების გარეშე, რომელიც გამორიცხავს ძრავას ამუშავებას, თუ გადაცემათა კოლოფი ჩართულია ან ძრავას არა აქვს კაბინიდან ამუშავების მოწყობილობა.

რემონტის, შეზეოვისა და რეგულირების დროს ბულდოზერი უნდა იდგეს ჰქონდებო მისი უმეთვალყურეოდ დატოვება ბაქნებზე, ძრავა უნდა იყოს გამორთული, ხოლო დანა – დაშვებული მიწაზე. დახრილ სიბრტყეზე ბულდოზერის ავარიული გაჩრების შემთხვევაში მიღებული უნდა იქნეს ზომები, რომლებიც გამორიცხავენ ქანობზე მის თვითნებურ მოძრაობას. ბულდოზერის მუშაობისას სანგრევის დაფერდების მაქსიმალური კუთხე არ უნდა აღემატებოდეს 25°-ს აღმართზე და 30°-ს – ქანობზე (ტვირთით დაშვებისას).

კარიერზე რკინიგზის ტრანსპორტის გამოყნებისას ლოკომოტივის (ჟლმავლის, თბომავლის, ორთქლმავლის) სამართავად დაშვებიან ის პირები, რომლებმაც გაიარეს სწავლება და ჩააბარეს თეორიული და პრაქტიკული გამოცდები ლოკომოტივის მართვის უფლების მისაღებად.

გაღმოტვირთული ან დასაზღვროთად გამზადებული ტვირთი ლიანდაგის გასწროვ უნდა განლაგდეს და დამაგრდეს ისეთნაირად, რომ შენობებთან მიახლოების ზომები არ დაირღვეს. 1200 მმ-მდე სიმაღლის ტვირთი (გარდა საგზაო სამუშაოებისთვის გაღმოტვირთული ბალასტებისა) უნდა იყოს განაპირა რელსის თავის გარეკიდება, სულ მცირე, 2 მ მანძილზე, ხოლო მეტი სიმაღლისას – არანაკლებ 2,5 მ-ზე.

ვაგონების ცალმხრივი, ზეგაბარიტული, აგრეთვე, ტვირთმცემობაზე მეტად დატვირთვა დაუშვებელია. დატვირთვის პროცესში რკინიგზის შემადგენლიტის სანგრევის გასწროვ გადაადგილება უნდა მოხდეს მხელოდ ექსკავატორის მემანქანის ნებართვის სიგნალების მიხედვით. კარიერზე ლიანდაგები კვარტალში ერთხელ მაინც

ლიტერატურა

1. ა. ბეჯანიშვილი, გ. ბუცხრიკიძე, ვ.ქურცხალია, თ. ჰეჭრაბაშვილი. საშიში საწარმოო ობიექტების (სადაც სრულდება და სამთო სამუშაოები) უსაფრთხოების

БЕЖАНИШВИЛИ А.Г.
ТРЕБОВАНИЯ БЕЗОПАСНОЙ
ЭКСПЛУАТАЦИИ И РЕМОНТА МЕХАНИЧЕС-
КОГО ОБОРУДОВАНИЯ КАРЬЕРА

АННОТАЦИЯ. В работе даны общие положения безопасной эксплуатации и ремонта механического оборудования карьера. Описаны вопросы, связанные с расположением, перемещением и работой на карьере горных, транспортных и строительно-дорожных машин (буровые станки, экскаваторы, транспортно-отвальные мости и консольные отвалообразователи, конвейерный транспорт, камнерезные машины), а также средства автоматики и противопожарной защиты оборудования. Рассмотрены вопросы перемещения железнодорожных грузов, загрузки вагонов, устройства железнодорожных путей и автомобильных дорог, операции загрузки и разгрузки грузов на автомобильном транспорте.

КЛЮЧЕВЫЕ СЛОВА: бурильный станок; транспортно-отвальный мост; камнерезная машина; экскаватор цепной многоковшовый; автомобильная дорога; погрузка-разгрузка груза; механическое оборудование карьера; средства противопожарной защиты.

წესები. შპს „სამთო ტექნიკური მომსახურება“. თბილისი, 2006. 80 გვ.

2. ტექნიკური რეგლამენტი კარიერების უსაფრთხოების შესახებ. საქართველოს მთავრობის 2013 წლის 31 დეკემბრის № 450 დადგენილება.

BEZHANISHVILI A.
REQUIREMENTS OF SAFETY EXPLOITATION
AND REPAIR OF MECHANICAL EQUIPMENT OF
QUARRY

ANNOTATION: Common requirements of safety exploitation and repair of mechanical equipment of quarry are given. Issues, concerning with disposition, displacement and working at quarry of mining, transport and road building machines (drilling rigs, excavators, bulldozers, transport and dumping bridges, overburden spreaders, conveyors, rock-cutting machines), as well as means of automation and fire-protection equipment are described. Issues of displacement of railway cargo, loading of cars, devices of railway track and automobile roads, operations of loading and discharge of cargo at automobile transport are considered.

KEY WORDS: drilling rig; transport and dumping bridge; rock-cutting machine; ladder-type; trenching machine; automobile road; loading and discharge of cargo; mechanical equipment of quarry; fire protection means.

აკად. დოკტორი გ. ჯანგიძე, თექ. მეცნ. მეცნ. დოკტორი გ. ილაგაძე,	ს. სტერიანოვა
სს „გადნეულის“ პარიერის და ნარარეცვა მუნიციპალიტეტის სამთო მეცნიერებული ციფროსასტრანსპორტო სისტემის ტრასაზე არსებული მანაწილებელი ჰიდრაულიკური მარტინის მთავარ კონსტრუქციის განლაგებულ საცემებზეც რეაქტორების წყლის თვითღინებით რეჟიმში მისაწოდებული სისტემის შესაძლო ვარიანტები. ჰიდრაულიკური გაანგარიშებების საფუძვლზე შერჩეულია ტრასის საუკეთოსი ვარანტი და განსაზღვრულია სატრანსპორტო სისტემის ძირითადი მანასითებელი პარამეტრები. საცემენტაციო რეაქტორების საჭირო რაოდენობის მდგრადი მუშაობის უზრუნველყოფის მიზნით ჩატარებულია აგრეთვე მანაწილებელი ჭის ჰიდრაულიკური გაანგარიშება. გადაწყვეტილია საცემენტაციო რეაქტორებში შემავალი წყლის ხარჯის რეგულირების საკითხიც. ჩატარებული კვლევებისა და ანგარიშების საფუძვლზე დამუშავებულია მიღებული სა-	

ანგარიში. სტატიაში განხილულია სს „გადნეულის“ კარიერის და ნაკარქებში მუვე წყლების სათავე ნაგებობიდან სამრავო რეზერვუარმდე მისაწოდებული ჰიდროსასტრანსპორტო სისტემის ტრასაზე არსებული მანაწილებელი ჰიდრაულიკური მარტინის მთავარ კონსტრუქციის განლაგებულ საცემებზეც რეაქტორების წყლის თვითღინებით რეჟიმში მისაწოდებული სისტემის შესაძლო ვარიანტები. ჰიდრაულიკური გაანგარიშებების საფუძვლზე შერჩეულია ტრასის საუკეთოსი ვარანტი და განსაზღვრულია სატრანსპორტო სისტემის ძირითადი მანასითებელი პარამეტრები. საცემენტაციო რეაქტორების საჭირო რაოდენობის მდგრადი მუშაობის უზრუნველყოფის მიზნით ჩატარებულია აგრეთვე მანაწილებელი ჭის ჰიდრაულიკური გაანგარიშება. გადაწყვეტილია საცემენტაციო რეაქტორებში შემავალი წყლის ხარჯის რეგულირების საკითხიც. ჩატარებული კვლევებისა და ანგარიშების საფუძვლზე დამუშავებულია მიღებული სა-

ტრანსპორტო სისტემის სამშენებლო-სამონტაჟო დოკუმენტაცია.

საპრანი სიტყვები: პიდროსატრანსპორტო სისტემა; თვითღინებითი რეჟიმი; სამრავო რეზერვუარი; მანაწილებელი ჭი; საცემენტაციო რეაქტორი; პლასტმასის მიღი; მიღსაღენი ტრასა; დაწნევის გრძივი დანაკარგები; დაწნევის ადგილობრივი დანაკარგები.

სს „გადნეულის“ კარიერის და ნაკარქებში მუვე წყლები წარმოადგენს მძიმე მეტალების სულფატურ ხსნარებს, რომლებშიც საკმაო რაოდენობითაა სპილენძი, თუთა, რკინა და სხვა. აღნიშნული შემცველობა და მაღალი მუვიანობა ($\text{PH}=2.5-3.5$) იწვევდა მდინარეების კაზრეთულას და მაშავერას დაბინძურებას, რამაც განაპირობა გადაწყვეტილი ღონისძიებების გატარება მავნე გავლენის თავიდან ასაცილებლად. კომპანიის ხელმძღვანელობამ მიიღო გადაწყვეტილება ღონისძიებები

ანუ მთლიანი ხარჯი, რომელზეც უნდა გაითვალოს თვითდინგბით ტრანსპორტირების სისტემა, შეადგენს $Q_x = 200 \text{ л}^3/\text{с}\cdot\text{т}$ (ანუ ოთხი რეაქტორის ერთდღოული მუშაობისათვის); მიღლადენის მასალა - პლასტმასი (P100, SDR 27,6 PH6); მიღლადენის საანგარიშო სიგრძე I ვარიანტისათვის $L=160 \text{ м}$, II ვარიანტისათვის $L=130 \text{ м}$; არსებული გეოდეზიური სიმაღლე (მანაწილებელ ჭაში წყლის დონესა და რეაქტორის ზედა ნაწილში წყლის დონის ნიშნულებს შორის სხვაობა) - $H = 7,88 \text{ м}$; მიმღები მიღლის ჩაყვითვის სიმაღლე ჭაში წყლის პორიზონტის ქვეშ- $h_{\text{ჩვეულ}} = 0,45 \text{ м}$ (იხ. ნახ. 1 და ნახ. 2).

I ვარიანტის მიხედვით ჩატარებული პიდრავლიკური გაანგარიშებები პლასტმასის როგორ $d_{\text{გარ}} = 0,225 \text{ м}$ ისე $d_{\text{გარ}} = 0,250 \text{ м}$ და აქ არ განვიხილავთ. აღვნიშნავთ მხოლოდ, რომ II ვარიანტთან შედარებით I ვარიანტი, როგორც წინასწარ საორიენტაციოდ განისაზღვრა (რაც შემდეგ გაანგარიშებებითაც დადასტურდა), უფრო ნაკლებად ხელსაყრელად იქნა მიღებული, ამიტომ აქ განვიხილავთ მხოლოდ II ვარიანტს $d_{\text{გარ}} = 0,250 \text{ м}$ ($d_{\text{გარ}} = 0,232 \text{ м}$) პლასტმასის მიღლის შემთვევისათვის.

II ვარიანტის საანგარიშო სქემა მოცემულია ნახ-

ზე 1.

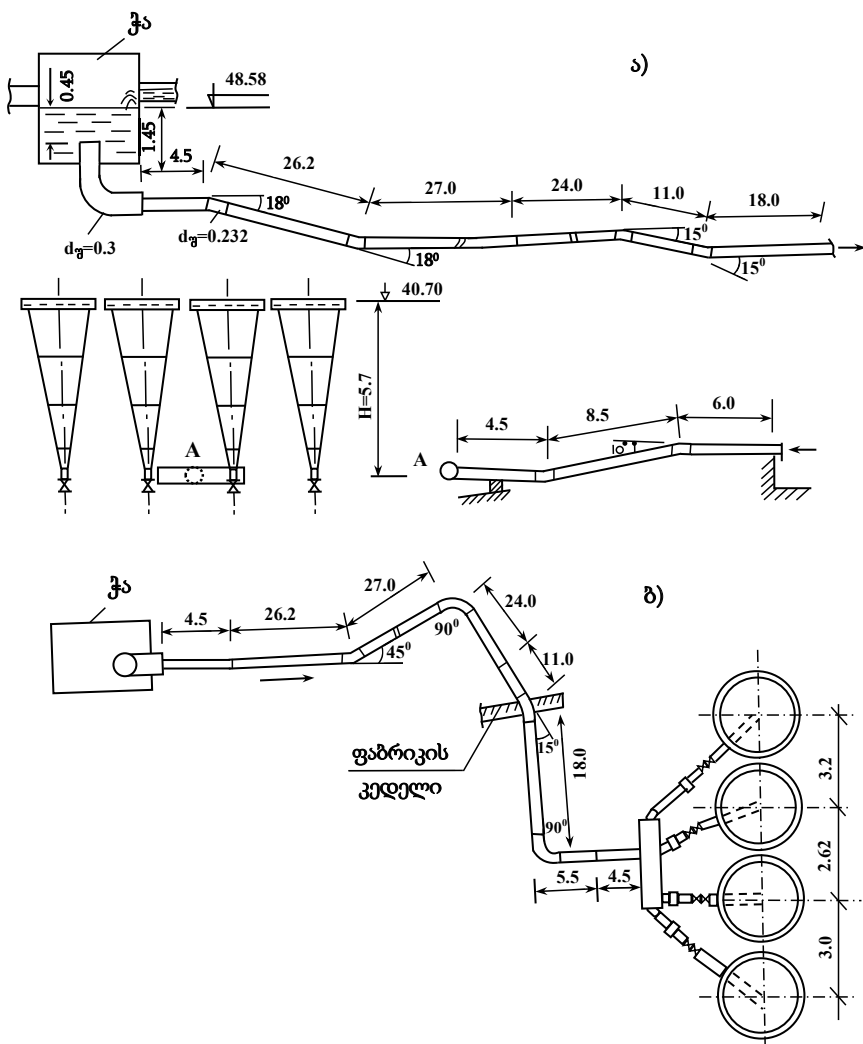
პიდრავლიკური გაანგარიშებებს ვაწარმოებთ შემდეგი თანამიმღევრობით:

სატრანსპორტო სისტემებისათვის საჭირო დაწნევა იანგარიშება ფორმულით:

$$H = h_{\text{გრ}} + h_{\text{დად}}, \quad (1)$$

სადაც $h_{\text{გრ}}$ არის დაწნევის დანაკარგები ხახუნის წინაღობის გადალახვაზე მიღლის სიგრძეზე, მ; $h_{\text{დად}}$ - დაწნევის დანაკარგები ადგილობრივი წინაღობების გადალახვაზე (დანაკარგები მიღლში ნაკადის შესვლაზე, უეცარ შევიწროებაზე, უეცარ გაფართოებაზე, მოსახვევებზე, ხარჯმზომში, რეაქტორებში და ა.შ.), მ.

პირველ რიგში ვამოწმებთ პირობას, ხომ არ წარმოქმნება ჭაში გრიგალური ძაბრი და შესაბამისად ხომ არ ხდება პარის შეწოვა გამყვან მიღლის ყელში, რომელიც შეაფერებს წყლის ხარჯის ნორმალურ მიწოდებას. არსებობს პირობა [3], რომ შემწოვი მიღლის პირი ჩაძირული უნდა იყოს წყლის დონის ქვემოთ 1,5 დ - თი, სადაც დ შემწოვი (ჩვენს შემთხვევაში გამყვანი მიღლი) მიღლის დამეტრია და უდრის $0,3 \text{ м}$ -ს. ე. ი. $1,5d = 1,5 \times 0,3 = 0,45 \text{ м}$. არსებული ჩაყვითვის სიმაღლე სქემის მიხედვით (იხ. ნახ. 1 და ნახ. 2) არის $48,58 - 48,13 = 0,45 \text{ м}$. მაშა-სადამე პირობა დაცულია.



ნახ. 1. სქემა პიდრავლიკური გაანგარიშებისათვის (II ვარიანტი): а) პროფილი; б) გეგმა

ვამოწმებთ აგრეთვე პირობას – ხომ არ უკეთებს ლიმიტირებას მიღსადენი სისტემის რომელიმე უბანი ხარჯს, რომელიც ნაკლები იქნება საანგარიშოზე (200 მ³/სთ). ამ მხრივ, უპირველეს ყოვლისა, შემოწმებას მოითხოვს საწყისი უბანი, სადაც გეოდეზიური სიმაღლე მხოლოდ იწყება. ეს პირობა მოწმდება ჰორიზონტალური უბნის სიგრძისა და გეოდეზიური სიმაღლის ფარდობიდან გამომდინარე შემდეგი ფორმულით [4]

$$Q_x = \sqrt{\frac{1}{K_Q} \cdot \frac{H}{L+H}} , \quad (2)$$

სადაც H არის საანგარიშო უბნის გეოდეზიური სიმაღლე, $H=48,5-47,28=1,3$ მ; L - უბნის ჰორიზონტალური სიგრძე, მ, $L=4,5$ მ; K_Q - მოცემული მიღსადენისათვის მუდმივი სიდიდეა ($\text{წ}^2/\text{მ}^6$) და იანგარიშება ფორმულით

საბოლოოდ

$$Q_x = \sqrt{\frac{1}{2,17} \cdot \frac{1,3}{4,5+1,3}} = \sqrt{0,1033} = 0,321 \text{ მ}^3/\text{წ}^2 = 1157 \text{ მ}^3/\text{სთ} >> 200 \text{ მ}^3/\text{სთ} .$$

ამრიგად, გამოდის რომ საწყისი უბანი საანგარიშო ხარჯს ლიმიტირებას არ უკეთებს.

სამშენებლო ნორმები და წესები (CHиП) რეკომენდაციას იძლევა წყალსაღწის მიღები გაანგარიშებული იქნეს ფ. ა. შეველიოვის ფორმულებით [6]. დაწინევის კუთრი დანაკარგები სიგრძეზე პლასტმასის მიღებისათვის იანგარიშება ფორმულით [7]

$$i = 0,000685 \frac{V^{1,774}}{d_{\text{g}}^{1,226}} . \quad (5)$$

მონაცემების შეტანით ვღებულობთ

$$i = 0,000685 \frac{1,31^{1,774}}{0,232^{1,226}} = 0,0066 \text{ მ წ}^2 \cdot \text{ს}^3/\text{მ} .$$

მთლიანი დანაკარგები სიგრძეზე

$$h_{\text{g}} = i \times \sum L , \quad (6)$$

სადაც $\sum L$ არის მიღსადენის საერთო სიგრძე, მ. თუ $\sum L = 130$ მ, მაშინ დაწინევის გრძივი დანაკარგების ჯამური სიდიდე $h_{\text{g}} = 0,0066 \times 130 = 0,86$ მ.

დაწინევის დანაკარგები ადგილობრივი წინაღობების გადალაზებული იანგარიშება ფორმულით [8]

$$h_{\text{g}} = \xi \frac{V^2}{2g} , \quad (7)$$

$$K_Q = \frac{8 \lambda_{\text{bsq}}}{\pi^2 g d_{\text{g}}^5} . \quad (3)$$

აქ λ_{bsq} აიღება ცხრილებიდან [5], ან იანგარიშება ფორმულით [6, 7]

$$\lambda_{\text{bsq}} = \frac{0,01344}{d_{\text{g}}^{0,226} \cdot V^{0,226}} , \quad (4)$$

სადაც d_{g} არის მიღის შიგა დიამეტრი, მ; V - ნაკადის სიჩქარე მიღში, მ/წ³;

$$d_{\text{g}} = 0,232 \text{ მ}; V = \frac{Q}{\omega} = \frac{200 \cdot 4}{3600 \cdot \pi d_{\text{g}}^2} = 1,31 \text{ მ}^3/\text{წ}^2 , \text{ მაშინ}$$

$$\lambda_{\text{bsq}} = \frac{0,01344}{0,232^{0,226} \cdot 1,31^{0,226}} = \frac{0,01344}{0,718 \cdot 1,062} = 0,0176 \text{ და}$$

$$K_Q = \frac{8 \cdot 0,0176}{3,14^2 \cdot 9,81 \cdot 0,232^5} = 2,17 \text{ წ}^2/\text{მ}^6 .$$

სადაც ξ არის ადგილობრივი წინაღობის კოეფიციენტი და სხვადასხვა სახის წინაღობისათვის სხვადასხვა; აიღება ცხრილებიდან ან გაიანგარიშება; V -ნაკადის სიჩქარე, მ/წ³; $\xi = 9,81 \text{ მ}^3/\text{წ}^2$ – სიმძიმის ძალის აჩქარება.

1. დაწინევის დანაკარგი ჭიდან მიღში შესვლაზე. მიღების დიამეტრი $d_{\text{g}} = 0,300$ მ; შესვლის სიჩქარე $V = \frac{Q}{\omega} = \frac{4Q}{\pi d_{\text{g}}^2} = \frac{4 \times 200}{3,14 \times 0,3^2 \times 3600} = 0,786 \text{ მ}^3/\text{წ}^2 .$

თუ მკვეთრი გადასვლის დროს ადგილობრივი წინაღობის კოეფიციენტი $\xi = 0,5$ [7], მაშინ

$$h_{\text{g}} = 0,5 \cdot \frac{0,786^2}{19,62} = 0,0157 \text{ მ} .$$

2. დაწინევის დანაკარგი ჭიდან გამოსასვლელ მოსახვები.

$d_{\text{g}} = 0,300$ მ; მოხვევის კუთხე 90° ; მდოვრე მოხვევა, მოხვევის რადიუსი უდრის $1,0$ მ-ს, $\xi = 0,15$ [7], მაშინ

$$h_{\text{g}} = 0,15 \cdot \frac{0,786^2}{19,62} = 0,031 \text{ მ} .$$

3. დაწინევის დანაკარგი უეცარ შევიწროებაზე ($0,300$ მ-იანი დიამეტრის მუხლიდან $0,250$ მ-იან დიამეტრის მიღში გადასვლაზე).

აღნიშნული შევიწროებისათვის

$$\left(\frac{\omega_2}{\omega_1} = \frac{0,042}{0,071} = 0,6 \right) \xi = 0,2, \quad \text{მაშინ}$$

$$h_{\text{გეოფ.}} = 0,2 \cdot \frac{1,31^2}{19,62} = 0,017 \text{ მ} .$$

4. დაწნევის დანაკარგი მოხვევაზე ვერტიკალურ სიბრტყეში.

$$\alpha_{\text{გარ}}^{30^\circ} = 18^\circ, \xi = 0,2, \quad v = \frac{Q}{\omega} = \frac{0,0555 \cdot 4}{\pi d_g^2} = \frac{0,0555 \cdot 4}{3,14 \cdot 0,216^2} = 1,51 \text{ მ/წმ}, \quad \text{მაშინ}$$

$$h_{\text{გონ}}^{180^\circ} = 0,2 \cdot \frac{1,51^2}{19,62} = 0,023 \text{ მ} .$$

5. დაწნევის დანაკარგი მოხვევაზე ვერტიკალურ სიბრტყეში

$$\alpha_{\text{გარ}}^{30^\circ} = 18^\circ, \xi = 0,2, \quad \text{მაშინ} \quad h_{\text{გონ}}^{180^\circ} = 0,2 \cdot \frac{1,51^2}{19,62} = 0,023 \text{ მ} .$$

6. დაწნევის დანაკარგი მოხვევაზე პორიზონტალურ სიბრტყეში

$$\alpha_{\text{გარ}}^{30^\circ} = 45^\circ, \xi = 0,35 \quad \text{მაშინ} \quad h_{\text{გონ}}^{45^\circ} = 0,35 \cdot \frac{1,51^2}{19,62} = 0,04 \text{ მ} .$$

7. დაწნევის დანაკარგი მოხვევაზე პორიზონტალურ სიბრტყეში

$$\alpha_{\text{გარ}}^{30^\circ} = 90^\circ, \xi = 1,1 \quad \text{მაშინ} \quad h_{\text{გონ}}^{90^\circ} = 1,1 \cdot \frac{1,51^2}{19,62} = 0,128 \text{ მ} .$$

8. დაწნევის დანაკარგი მოხვევაზე ვერტიკალურ სიბრტყეში

$$\alpha_{\text{გარ}}^{30^\circ} = 15^\circ, \xi = 0,17 \quad \text{მაშინ} \quad h_{\text{გონ}}^{15^\circ} = 0,17 \cdot \frac{1,51^2}{19,62} = 0,02 \text{ მ} .$$

9. დაწნევის დანაკარგი მოხვევაზე პორიზონტალურ სიბრტყეში (მამდიდრებელი ფაბრიკის მთავარ კორპუსში შესვლაზე).

$$\alpha_{\text{გარ}}^{30^\circ} = 15^\circ, \xi = 0,17 \quad \text{მაშინ} \quad h_{\text{გონ}}^{15^\circ} = 0,17 \cdot \frac{1,51^2}{19,62} = 0,02 \text{ მ} .$$

10. დაწნევის დანაკარგი მოხვევაზე პორიზონტალურ სიბრტყეში

$$\alpha_{\text{გარ}}^{30^\circ} = 90^\circ, \xi = 1,1 \quad \text{მაშინ} \quad h_{\text{გონ}}^{90^\circ} = 1,1 \cdot \frac{1,51^2}{19,62} = 0,128 \text{ მ} .$$

11. დაწნევის დანაკარგი მილიდან $d_{\text{გონ}} = 0,232 \text{ მ}$ კოლექტორში $d = 0,300 \text{ მ}$ შესვლაზე. იანგარიშება როგორც უაცარ გაგანიერებაზე

$$h_{\text{გონ}} = \xi \frac{v^2}{2g}; \quad v_2 = \frac{Q}{\omega^2} = \frac{0,0555 \times 4}{3,14 \times 0,300^2} = 0,786 \text{ მ/წმ} .$$

$$\xi = \left(\frac{\omega_2}{\omega_1} - 1 \right)^2 = \left(\frac{0,707}{0,0429} - 1 \right)^2 = 0,45, \quad \text{მაშინ} \quad h_{\text{გონ}} = 0,45 \cdot \frac{1,31^2}{19,62} = 0,04 \text{ მ} .$$

12. დაწნევის დანაკარგი კოლექტორში

$$h_{\text{გრd}} = i \times L = 0,000685 \times \frac{v^{1,774}}{d_g^{1,226}} \times 3,0 = 0,006 \text{ მ}, \quad L = 3,0 \text{ მ არის კოლექტორის სიგრძე}.$$

13. დაწნევის დანაკარგი კოლექტორიდან რეაქტორთან გადმყვან მიღწი შესვლაზე

$$d_{\text{გარე}} = 0,102 \text{ მ}, Q = 50 \text{ მ}^3/\text{სთ} = 0,0139 \text{ მ}^3/\text{წმ}, \omega = 0,0707 \text{ მ}^2;$$

$$\omega_2 = 0,00785 \text{ მ}^2, \xi = 0,5 \left(1 - \frac{\omega_2}{\omega_1} \right) = 0,5 \left(1 - \frac{0,00785}{0,0707} \right) = 0,45;$$

$$v_2 = \frac{Q}{\omega_2} = \frac{0,0139}{0,00785} = 1,77 \text{ მ}/\text{წმ}, \text{მაშინ } h_{\text{გარე}} = 0,45 \cdot \frac{1,77^2}{19,62} = 0,072 \text{ მ}.$$

14. დაწნევის დანაკარგი საკვალთში.

წინაღობის კოეფიციენტი დამოკიდებულია დაპეტვის ხარისხზე და იცვლება დიაპაზონში 0-∞. საანგარიშოდ ვიღებთ საკვალის, რომელიც დაკეტილია 4/8 ნაწილზე. ასეთი დაპეტვის ხარისხისათვის $\xi=2,0$ და

$$h_{\text{გარე}} = 2,0 \cdot \frac{1,77^2}{19,62} = 0,32 \text{ მ}.$$

საკვალთზე

$$h_{\text{გარე}} = 0,32 \times 2 = 0,64 \text{ მ}.$$

15. დაწნევის დანაკარგი ხარჯმზომში

$$\xi = 0,5 \text{ და } h_{\text{ხარჯმზ.}} = 0,5 \cdot \frac{1,77^2}{19,62} = 0,079 \text{ მ}.$$

16. დაწნევის დანაკარგი რეაქტორთან მისაერთებელ მუხლში (მოხვევაზე)

$$\alpha_{\text{გარე}} = 90^\circ, \xi = 1,1 \text{ და } h_{\text{გარე}} = 1,1 \cdot \frac{1,77^2}{19,62} = 0,175 \text{ მ}.$$

17. დაწნევის დანაკარგი საქმეში (იანგარიშება როგორც უეცარ შევიწროებაზე)

$$h_{\text{გარე}} = 0,1 \cdot h_{\text{გრ.}} = 0,1 \times 0,86 = 0,086 \text{ მ}.$$

გზე შეადგენს

$$\sum h_{\text{გრ.}} = 0,0157 + 0,031 + 0,017 + 0,023 + 0,023 + 0,04 + 0,128 + 0,02 + 0,02 + \\ + 0,128 + 0,042 + 0,006 + 0,072 + 0,64 + 0,079 + 0,175 + 0,18 + 0,62 + 0,086 = 2,35 \text{ მ}.$$

დაწნევის დანაკარგი რეაქტორში მძიმე სითხის სვეტის წინაღობის გადალაზვაზე იანგარიშება შემდეგნარად. არსებული გეოლოგიური სიმაღლის ნაწილი დაიხარჯება რეაქტორში მძიმე სითხის მიერ წინაღობის გადასალახვად. ამისათვის საჭიროა ვიანგარიშოთ სითხის სიმკვრივე რეაქტორში. იგი გამოითვლება ფორმულით

$$P = \frac{\rho_{\text{ა.}} - \rho_0}{\rho_{\text{გ.}} - \rho_0} \cdot \rho_{\text{გ.}}, \quad (8)$$

სადაც არის მყარის (აქტიური ფილტრის) შემცველობა პიდრონარევის მოცულობაში, კგ/მ³; $\rho_{\text{ა.}}$

პიდრონარევის სიმკვრივე, კგ/მ³; ρ_0 - წყლის სიმკვრივე,

$$d_{\text{გარე}} = 0,07 \text{ მ}, \omega_2 = \frac{\pi d_{\text{გარე}}^2}{4} = 0,0038 \text{ მ}^2; \omega_1 = 0,00785 \text{ მ}^2,$$

$$\xi = 0,5 \left(1 - \frac{\omega_2}{\omega_1} \right) = 0,26, \text{ მაშინ}$$

$$v_{\text{გარე}} = \frac{Q}{\omega_{\text{გარე}}} = \frac{50 \times 4}{\pi d_{\text{გარე}}^2 \times 3600} = 3,65 \text{ მ}/\text{წმ} \text{ და}$$

$$h_{\text{გარე}} = \xi \frac{v^2}{2g} = 0,26 \cdot \frac{3,65^2}{19,62} = 0,18 \text{ მ}.$$

18. დაწნევის დანაკარგი საქმენიდან გამოსვლაზე.

რეაქტორში ნაკადის შესვლის ადგილზე რეაქტორის დიამეტრი შეადგენს 0,370 მ-ს, რომლის განივი კვეთის ფართობი არის $\omega_2 = 0,1075 \text{ მ}^2$, ამ კვეთში სიქარე

$$v_2 = \frac{Q}{\omega_2} = \frac{0,0139}{0,1075} = 0,13 \text{ მ}/\text{წმ},$$

$$\xi = \left(\frac{\omega_2}{\omega_1} - 1 \right)^2 = 729 \text{ და}$$

$$h_{\text{რეაქტ. გარე}} = \xi \frac{v^2}{2g} = 729 \cdot \frac{0,13^2}{19,62} = 0,62 \text{ მ}.$$

დანაკარგები აიღება გრძივი დანაკარგების 10%. ე.ო. ადგილი დაწნევის ჯამური დანაკარგები ადგილობრივ წინაღობე-

ბზე შეადგენს

$\rho_{\text{გ.}} = 1,075 \text{ კგ/მ}^3$; $\rho_{\text{ა.}} = 1,075 \text{ კგ/მ}^3$.

აქტიური ფილტრის სიმკვრივე განისაზღვრება ლაბორატორიული წესით მიღებული მეთოდიკით [9]. განსაზღვრული სიღილე $\rho_{\text{გ.}} = 7260 \text{ კგ/მ}^3$.

თუ მივიღებთ, რომ აქტიური ფილტრი ძირითადად ტრიალებს რეაქტორის ქვედა ნაწილში 1,0-1,2 მეტრის სიმაღლეზე (ზონაში), რომლის მოცულობა შეადგენს 0,22 მ³-ს, მაშინ მყარის შემცველობა იქნება $P = \frac{50}{0,22} = 227 \text{ კგ/მ}^3$, სადაც 50 კგ არის რეაქტორში

ერთდროულად მიწოდებული აქტიური ფილტრის რაოდენობა; $\rho_0 = 1000 \text{ კგ/მ}^3$. ე.ო. გვექნება

$$227 = \frac{\rho_{\text{ж.}} - 1000}{7260 - 1000} \times 7260, \text{ საიდან } \rho_{\text{ж.}} = 1196 \text{ кг/м}^3.$$

1,15 მეტრის სიმაღლეზე მძიმე სითხით შექმნილი წინაღობა იქნება

$$\Delta h = 1,15 \times \rho_{\text{ж.}} - 1,15 = 1,15 \times 1,196 - 1,15 = 0,225 \text{ მ.}$$

თუ დავუშვებთ, რომ აღნიშნული სიმკვრივე (1196 კგ/მ³) გვექნება რეაქტორის მთელ სიმაღლეზე (რაც ნაკლებად მოსალოდნელია), მაშინ

$$\Delta h = 5,7 \times 1,196 - 5,7 = 1,117 \text{ მ.}$$

საბოლოოდ დახარჯული დაწნევების ჯამი შეადგენს

$$H_{\text{ж.}} = 0,86 + 2,35 + 0,225 = 3,44 \text{ მ.}$$

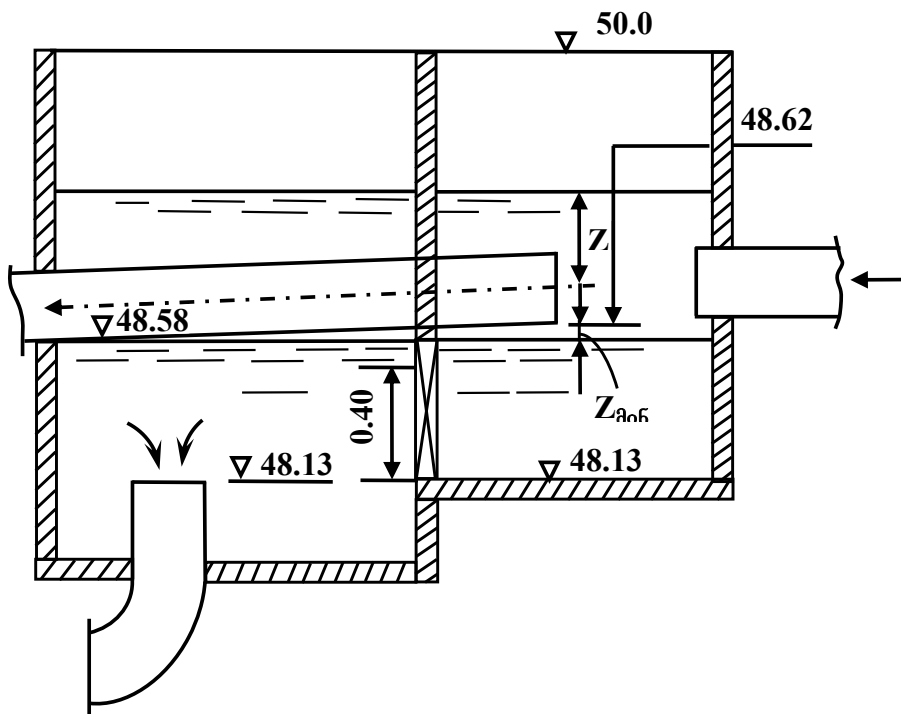
ან ყველაზე უარესი პირობებისათვის

$$H_{\text{ж.}} = 0,86 + 2,35 + 1,117 = 4,33 \text{ მ.}$$

$$\begin{aligned} & \text{მარაგის } \quad \text{კოეფიციენტის } \quad \text{გათვალისწინებით} \\ & K = (1,15 - 1,2) \text{ მივიღებთ, რომ } H_{\text{ж.}} = 3,44 \times 1,2 = 4,13 \text{ მ} \\ & \text{ან } H_{\text{ж.}} = 4,33 \times 1,2 = 5,20 \text{ მ.} \end{aligned}$$

როგორც ანგარიშებიდან ჩანს, II ვარიანტის სქემა ჰქონის კურავების უფრო ხელსაყრელია ვიდრე I ვარიანტის, რასაც წინასწარ, საორიენტაციოდაც ვვარაუდობდით. ამ შემთხვევაში დაწნევის მიღებული საჭირო სიღილეები (4,13 მ და 5,20 მ) გაცილებით ნაკლებია არსებულ გეოდეზიურ სიმაღლეზე (7,88 მ), რაც საჭირო ხარჯის (200 მ³/სთ) მიწოდების სრულ გარანტიას იძლევა. ჭარბი დაწნევა (7,88 - 4,13 = 3,75 მ ან 7,88 - 5,20 = 2,68 მ) დაიხარჯება რეაქტორის წინ დაყენებულ სარეგულაციო საკვალითში.

შემდეგ ვაწარმოებთ მანაწილებელი ჭის ჰიდრავლიკურ განგარიშებას. მისი სქემა მოცემულია ნახაზზე 2.



ნახ. 2. მანაწილებელი ჭის საანგარიშო სქემა

მანაწილებელ ჭაში შემოსული ნაკადი ნაწილდება შემდეგნაირად:

1. მთლიანად მიდის ტრანზიტულად სამარაგო ავზში $V=5000 \text{ მ}^3$ (როდესაც რეაქტორები არ მუშაობს);

2. მთლიანად მიდის რეაქტორებში (როდესაც მოდინება ტოლია ან ნაკლებია რეაქტორების მიერ მოხარული ხარჯისა);

3. ნაწილი მიდის რეაქტორებში, ხოლო ნაწილი ხარჯისა ტრანზიტულად ჩაედინება სამარაგო ავზში (როდე-

საც მოდინება მეტია მომუშავე რეაქტორების ჯერად ხარჯზე).

საჭიროა განისაზღვროს მანაწილებელ ჭაში დონე, როდესაც მოდინება არის მაქსიმალური და ა) რეაქტორები არ მუშაობა; ბ) მუშაობს ერთი რეაქტორი; გ) მუშაობს ორი რეაქტორი; დ) მუშაობს სამი რეაქტორი; ე) მუშაობს ოთხი რეაქტორი.

ჭაში მოსულ საერთო მაქსიმალურ ხარჯს ვიღებთ 200 მ³/სთ.

ამრიგად უნდა ვაინგარიშოთ სიმაღლე გამყვანი მიღის ცენტრიდან წყლის დონემდე, როდესაც;

$$\text{a) } Q = 200 \text{ } \text{მ}^3/\text{სთ} = 0,0555 \text{ } \text{მ}^3/\text{წმ}; \text{ b) } Q = 200-50=150 \text{ } \text{მ}^3/\text{სთ} = 0,042 \text{ } \text{მ}^3/\text{წმ}; \text{ c) } Q = 200-100=100 \text{ } \text{მ}^3/\text{სთ} = 0,027 \text{ } \text{მ}^3/\text{წმ}; \text{ d) } Q = 200 - 150=50 \text{ } \text{მ}^3/\text{სთ} = 0,0138 \text{ } \text{მ}^3/\text{წმ}; \text{ e) } Q = 200 - 200=0 \text{ } \text{მ}^3/\text{სთ} = 0 \text{ } \text{მ}^3/\text{წმ}.$$

z-ს (იხ. ნახ. 2) იანგარიშება დიდი დიამეტრის ნაცილად დაუტბორავ არეში გამოდინების ხარჯის საანგარიშო ფორმულით [8]

$$Q = \mu \omega \sqrt{2gz}, \quad (9)$$

სადაც $\mu=0,65$ არის ხარჯის კოეფიციენტი;

$$\omega = \frac{\pi D^2}{4} = \frac{3,14 \cdot 0,28^2}{4} = 0,062 \text{ } \text{მ}^2 - \text{გამყვანი მიღის ცოცხალი კვეთის ფართობი, } \text{m}^2; \text{ D - მიღის შიგა დიამეტრი, } \text{m}; \text{ } \text{z} - \text{საძიებო მანძილი მიღის ცენტრიდან წყლის დონემდე შესაბამისი ხარჯისათვის, } \text{m}, \text{ რომელიც ფორმულიდან (9) გამომდინარე ჭოლია}$$

$$z = \frac{Q^2}{\mu^2 \cdot \omega^2 \cdot 2g}. \quad (10)$$

გაანგარიშების შედეგები მოცემულია ცხრილში 1. ცხრილი 1

$Q, \text{მ}^3/\text{სთ}$	200	$200-50=150$	$200-100=100$	$200-150=50$
$z, \text{მ}$	0,06	0,035	0,015	0,005

გადანადენში სხვადასხვა ხარჯების გასატარებლად გამოწვეული დონის მერყეობა ჭაში, რეაქტორებში მისაწოდებელი ხარჯების დარეგულირებულ სიდიდეებზე გავლენას ვერ იქნიებს. კერძოდ, ერთი რეაქტორის მუშაობის დროს $50 \text{ } \text{მ}^3/\text{სთ}-ის$ ნაცვლად გაატარებს

$$\frac{(7,88+0,035) \cdot 50}{7,88} = 50,22 \text{ } \text{მ}^3/\text{სთ};$$

ორი რეაქტორის მუშაობის დროს გაატარებს

$$\frac{(7,88+0,015) \cdot 100}{7,88 \cdot 2} = 50,09 \text{ } \text{მ}^3/\text{სთ};$$

სამი რეაქტორის მუშაობის დროს გაატარებს

$$\frac{(7,88+0,005) \times 150}{7,88 \times 3} = 50,02 \text{ } \text{მ}^3/\text{სთ}.$$

მანაწილებელ ჭაში ნაკადის გადასართველი ფარის ზომები განისაზღვრება (10) ფორმულით. კერძოდ, წინასწარ ვუშვებთ ნახვრეტის ზომებს და ვსაზღვრავთ საჭირო ვარდნას, რომელიც გაატარებს $200 \text{ } \text{მ}^3/\text{სთ}$ ხარჯს.

ვუშვებთ ნახვრეტის ზომებს $0,4 \times 0,4 \text{ } \text{მ}, \text{მაშინ ვარდნა$

$$z_{\text{მიღ}} = \frac{Q^2}{\mu^2 \cdot \omega^2 \cdot 2g} = \frac{0,0555^2}{0,65^2 \cdot 0,16^2 \cdot 19,62} = 0,02 \text{ } \text{მ}.$$

აღნიშნული სიდიდისა (გისოსში დანაკარგები უმნიშვნელო) და რეაქტორებისაკენ მიმავალი მიმღები მიღის ჩაყვითვის სავალდებულო სიმაღლის ($0,45 \text{ } \text{მ}$) ჯამის დონე არ უნდა ასცდეს სამარაგო ავზში გამყვანი გამოწვენილი მიღის შემთხვევაში, თუ გვაქვს დებალანსი წყლის მოდინებასა და მომუშავე რეაქტორთა ჯამურ ხარჯებს შერის და ზედმეტი წყლი უნდა წავიდეს სამარაგო ავზში (რეზერვუარში). ამ პირობის დასაცავად საჭიროა გამყვანი მიღის შესავლელის მირის ნიშნული მინიმუმ $0,03-0,04 \text{ } \text{მ}-ით$ მაღლა განლაგდეს ანუ $48,13+0,45+0,04=48,62 \text{ } \text{მ} \text{ ნიშნულზე}$ (იხ. ნახ. 2).

მიღის შესასვლელის ძირის ნიშნულს, რათა არ მოხდეს რეაქტორებისაკენ მიმავალი ხარჯის შემცირება – დონის აწევა აღნიშნული ნიშნულის ზემოთ მოხდება იმ შემთხვევაში, თუ გვაქვს დებალანსი წყლის მოდინებასა და მომუშავე რეაქტორთა ჯამურ ხარჯებს შერის და ზედმეტი წყლი უნდა წავიდეს სამარაგო ავზში (რეზერვუარში). ამ პირობის დასაცავად საჭიროა გამყვანი მიღის შემთხვევაში 5,20 მ. დარჩენილი თავისუფალი დაწევა უნდა დაიხსროოს სარეგულაციით სისტემაში (საკვალთში). სარეგულაციოდ გათვალისწინებულია თითოეულ რეაქტორში შესვლიმდე მიღსაღენებში ორ-ორი საკვალითის დაყვნება (იხ. ნახ. 1). ერთი საკვალითით მოხდება საჭიროების შემთხვევაში რეაქტორის ჩართვა-გამორთვა (სრული გაღება-დაკეტვით). მეორე საკვალითით რეაქტორის სრულ ტექნოლოგიურ ციკლზე მუშაობის დროს დატარიდება მისაწოდებული ხარჯი, რომელიც შედარდება (საკონტროლოდ) ხარჯმზომის ჩვენებას. სარეგულაციო საკვალითის ხელის ხლება დატარირების შემდეგ დაუშვებულია. ამიტომ, რათა გამოირიცხოს შემთხვევითობა, საკვალის უნდა მოეხსნას სახელური.

ამრიგად, ვირჩევთ II ვარიანტს, რომლის მიხედვითაც დამუშავდა მიღებული სატრანსპორტო სისტემის სამშენებლო-სამონტაჟო დოკუმენტაცია [2, 10].

ლიტერატურა

1. Исследовать вопросы осушения бортов Маднеульского карьера с целью локализации деформации бортов в предельном контуре. Отчет НИР Унипрома (Тема 7-86-15, раздел VII, кн. I). Свердловск, 1987.
2. მადნეულის კარიერის წყლებიდან სპილენდის ამოსაკრეფი საცემებსტაციო სვეტების (რეაქტორების) თვითდინებით პიღრავლიკური კვებისა და რეგულირების ღონისძიებათა დამუშავება. საკვლევ-საპროექტო სამუშაო. სსრ გ. წულების სამთო ინსტიტუტი. თბილისი, 2007. 29 გვ.
3. Лобачев П.В. Насосы и насосные станции. Стройиздат, Москва, 1972. 127 с.
4. Силагадзе В.А., Джангидзе М.В., Шавгулидзе Ш.В. Определение транспортирующей способности гидрозакладочных установок. В сб. «Горная электромеханика и транспорт». Мецниереба, Тбилиси, 1985. с. 84-87.

5. Инструкция по гидравлическому расчету систем напорного гидротранспорта грунтов. ВНИИГ, Энергия, Ленинград, 1972. 32 с.
6. Курганов А.М., Федоров Н.Ф. Справочник по гидравлическим расчетам систем водоснабжения и канализации. Стройиздат, Ленинград, 1978. 424 с.
7. Шевелов Ф.А. Таблицы для гидравлического расчета стальных, чугунных, асбоцементных и пластмассовых труб. Стройиздат, Москва, 1970. 113 с.
8. Киселев П.Г. Справочник по гидравлическим расчетам. Госэнергоиздат, Москва, 1957. 352 с.
9. Чаповский Е.Г. Лабораторные работы по грунтоудалению и механике грунтов. Недра, Москва, 1975. 303 с.
10. Проектирование, строительство и эксплуатация трубопроводов из полимерных материалов. Справочник проектировщика. Стройиздат, Москва, 1985. 304 с.

**ДЖАНГИДЗЕ М.В., СИЛАГАДЗЕ В.А.,
СТЕРЯКОВА С.И.**

**РАЗРАБОТКА МЕРОПРИЯТИЙ САМОТЕЧНОГО
ГИДРАВЛИЧЕСКОГО ПИТАНИЯ И
РЕГУЛИРОВАНИЯ ЦЕМЕНТАЦИОННЫХ
РЕАКТОРОВ ДЛЯ ИЗВЛЕЧЕНИЯ МЕДИ ИЗ
КИСЛЫХ ВОД АО «МАДНЕУЛЬСКОГО»
КАРЬЕРА И ОТВАЛЬНОГО ПОДДОНА**

АННОТАЦИЯ. В статье рассмотрены возможные варианты системы подачи воды в самотечном режиме от распределительного колодца, находящегося на трассе гидротранспортной системы для подачи кислых вод АО «Маднеульского» карьера и отвального поддона из верхового сооружения в запасном резервуаре, до цементационных реакторов, размещенных в главном корпусе обогатительной фабрики. На основе гидравлических расчетов выбран наилучший вариант трассы и определены основные характеристические параметры транспортной системы. С целью обеспечения устойчивой работы необходимых количеств цементационных реакторов проведены гидравлические расчеты распределительного колодца. Решен вопрос регулирования расхода входящей воды в цементационных реакторах. На основе проведенных исследований и расчетов разработана строительно-монтажная документация принятой транспортной системы.

КЛЮЧЕВЫЕ СЛОВА: гидротранспортная система; самотечный режим; запасной резервуар; распределительный колодец; цементационный реактор; пластмассовая труба; трубопроводная трасса; линейные потери напора; местные потери напора.

**JANGIDZE M., SILAGADZE V., STERIAKOVA S.
DEVELOPMENT OF ACTIVITIES
OF GRAVITY HYDRAULIC FEED AND
REGULATION OF CEMENTATION
REACTORS FOR EXTRACTION OF COPPER
FROM ACID WATER OF JSC "MADNEULI"
CAREER AND DUMP PALLET**

ABSTRACT: The article discusses possible options for a gravity-fed water supply system from a distribution well located on the route of the hydrotransport system for acidic water supply of JSC «Madneuli» open pit mine and the dump pan from the main structure in a reserve tank to cementation reactors located in the main building of the processing plant. Based on hydraulic calculations, the best route option was selected and the main characteristic parameters of the transport system were determined. In order to ensure stable operation of the required quantities of cementation reactors, hydraulic calculations of the distribution well were carried out. The issue of regulating the flow of incoming water in cementation reactors has been resolved. Based on the studies and calculations, the construction and installation documentation of the adopted transport system was developed.

KEY WORDS: hydrotransport system; gravity mode; spare tank; distribution chamber; cementation reactor; plastic pipe; pipeline trace; linear pressure loss; local pressure loss.

უაპ 541.427.6 : 622.235.2

აპად. დოკტორი გ. ნალირაშვილი, აპად. დოკტორი ი. ვარშავიძე,
მაგისტრი თ. იაშვილი, გ. პეინაშვილი
აუთენტიკის პროცესების მექანიზმი

ანოტაცია. სტატიაში განხილულია ჯაჭვური პროცესის სახით მიმღინარე აფეთქების მაგალითები. ნაჩვენებია ძირითადი განმასხვავებელი ფაქტორები დარტყმითსა და დეტონაციურ ტალღებს შორის. განხილულია ახლობური, საინტერესო მიღვომა სტანდარტული ფეთქებადი ნივთიერებების აფეთქების მექანიზმისადმი, რომლის ავტორი გვვლინება აღნიშნული პროცესის აგრეთვე ჯაჭვურად მიმღინარეობის მომზრედ, კურდობა რა ფეთქებად ნივთიერებებში არსებული „რეზონანსული“ ელექტრონების მონაწილეობას ჯაჭვური პროცესისთვის აუცილებელი აქტიური ნაწილაკების როლში.

საპგანძო სიტყვები: აფეთქება; ჯაჭვური რეაქციები; ფეთქებადი ნივთიერებები; დარტყმითი ტალღა; დეფლაგრაცია; დეტონაციის ტალღა; ატომური და თერმობირთული პროცესები.

ზოგადად, აფეთქება არის ნივთიერებაში ან გარემოში მიმღინარე უსწრაფესი პროცესი, რომელსაც თან ახლავს უდიდესი ენერგიის მყისიერი გამოყოფა.

აფეთქების მექანიზმი ფიზიკისა და ქიმიის კანონების ჩარჩოებში ჯდება.

თუ აფეთქების დროს მომხდარ ცვლილებებს, გარემოს ნივთიერების შეცვლა არ სდევს თან, საქმე გვაქვს ფიზიკურ მოვლენასთან, კერძოდ - ფიზიკურ აფეთქებასთან. ასეთებია, ორთქლის ქვაბის ან შეკუმშული აირის ბალო-

ნის აფეთქება, ელექტრონული განმუხტვა ატმოსფეროში, მიწისძვრა, დიდი მეტეორიტების ჩამოგარდნა და ა. შ.

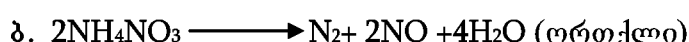
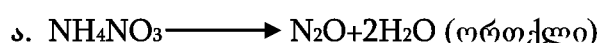
როდესაც აფეთქებას თან ახლავს ნივთიერების შეცვლა, ეს ქიმიური მოვლენა და მას, შესაბამისად, ქიმიურ აფეთქებას ვუწოდებთ.

ქიმიური აფეთქება არის სწრაფად მიმღინარე ეგზოთერმული ქიმიური პროცესი, რომელიც დიდი ენერგიისა და მაღალი წნევის მქონე გავარგარებული აირების გამოყოფით მიმღინარეობს. აქ, როგორც ყოველი ქიმიური რეაქციისას, გვაქვს საწყისი ნივთიერება-ფეთქებადი ნივთიერების (ფნ) სახით, რეაქციის შესაბამისი პირობები და საბოლოო პროდუქტები - დიდი ოდენობით აირები.

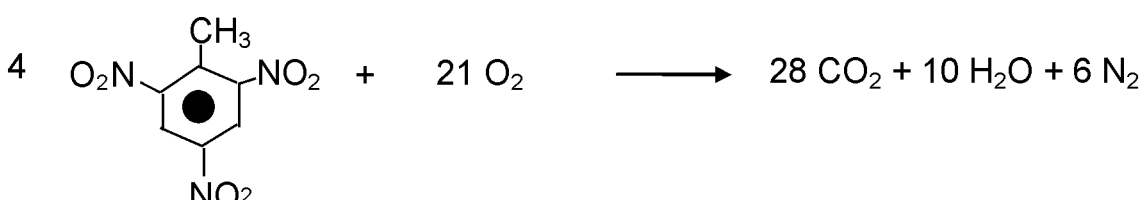
აფეთქების ამ ტიპს ეკუთვნის პრატიკაში გამოყენებული ყველა ფნ-ის აფეთქებითი გარდაქმნა.

ჩვეულებრივ, აფეთქების ინიცირებას ახდენენ ფნ-ების ერთ ნაწილში, შემდეგ პროცესი გრძელდება და სწრაფად მთავრდება ინიცირებისას გამოყოფილი ენერგიის ხარჯზე.

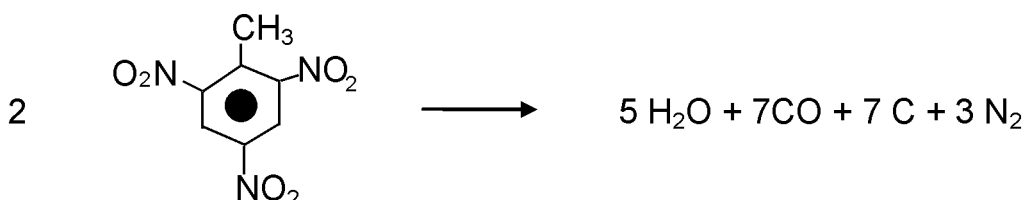
საჭიროა აღინიშნოს, რომ რეაქციის პირობების შესაბამისად, ერთი და იგივე ფნ-ზე შეიძლება განიცადოს სხვადასხვანაირი გარდაქმნა. მაგალითად, საქმაოდ ძლიერი ფნ-ამონიუმის გვარჯილა 170 C-ზე იმლება აზოტის ოქსიდის გამოყოფით (ა). უფრო მაღალ ტემპერატურაზე ნელი დაშლა გადადის დეფლაგრაციაში, რასაც თან ახლავს მოყვითალო ალის გაჩენა (ბ), ხოლო „მრგვინავი“ ვერცხლისწყლის კაფსულის გამოყენებით ხდება დეტონაცია (გ), [1]:



იგივე შეიძლება ითქვას ტროტილის შესახებაც. საყოველთაოდ ცნობილი ეს ფნ, იწვის ყვითელი ალით, რეაქცია კი ასე გამოისახება:



ტროტილის აფეთქებისას რასაც ეგზოგენური ჟანგბადი არ სჭირდება, რეაქციის პროდუქტების რაობაც და რაოდენობაც იცვლება:



ფნ-ები წარმოადგენენ წონასწორულ მდგომარეობაში მყოფ წვის უნარის მქონე და დამჟანგავი ელემენტების ერთობლიობას, რომლებიც მიიღება სინთეზის გზით, და გამოიყენება ქიმიური ნაერთის ან მექანიკური ნარევის სახით.

ფნ-ების აფეთქების პროცესი მოიცავს ორ სხვადასხვა ეტაპს: 1. ნივთიერების შინაგანი ენერგიის გადასვლას შეკუმშული აირების ენერგიაში და 2. შეკუმშული აირების გაფართოებას. როგორც წესი, გაფართოების პროცესში კუმშვის პოლენციური ენერგია გადადის მექანიკურ მუშაობაში და მოძრაობაში მოჰყავს გარემო. როდესაც წარმოშობილი დაძაბულობის ძალები აღმატება გარემოს სიმტკიცის ზღვრულ სიდიდეს, შედეგად ხდება მისი ერთიანობის რღვევა.

თერმულ დაშლას განიცდის ყველა ფნ ხანგრძლივი შენახვის პირობებში, რა დროსაც, ქიმიური გარდაქმნის ნელი პროცესი ერთდროულად მიმდინარეობს ნივთიერების მთლიან მოცულობაში, ხოლო გამოყოფილი სითბო კი გადაეცემა გარემოს. თერმული რეჟიმის დარღვევის შემთხვევაში ხდება ფნ-ის გახურება ააღების ტემპერატურამდე და თერმული დაშლის პროცესი გადადის დეფლაგრაციაში.

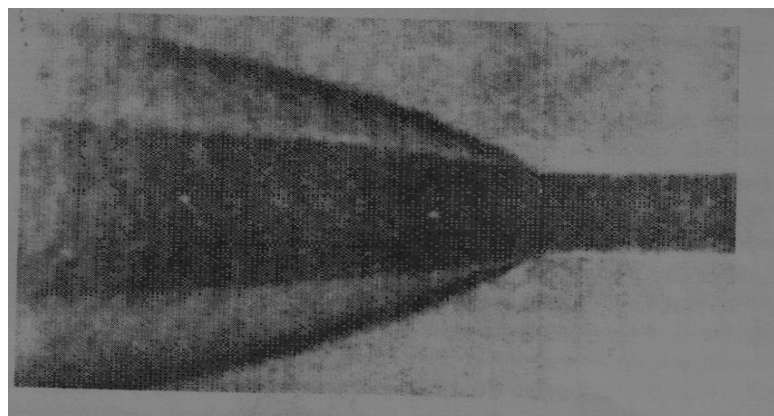
დეფლაგრაციული წვით გარდაქმნის დროს ნივთიერებაში ენერგიის გადაცემა ხორციელდება სითბოგამტარობის ხარჯზე, რაც ბერით სიჩქარეზე დაბალი, გარემოს წნევაზე დამოკიდებული ცვლადი სიჩქარით მიმდინარეობს. რეაქცია ეგზოთერმულია და თვითგავრცელებადი. დეფლაგრაცია ხორციელდება მაშინ, როდესაც ნივთიერებაში იქმნება წვის უნარის მქონე და დამჟანგავი ელემენტების ურთიერთრეგირების საუკეთესო პირობები. ამ დროს წვა და სითბოს გამოყოფა მიმდინარეობს იმდენად

სწრაფად, რომ ნივთიერებაში წარმოიქმნება დარტყმითი ტალღა. წნევა გარემოში წარმოიშვება მხოლოდ უმცირესი წინაღობის მიმართულებით. შესაბამისად, გარდაქმნის პროდუქტების მიერ გარემოს მიმართ მუშობის შესრულება არ ხდება. გარკვეულ პირობებში, მაგალითად, დაბურულ სივრცეში, ფნ-ის პროგრესული წვის ან ატმოსფეროში დიდი რაოდენობით ნივთიერების წვის პროცესი, შესაძლებელია წარიმართოს აფეთქებით, თუმცა დეტონაციის ტალღა ამ შემთხვევებში არ წარმოიქმნება. მაგალითად, გასროლის პროცესში ქვემეხის ლულაში დენთის აფეთქებით წვას, ან ახლავს დეტონაცია.

დეტონაციის წარმოქმნის ერთ-ერთი აუცილებელი პირობა ნივთიერების ქიმიური გარდაქმნის სიჩქარეა. დადგენილია, რომ იგი ზებგერითი სიჩქარეა. დეტონაცია ფეთქებადი ნივთიერების გარდაქმნის ბუნებრივი სახეა. ფნ-ების გარდაქმნის სხვა დანარჩენი ფორმები მათთვის არატიპიურია. ნივთიერებათა ქიმიური გარდაქმნის მხოლოდ ზოგიერთი სახე მიმდინარეობს დეტონაციით (იხილეთ ამონიუმის გვარჯილის ქიმიური გარდაქმნის ზემოთ მოყვანილი მაგალითი), რასაც მისთვის დამახასიათებელი ეფექტები ახლავს თან.

ზოგჯერ ტერმინები „დეტონაცია“ და „აფეთქება“ გამოიყენება როგორც სინონიმები. ამის მიუხედავად, ამ ორი პროცესის გაიგივება არ შეიძლება, რადგან დეტონაცია არის თვით ფნ-ში მიმდინარე ფიზიკურ-ქიმიური გარდაქმნის სწრაფი პროცესი, რასაც თან სდევს აფეთქება. აფეთქების ისეთი სახე, როგორიცაა ფიზიკური აფეთქება, დეტონაციის გარეშე მიმდინარეობს.

ქვემოთ მოცემულია დეტონაციის ტალღის სტრუქტურული მოდელი და მისი სწრაფი ფოტოგრაფირების მეთოდით გადაღებული სურათი:



გარკვეული ჯგუფი ქიმიური რეაქციებისა ე.წ. „ჯაჭვური“ მექანიზმით მიმდინარეობს. ასეთებია: ჰალოგენტრიფალბადების სინთეზი ჰალოგენების (Cl_2, F_2) წყალბადთან ურთიერთ-ქმედებით, წყალბად-ჟანგბადის ნარევის, ანუ „მგრვებინავი აირის“ აფეთქება, ბენზინის ნახშირწყალბადების გარდაქმნა შიდაწვის ძრავაში და ა.შ.

ჯაჭვური რეაქცია, ეს ისეთი რეაქციაა, რომლის მიმდინარეობისას საწყისი ნივთიერები შედიან გარდაქმნათა ჯაჭვში, შუალედური აქტიური ნაწილაკების მონაწილეობითა და მათი რეგნერაციით, რეაქციის ყოველი

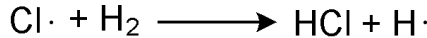
ელემენტარული აქტის დროს.

ჯაჭვური პროცესის კლასიკური მაგალითია ელემენტებისაგან ქლორწყალბადის სინთეზის რეაქცია. საწყის ეტაპზე, ენერგიის უმცირესი ულუფის - ერთი ფოტონის შთანთქმით, ხდება ქლორის მოლეკულის ფოტოლიზი [2]:

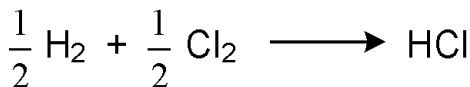


ქლორის აქტიური რადიკალი ხლეჩს წყალბადის

მოლეკულას და ქლორწყალბადის მოლეკულასთან ერთად წყალბადის აქტიურ რადიკალსაც იძლევა, რომელიც თავის მხრივ, აგრძელებს ჯაჭვს HCl -ის მოლეკულისა და აქტიური ქლორის წარმოქმნით:



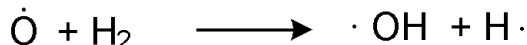
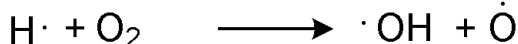
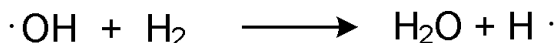
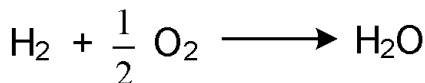
შეჯამებული რეაქცია ასე შეიძლება გამოვსახოთ:



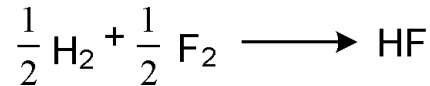
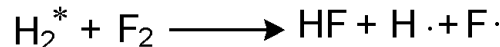
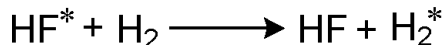
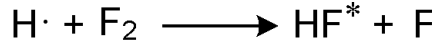
ჯაჭვის „რეალუების“ რაოდენობამ შეიძლება ასეულიბით ათასს მიაღწიოს. სხვა სიტყვებით, ერთ ფოტონს შეუძლია ამ რაოდენობის ქლორწყლბადის მოლეკულების წარმოქმნა. ჯაჭვის გაწყვეტა ხდება აქტიური ნაწილაკების ერთმანეთთან რეკომბინაციით ან ჰურკლის კედლებზე დეზაქტივაციით.

როგორც რეაქციის განტოლებები გვიჩვენებს, ერთი აქტიური ნაწილაკი გვძლევს ერთ მოლეკულა ქლორწყლბადს და არაუმეტეს ერთ აქტიურ ნაწილაკს. ასეთ ჯაჭვურ რეაქციებს არაგანმტობული ეწოდება.

გასული საუკუნის ოცან წლებში, საბჭოთა ნობელი-ანტმა მეცნიერმა, ნ. სემიონოვმა წამოაყენა განშტობული ჯაჭვური რეაქციების კონცეფცია, რომელთა მიმდინარეობისას საწყისი ნივთიერების მოლეკულასთან აქტიური ნაწილაკების ურთიერთქმედებისას წარმოიქმნება არა ერთი, არამედ ორი ან მეტი ახალი აქტიური ნაწილაკი. ერთი მათგანი აგრძელებს „ძერლ“ ჯაჭვს, ხოლო სხვები - ახალი ჯაჭვების ინიცირებას ახდენენ. აღნიშნული მექანიზმებით მიმდინარეობს ნახსენები „მგრგვინავი“ აირის აფეთქებითი გარდაქმნა:



ანალოგიურია წყალბადისა და ფტორის ურთიერთქმედების მექანიზმი. აქტიური ნაწილაკების წარმოქმნის ერთ-ერთი ვარიანტი, რომელშიც ფტორწყალბადისა და წყალბადის გააქტივებული მოლეკულები ფიგურირებენ, აგრეთვე, შეჯამებული რეაქცია, შეიძლება ასე გამოვსახოთ:



უნდა აღინიშნოს, რომ ისეთი უმნიშვნელოვანესი ქიმიური რეაქციები, როგორიცაა შიდაწვის ძრავაში მიმდინარე პროცესები, ანუ ალკანების აფეთქებითი გარდაქმნა, აგრეთვე განშტობულ ჯაჭვურ რეაქციებს მიეკუთვნება.

ამრიგად, დროის უძცირეს მონაკვეთში, აქტიური ნაწილაკების პროგრესირებადი მატება იწვევს ახალი ჯაჭვების რაოდენობის ზვავისებურ ზრდას, რასაც უძლიერესი აფეთქების უფეხტი აქვს. ეს შეიძლება შევადაროთ ბუნებრივი ქვათაცვენის უმართავ პროცესს, რომელიც ერთი კენჭის დაგორებითაც კი შეიძლება დაიწყოს.

XX ს. I ნახევარში მეცნიერებამ შეძლო ბირთვული ენერგიის საიდუმლოებაში ჩაწვდომა - დაიწყო ატომური ერა. ამ მხრივ, საინტერესოა ურანის ატომბიროვის გახლების ისტორია.

1896 წელს ფრანგი ანრი ბეკერელის მიერ რადიოაქტივობის აღმოჩენა ბირთვული ენერგიის დაუფლებისაკენ გადაღვეული პირველი ნაბიჯი იყო.

ე. რეზერფორდის მოწაფის ჯეიმს ჩედვიკის მიერ 1932 წელს აღმოჩენილი ნეიტრონი არის გასაღები, რომლითაც ბუნების მიერ ატომის ბირთვში „დამალული“ ენერგიის ციტადელში შედწევა გახდა შესაძლებელი. ამ მეცნიერულ ლაშქრობაში მსოფლიოს უპირველესი სწავლულები იყვნენ ჩაბმული - აინშტაინი, ფერმი, ბორი, კურუბის ოჯახი... ბირთვული, ანუ რადიოქიმია, ბირთვულ ფიზიკასთან ერთად გადაიქცა მეცნიერების უმნიშვნელოვანეს სფეროდ, ხოლო აღქიმიკოსების საუკუნოვანი ოცნება - ქიმიური ელემენტების შექმნა - რეალობად.

ხელოვნური რადიოაქტივობის აღმოჩენამ მეცნიერებს გაუჩინა რწმენა, რომ ატომბიროვის ნეიტრონებით ბომბარდირებისას, მასით ახლომდგომი ახალი ელემენტები უნდა შექმნილიყო. შესაბამისად, ურანიდან ტრანსურანული ელემენტების წარმოქმნა იყო მოსალოდნელი. ეს, ასეც ხდება, თუ რეაქციაში მაღალი ენერგიის ნეიტრონების გამოიყენებენ.

თვისობრივად განსხვავებულ მოვლენასთან გვაქვს საქმე ურანის „ნელი“, ანუ სითბური ნეიტრონებით ბომბარდირებისას. 1934 წელს, ენრიკო ფერმის მიერ განხორციელებული ეს პროცესი დიდი ენერგიის გამოყოფით წარიმართა. ანალოგიური შედეგები მიიღეს ორი ჰანის ჯგუფმა გერმანიაში და ირენ და ფრედერიკ უოლიორებმა საფრანგეთში. ყველამ შენიშვნა ნეიტრონის მოქმედების ეფექტი, თუმცა პროცესის მექანიზმი აუხსნელი დარჩა.

ფერმის ექსპერიმენტებიდან მცირე ზნის შემდეგ, გერმანელმა მეცნიერებმა იდა და ვალტერ ნოდაკებმა ივარაუდეს, რომ ნეიტრონის ზემოქმედებისას უნდა ხდე-

კუთხების ენერგიის გამოყენება - ИСПОЛЬЗОВАНИЕ ЭНЕРГИИ ВЗРЫВА - APPLICATION OF EXPLOSIVE ENERGY

ბოლეს ურანის ატომბირთვის ორ „ნატეხად“ - ცნობილი, შედარებით მსუბუქი ელემენტების იზოტოპებად გაყოფა. ეს ვერსია, ცხადია, გამორიცხავს პერიოდულ სისტემაში ურანის მეზობლების - ტრანსურანული ელემენტების წარმოქმნას.

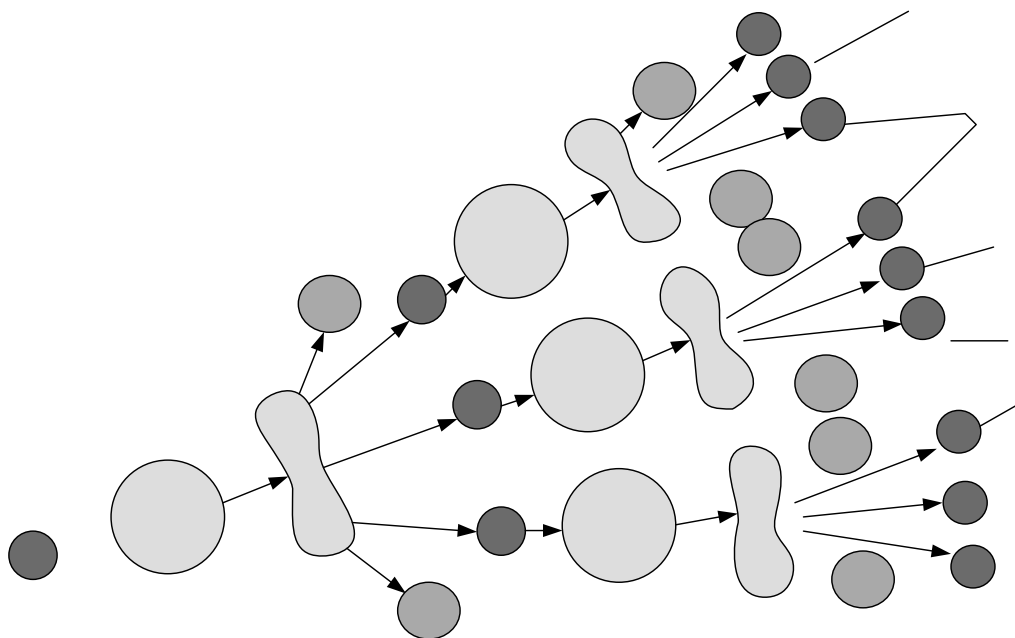
ფიზიკოსებმა, პირველ რიგში - ფერმიმ, ეს პი პოთენცია არ გაიზიარეს: დაუჯერებელი ჩანდა ნელი ნეიტრონის მიერ იმ ბირთვის გახლეჩა, რომელიც მიღიონობით ელექტრონვოლტამდე აჩქარებული ნაწილაკებით ბომბარდირებას უძლებდა. ასე გაგრძელდა 1938 წლის ბოლომდე, ვიდრე იმავე ოქონ ჰანმა, რადიაციული ქიმიის უბადლო სპეციალისტმა, წერტილი არ დაუსვა ამ გაურკვევლობას - სკრუპულოზური ექსპერიმენტებით მან აღმოაჩინა, რომ ნეიტრონი ურანის ატომბირთვებს თრად - ბარიუმისა და კრიტონის ატომბირთვებად ყოფს. შესაძლებელია სხვა იზოტოპური წყვილების წარმოქმნაც. ურანის ატომბირთვის პროცენტი გადანაწილდება „შეილობილ“ ატომებზე.

პროცესს თან ახლავს უდიდესი ენერგიის გამოთავისუფლება, რაც მიღიონჯერ მეტია ვიდრე მანამდე ცნობილი ყველა სხვა სახის ენერგია. ურანი, როგორც ენერგიის წყარო 2000000-ჯერ აჭარბებს ჩვეულებრივ

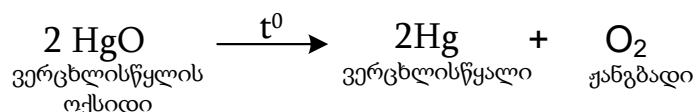
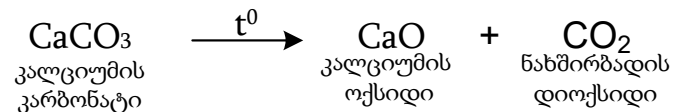
ნახშირს. ურანის ეს თვისება დაედო საფუძვლად რობერტ ოპენბაიმერის ჯგუფის მიერ, მერიკაში, ატომური ბომბის შექმნას, რომელიც 1945 წ. 16 ივლისს ნიუ-მექსიკის უდაბნოში გამოსცადეს.

პანის აღმოჩენიდან როიოდე თვის შემდეგ კოლუმბიის უნივერსიტეტში, ფიზიკური საზოგადოების სხდომაზე, არასაპროგრამო რეჟიმში (!?) განიხილებოდა საკითხი ურანის ატომების გახლების შესახებ. მომხსენებლებმა, ნილს ბორმა და ენრიკო ფერმიმ გაოცებულ მსმენელებს განუმარტეს ამ უდიდესი აღმოჩენის თეორიული საფუძვლები და პერსპექტიულობა. სწორედ იმ სხდომაზე წარმოქვერდა ფერმიმი ის ორი სიტყვა, რომლებსაც სამუდამოდ უნდა შეეცვალა ადამიანთა ბედი: „ჯაჭვური რეაქცია!“ [3].

ურანის ყოველი ატომი გახლებისას გამოყოფს სულ ცოტა ორ ან სამ ნეიტრონს მაინც. სამი ნეიტრონი გახლებს ურანის სამ ატომს, რომლებიც თავის მხრივ იძლევან ცხრა ნეიტრონს. ეს უკანასკნელი ხლები ცხრა სხვა ატომს 27 ნეიტრონის ამოტყორცნით და ა.შ. - გეომეტრიული პროგრესით. ეს ხდება წამის უმცირეს ნაწილში, შედეგად კი გამოიყოფა უზარმაზარი ენერგია:



შეიძლება თუ არა, საერთო მოიძებნოს ქიმიური დაშლის რეაქციებსა და ურანის ატომის გახლებას შორის?! ცხადია, შეიძლება. მოვიყვანოთ ქიმიური დაშლის ორი მაგალითი:



პირველ შემთხვევაში, კარბონატის ერთი მოლეკულისაგან ორი რთული ნივთიერების თითო მოლეკულა წარმოიქმნება. მეორე შემთხვევაში კი - რთული ნივთიერების მოლეკულებიდან მარტივი ნივთიერების ატომები მიიღება (ჟანგბადის ატომები წყვილ-წყვილად რეკომბინირდება). ანალოგიური რამ ხდება გამლოვალი მარილების ელექტროლიზის დროს.

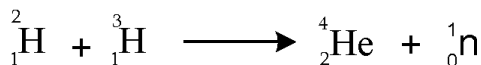
ურანის ატომბირთვის დაშლა თვისობრივად განსხვავდული, თუმცა, პრინციპულად დაშლის ტიპიური რეაქცია ატომბირთვულ დონეზე: აქ ერთი მძიმე ატომბირთვისაგან (ურანი) დაშლის შედეგად ორი მარტივი ნივთიერების (ბარიუმი, კრიპტონი) ატომები მიიღება. შესაბამისად, ურანის აფეთქება, უეჭველად, ქიმიურ დაშლას, ანუ ქიმიურ აფეთქებას მიეკუთვნება.

იგივე მექანიზმი არგულირებს ე.წ. თერმობირთვულ პროცესებსაც. ურანისა და სხვა მძიმე ატომბირთვების პროცესებსაც. ურანისა და სხვა მძიმე ატომბირთვების

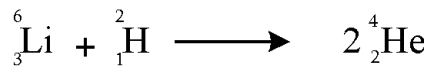
გაყოფისაგან განსხვავებით, აქ განუზომლად დიდი ენერგიის წარმოქმნას განაპირობებს მაღალ ტემპერატურებზე მსუბუქი ატომბირთვების შერწყმის, ანუ სინთეზის რეაქციები.

მზის ენერგიის შესახებ პირველი მეცნიერული პიპოთება ეკუთვნის ავსტრიელ ფრიც ხოუტერმანს. მან დაუშვა, რომ მზის ენერგიის წყარო, მის წიაღში მიმდინარე პროცესები იყო და იგი არ უნდა ყოფილიყო ჩვეულებრივი წვის რეაქცია. ხოუტერმანს აზრით, მილიონობით წლის მანძილზე მზის „ულევი“ ენერგიის წყარო შეიძლება ყოფილიყო მსუბუქი ატომბირთვების ურთიერთგარდაქმნის რეაქციები. ცხადია, მას ფაქტადაც არ მოუკიდოდა ის, რომ მისი ჰიპოთეზიდან გამომდინარე, ოცდახუთოოდე წლის შემდეგ მეცნიერები შექმნიდნენ ე.წ. „წყალბადის ბომბს“ და თერმობირთვული ცეცხლის აგიზგიზებას მოახდენდნენ [4].

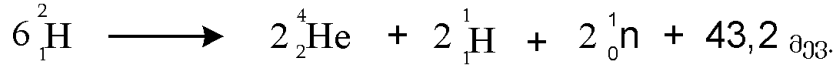
1. დეიტერიუმისა და ტრითორიუმის შერწყმა:



2. ლითიუმისა და დეიტერიუმის შერწყმა



3. ორი დეიტერიუმის შერწყმა (შეჯამებული რეაქცია):



აღსანიშნავია, რომ მსოფლიო ოკეანეში ყოველ 6800 ატომ პროთოუმზე (${}_1^1\text{H}$) მოდის ერთი დეიტერიუმი (0.0147 %). წყლიდან დეიტერიუმის მიღების ტექნოლოგია კარგადაა დამტუშავებული. ამიტომაც, წყალბადის ეს იზოტოპი ითვლება ენერგეტიკული პრობლემის გადაჭრის მნიშვნელოვან შესაძლებლობად.

წყალბადის ბომბის აფეთქება - ესაა უმართავი თერმობირთვული სინთეზი. აქ „საწვავად“, ჩვეულებრივ, ლითიუმის დეიტერიდის იყენებენ. ასეთი ტიპის სინთეზის დაწყებას მილიონ გრადუსამდე ტემპერატურა სჭირდება, რაც ჩვეულებრივი ატომური ბომბის აფეთქებით მიიღწევა. წყალბადის ბომბის აფეთქების დროს წამის რამდენიმე მეტილიონედ ნაწილში გამოიყოფა ენერგიის განუზომლად დიდი რაოდენობა. ამიტომ ასეთი ტიპის იარაღის უდიდესი დამანგრევებლი ძალა გააჩნია.

თერმობირთვული აფეთქებაც, ზემოხსნებული მსჯელობის მიხედვით, ქიმიურ აფეთქებას უნდა მივაკუთვნოთ.

ამრიგად, ჰალოგენწყალბადების სინთეზიც, „მგრგვინავი აირისა“ და მოტორული საწვავის აფეთქებაც, ურანისა და სხვა მძიმე ატომბირთვების გახლეჩაც და თერმობირთვული სინთეზიც, ჯაჭვური მექანიზმით მიმდინარეობს.

ზემოთ უკვე აღვნიშნეთ, რომ დეტონაციას ყოველთვის ახლავს აფეთქება, ხოლო ყველა აფეთქება დეტონაციით არ მიმდინარეობს. ფნ-ებში დეტონაციის ტალღის სიჩქარე რამდენჯერმე აჭარბებს დარტყმითი ტალღის

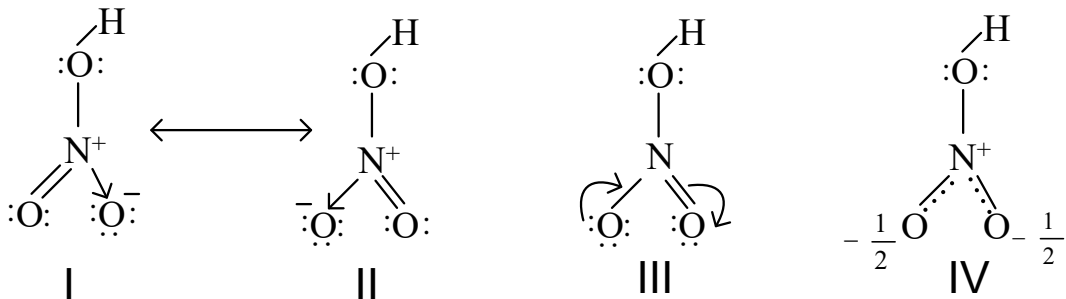
სიჩქარეს. თანამედროვე ექსპერიმენტული ტექნიკა ცალსახად ამტკიცებს ამ ორი მოვლენის თვისებრივი განსხვავების არსებობას. თანამედროვე კლასიკური კონცეფცია ვერ იძლევა პასუხს შეკითხვაზე - რა არის იმის მიზეზი, რომ ერთიდანიგივე წვის ხვედრითი სითბოს მქონე ფნ ერთ შემთხვევაში აფეთქებით წვას განიცდის, ხოლო მეორეში - დეტონირებს? დარტყმითი ტალღის გავრცელების სიჩქარე მნიშვნელოვნად იზრდება ტემპერატურის და წნევის გაზრდისას, თუმცა დეტონაციური ტალღებისთვის ეს ასე არ არის - ფნ-ს მოცემული სიმკრივის ნიმუშისათვის, დეტონაციური ტალღის სიჩქარე არ არის დამოკიდებული ტემპერატურასა და წნევაზე და წარმოადგენს კონსტანტას მოცემული ფნ-სათვის. სხვა სიტყვებით, დეტონაციის ტალღის ბუნება დარტყმითი ტალღის ბუნებისაგან თვისებრივად განსხვავებულია. სწრაფი კინოგადაღება აჩვენებს, რომ დეტონაციის კერტები ჩნდება სრულიად თვითნებურად სივრცესა და დროში.

რამდენიმე წლის წილი, ინტერნეტსავრცეში გამოჩნდა სტატია [5], რომელშიც ავტორი დეტონაციის კლასიკურ ახსნას ეჭვებულ აყენებს. გამოთქმულია მოსაზრება, რომ ჩვეულებრივი ფნ-ებისათვის დამახასიათებელი დეტონაციის მოდელის პროტოტიპად გამოყენებული უნდა იქნას ჯაჭვური რეაქცია ბირთვული აფეთქებისას. ანალოგიური პროცესები, ავტორის აზრით, ხდება ჩვეულებრივ ფნ-შიც, იღლონდ არა ბირთვულ დონეზე, არამედ - მოლეკულურზე. აქ, იმ აქტიური ნაწილაკების როლში, რომელთა მეშვეობითაც გრძელდება ფნ-ების მოლეკულათა დაშლა,

გამოდიან ე.წ. „რეზონანსული“ ელექტრონები, რომლებიც წინა დაშლის დროს ამოიტყორცნებიან.

აღნიშნული მოდელის გასააზრებლად შეიძლება დასტან კითხვა: კომოგნური ფნ-ების მოლეკულების დაშლის დროს თუ ენერგია გამოიყოფა, რატომ არ იშლებიან ისინი ყოველგვარი ინიცირების გარეშე? ანუ,

რა განაპირობებს აღნიშნული მოლეკულების მდგრადობას? ამ კითხვაზე პასუხს იძლევა ქიმიურ ნივთიერებებში რეზონანსის კონცეფცია, რომელიც ეკუთვნის გამოჩენილ ამტრიკელ ქიმიკოსს, ორგზის ნობელიანტს, ლაინუს პოლინგს. მოკლედ განვიხილოთ ამ თეორიის არსი აზომულის მოლეკულის (HNO_3) მაგალითზე:



I და II ფორმულებში აზოტის ატომი შეერთებულია ერთ-ერთ ჟანგბადატომთან ორმაგი კავშირით, ხოლო მეორესთან - კოორდინაციული ანუ დონორ-აქცეპტორული ბმით, რომელშიც ორივე ელექტრონი ეპუთვნის აზოტს. ამ ორი ბმის სიგრძე ერთმანეთისაგან განსხვავებულია: N=O ბმა უფრო მოკლეა, ვიდრე N—O. ექსპერიმეტულად დადგენილია, რომ სინამდვილეში ორივე ბმა ერთმანეთის ტოლია (1.22 0). გარდა ამისა, სათანადო გაზომვები გვიჩვენებს, რომ აზოტი და სამი ჟანგბადატომი ერთ სიბრტყეში მდებარეობს.

I და II სტრუქტურები ერთმანეთისაგან განსხვავდებიან π-ბმის ელექტრონების და σ-ბმის წარმომქმნელი აზოტის გაუზიარებელი ელექტრონების წყვილის მდებარეობით. იმის დაშვებაც არ არის გამორიცხული, რომ I სტრუქტურაში კოორდინაციულად დაკავშირებული ჟანგბადის ერთ-ერთი გაუზიარებელი ელექტრონული წყვილი შეიძლება გადაიქცეს π-ბმად, თუკი, არსებული π-ბმის ელექტრონები, სინქრონულად, მეორე ჟანგბადატომის გაუზიარებელ ელექტრონულ წყვილად მოგველინებიან. ელექტრონების გადანაცვლების ეს პროცესია ასახული III სტრუქტურით, რომელშიც II სტრუქტურის I-ში გადასვლაა ასახული.

ცხადია, I და II სტრუქტურები არა ორ სხვადასხვა ნივთიერებას ასახავს, არამედ - ერთსა და იმავეს. ისინი გვიჩვენებენ არ არსებულ ჰიპოთეტიურ მდგრამეობებს, როდესაც ელექტრონები თითქოს სრულად არიან გადანაცვლებული ე.წ. ზღვრულ სტრუქტურებში. სტრუქტურა, რომელიც რეალურ მდგრამარეობას ასახავს, შეიძლება გამოიხატოს აღნიშნული ორი ფორმულის ზედდებისას, ანუ IV ფორმულით, საიდანაც ჩანს, რომ π-ელექტრონული წყვილი არა ერთ-ერთს, არამედ ორივე აზოტ-ჟანგბადის ბმას ეკუთვნის. მასში კარგადაა ასახული აზოტ-ჟანგბადის ორივე ბმის ექვივალენტურობა. რაც შეეხება ორ ჟანგბადატომზე გადანაწილებულ უარყოფით მუხტს, ესეც პირობითობაა, რომელიც რეზონანსის მოვლენით ასხსნება. ის ფაქტი, რომ ორივე N-O ბმის სიგრძე ერთიდაიგივეა, მიუთითებს იმაზე, რომ მარტივი, ანუ σ - ბმებისაგან განსხვავებით ორმაგი, ანუ π - ბმა არ არის ლოკალიზებული ერთ-ერთ N-O -

ბმაზე, არამედ იგი განიცდის სწრაფ „ოსცილაციას“ – „გადასვლა-დაბრუნებას“ N-O - ბმებს შორის, ანუ ის დელოკალიზებულია. ასეთ მოვლენას ქიმიაში შეუღლებას უწოდებენ. ლ. პოლინგი ამ მოვლენას რეზონანსის უწოდებს.

შესაბამისად, ამ პროცესში მონაწილე π-ელექტრონებს, რეზონანსულს კურიდებთ.

ამრიგად, რეზონანსის მოვლენის თეორიული საფუძველი არის შემდეგი დებულება: თუ ნივთიერების მოლეკულების ან იონების აგებულება შეიძლება გამოისახოს რამდენიმე სტრუქტურული ფორმულით, რომლებიც მათში ელექტრონული წყვილების განლაგება-განაწილებით განსხვადებიან, მაშინ ასეთი მოლეკულების რეალური ელექტრონული და გეომეტრიული აგებულება არ შეესაბამება არც ერთ დასახელებულ სტრუქტურას - იგი იკავებს მათ შორის შუალედურ მდგრამარეობას.

და ბოლოს, არ იქნება გადაჭარბებული, თუ ვიტყვით, რომ ავტორისული კონცეფცია, ჩვეულებრივი ფნ-ების დეტონაციის შემთავაზებული მოდელისა, საკმაოდ თამამი და პრეტენზიულია, რომელსაც, ცხადია, არსებობის უფლება აქვს. სათანადო თეორიული და ექსპერიმენტული გამოკვლევების საფუძველზე აღნიშნული იდეის დადასტურების შემთხვევაში, კადევ ერთხელ გაუსტება ხაზი საყველთაოდ მიღებულ ჭეშმარიტებას, იმის შესახებ, რომ სამყარო ერთიანია და მსგავსი კანონზომიერებებით იმართება.

ლიტერატურა

- Ненищенко К. Общая химия, Мир, Москва, 1968. 425 с.
- Глинка Н. Л. Общая химия, Изд. Химия, Москва, 1975. с. 178-179.
- Лоуренс У. Л. Люди и атомы. Атомиздат. Москва, 1967. 24 с.
- რ. იუნგი. ათასი მზის ელვარებით, თბილისი, 1977. 37 გვ.
- <http://newfiz.narod.ru>

NADIRASHVILI M., VARSHANIDZE I., IASHVILI T.,
BEINASHVILI G.
MECHANISM OF EXPLOSIVE PROCESSES

ABSTRACT: This review concerns various types of explosions, which proceed through the chain mechanism, such as synthesis of halogen hydrides, oxyhydrogen gas explosion, fission of heavy nuclei, etc.

The main differences between shock and detonation waves are shown. A new interesting approach to explosion's mechanism of conventional explosives is described, which author holds a brief for an explanation of this process by chain mechanism as well, considering that "resonant" electrons of explosives molecules take on the role of active particles, supporting chain process.

KEYWORDS: explosion; chain reactions; explosives; shoc wares; deflagration; detonation waves; nuclear and thermonuclear processes.

НАДИРАШВИЛИ М.Д., ВАРШАНИДЗЕ Я.З.,
ИАШВИЛИ Т.Т., БЕИНАШВИЛИ Г.Г.
МЕХАНИЗМ ВЗРЫВНЫХ ПРОЦЕССОВ

АННОТАЦИЯ. В обзорной статье рассмотрены разные типы взрывов, протекающие по цепному механизму – синтез галогеноводородов, взрыв «гримучего» газа, распад тяжелых ядер и т. д. Приведены соответствующие примеры.

Указаны основные различия между ударной и детонационной волнами. Коротко описан новый, интересный подход к механизму взрыва обычных взрывчатых веществ, появившийся сравнительно недавно. Автор является сторонником объяснения этого процесса с помощью цепного механизма, считая, что т.н. «резонансные» электроны молекул ВВ, выступают в роли активных частиц, поддерживающих цепной процесс.

КЛЮЧЕВЫЕ СЛОВА: взрыв; цепные реакции; взрывчатые вещества; ударная волна; дефлаграция; детонационная волна ядерные и термоядерные процессы.

ზ. კუჩუქიძე, ა. აფრიაშვილი, გ. თხელიძე, ნ. აბესაძე
აზეთიკურის გამოყენების გრუნტის სისტემის განვითარების გზები

ზაპ 622. 235. 2

ანოტაცია: სამუშაოში განხილულია აფეთქების ენერგიის გამოყენებით სამთო საწარმოებში, შენობა-ნაგებობების დამონტაჟისას, საინჟინორ-ნაგებობების სიახლოებების სასატარებელი აფეთქებით სამუშაოების აუცილებლობისას მათი წარმოების უსაფრთხოების გაზრდის გზები, მრავალრიგობის მცირედ დაყოვნებული აფეთქებისას და დასაშენები (უსაფრთხო) მუხტის სიღრმეების გათვალისწინების ასალი მეთოდების ხარჯზე, რაც გარემოზე მაგნესიუმის ზემოქმედების მართვისას და ნამსხვერევების გაფანტვის კონტროლის საშუალებას იძლევა.

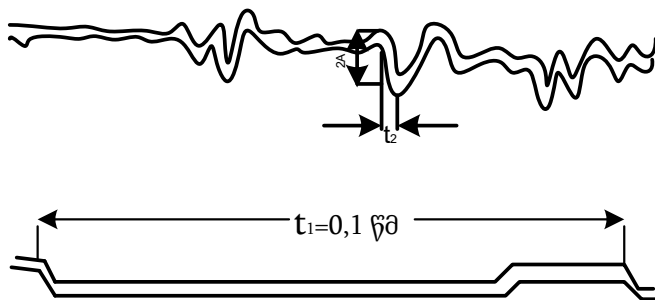
საპარანო სიტყვები: სეისმიკა, აფეთქება, ნონელი, ჭაბურებილი, დეტონატორი.

ქანების აფეთქების ტექნოლოგიების განვითარებაში განსაკუთრებული მნიშვნელობა მიანიჭა აფეთქებით გამოწვეული სეისმური გვექტის კვლევებს. ვინაოდან ჩვეულებრივ მოვლენად იქცა აფეთქებით ქანების დაშლა არა მარტო შასტებში ან კარიერებზე, არამედ შენობა-ნაგებობების უშუალო სიახლოეს, ზოგ შემთხვევაში კი ქალაქების ცენტრშიც.

ეს შესაძლებელი გახდა მრავალრიგიანი მცირედ-დაყოვნებიანი აფეთქების და მუხტის სიღრმეების გათვლის ახალი მეთოდების დანერგვის ხარჯზე, რომელიც საშუალებას იძლევა მასშტაბური აფეთქების პირობებში სეისმური რხევების მართვასთან ერთად, ვაწარმოოთ მსხვერევის შედეგად ქანების გაფანტვის კონტროლი. შენობა-ნაგებობების სიახლოეს ჩატარებული აფეთქებით გამოწვეული სეისმური ტალღები, ხშირად ქმნიან პრობლემებს, რომელიც გვაძიძელებს ვეძებოთ აღტერნატული გზები. გამომდინარე პრობლემიდან მსოფლიოს სხვადასხვა ქვეყანაში მოხდა ჩატარებული ექსპერიმენტების და კვლევების განზოგადოება და ანალიზი, რომელ-მაც პრაქტიკულად მოიცვა ქანების ყველა ტიპი, მათში აფეთქებით გენერირებული ტალღების გავრცელების მართვის და კონტროლის მეთოდების დანერგვით.

სტატიაში განხილულა აღნიშნული მეთოდოლოგიის, ახალი თანამედროვე მარეგისტრირებელი აპარატურის და აფეთქების ტექნოლოგიების გამოყენების ასპექტები.

აფეთქებით გენერირებული სეისმური ტალღის ძირითადი მახასიათებლები ამპლიტუდის მაქსიმალური მნიშვნელობა, რხევის სიჩქარე და აჩქარება განისაზღვრება სეისმოგრამით ნახაზი 1.



ნახ 1. ვიბროგრამის გაშიფრვა

ორ თანმიმდევრობით საწინააღმდეგო მიმართულებით გადახრილ კერტიკალურ მანძილს განსაზღვრავს ორმაგი ამპლიტუდა (2A), ხოლო ჰორიზონტალურს - t_2 ითვლება, რომ რხევები დამაკმაყოფილებელი სიზუსტით შეიძლება წარმოდგენილი იყოს A ამპლიტუდის სინუსითაღური რხევებით, რხევის პერიოდით $2t_2$ სიხშირე f განისაზღვრება დროის ნიშნულთან $t_1 = 0,1 \text{ წმ}$, შედარებაში და გამოისახება ფართობით:

$$f = \frac{10t_1}{2t_2} = 5 \frac{t_1}{t_2}, \quad (1)$$

ესლა მივუბრენდეთ აპროკსიმირებულ (მიახლოებული) სინუსითაღურ რხევებს.

$$s = A \sin 2\pi f t; \quad (2)$$

$$v = 2\pi f A; \quad (3)$$

$$a = 4\pi^2 f^2 A; \quad (4)$$

სადაც: t - რხევის სიჩქარე, წმ; v - რხევის მაქსიმალური სიჩქარე, წმ; a - მაქსიმალური აჩქარება მ/წმ².

რხევების ჩაწერა მიზანშეზონილია ვაწარმოოთ ერთჯერადად აფეთქებული შპურებისთვის, თუ ეს ეხება

დაყოვნებულ და არა მცირედდაყოუნებულ აფეთქებას.

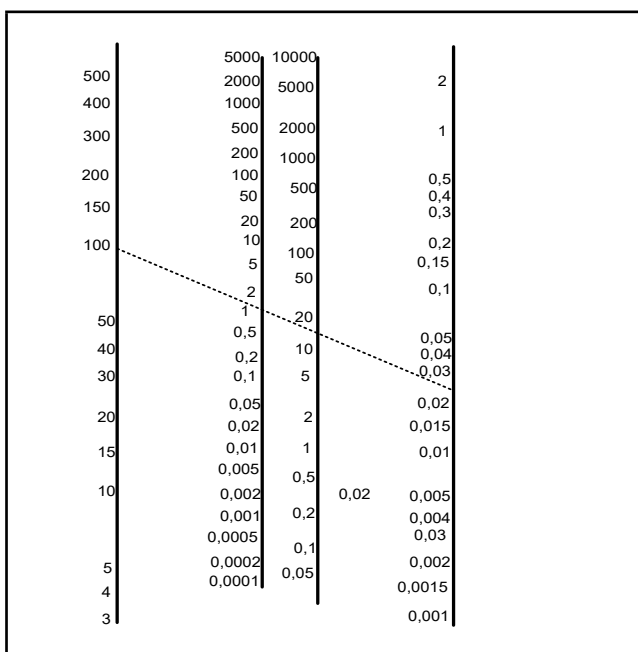
თუ A და v იძლევა მაღალ მაჩვენებელს შესაძლებელია გამოვყოთ დაყოვნების სხვადასხვა საფეხურები, რომელთა ჩაწერა ხდება ცალცალკე. ვინაიდნ ვიბრაცია შედგება რამოდენიმე სხვადასხვა სიხშირისგან და თუ A და v ან $\left(\frac{v}{C}\right)$, (C - ტალღის გავრცელების სიჩქარე)

ჩაითვლება მაღალ მაჩვენებლად, ხდება ყოველი სიხშირისთვის ცალკე ანათვალის აღება.

მას შემდეგ, როცა ამპლიტუდა და მისი თანამდევი სიხშირე მიღებულია, აჩქარება და სიჩქარე შესაძლებელია გამოითვალის ნახაზი 2 მოყვანილი ნომოგრამის საშუალებით.

თუ ჩვენ არ გვაქვს სერიოზული პრაქტიკული მიზეზი, ექსპრიმენტებზე დაყრდნობით, რეკომენდირებულია რხევის სიჩქარე ქანებში შევინარჩუნოთ $v = 70 \text{ მმ/წმ-ზე}$, ხოლო გრუნტს $V = 50 \text{ მმ/წმ-ზე}$ დაბლა, ვინაიდნ მაჩვენებლები ნაკლებია ნაკლების ზღვარზე.

მრავალჯერადი აფეთქებების შემთხვევაში შესაძლებელია ზემოთ მოყვანილი რხევის სიჩქარეების გადამეტება, მაგრამ სიჩქარე არ უნდა გადაცდეს $v = 100 \text{ მმ/წმ-ში}$ სიდიდეს.



ნახ. 2. სიხშირე f , აჩქარება A , რხევების ამპლიტუდა v და ამპლიტუდა A -ს შორის დამოკიდებულების მოსახური ნომოგრამა. მაგალითად: $f = 100 \text{ ჰz}$; $A = 0,025 \text{ მმ}$; რხევის სიხშირე დაახლოებით ტოლია $C = 15 \text{ გგ/წმ}$; აჩქარება $A = 1 \text{ g}$ (პუნქტირი)

აუთენტიკის ცენტრის გამოყენება - ИСПОЛЬЗОВАНИЕ ЭНЕРГИИ ВЗРЫВА - APPLICATION OF EXPLOSIVE ENERGY

საჭიროების შემთხვევაში შესაძლებელია $V = 150$ მმ/წმ-დღე გაზრდა, მაგრამ ამ შემთხვევაში უნდა გათვალისწინებული იქნეს ზარალის ანაზღაურების ხარჯებიც.

ერთჯერადად ასაფეროებელი მუხტით გამოწვეული სეისმური რხევების მაქსიმალურ ამპლიტუდას A -ს შესაძლებელია მივაღწიოთ ერთი ან რამოდენიმე, უმნიშვნელო წინასაწრი რხევის შემდეგ. ამ დროს გამოწვეული გიბრაცია ჩვეულებრივ ხანმოკლეა და ხშირ შემთხვევაში ჩნდე-

ბა მხოლოდ სრული რხევების დროს, ამპლიტუდით $\frac{A}{2}$; სხვა დანარჩენი რხევები შეიძლება იგნორირებული იყოს.

ეს ნიშნავს, რომ $3T(T = \frac{1}{f})$ სრული დროის პერიოდი

დროის ინტერვალში, ორ სხვადასხვა აფეთქებას შორის არ ხდება ურთიერთქმედება.

თუ ინტერვალი მოკლეა, მოხდება სხვადასხვა სისტემის ტალღის ურთიერთქმედება, რაც გაართულებს პირობებს. კითხვა, როგორ მოქმედებს საბოლოო შედეგებზე დროის დაყოვნება, იმპულსების რაოდენობა და სიხშირის ფაქტორები შეისწავლა ლანგეფორსმა და ეს მოვლენა ახსნა ინტერვალუნციის ეფექტით, რომელიც გულისხმობს, თუ დაყოვნების დრო T მეტია რხევების T დროზე, მაშინ მიღწევადა სხვადასხვა დაყოვნების საფეხურებს შორის ურთიერთქმედება და რხევის ეფექტი ჯამდება. ეს ხდება იმ შემთხვევაში, როცა H , გამოსახულებაში მთელი რიცხვა:

$$\tau = HT \quad (5)$$

მეორის მხრივ თუ H წარმოდგენილია კენტი რიცხვით, მაშინ სხვადასხვა ტალღური სისტემა ახმობს ან ამცირებს ერთმანეთს. ეს ეფექტი წარმოიშვება $H = 1/2$ შემთხვევაში, ხოლო $H = 5/2$ მნიშვნელობისას ეფექტი არ თამაშობს არაგითარ როლს ვინაიდან თავისით ხდება რხევების ჩაქრობა. მე

ინტერვალუნციის ეფექტის მიღება შესაძლებელია სხვა გზითაც. აქ მთავარი პირობაა ის, რომ მთელი რიცხვი იქნება K და არა ფარდობა K და n შორის, ანუ

$$\frac{k}{n} \neq 1, 2, 3, \dots$$

$$n\tau=kT \quad (6)$$

სადაც: n - ინტერვალების რიცხვია.

$n\tau$ აფეთქების სერია დაკვირვების ქვეშ მყოფ ერთი ან რამოდენიმე რხევის პერიოდზე გადანაწილდება. ამ გაშლას, პრაქტიკული თვალსაზრისით აქვს დიდი მნიშვნელობა. ინტერვალუნციისთვის ყოველ რხევას შეესაბამება გარკვეული ინტერვალი, ინტერვალუნციის პირობა განტოლება (6)-ის შესაბამისად შესაძლოა გავრცელდეს ფართო დიაპაზონში. ლიტერატურაში აღწერილი მრავალი მაგალითი გვიჩვენებს, რომ მუხტების წონის ჯამური ზრდა ინტერვალების რიცხვის ზრდასთან ერთად გვაძლევს ნადაგას რხევის ამპლიტუდის შემცირებას. ე.ი დაყოვნების საფეხურების რიცხვის გაზრდა იწვევს K კოეფიციენტის მახლობებას მთელ რიცხვთან. დაყოვნების ინტერვალის მიმართ, დაყოვნების საფეხურები შეირჩევა ისე, რომ n შეადგენდეს დროის მიხედვით

ცხრილი 1

NONEI MS Connector

Delay Time (msec)	Connector Block Color	Delay Time (msec)	Connector Block Color
9	Green	65	Purple
17	Yellow	67	Blue
25	Red	100	Pink
35	Black	109	Black
42	White	200	Blue
50	Orange		

ცხრილი 2

NONEI LP 1.4B

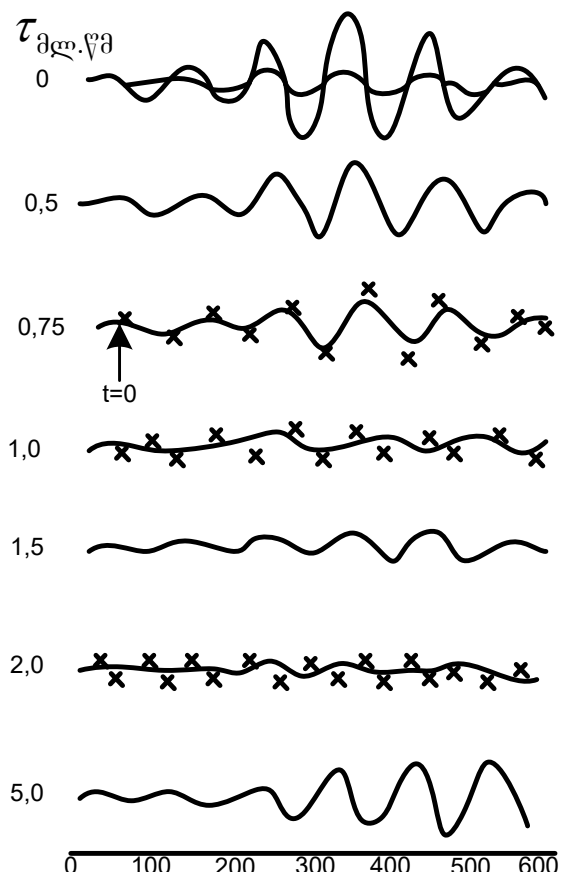
Period/DelayTime (msec)	Delay Tag Color	Period/DelayTime (msec)	Delay Tag Color
0/0	Pink	10 / 3500	Green
1 / 500	White	11 / 3900	Yellow
2 / 800	Lt Blue	12/4400	Red
3/1100	Orange	13 / 4900	White
4 / 1400	Green	14 / 5400	Lt Blue
5 / 1700	Yellow	15 / 5900	Green
6 / 2000	Red	16 / 6500	Green
7 / 2300	White	17 / 7200	Yellow
8 / 2700	Lt Blue	18 / 8000	Red
9 / 3100	Orange		

ერთ მოლიან პერიოდს. თუ შეუძლებელია დაყოვნების დღი შეირჩეს ისე, რომ K უტოლდებოდეს მთელ რიცხვს შეიძლება ჩაითვალოს, რომ მუხტების სერიის დიდი ნაწილი ასრულებს ინტერფერენციის პირობას და რომ დარჩენილი ნაწილი ნამდვილად ურთიერთქმედებაშია.

ინტერვალი, რომელიც ყოველი აფეთქების შედევგად აღმატება საკუთრივი რჩევის პერიოდს ასწრებს ჩაქრობას იქამდე, სანამ მომდევნო აფეთქება განავითარებს თავის მაქსიმალურ ამპლიტუდას. თუ დროის ინტერვალი მიახლოებულია ან ტოლია რჩევის გავრცელების დროსთან ან მის ორმაგ მნიშვნელობასათვის $\tau = T \text{ ან } 2T$, მაშინ შეუძლებელია ავიცილოთ სხვადასხვა მუხტების მიერ წარმოქმნილი რჩევების ურთიერთქმედება. მეორე მხრივ, თუ მუხტების სერია გადანაწილებულია ინტერვალების დიდ რიცხვზე და აფეთქების ხანგძლიობა, დროის მიხედვით, ეტევა $3T$ ან მეტში, მოსალოდნელია, რომ მათი ურთიერთქმედება არ შედგება. მუხტების სერიის ნაწილისთვის,

რომელთა ინტერვალებია N 0, 3, 6, 9 და ა.შ (ან 0, 2, 4, 6 და ა.შ) $\tau = 2T$ შემთხვევაში მაქსიმალური ამპლიტუდის სიდიდეს ექნება იგივე რიგი, რაც ცალკეული მუხტის აფეთქებას. ამ შემთხვევაში ჯამური კიბრაცა შედგება ორი ან სამი ასეთი სერიიდან. აქედან გამომდინარე სერიის ყველა მუხტის აფეთქების თანხლები ეფექტი შეესაბამება ორი ან სამი ურთიერთქმედი მუხტის აფეთქებას. თუ რჩევების სიდიდის შემცირება არ არის საკმარისი, უნდა შევიყვანოთ ერთი ან ორი შუალედური ინტერვალი [2]. თანამედროვე პირობებში ფართოდ გამოიყენება არაელექტრული აფეთქების სისტემები (NONEL), რომელიც მოიცავს დაყოვნების ფართო სპექტრს (0-8000 მლ. წ.). მაგალითისთვის NONEL MS და NONEL LP დაყოვნების პარამეტრები მოყვანილია ცხრილი 1 და ცხრილი 2.

ნახაზი 3. მოყვანილია რამდენიმე მუხტის ერთ-დროული ინიცირებით გამოწვეული ნიადაგის რჩევის ამპლიტუდები.



ნაზ. 3. ნიადაგის რჩევის მრუდები გამოწვეული ხეთი სხვადასხვა მუხტის აფეთქებით. დაყოვნება 0-100 მლ.წ. მრუდები გათვლილია ფიშის მეთოდით, როცა საწყისი წერტილი $\tau = 0$. მრუდები აღნიშნული ჯვრებით მიღებულია ექსპლიმენტალურად

ზემოთ მოყვანილი დებულებები შესაძლებლობას იძლევა გამოვიყენოთ ისინი სტაციონალურ საამფეთქებლო სამუშაოებისთვის გამოყოფილ უბნებზე, როგორიცაა შახტები და კარიერები, სადაც საამფეთქებლო სამუშაოებს აწარმოებენ ხანგრძლივი დროის განმავლობაში. ამ პერიოდში შესაძლებელია დადგინდეს რჩევების მახასიათებლები, დაყოვნების დრო და დაყოვნების ინტრვალები [1].

Instantel ფირმის Blastmate III ხელსაწყო იძლევა საშუალებას დიდი სიზუსტით განვსაზღვროთ ამპლიტუდის მაქსიმალური მნიშვნელობა, რჩევების სიხშირე, აჩქარება და გრუნტის გადადგილების სიჩქარე. მაგალითისთვის ექსპრიმენტების შედეგი მოყვანილია Blastmate III გამოყვანილ დაგრამაზე.

ერთჯერადი საცდელი აფეთქების დროს სეისმური ტალღების ინსტრუმენტალური მონიტორინგის შედეგი (ა.შ.შ.-ის სტანდარტები USBM RI8507 და OSMRE)



Event Report

Date/Time Tran at 17.45.48 September 12, 1995
 Trigger Source Geo: 2.00 mm/s. Mic 09.0 pa(L.)
 Range Geo: 254 mm/s
 Record Time 7.0 sec at 1024 sps
 Job Number 1

Location

Client

User Name

General

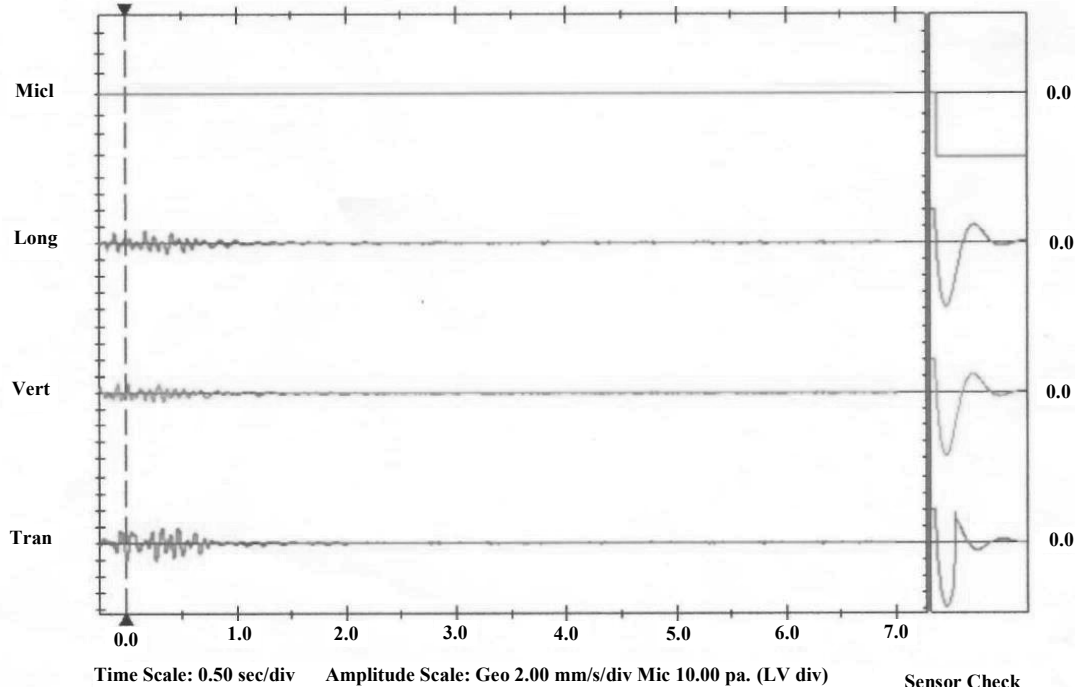
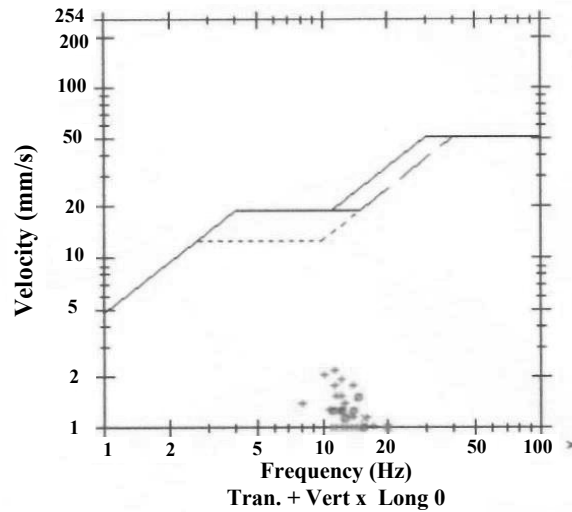
Extended Notes

Microphone Lineer Weighting
 PSPL <0.500 pa(L)
 ZC Freq >100 Hz
 Channel Test Check (Freq=0.0 Hz Amp=0 mv)

	Tran	Vert	Long	mm/s
ZC Freq	2.16	1.14	1.52	mm/s
Time (Rel. to Trigl)	11	10	15	Hz
Peak Acceleration	0.267	-0.080	0.170	sec
Peak Desplacement	0.0265	0.0265	0.0265	g
Sensor Check	0.0303	0.0153	0.0184	mm
Frequency	Check	Passed	Passed	
Overswing Ratio	10.8	7.5	3.9	
Peak Vector Sum	2.22 mm/s at 0.267 sec			
N/A Not Applicable				

Serial Number BA20882 V 10.72-8.17 BlastMate
 Battery Level III
 Unit Calibration 6.2 Volts
 File Name February 21, 2017 by RGN Zagreb

USBM R18507 And OSMRE



პრაქტიკაში მნიშვნელოვანია, რომ ინტერფერუნციის პირობები იძლეოდნენ მოუწესრიგებელი ინტერფერუნციის გამოყენების საშუალებას. ამ მოვლენას მივიღებთ, თუ მუხტების რიგის აფეთქების ხანგრძლიობა საკმარისია იმისთვის, რომ გადაფაროს რჩევების მთლიანი პერიოდი იმ შემთხვევაშიც, როცა ეს განვრცობა ნაწილდება სრუ-

ლიად ნებისმიერად. მოუწესრიგებელი ინტერფერუნციის უფერტის გამოსათვლელად ცხრილ 3-ში სიხშირეების სხვადასხვა მნიშვნელობებისთვის, რხევების პერიოდისთვის და გაბნევისთვის $\pm \Delta t$, მოყვანილია შემცირების კოეფიციენტი Y .

ერთი და იგივე ინტერვალში კონფიგურაციის შემცირება ჯამური Q_j მუხტისთვის მოუწესრიგებელი ინტერვალების დროს

f ჰz	T მლ.წმ	τ				
		$\Delta\tau \pm 5$	± 10	± 25	± 100	± 200
5	200	1	1	1	1/2	1/3
10	100	1	1	1	1/3	1/6
20	50	1	1	1/2	1/6	1/6
50	20	1	1/2	1/3	1/6	1/12
100	10	1/2	1/3	1/6	1/12	1/25
200	5	1/3	1/6	1/6	1/25	1/50
500	2	1/6	1/6	1/12	1/50	1/100

ცხრილი 3 გამოყენებადია მუხტების სერიისთვის, ვან ქანგბში. რომელიც დეტონირებნ ერთ და იგივე დაყოვნების საფეხურზე $\pm \Delta\tau$ დეტონირებით. თუ ვიყენებთ მცირედ დაყოვნების დეტონატორებს ცდომილება ორი ყველაზე დაბალი საფეხურისთვის შესაძლებელია იქნოს 1 ± 5 მლ.წ., შემდეგი სამი საფეხურისთვის ± 10 მლ.წ., და უფრო მეტი ცდომილება იქნება 10 საფეხურის დაყოვნებისთვის. 1000 მლ.წმ დაყოვნების დეტონატორებისთვის ცდომილება იქნება ± 100 მლ.წმ. და მეტი.

დაყოვნების სხვადასხვა საფეხურებისთვის შესაძლებელია დაუშვათ, რომ ურთიერთქმედება არ ხდება $\tau > 2,5T$ შემთხვევაში. 30 მლ.წმ დროს მაქსიმალურად დასაშვები მუხტი შეგვიძლია გამოვიყენოთ ყოველ ცალკეულ საფეხურზე, კონფიგურაციის გათვალისწინებით, იქმდე სანამ სიხშირე არ აღემატება $f=100$ ჰz. ეს ჩეულებრივ ეწება სამუშაოთქმლო სამუშაოებს მაგარ კლდო-

შედარებით რბილ ქნებში სიხშირე შეადგენს 20-50 ჰz. საჭიროების შემთხვევაში შესაძლებელია დაყოვნების ყოველ საფეხურზე გამოვიყენოთ მაქსიმალური მუხტი. ამ შემთხვევაში დაყოვნების ინტერვალი შეადგენს 30 მლ.წმ $\approx T/2$ და როგორც მოსალოდნელია, რხევები, თანმიმდევრული ავეთქმებების შედეგად მთლიანად იქნება ჩამქრალი.

ლიტერატურა

- Х. Лангефорс, К. Кильстром. Современная техника взрывной отбойки горных пород. Недра, Москва, 1968 г. 207 с.
- „Shot Pattern Guide”. Dyno Nobel inc . 2006 .

KUCHUKHIDZE Z., APRIASHVILI A., TKHELIDZE G., ABESADZE N.

THE WAYS TO REDUCE THE SEISMIC VIBRATIONS GENERATED BY THE EXPLOSION

ABSTRACT: The work considers the importance of explosion energy in modern life, not only in mining, but during dismantling of the buildings or works to be done around them as well. This has been made possible by the introduction of multiple-row millisecond delay blast and new methods of designing of blast, which allows to manage the dispersion of the rock as a result of destruction, as well as the control of seismic vibrations when using the explosion energy. The article describes aspects of the use of this methodology, of the modern state-of-the-art recording equipment, and new blast technology.

KEY WORDS: seismic; explosion; nonlinear; borehole; detonator.

KUCHUKHIDZE З. К., АПРИАШВИЛИ А., ТХЕЛИДЗЕ Г. „АБЕСАДЗЕ Н.А.

СПОСОБЫ СНИЖЕНИЯ СЕЙСМИЧЕСКИХ ВИБРАЦИЙ, ВЫЗВАННЫХ ВЗРЫВОМ

АННОТАЦИЯ: Работа рассматривает важность энергии взрыва в современной жизни, не только в горнодобывающей промышленности, но и при разборке зданий или работах, которые будут выполняться вокруг них. Это стало возможным благодаря внедрению многорядного замедленного взрыва с задержкой и новых методов проектирования взрыва, что позволяет управлять рассеиванием породы в результате разрушения, а также контролем сейсмических колебаний при использовании энергии взрыва. В статье рассматриваются аспекты использования этой методологии, современного записывающего оборудования и новых технологий взрыва.

КЛЮЧЕВЫЕ СЛОВА: сейсмический; взрыв; нелинейный; скважина; детонатор.

**ზოზიპა-შათეგალიპის გეც. დოკტორი ე. ჩახელიშვილი, აკად. დოკტორი
ქ. გოდიბაძე, ა. გოგიაშვილი, მ. თუთეშვილი
ქალოვანი ელექტრონიკისათვის სითაროს ამონალი ელექტრონიკის
დამზადება აუტომატიკის თექნიკური დოკუმენტი**

ანონსი. ნაშრომში შემოთხვეულია ცილინდრული გეომეტრიის მქონე მილისებრ კონტეინერში (ამჟღალში) კომპოზიციური კერამიკული ფხვნილოვანი ნარვების აუტექტილი დაწნება ორ საფეხურად: ა) პირველ საფეხურზე ნაშავდის წინასწარი სიმკრივის გაზრდის მაზნით საწყისი ფხვნილის ნარვების აუტექტილი დაწნება ხორციელდება ოთახის ტექსტურატურაზე, დატვირთვის ინტენსივით 5-10გპა; ბ) მეორე საფეხურზე, ივივე წინასწარ დაწნებილი ცილინდრული ნაშავდი გამჭვირებით განიცდის აუტექტილი დაწნებას ცენტრ მდგომარეობაში, დატვირთვის ინტენსივობით ცილინდრული ფოლადის კადელზე არამეტეს 10გპა-სა. ცხელ მდგომარეობაში აუტექტილი ტექნოლოგით დამუშავდის დროს კაზის ერთეულთი კომპონენტი (Al) უძა იყოს თხევად მდგომარეობაში; კომბაქტირებული მასალის ზედაპირული ანალიზით სილიციუმის კარბიდისა და ალუმინის ფაზებს შერის იკვეთება საუკეთესო კავშირები, არ იძენდა სიცარიელები ფორების, ბზარების, ვაკუანიებისა ან სხვა სტრუქტურული დაუქმენების სახით.

საბანაძო სიტყვები: სითბოამონექლი ჯლუმენტები; კერამიკული კომპოზიციური მასალები; აუტექტის ტექნოლოგით დაწნება; ელექტრონული მოდული.

ამჟამად, საშუალო და დიდი სიმბლავის ძალოვანი ელექტრონიკა განიცდის განვითარების უმაღლეს პერიოდს. ენერგეტიკაში, ჩარხსმუნებლობაში, სარეანიგზო ტრანსპორტში, ავიაციაში, გემთშენებლობაში და სამსედრო მიმართულებით ნახევარგამტარებზე შექმნილი აზალი დანადგარების ფართო გამოყენებამ მოითხოვა ადრე მიუღწეველი თვისებების მქონე ახალი ნაკეთებების დამზადება. ძალოვანი ელექტრონიკისათვის აქლევსის ქსელია სითბოს მოცილება. ნახევარგამტარული კრისტალური მასალები, როგორც წესი, ხასიათდებან დაბალი სითბური გაფართოვების კოეფიციენტით. სითბური გრადიენტის წარმოქმნის გამო, რომელიც იწვევს კრისტალების მრავალჯერად შეკუმშვა-გაფართოვებას, ხდება ნახევარგამტარული ელემენტების დამსხრევა და, შესაბამისად, მწყობრიდან გამოყვანა. ელექტრონული მოდულის შექმნის დროს საჭიროა შეიქმნას ისეთი კომპოზიციური მასალები, რომელთაც ექნებათ დაბალი სითბური გაფართოვების კოეფიციენტით და მაღალი სითბოგამტარობა [1].

დღეისათვის მსოფლიოში ისეთ წამყვან კომპანიებს, როგორებიცაა Ceramic Process Systems, Thermal Transfer Composites, დამუშავებული და ათვისებული აქვთ ძალოვანი ელექტრონიკისათვის სითბოს ამრეკლი ელემენტების დამზადების საწარმოო ტექნოლოგია SiC-Al ბაზაზე. სითბოს ამრეკლების დასამზადებლად გამოყენებულია საკმაოდ როგორი ტექნოლოგიები: ვაკუუმურ-

კომპრესორით გაედენოვა გამღნარი ალუმინით და SiC ნაწილაკების სილიკატური წებოს მეშვეობით, ცხრილური კარგასის დამზადება და შემდგომ გაუდენოვა გამდნარი ალუმინით. წარმოებული მასალა არ გამოირჩევა დიდი სიმკრივით და ხარისხით. ამავე დროს წარმოებული ცილინდრული ფორმის ნიმუშების დიამეტრი 100 მმ-ს არ აღემატება.

ფხვნილოვანი და კონდენსირებული მასალების აუთექტილი დამუშავების დროს (აუთებით შედუღება, დაწნება, არმირება), როდესაც ფეთქებადი მასალის დეტონაციის შედეგად წარმოქმნილი დარტყმითი ტალღების მეშვეობით ადგილი აქვს მაღალი წნევის პირდაპირ ზემოქმედებას ფხვნილოვან მასალებზე, შესაძლებლობა იქმნება ტრადიციული ფხვნილთა მეტალურგიის სტატიკური მეთოდებისაგან განსხვავებით დარტყმითი ტალღის ფრონტზე მიღწეული იქნას გაცილებით მაღალი წნევები, რომელთა სიდიდეც შეიძლება აღწევდეს 100 გპა-ს. ასეთი მაღალი წნევების პირობებში შესაძლებელი ხდება არა მარტო დაიწენებოს ისეთი ძნელდნობადი და კერამიკული კომპოზიციური ფხვნილოვანი მასალები, რომელთა დაწნება ჩვეულებრივი სტატიკური დაწნების პირობებში შეუძლებელია, არამედ შესაძლებელი ხდება დასაწენები მარცვლების პლასტიკური დეფორმაცია და მათი დენადობა, რაც მარცვალთშორისი საერთო საზღვრების ჩამოყალიბების აუცილებელი პირობაა მაღალი სიმკვრივის და არაფორიანი მასალების მისაღებად. კერამიკული კომპოზიციური მასალების დაწნებისას შესაძლებელი ხდება მყარი სსნარების ფორმირება კერამიკული ფაზის შემადგენელ ელემენტებსა და შემაკავშირებელ ფაზას შორის. აღნიშნული პროცესი განაპირობებს მაღალი სიმტკიცის კომპოზიციური კერამიკული ნიმუშების მიღებას, ასევე სანთეზირებული ახალი ფაზების ჩამოყალიბებას სტრუქტურაში, რაც ტრადიციულ ტექნოლოგიებში, სტატიკურ პირობებში შეცხობის პროცესში არ მიღწევა. მათ თანამედროვე ძალოვან მოდულებში გამოიყენებენ სითბოს ამრეკლ ელემენტებად, იმის გამო, რომ გააჩნიათ მაღალი სიმტკიცე, სისალე, სითბოგამტარობა, ცვეთამედეგობა, ელექტრონგამტარობა, დაბალი სიმკვრივე და თერმიული გაფართოების კოეფიციენტის რეგულირების შესაძლებლობა. არსებობს მოსაზრება, რომ მაღალი სისალის სილიციუმის კარბიდს, შეკავშირებულს მაღალ პლასტიკურ ალუმინოთან და შედეგად მიღებულ კომპოზიციას (SiC-Al) შესაძლებელია ჰქონდეს ფიზიკურ-მექანიკური თვისებების გაუმჯობესებული და ოპტიმალური კომბინაცია სხვადასხვა მიზნებისათვის.

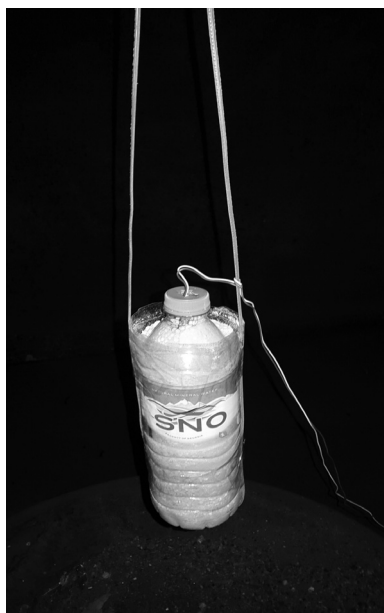
სიახლე ჩვენს მიერ შემოთავაზებულ არატრადიციულ მიდგომაში მდგომარეობს იმაში, რომ ცილინდრული გეომეტრიის მქონე მიღისებრ კონტეინერში (ამჟღალაში) კომპოზიციური კერამიკული ფხვნილოვანი ნარვების დაწნება შესრულებული იქნა ორ საფეხურად: ა) პირველ

საფეხურზე საწყისი ფხვნილის ნარევის აფეთქებით მოწნება ხორციელდება ოთახის ტემპერატურაზე, დატ-ვიროვის ინტენსივობით 5-10 გპა, ნამზადის წინასწარი სიმკვრივის გაზრდის მიზნით; ბ) მეორე საფეხურზე, იგივე წინასწარ დატნებილი ცილინდრული ნიმუში განმეორებით განიცდის აფეთქებით მოწნებას ცხელ მდგომარეობაში, ალუმინის დნობის ტემპერატურაზე. დატ-ვიროვის ინტენსივობა ამ შემთხვევაში ცილინდრული ფოლადის კედელზე არ აღემატებოდა 10 გპა-ს.

პირველ საფეხურზე დატვირთვის შემდეგ, როგორც მოსალოდნელი იყო, არავითარი ცვლილება არ გვხვდება დაწნებილი კომპოზიტის მიკრო-სტრუქტურაში. მაღალი ინტენსივობის დარტყმითი ტალღები (მაღალი წნევა) განაპირობებს ნაწილაკების ზედაპირების დენადობას და მათი პლასტიკურობის გაზრდას. როგორც შედეგი, ხდება მარცვალთშორისი საზღვრების ჩამოყალიბება, რაც შეუძლებელია და გამორიცხულია სტატიკური დაწნებისას. აღნიშნულ კომპოზიტში თხევადი ფაზა წარმოიქმნება $650-700^{\circ}\text{C}$ ტემპერატურაზე. დარტყმითი ტალღით კომპოზიტის შეკუმშვამდე, კომპოზიტის ერთ-ერთი კომპონენტის თხევად ფაზაში ყოფნა იწვევს შეცხობის პროცესის გააქტიურებას და ფორების შეცხებას კომპო-

ნენტების თერმული გრადიენტის გამო. ამ შემთხვევაში მნიშვნელოვანი ხდება შემდეგი პროცესები: თხევად ფაზაში სილიციუმის კარბიდის მარცვლების ზედაპირის გაულენვა ალუმინით, რაც აადგილებს ნაწილაკების სრიალით გადაადგილებას; ადგილი აქვს, აგრეთვე, კაპილარულ მოვლენებს და თხევადი ფაზის ნივთიერებით ნაპრალების ამოვსებას; ასევე, ხდება დიუუზის სიჩქარის გაზრდა. ეს ყოველივე კი ხელს უწყობს კომპოზიტის სიმკვრივის გაზრდას.

აფეთქებით (დარტყმითი ტალღებით) SiC - Al ფხვნილების დაწნება შესრულებული იყო ღერძულ - სიმეტრიული დატვირთვის სქემით. დარტყმითი ტალღები ინიცირებული იყო საწარმოო ფეთქი მასალებით და მათი ნარევებით ამონიუმს გვარჯილასთნ სხვადასხვა პროცენტული შედგენილობით (იხ. სურ. 1). მყარ სხეულებში მიმდინარე პროცესებს, რომელიც დარტყმითი ტალღით არის გამოწვეული, უშუალოდ გრძელებით, რადგან ზემოქმედების ხანგრძლივობა შეადგენს დაახლოებით 10 მეტრს. მიუხედავად ამისა, ისინი შეიძლება ძირულესიანად გაანალიზდეს იმ ცვლილებების ბაზაზე, რომლებიც რჩება სხეულში დარტყმითი ტალღის გავლის შემდეგ.

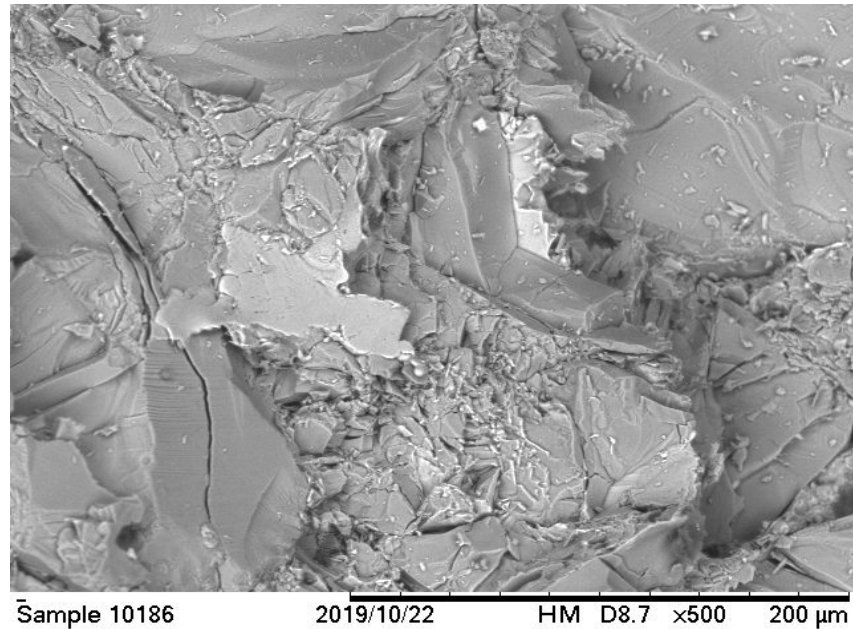


**სურ. 1. ამონიტისა და ამონიუმის გვარჯილის
ნარევისგან დამზადებული მუხტი**

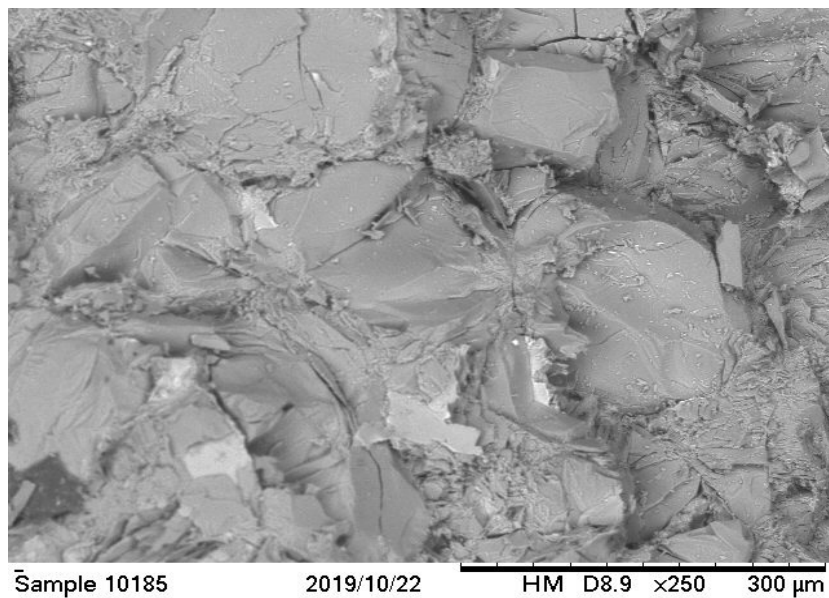
სილიციუმის კარბიდისა და ალუმინის კარბიდის რთახის ტემპერატურაზე და შემდეგ გრძელ მდგრადარემბაზი კომპაქტირებაში

სილიციუმის კარბიდის და ალუმინის ფხვნილებისაგან ოთახის ტემპერატურაზე და შემდეგ ცხელ მდ-

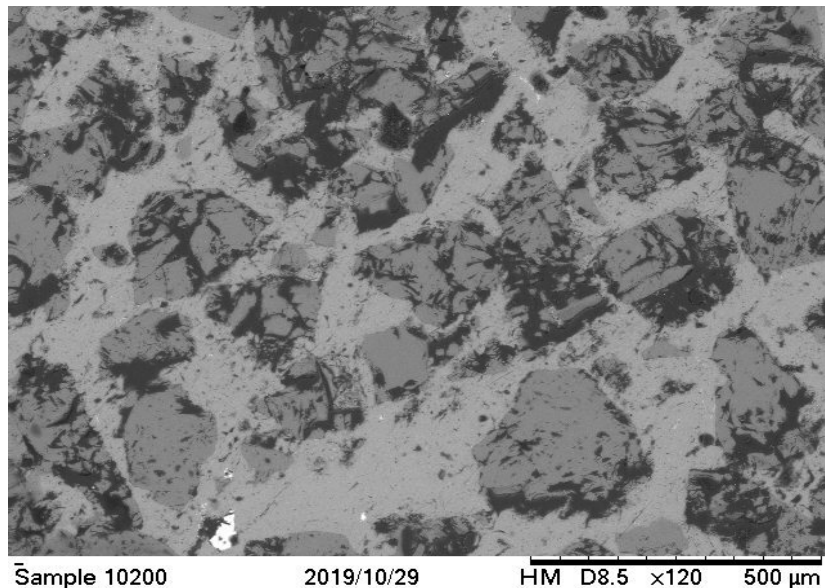
გომარეობაში კომპაქტირებული მასალების სტრუქტურის მიკროფორმები ნაჩვენებია სურათებზე 2, 3 და 4. მიკროფორმები გადაღებულია სხვადასხვა გადიდებით. კომპაქტირებული მასალის ზედაპირული ანალიზი გვიჩვენებს სილიციუმის კარბიდისა და ალუმინის ფაზებს შორის საუკეთესო კავშირებს.



სურ. 2. კომპაქტირებული SiC – 20 % Al კომპოზიტის ტენის ზედაპირი ფორმებისა
და დამანინჯების გარეშე. გადიდება x500

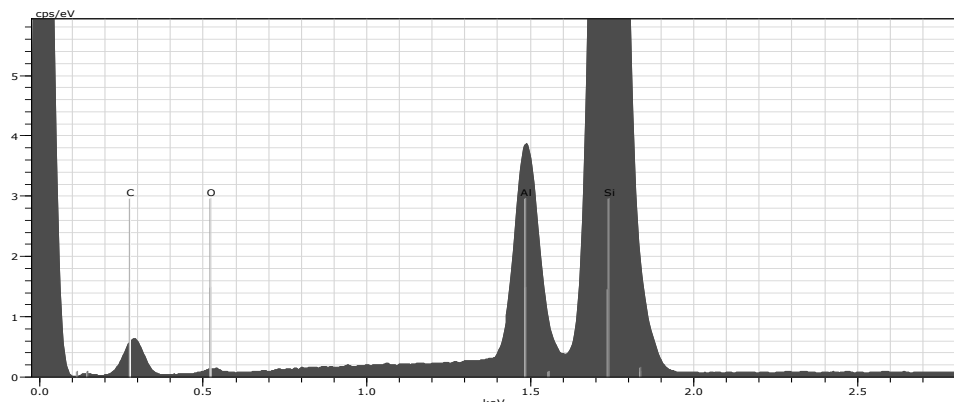


სურ. 3. ცხელ მდგომარეობაში (740°C) აფეთქებით კომპაქტირებული (უდევეებზო) კერამიკული SiC – 20 % Al კომპოზიტის ტენის სტრუქტურა. გადიდება x250



სურ. 4. ცხელ მდგომარეობაში (740°C) აფეთქებით კომპაქტირებული კერამიკული $\text{SiC} - 20\% \text{Al}$ კომპოზიტის პოლირებული ზედაპირი. გადიდება $\times 120$

აღნიშნული სურათები მიღებულია მასკანირებელ ელექტრონულ მიკროსკოპზე, ელექტრონების ამრეკლი დეტექტორებით 15 კვ ძაბვის აჩქარებით. სურათებზე, განსაკუთრებით მაღალი გადიდებით, კარგად ჩანს უწყვეტი კავშირი სილიციუმის კარბიდსა და ალუმინის ფაზებს შორის. სილიციუმის კარბიდსა და ალუმინის ფაზებს შორის არ იძებნება სიცარიელები ფორმების, ბზარების, ვაკანსიებისა ან სხვა სტრუქტურული დეფექტების სახით. სილიციუმის კარბიდის კრისტალები მჭიდროდა ჩამჯდარი ალუმინის გარსაცმლი.



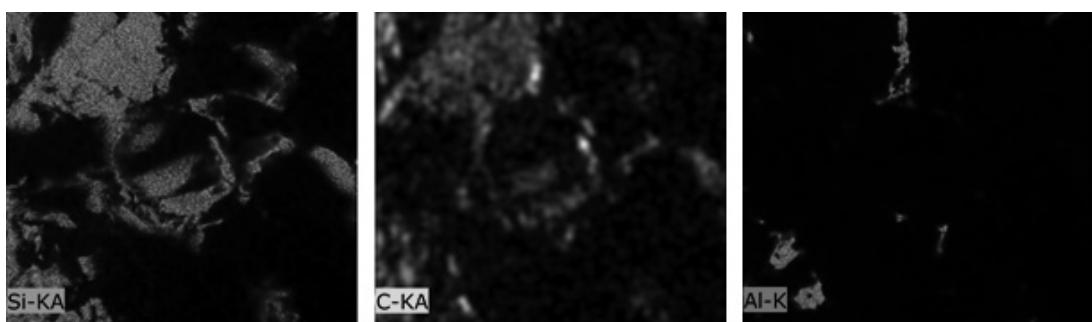
სპექტრი 1. ელემენტების პროცენტული რაოდენობა

Spectrum: Point			
Element	AN	Series	norm. C
	[wt.%]	[at.%]	
Silicon	14	K-series	65.34 47.61
Carbon	6	K-series	26.87 45.77
			Aluminium 13 K-series 6.41 4.86
Oxygen	8	K-series	1.38 1.76

Total: 100.00 100.00			



სურ. 5. ცხელ მდგომარებაში კომპაქტირებული $\text{SiC} - 20\% \text{Al}$ კომპოზიტის ტეხის რენტგენოგრამა



სურ. 6. ცხელ მდგომარებაში კომპაქტირებული $\text{SiC} - 20\% \text{Al}$ კომპოზიტის ტეხის რენტგენოკარტოგრამა (X-ray mapping)

ცხელ მდგომარებაში კომპაქტირებული $\text{SiC} - 20\% \text{Al}$ კომპოზიტის ტეხის რენტგენოკარტოგრამა (ის. სურ. 6) საშუალებას გვაძლევს შევისწავლოთ ნიმუშის ტეხის ზედაპირის მორფოლოგია, შესაბამისად, აფეთქებით დაწნებილი ცილინდრული ნამზადის ცანტრალური უბნები, კომპოზიტში არსებული კომპონენტების (სილიციუმი, გრაფიტი, ალუმინი) პროცენტული რაოდენობა და განაწილება/განლაგება, სტრუქტურის გარკვეულ უბანზე.

აფეთქებით კომპაქტირებული $\text{SiC} - \text{Al}$ ნიმუშების სიმკვრივის განსაზღვრა.

ცნობილია, რომ მასის განაწილება სხეულის მოცულობის მიხედვით შეიძლება დავახასიათოთ სიმკვრივით. ერთგვაროვანი სხეულისათვის სიმკვრივე გამოითვლება ფორმულით:

$$P = m/V \quad (1)$$

სადაც, m - ნივთიერების მასა, კგ; V - სხეულის მოცულობა, მ m^3 . ნიმუშების სიმკვრივეების მონაცემები მოცემულია ქვემოთ ცხრილში.

$\text{SiC} - \text{Al}$ პროცენტული თანაფარდობა	$\text{ნიშვნი},$ მარცვლის ზომა, μ	მფარი სხეულის წონა P, g	სხეულის წონა გამოხდილ წყალში, $P_1, \text{ g}$	ამომგდები ძალა გამოხდილ წყალში, $F, \text{ g}$	საგლევი მყრი სხეულის სიმკრივე, $\rho \text{ g/cm}^3$	საგლევი მყრი სხეულის სიმკრივე, $\rho \text{ g/cm}^3$
SiC-10 % Al	100 μ , SiC	60,60	60,43	0,01736	349,1	3,491
	-----	53,7283	53,58	0,01483	362,29	3,6229
	-----	53,2225	53,10	0,01225	434,47	4,3447
	საშუალო	55,85	55,70	0,0148	377,4	3,774
SiC- 20 % Al	100 μ , SiC	54,1343	53,95	0,01843	293,73	2,9373
	-----	56,77	56,58	0,01904	298,2	2,9816
	საშუალო	55,452	55,265	0,019235	288,29	2,8829
SiC – 30 % Al	100 μ , SiC	48,50	48,34	0,01644	295,0	2,95
	-----	62,94	62,71	0,0233	269,79	2,6979
	საშუალო	55,72	55,525	0,0195	285,7	2,857
SiC- 10 % Al	300 μ , SiC	44,80	44,73	0,0077	577,4	5,774
SiC -20 % Al	300 μ , SiC	41,42	41,31	0,01117	476,93	4,769
SiC- 30 % Al	300 μ , SiC	50,1251	50,02	0,0105	370,8	3,708
SiC- 10 % Al	500 μ , SiC	40,3575	40,28	0,00775	520,74	5,2074
SiC- 20 % Al	500 μ , SiC	40,4693	40,39	0,00793	510,33	5,1033
SiC- 30 % Al	500 μ , SiC	35,5488	35,43	0,01188	299,23	2,99

დასკვნება:

ჩატარებული ექსპერიმენტაციური საშუალების ანალიზის საფუძველზე დადგენილი იქნა:

1. სილიციუმის კაბიდისა და ალუმინის ფენილების ნარევისაგან კომპოზიციური კერამიკული სითბური ამრეცველების მისაღებად საჭიროა გამოყენებული იქნას ოთახის ტემპერატურაზე და შემდგომ ცხელ მდგომარეობაში აფეთქებით დამუშავების ტენილოგია. ცხელ მდგომარეობაში აფეთქების ტენილოგით დამუშავების დროს კაზმის ერთ-ერთი კომპონენტი (Al) უნდა იყოს თხევად მდგომარეობაში;

2. კომპოზიციური კერამიკული სითბური ამრეცველების მისაღებად, როგორც ოთახის ტემპერატურაზე, ასევე ცხელ მდგომარეობაში დამუშავების დროს, მნიშვნელოვან პარამეტრს წარმოადგენს ფეთქებადი ნივთიერების მუხტის დამეტრი. მის სწორად შერჩევაზეა დამოკიდებული ხარისხიანი კომპოზიტის მიღება;

3. ვაკუუმურ-კომპრესორული მეთოდით წარმოებული ცილინდრული ფორმის ნიმუშების ზომები (კერძოდ,

დიამეტრი) შეზღუდულია, ხოლო ჩვენ მიერ შემოთავაზებულ ტექნოლოგიაში აღნიშნული შეზღუდვას ადგილი არ აქვს.

4. კომპაქტირებული მასალის ზედაპირული ანალიზი გვიჩვენებს სილიციუმის კაბიდისა და ალუმინის ფაზებს შორის საუკეთესო კავშირებს. სილიციუმის კაბიდისა და ალუმინის ფაზებს შორის არ იძებნება სიცარიილები ფორების, ბზარების, ვაკანსიებისა ან სხვა სტრუქტურული დეფექტების სახით. სილიციუმის კაბიდის კრისტალები მჭიდროდაა ჩამჯდარი ალუმინის გარსაცმში.

ლიტერატურა

1. Каблов Е.Н., Щетанов Б.В., Шавнев А.А., и др. Свойства и применение высоконаполненного металломатричного композиционного материала AL - SiC. «Физика твердого тела». Вестник Нижегородского университета им. Н.И. Лобачевского, №3(1), Нижний Новгород, 2011. с. 56-59.

**ЧАГЕЛИШВИЛИ Э. Ш., ГОДИБАДЗЕ Б. А.,
ДГЕБУАДЗЕ А. А., ТУТБЕРИДЗЕ М. Л.
ПРОИЗВОДСТВО ТЕПЛООТРАЖАЮЩИХ
ЭЛЕМЕНТОВ ВЗРЫВНОЙ ТЕХНОЛОГИЕЙ
ДЛЯ СИЛОВОЙ ЭЛЕКТРОНИКИ**

АННОТАЦИЯ: В данной работе предлагается двухступенчатое уплотнение композиционной керамической порошковой смеси в трубчатом контейнере (в ампулах) с цилиндрической геометрией: а) На первом этапе, чтобы увеличить предварительную плотность заготовки исходную порошковую смесь подвергают взрывному компактированию при комнатной температуре с интенсивностью нагрузки 5-10 гПа; б) На втором этапе, тот же самый предварительно уплотненный цилиндрический образец вторично подвергается взрывному компактированию в горячем состоянии с интенсивностью нагрузки на цилиндрическую стальную стенку, не превышающую 10 гПа. Во время обработки технологией горячего взрыва один из компонентов шихты (Al) должен находиться в жидким состоянии; анализ поверхности компактированного материала показывает наилучшую связь между фазами карбида кремния и алюминия, не наблюдаются пустоты в виде пор, трещин, вакансий или других структурных дефектов.

КЛЮЧЕВЫЕ СЛОВА: теплоотражающие элементы; керамические композиционные материалы; технология взрывного компактирования; электронный модуль.

**CHAGELISHVILI E., GODIBADZE B.,
DGEBUADZE A., TUTBERIDZE M.
PRODUCTION OF HEAT-REFLECTING
ELEMENTS BY EXPLOSIVE TECHNOLOGY
FOR POWER ELECTRONICS**

ANNOTATION: In this paper, a two-stage compaction of a composite ceramic powder mixture in a tubular container (in ampoules) with a cylindrical geometry is presented:

a) At the first stage, in order to increase the preliminary density of the product, the initial powder mixture is compacted by explosion at room temperature with a loading intensity of 5-10 GPa; b) At the second stage, the same pre-compacted cylindrical sample is again compacted by hot explosion with loading intensity on the cylindrical steel wall not exceeding 10 GPa. During processing by hot explosion technology, one of the components of the charge (Al) must be in a liquid state; analysis of the surface of the compacted material shows the best bond between the phases of silicon carbide and aluminium, there are no voids in the form of pores, cracks, vacancies or other structural defects.

KEY WORDS: heat-reflecting elements; ceramic composite materials; explosive compaction technology; electronic module.

უაგ 691. 342

**ვაშისტი დ. ლეინავა, აკად. დოდონი ფ. გეგანოვი, ვაშისტი ს. პეტოპავლი,
ვაშისტი ა. ვალეზოლი, პაპალაშვილი დ. პირიაძე,
თემ. გევ. ღოდონი, არიზესონი გ. აპაშიძე**

**პლასტეტომების აგაღლეგულ და გაღრმულ თემპერატურებისა და პალე-
რაზე (ცვადოპაზე) გამოცდების უდიებელობის**

ანოტაცია. სტატიაში წარმოდგენილია პლასტიტონის ამაღლებული (200°C-ზე) და მაღალ (>200°C) ტემპერატურებზე, აგრეთვე ღამი ცეცხლის ზემოქმედებაზე გამოიცინის შედეგები. მოყანილია მონაცემები აღნიშვნელი ფაქტორების უარყოფითი ზეგავლენის შემცირების მაზრით ტეტრაეთოქსინილის (ტეტ) გამოყენების შესახებ. ღამი ცეცხლის ზემოქმედება შესწავლილია საერთაშორისო სტანდარტით UL 94.

საბჭაბო სიტყვები: პლასტიტონი, ამაღლებული და მაღალი ტემპერატურები, ალების (ტეტობის) კატეგორია, ტეტრაეთოქსინილი.

შესავალი

პლასტიტონები გამოიჩინება მთელი რიგი დადებითი, ზოგიერთ შემთხვევაში უნიკალური თვისებით სხვა ტრადიციული მასალებით შედარებით. უპირველეს ყოვლისა, ეს არის მაღალი მექანიკური მახასათებელი გაჭიმვისას და ქიმიური მედეგობა აგრესიული გარემოს მიმართ [1, 2], რაც განაპირობებს მათი გამოყენების პერ-

სექტულობას ზოგადად მშენებლობაში და მიწისქვეშა მშენებლობაში, კერძოდ. მეორე მხრივ, მათ, როგორც პოლიმერული კომპონენტის შემცველ მასალებს, ახასიათებს ისეთი უარყოფითი თვისება, როგორიცაა შედარებით დაბალი მედეგობა ამაღლებული და მაღალი ტემპერატურების მიმართ. ამ თვისების შესწავლის აუცილებლობაზე დიდი ხნის წინ გამახვილდა კურადღება (Schmitt C. R. Thermal degradation characteristics of various polymeric materials. J. Fire and Flammability, V 3, # 5, 1972; B. A. Воробьев и др. Горючесть полимерных строительных материалов. Стройиздат, Москва, 1978; B. B. Патуров. Полимербетоны. Стройиздат, Москва, 1987), მაგრამ დღემდე არ არის ღრმად შესწავლილი. თუმცა ბოლო დროს გამოჩნდა პუბლიკაციები, რომელიც შექება პლასტიტონის ქვევას ამაღლებული და მაღალი ტემპერატურების მიმართ [3-6]. რაც შექება პლასტიტონის მედეგობას ღია ცეცხლის მიმართ, იგი დღეისათვის აღიარებული სტანდარტის მიხედვით თითქმის შეუსწავლელია.

უნდა ითქვას, რომ მასალაზე ღია ცეცხლის ზემოქმედების შესწავლის შედეგად ფორმირდება მისი სახან-

პლასტბეტონის სიმკვრივე 2 გრ/სმ² ფარგლებშია. მისი მოდიფიცირება ტეოს-ით იწვევს სიმკვრივის უმნიშვნელოდ შემცირებას. არამოდიფიცირებული პლასტბეტონის სიმკვრივე 80 °C...160 °C-ზე მცირდება უმნიშვნელოდ, 350 °C-

ზე გახურება იწვევს სიმკვრივის 6 %-ით შემცირებას. ტეოს-ით მოდიფიცირებულ პლასტბეტონზე 80 °C...160 °C-ით ზემოქმედება, აგრეთვე 350 °C-ზე ათწუთანი გახურება სიმკვრივეს პრაქტიკულად არ ცვლის.

ცხრილი 1

პლასტბეტონის სიმტკიცე კუმშვისას, მეტა

მასალა	20 °C *	350 °C	500 °C
არამოდიფიცირებული	143.6 (139.5; 157.0)**	134.1 (127.0; 138.2)	აალება, წვა
ტეოს-ით მოდიფიცირებული	135.3 (127.5; 138.5)	153.4 (148.0; 157.5)	იგივე

შენიშვნა: * მოყვანილია შედარებისთვის; ** აქ და შემდგომში (მოყვანილია მინიმალური და მაქსიმალური მნიშვნელობები); 350 °C-ზე მოდიფიცირებული პლასტბეტონი, არამოდიფიცირებულისაგან განსხვავებით, არ დაბზარულა.

ცხრილში 1 მოყვანილია 350 °C და 500 °C-ზე ზემოქმედების შემდეგ პლასტბეტონის სიმტკიცის მნიშვნელობები კუმშვისას.

მასალის პოლიმერული კომპონენტის მოდიფიცირება იწვევს სისალის შემცირებას 20 %-ით. ტემპერატურის მატებასთან ერთად არამოდიფიცირებული და მოდიფიცირებული პლასტბეტონის სისალეებით თანაბრძება და შეადგენს დაახლოებით 30HV (ცხრილი 2.)

ცხრილი 2

პლასტბეტონის სისალე სხვადასხვა ტემპერატურაზე, HV

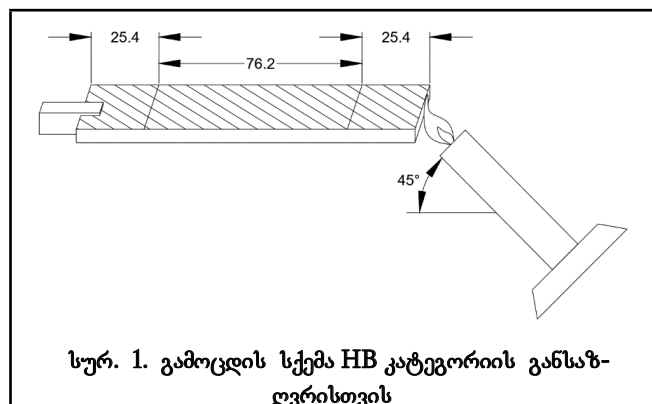
მასალა	ტემპერატურა, °C			
	20	80	160	350
არამოდიფიცირებული	22.0 (20.6; 24.1)	20.7 (18.8; 22.7)	30.3 (26.4; 36.1)	32.1 (28.7; 34.9)
ტეოს-ით მოდიფიცირებული	17,5 (15.5; 19.5)	22,7 (17.9; 24.1)	28,6 (24.6; 32.9)	30,1 (28.4; 33.7)

მოდიფიცირებული პლასტბეტონის სიმტკიცე კუმშვისას ოთახის ტემპერატურაზე 6 %-ით ნაკლებია არამოდიფიცირებულ პლასტბეტონის სიმტკიცესთან შედარებით. ეს სხვაობა შენარჩუნებულია 80 °C და 160 °C ტემპერატურების ზემოქმედების შედეგადაც, თუმცა აღნიშნება სიმტკიცების შესამჩნევი მატება 350 °C ტემპერატურის ხანძოები (ათწუთანი) ზემოქმედების შედეგად. ტეოს-ით მოდიფიცირებული პლასტბეტონის სიმტკიცე 14 %-ით აჭარბებს არამოდიფიცირებული პლასტბეტონის სიმტკიცეს (ცხრ. 1). ამასთან ერთად, ამ ტემპერატურაზე ტეოს-ით

მოდიფიცირებული პლასტბეტონი არამოდიფიცირებულისაგან განსხვავებით, არ იბზარულა.

ქვემოთ წარმოდგენილია პლასტბეტონის გამოცდების შედეგები იმ პირის გარეშე, რომლებსაც ითვალისწინებს UL 94 სტანდარტის თითოეული კატეგორია:

კატეგორია HB. ჰორიზონტალურ მდგომარეობაში მყოფი დაახლოებით 3 მმ-ის სისქის ნიმუშის (სურ. 1, 2) წვის სიჩქარემ შეადგინა 15 მმ/წთ. ამ პარამეტრით პლასტბეტონი შეიძლება მივაკუთვნოთ HB კატეგორიას.

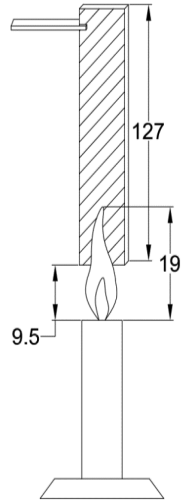


სურ. 1. გამოცდის სქემა HB კატეგორიის განსაზღვრისთვის



სურ. 2. ნიმუშის გამოცდის პროცესი

კატეგორიები V-0, V-1, V-2. ვერტიკალურად დამ- 4). ასეთი ქცევის მიხედვით პოლიმერბეჭონი არ შეიძლე-
აგრებული ნიმუშის (სურ. 3) წვა არ წყდება არც 10 წმ, ბა მივაკუთვნოთ ზემოთ ჩამოთვლილ კატეგორიებს.
არც 30 წმ-ის შემდეგ. წვეთები წვისას არ ჩნდება (სურ.

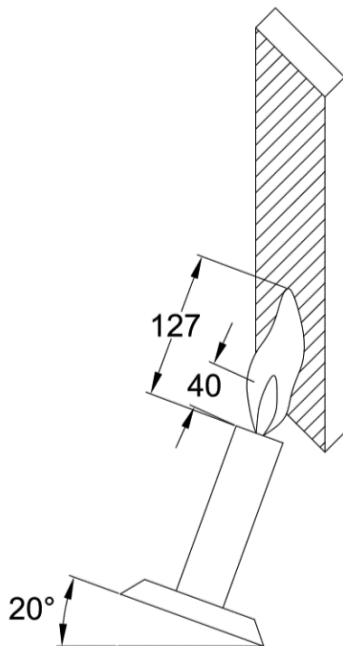


სურ. 3. გამოცდის სქემა V-0, V-1, V-2 კატეგორიის
განსაზღვრისთვის



სურ. 4. ნიმუშის გამოცდის პროცესი V-0, V-1, V-2 კა-
ტეგორიის დადგენისას

კატეგორია 5V. ექსპლიდენტები ჩატარდა ორ ეტაპად. პირველ ეტაპზე გამოიცადა ვერტიკალურად ჩამაგრებული ნიმუში. სქემა და პროცესი მოცემულია სურათზე 5, 6. ღია ცეცხლის სუთვერ ხუთწამიანი ზემოქმედების შედეგად გაირკვა, რომ მასალის აალება არ ხდება, ადგილი არ აქვს არც აალებას და არც ფუჟვას.

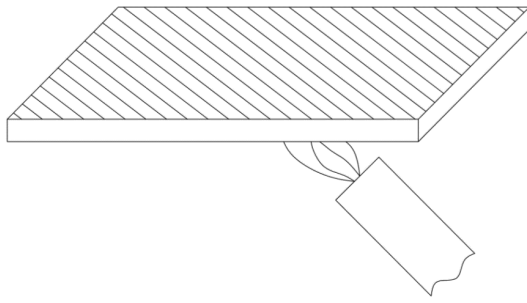


სურ. 5. გამოცდის სქემა 5V კატეგორიის
განსაზღვრისთვის



სურ. 6. გამოცდის პროცესი 5V კატეგორიის
დადგენისას

მეორე ეტაპზე გამოიცადა იმავე სისქის განიერი ფილა. გამოცდის სქემა და პროცესი მოცემულია სურათზე 7, 8. ამ ექსპლიმენტების შედეგად დავადგინეთ, რომ ნიმუშების გამჭოლი ამოწვა ნახვრეტების გაჩენით არ ხდება მათზე ცეცხლის ხუთჯერ ზუთწამიანი ზემოქმედების შედეგად.



სურ. 7. გამოცდის სქემა 5V კატეგორიის განსაზღვრისთვის



სურ. 8. გამოცდის პროცესი 5V კატეგორიის დადგენისას

დასკვნა

1. პოლიესტერული ფისის ტეტრაეთოქსისის მოდიფიცირებისას პოლიმერის ძირითადი მახასიათებელი ბმების გაწყვეტა არ ხდება. საკარაულოდ, მოდიფიცირის შედეგად რეაქცია მიღის პოლიმერის სტრუქტურაში არსებულ არომატულ ბირთვში. გარკვეული ქიმიური გარდაქმნის პროცესის მიმდინარეობა დასტურდება თხელფენვანი ქრომატოგრაფიით.
2. ამაღლებული ტემპერატურები (80 °C...160 °C) უარყოფითად არ მოქმედებს როგორც არმოდიფიცირებულ, ისე მოდიფიცირებულ პოლიესტერული ფისის საფუძველზე დამზადებულ პლასტეტონზე. პირიქით, ხდება სისალისა და სიმტკიცის მატება. ტეტრაეთო-

ქსისილანის უფექტურობა ვლინდება მაღალ ტემპერატურაზე (350°C). ამ ტემპერატურაზე მოდიფიცირებული პლასტეტონი, არამოდიფიცირებულისაგან განსხვავებით, არ იძარება და სიმტკიცის ზრდასაც კი აჩვენებს (14 %-ით). 400°C -დან იწყება პლასტეტონის ინტენსიური თერმიული დაშლა და 500°C ტემპერატურის ზემოქმედების შედეგად ხდება მისი აალება და სიმტკიცის სრული დაკარგვა.

3. აალების (წვალის) მახასიათებლის მიხედვით, UL 94 სტანდარტის თანახმად, შემთავაზებული პლასტეტონი მიეკუთვნება HB კატეგორიას, აგრეთვე 5V კატეგორიის 5VA ქვეატეგორიას.

ლიტერატურა

1. N. Chikhradze, G. Abashidze, D. Tsverava, S. Kvinikadze. Study of the behavior of polymer concrete to shock loading, The Eleventh Japanese-Mediterranean Workshop on Applied Electromagnetic Engineering for Magnetic, Superconducting, Multifunctional and Nanomaterials (JAPMED'11), Batumi, 2019.
2. N. Chikhradze, Fernand Marquis, G. Abashidze, D. Tsverava. Production of Corrosion-Resistant Polymer Concrete Reinforced with Various Fibers, IOP Conference Series: Earth and Environmental Science, Volume 362, World Multidisciplinary Earth Sciences Symposium (WMESS 2019), Prague, Czech Republic, 2019.
3. O. Elalauri, E. Ghorbel, V. Mignot and M. B. Ouezdou. "Mechanical and physical properties of epoxy polymer concrete after exposure to temperatures up to 250°C .

"Construction and Building Materials", vol.27, no. 1, pp. 415-424, 2012.

4. K. S. Rebeiz - Time-temperature Properties of polymers concrete using recycled PET. "Cement and Concrete Composite", vol. 17, no. 2, pp. 119-124, 1995.
5. M. C. S. Ribeiro, P.R.Novoa, A. J. M. Ferreira, and A. T. Marques. Flexural performance of polyester and epoxy polymer mortars under severe thermal conditions, Cement and Concrete Composites, vol. 26, no. 7, pp. 803-809, 2004.
6. A. C. Manalo, E. Wani, N. A. Zukarnain, W. Karunasena, and K. T. Lau. Effects of alkali treatment and elevated temperature on the mechanical properties of bamboo fibre - polyester composites, Composites Part B: Engineering, vol. 80, pp. 73-83, 2018.

TSVERAVA D., BEZHANOVI F., KVINIKADZE S.,
VANISHVILI A., KIRTHADZE L., ABASHIDZE G.
**TEST RESULTS OF POLYMER CONCRETE
AT ELEVATED AND HIGH TEMPERATURES
AND ON INFLAMMATION
(FLAMMABILITY)**

ANNOTATION. The article presents the test results of polymer concrete at elevated (up to 200°C) and high (>200°C) temperatures, and also on the effect of open flame. Data on the use of tetraethoxysilane (TEOS) to reduce the negative influence of these factors are presented. Effect of open flame has been studied in accordance with international standards UL 94.

KEY WORDS: polymer concrete, elevated and high temperatures, inflammation (flammability) category, tetraethoxysilane.

ЦВЕРАВА Д.Т., БЕЖАНОВ Ф.Х.,
КВИНИКАДЗЕ С.М., ВАНИШВИЛИ А.Л.,
КИРТАДЗЕ Л.Б., АБАШИДЗЕ Г.С.
**РЕЗУЛЬТАТЫ ИСПЫТАНИЙ ПЛАСТБЕТО-
НОВ ПРИ ПОВЫШЕННЫХ И ВЫСОКИХ
ТЕМПЕРАТУРАХ И НА ВОСПЛАМЕНЕНИЕ
(ГОРЮЧЕСТЬ)**

АННОТАЦИЯ. В статье представлены результаты испытаний пластбетона при повышенных (до 200 °C) и высоких (>200 °C) температурах, а также на воздействие открытого огня. Приведены данные об использовании тетраэтоксисилана (ТЭОС) для уменьшения негативного влияния этих факторов. Воздействие открытого огня было изучено в соответствии с международными стандартами UL 94.

КЛЮЧЕВЫЕ СЛОВА: пластбетон, повышенная и высокая температуры, категория воспламенения (горючести), тетраэтоксисилан.

**აკად. დოკტორი ლ. ლელუავალიძი, ინზინერის დოკტორი
თ. რიგიშვილი, გ. ლელუავალიძი, ს. სოლიაძე
მისამართისა დიპლომის პრესტიულციის კათოდერი დაცვის კონფერენ-
ციული აღმდეგი დამატებითი ანგარიში**

უაკ 620.193.01

ანუტაცია: სტატიაში წარმოდგენილია მიწისქვეშა
ლითონის კონსტრუქციების და ნაგებობების ელექტრო-
ქარისტიკა კოროზიასაგან კათოდური დაცვის კონდენსა-
ტორული ანგარიში დამტიწებლის მოწყობილობა, რო-
მელიც შეიცავს ცვლადი დენის წყაროს, გამართველს,
შესრულებულს შემხვედრ-არალელურად შეერთებული
დოლებისა და რეზისტორების სახით, კოქსის დანაკარში
მოთავსებული ლითონის ფირფიტისაგან შემდგარ ანგარიშ
დამტიწებელს, რომელიც შესრულებულია კონდენსატორის
სახით. კონდენსატორის ერთ შემონავენს წარმოდგენს
კოქსის დანაკარი, ხოლო მეორეს-დალუექტრიკით და-
ფარული ლითონის ფირფიტა. ფირფიტა მოერთებულია
ცვლადი დენის წყაროს ერთ-ერთ გამომყვანთან, მეორე
გამომყვანი კი შემხვედრ-არალელურად მოერთებული და-
ოლებისა და რეზისტორების გავლით, მოერთებულია მილ-
სადენთან. მოწყობილობაში ანოდსა და კოქსის დანაკარს
შერის გადის წანაცვლების(ინდუქციის) დენი, რომლითაც
არ შეიძლება წარმოიქმნას კლუტერლიზი.

საბაზარო სიტყვები: ელექტროკიმიური კოროზია;
კოქსის დანაკარი; დენი; კონდენსატორი; დაილექტრიკი;
დოლი; რეზისტორი; ლითონის ფირფიტა; კათოდი.

მსოფლიოში მრეწველობისა და ტრანსპორტის სწრაფ-
მა განვითრებამ გამოიწვა მიწისქვეშა კომუნიკაციებისა
და ნაგებობების შემნებლობის მეცენობი ზრდა, როგორიცაა
გაზიარებები, ნავთობსადენები, წყალსადენები, კაბელები და
სხვა. მრეწველობის ყველა სფეროს რიტმული მუშაობა
მეტწილად დამიკიდებულია მიწისქვეშა კომუნიკაციები-
ს და ნაგებობების სამძლოობაზე. მათი შეფერხებულად

მუშაობის ერთ-ერთ ძირითად მიზეზს წარმოადგენს ელე-
ქტროქიმიური კოროზია. სწორედ ელექტროქიმიური კო-
როზის შედეგად ასეული მილიონობით ზარალი ადგება
ქვენის მრეწველობას, მათ შორის მიწისქვეშა მაგისტრა-
ლურ ნავთობ და გაზადებებს. ენერგო-უსაფრთხოების
დაკამაყოფილების თვალსაზრისით ძალზედ მნიშვნელოვანი
და პერსპექტიულია მიწისქვეშა ლითონის კომუნიკაციები-
ს კოროზიულ დაზიანებებთან დაკავშირებული უფერტური
ფუნქციონირების უზრუნველყოფა, რისკებისა და საფრთხე-
ების შედეგების შეფასების ანალიზი. ქვეყნის მომავა-
ლი განვითარებისათვის ერთ-ერთი აუცილებელი პირობაა
მიწისქვეშა ლითონის კომუნიკაციების ელექტროქიმიური
კოროზიასაგან გამოწვეული დაზიანებების მინიმუმდე
დაყვნა, რაც შესაძლებელია განხორციელებული იქნას ახ-
ალი თანამდეროვე და ეფექტური დაცვის მოწყობილობები-
ს დანერგვით, კერძოდ, დაცვის ახალი სისტემების შე-
ქმნა და მათი გაუმჯობესებული თვისებების კომპლექსი
მეტად პერსპექტიული და მითხვნადა. ბოლო წლებში
ჩატარებული მნიშვნელოვანი კალევების საფუძველზე და
მათი სამეცნიერო და ტექნიკური პოტენციალიდან
გამომდინარე მიწისქვეშა კომუნიკაციების ელექტროქიმი-
ური კოროზიასაგან დაცვამ განსაკუთრებული ყურადღება
მიექცია, რადგან მსოფლიოში ნაწარმი ლითონის 20 %-ს
ანადგურებს კოროზია.

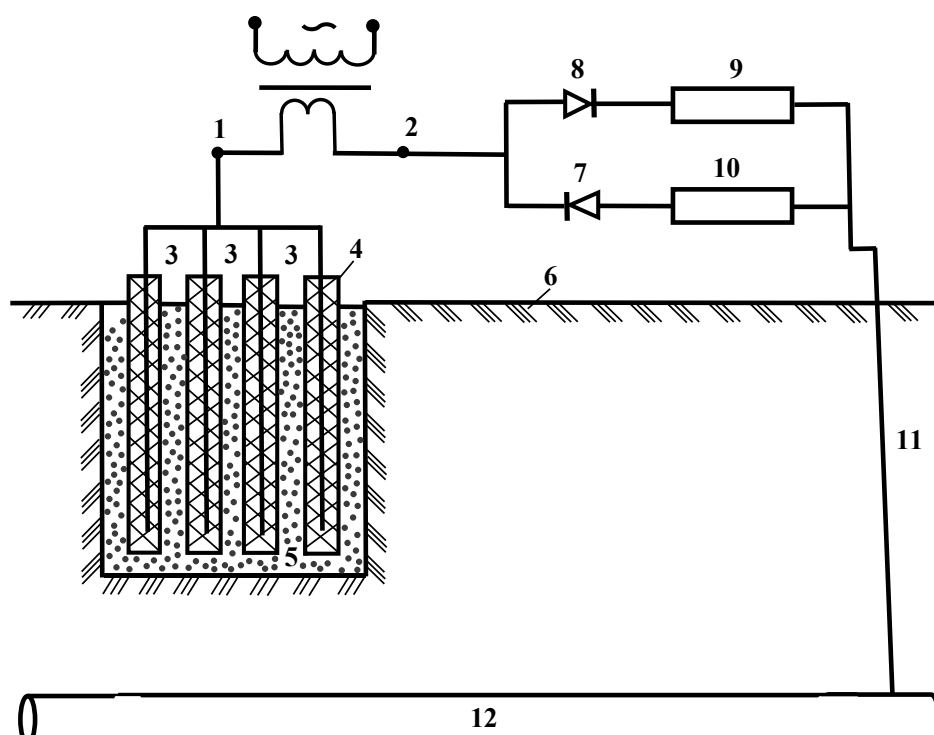
ჩვენს მიერ შესრულებული მიმოხილვის საფუძვ-
ელზე დადგენილია, რომ ელექტროქიმიური კოროზიის
პროცესთანაა დაკავშირებული მიწაში მოთავსებული ლი-
თონისა და მასზე გარშემოტყოფულ ნადაგში ელექტრუ-
ლი მუხტების გადაადგილება. პროცესს თან სდევს ელე-
ქტრული დენის გავლა, რის შედეგადაც წარმოიშვება რეა-

ქციის ორი მიმართულება მინუსი-კათოდური და პლიუ-სი-ანოდური. მიწისქვეშ არსებული (ჩვენ შემთხვევაში) ლითონის მიღსადენი ნიადაგთან იძყოფება ელექტრულ კონტაქტში. ნიადაგში წარმოიქმნება ელექტრო გამტარი გარემო-ელექტროლიტი, რომლის მეშვეობითაც მიღსადენის ზედაპირზე თვითნებურად წარმოიქმნება გარკვეული ელექტროქიმიური პოტენციალი-კათოდური და ანოდური უბნები [1]. არსებულ ელექტროქიმიური კოროზიისაგან დაცვის სისტემაში ლითონის მიღზე ერთდება მუდმივი დენის წყაროს უარყოფითი პოლუსი, ხოლო დადგითი პოლუსი-ანოდურ დამმიწებელზე, რის შედეგადც მიღსადენის პოტენციალი გადაინახავს უარყოფით შხარეს. ამ პროცესს ეწოდება კათოდური პოლარიზაცია. კათოდური პოლარიზაციის შედეგად მიწისქვეშა მიღსადენი გადაიქცევა-კათოდდად, ხოლო ანოდური დამმიწებელი-ანოდად [2]. ელექტროქიმიური კოროზიის დროს ეს უკანასკნელი თანდათან იშლება და გამოდის მწყობრიდან, რაც იწვევს მოული დაცვის სისტემის მოშლას. დაცვის სიტემაში ანოდური დამმიწებელი წარმოადგენს ყველაზე საჭირო და აუცილებელ ელექტრო ელექტრო მუშაობაზეა დამოკიდებული მთელი დაცვის სისტემის წარმატებული მუშაობა. ამიტომ დღეისათვის ელექტროქიმიური კოროზიისაგან დაცვის აღიარებული პრინციპებმა ანოდური დამმიწებლის დამლა ელექტროლიზის შედეგად.

სტატიაში შემოთავაზებული პერსპექტიული და არატრადიციული მიღვომის სიახლე მიწისქვეშა ლითონის კომუნიკაციების ელექტროქიმიური კოროზიისაგან დაცვისა მდგომარეობს იმაში, რომ ელექტროქიმიური კორ-

ზისაგან დაცვა ხორციელდება ანოდური კონდენსატორის მოწყობილობით. ეს უკანასკნელი შეიცავს ცვლადი დენის წყაროს ორი გამომყვანით. ერთი გამომყვანი დაკავშირებულია მეტალურ ფირფიტისათვის, რომელიც დაფარულია დიალექტრიკით და წარმოადგენს კონდენსატორული ანოდური დამმიწებლის ერთ შემონაფენს, ხოლო ანოდური დამმიწებლის მეორე შემონაფენს წარმოადგენს კოქსის ფხნილი, რომელიც დაკავშირებულია ნიადაგთან. მეორე გამომყვანი დაკავშირებულია მიწისქვეშა ლითონის მიღის კათოდურ გამომყვანთან ურთიერთ შემხვედრ-პარალელურად შეერთებული დიოდებისა და წინაღმდეგობების გავლით. რიღესაც დენის წყაროს პირველ გამომყვანს აქვს დადებითი ნიშანი იხსნება ერთი დიოდი ხოლო მეორე იკეტება. ამ შემთხვევაში დაალექტრიკიზე ძაბვა მოდებული იქნება კოქსის ფხნილის მხრიდან და მეტალურ ფირფიტის მხრიდან. ამის შედეგად წრედში გაივლის განვლადობის დენი, ხოლო დაალექტრიკიზე შენაცვლების დენი (ინდუქციის დენი). ანალოგიურ მოვლენას ექნება ადგილი ძაბვის მეორე ნახევარ პერიოდში. მიწისქვეშა ლითონის მიღის დამცავი პოტენციალის სიდიდე დამოკიდებულია წინაღმდეგობების სიდიდეების ურთიერთ შეფარდებაზე. მათი ურთიერთ შეფარდების შეცვლით შესაძლებელი იქნება მიწისქვეშა ლითონის მიღსადენზე დაცვისათვის საჭირო უარყოფითი პოტენციალის დამყარება [3].

ჩვენ მიერ დამუშავებული კათოდური დაცვის კონდენსატორული ანოდური დამმიწებლის მოწყობილობის სქემა წარმოდგენილია ნახ. 1.



12

ნახ. 1. კათოდური დაცვის კონდენსატორული ანოდური დამმიწებელი. 1 -ტრანსფორმატორის გამომყვანი, რომელიც დაკავშირებულია მეტალურ ფირფიტისთვის; 2 - ტრანსფორმატორის გამომყვანი, რომელიც ურთიერთ-პარალელურად ჩატარებულ დიოდებისა და რეზისტორების გავლით დაკავშირებულია მიწისქვეშ ლითონის მიღის კათოდურ გამომყვანთან; 3 - მეტალური ფირფიტი; 4 - დაალექტრიკი; 5 - კოქსის ფხნილი; 6 - ნიადაგი; 7, 8 - დიოდები; 9, 10 - რეზისტორები; 11 - კათოდური გამომყვანი; 12 - ლითონის მიღი

სტატიაში წარმოდგენილი მოწყობილობის უნიკალურობა და უპირატესობა არსებულ ელექტროქიმიური კოროზიისაგან დაცვის სისტემებთან შედარებით გამოიხატება შემდეგში: ელექტროქიმიური კოროზიისაგან დაცვა ხდება მუდმივი დენის ნაცვლად ცვლადი დენით, ხოლო ანოდურ დამმიწებლად გამოიყენება ანოდური კონდენსატორი, რომელიც გადის შენაცვლების დენი (ელექტრო-ინდუქციის დენი), რასაც არ შეუძლია გამოიწვიოს ელექტროლიზი რაც წამოადგენ ანოდური დამმიწებლის დაშლის ძირითად მიზეზს.

ჩვენ მიერ შემთავაზებული დაცვის სისტემის სახლე, სარგებლიანობა და ეფექტურობა დადასტურებულია საავტორო მოწმობით [3], რომელიც გასაიდუმლოებული იყო სახელმწიფოს მიერ.

დასკვნები:

1. მიწისქვეშა ლითონის კომუნიკაციების ელექტროქიმიური კოროზიისაგან დაცვა ხორციელდება არა მუდმივი, არამედ ცვლადი დენით, რომელიც ოცვეულ უფრო ნაკლებგოროზიულია ვიღრე მუდმივი დენი;

2. ელექტროქიმიური კოროზიისაგან დაცვის სისტემაში ანოდურ დამმიწებლად გამოიყენება კონდენსატორული ანოდური დამმიწებლი, რომელიც გადის არა განვლადობის, არამედ შენაცვლების (ინდუქციის) დენი, რის შედეგადაც გამორიცხულია მისი დაშლა ელექტროლიზის შედეგად;

LELUASHVILI L., RIGISHVILI T., LELUASHVILI G., STERYAKOVA S.

CONDENSING ANODIC GROUNDING OF CATHODIC PROTECTION

ANNOTATION: The novelty of perspective and non-traditional approach, presented in the paper, involves the entirely new method for protection of underground metallic structures and plants against electrochemical corrosion which lies in the fact that protection against electrochemical corrosion will be performed by anodic condensing method and by devices necessary for its realization. The latter contains the source of alternating current with two outputs. One output is connected with the metallic plate, which is covered by dielectric and presents one armature if condensing anodic grounding conductor and the second armature of the capacitor presents the coke powder, which is connected with the ground. Second output is connected with cathodic output of underground metal through diodes resistances connected mutually back-to-back parallel. When the first output of current source has positive sign, one diode is opened and second one is closed. In this case, the voltage on the dielectric will be applied from the side of coke powder and from the side of metallic plate. As a result in the circuit the conduction current passes and in the dielectric-intermittent (induction) current.

KEY WORDS: electrochemical corrosion; coke powder; current; condenser; dielectric; diode; resistor; metallic plate; cathode.

3. შემოთავაზებული დაცვის სისტემა მეტად მარტივი, ეფექტური და ორიგინალურია, რაც განაპირობებს მის დიდ კომერციულ პოტენციალს მიწისქვეშა ლითონის კომუნიკაციების (მაგისტრალური სამრეწველო გაზსადენები და ნავთობსადენები, კაბელები, საკომპრესორო და სატუბო სადგურების მილსადენები, გაზისა და ნავთობის ჭაბურღილების გარსაცმი მილები, მიწისქვეშა რეზერვუარები, მიწისქვეშა გაზსაცავი სადგურები, ბენზოგასა-მართი და გაზგასამართი სადგურების მიწისქვეშა რეზერვუარები და სხვა) ელექტროქიმიური კოროზიისაგან დაცვის ახალი სისტემების დამზადებასა და დანერგვაში.

ლიტერატურა

1. Тихомиров Е.Н. Монтаж, наладка и эксплуатация устройств электрохимической защиты. Недра, Ленинград, 1976. 133 с.
2. Волков Б.Г., Тесов Н.И., Шувалов В.В. Справочник по защите подземных металлических сооружений от коррозии. Недра, Ленинград, 1975. 224 с.
3. Херодинашвили И.Ш., Джапаридзе И.С., Лелуашвили Л.В., Хецуриани А.В. Анодный заземлитель для катодной защиты. А.С. 1246642 А1, 1084.

**ЛЕЛУАШВИЛИ Л.В., РИГИШВИЛИ Т.Р.,
ЛЕЛУАШВИЛИ Г.Л., СТЕРЯКОВА С.И.**

КОНДЕНСАТОРНЫЙ АНОДНЫЙ ЗАЗЕМЛИТЕЛЬ ДЛЯ КАТОДНОЙ ЗАЩИТЫ

АННОТАЦИЯ: В статье представлено устройство конденсаторного анодного заземлителя катодной защиты от коррозии подземных металлических сооружений, содержащий источник переменного тока, выпрямитель, выполненный в виде соединенных встречно-параллельных диодов и резисторов. Анодное заземление, состоящее из металлической пластины, помещенной в коксовую засыпку выполненный в виде конденсатора. Одной обкладкой которого является коксовая засыпка, другой - металлическая пластина, покрытая диэлектриком, причем пластина соединена с одним выводом источника переменного тока, а другой его вывод через встречно-параллельные диоды и резисторы подключен к трубопроводу. Между анодом и коксовой засыпкой проходит ток смещения (ток электрической индукции) который не может вызвать электролиз.

КЛЮЧЕВЫЕ СЛОВА: электрохимическая коррозия; коксовая засыпка; ток; конденсатор; диэлектрик; диод; резистор; металлическая пластина; катод.

ზეპ 622.511 : 504.054

პრეზენტაცია თ. ფინანსებისა და მდგრადი განვითარების მინისტრის მიერთებული აკადემიური დოკუმენტი

მთავრის მინისტრის განვითარებისა და მდგრადი განვითარების მინისტრის მიერთებული აკადემიური დოკუმენტი

ანონიმუსი აღნიშნულია, რომ ღია წესით სასამართლო წილის უფლის დამუშავებისას ტექნიკური ური ტრანსპორტის ძირითად სახედ რჩება სავტომობილო ტრანსპორტი, რომელიც გამოიყენება მსოფლიოში მოპოვებული სამთო მასის დაახლოებით 80 %-ის გადასაზიდად (აშშ-ში, კანადაში და სამხრეთ ამერიკაში – 85 %, სამხრეთ აფრიკაში – 90 %-ზე მეტი, ავსტრალიაში – თითქმის 100 %). საკარიერო ავტოტრანსპორტის მუშაობისას გარემოზე უარყოფითი ანთრიალებური ზემოქმედების შერბილების პრობლემის ერთ-ერთ აქტუალურ საკითხს წარმოადგენს მტვრის გაფრენებით გამოწვეული ატმოსფერული პარის დაბინძურების შემცირება. ატმოსფერული პარის დაბინძურების ხარისხზე საკარიერო ავტოტრანსპორტის მუშაობისას მტვრის ემისიის გასასანარიშებლად გამოიყენებული იქნა საქართველოს ნორმატული დოკუმენტი, რომელიც აღვენებ პარის ხარისხის სტანდარტს. მოცემულია საკარიერო ავტოტრანსპორტის მუშაობისას მტვრის ემისიის პარამეტრების საანგარიშო აღვორითობი და საკარიერო ავტოთვითმცლელ სერია Z-7540-ს მუშაობისას გაფრენებული მტვრის ემისიის გაანგარიშების შედეგები.

საბაზისი: კარიერი; ატმოსფერული პარის დაცვა; პარის დაბინძურების წყარო; საკარიერო ავტოტრანსპორტი; მტვრის ემისია; ზღვრულად დასაშვები კონკრეტურაცია; გაანგარიშების აღვორითობი; და საკარიერო ავტოთვითმცლელ სერია Z-7540-ს მუშაობისას გაფრენებული მტვრის ემისიის გაანგარიშების შედეგები.

წარისახების ღია წესით მოპოვებას, ჩვეულებრივ, უკავშირდება და ტერიტორიებზე ტყების გაჩეხა და მცენარეული საფარის განადგურება, ლანდშაფტის ცვლილება, მიწისქეშა, ზედაპირული წყლების და ნიადაგის დაბინძურება, იცვლება სოციალური გარემო [1, 2]. ერთერთ ნეგატიურ გამოვლინებას მოქუთვნება მტვრის ნაწილაკებით ატმოსფეროს დაბინძურება, როგორც კარიერის სამუშაო ზონაში, ისევე სამთო საწარმის მიმღებარე ტერიტორიაზე [3]. პრაქტიკულად შევლა საწარმოო ოპერატორის, რომელიც სრულდება კარიერებზე (ქანების ბურღვა, აფეთქებითი სამუშაოები,

ესკავაცია, სამთო მასის ტრანსპორტირება, დასაწყობება), თან ახლავს მტვერწარმოებნა. ღია წესით საბაზოთა დამუშავების პროცესში წარმოქმნილი მტვერაირის ემისია მნიშვნელოვნად აუკრესებს გარემოს ხარისხს და ნეგატიურ გავლენას ახდენს კარიერზე მომუშავე პერსონალის და მიმღებარე ტერიტორიებზე განლაგებულ დასახლებულ პუნქტების მოსახლეობის ჯანმრთელობაზე [4].

ღია წესით სასარგებლო წარადისეულის დამუშავებისას ტექნიკური ტრანსპორტის ძირითად სახედ რჩება სავტომობილო ტრანსპორტი, რომელიც გამოიყენება მსოფლიოში მოპოვებული სამთო მასის დაახლოებით 80%-ის გადასაზიდად (აშშ-ში, კანადაში და სამხრეთ ამერიკაში – 85 %, სამხრეთ აფრიკაში – 90 %-ზე მეტი, ავსტრალიაში – თითქმის 100 %). საკარიერო ავტოტრანსპორტის მუშაობისას გარემოზე უარყოფითი ანთრიალებური ზემოქმედების შერბილების პრობლემის ერთ-ერთ აქტუალურ საკითხს წარმოადგენს მტვრის გაფრენებით გამოწვეული ატმოსფერული პარის დაბინძურების შემცირება. ატმოსფერული პარის დაბინძურების ხარისხზე საკარიერო ავტოტრანსპორტის მუშაობისას მტვრის ემისიის გასასანარიშებლად გამოიყენებული იქნა საქართველოს ნორმატული დოკუმენტი, რომელიც აღვენებ პარის ხარისხის სტანდარტს. მოცემულია საკარიერო ავტოტრანსპორტის მუშაობისას მტვრის ემისიის პარამეტრების საანგარიშო აღვორითობი და საკარიერო ავტოთვითმცლელ სერია Z-7540-ს მუშაობისას გაფრენებული მტვრის ემისიის გაანგარიშების შედეგები.

საბაზისი:

- კარიერი;
- ატმოსფერული პარის დაცვა;
- პარის დაბინძურების წყარო;
- საკარიერო ავტოტრანსპორტი;
- მტვრის ემისია;
- ზღვრულად დასაშვები კონკრეტურაცია;
- გაანგარიშების აღვორითობი;
- მტვრის ემისიის გაანგარიშების შედეგები.

წარისახების ღია წესით მოპოვებას, ჩვეულებრივ, უკავშირდება და ტერიტორიებზე ტყების გაჩეხა და მცენარეული საფარის განადგურება, ლანდშაფტის ცვლილება, მიწისქეშა, ზედაპირული წყლების და ნიადაგის დაბინძურება, იცვლება სოციალური გარემო [1, 2]. ერთერთ ნეგატიურ გამოვლინებას მოქუთვნება მტვრის ნაწილაკებით ატმოსფეროს დაბინძურება, როგორც კარიერის სამუშაო ზონაში, ისევე სამთო საწარმის მიმღებარე ტერიტორიაზე [3]. პრაქტიკულად შევლა საწარმოო ოპერატორის, რომელიც სრულდება კარიერებზე (ქანების ბურღვა, აფეთქებითი სამუშაოები),

ა



ბ



ნახ. 1. მტვრის ემისია ავტოთვითმცლებების დატვირთვისას (ა) და ტვირთის გადაზიდვისას (ბ)

დია სამთო სამუშაოების ობიექტების ატმოსფეროს შედგენილობის და მისი შეფასებისას გამოდიან მე-დიკობითოლოგიური მოთხოვნებიდან, ითვალისწინებენ მავნე მინარევების კონცენტრაციებს, მათი მოქმედების მიმართულებას, ტროქსიკურობის ხარისხს. ატმოსფერული ჰაერის დაცვის საკითხები რევულინრდება “ატმოსფერული ჰაერის დაცვის შესახებ” საქართველოს კანონით და მისი მოთხოვნებიდან გამომდინარე მიღებული კანონქვემდებარე ნორმატიული აქტებით [7–12]. გარემოსდაცვითი სტანდარტები ადგენენ გარემოს ხარისხობრივი მდგომარეობის მოთხოვნებს და განსაზღვრავენ ჰაერში ადამიანის ჯანმრთელობისათვის და გარემოსათვის სახიფათო ნივთიერებების მაქსიმალურ დასაშვებ კონცენტრაციას. საწარმოს ექსპლოატაციის პროცესში მოსალოდნელია მტვრის ემისია, რომლის მაქსიმალური ერთჯერადი და საშუალო დღეობამური ზღვრულად დასაშვები კონცენ-

ტრაციები (C_m) მოცემულია ცხრილში 1.

კარიერის დაპროექტების ეტაპზე, ატმოსფერული ჰაერის დაბინბურების რაოდნობრივი და ხარისხობრივი ცვლილებების პროგნოზირებისას, უნდა სრულდებოდეს შემდეგი პირობა [8, 11]

$$\frac{C_m}{\text{ზღბ}_m} \leq 1, \quad (1)$$

სადაც C_m არის ატმოსფეროს მიწისპირა ფენაში მავნე ნივთიერებების განგარიშებული კონცენტრაცია დაბინბურების ყველა წყაროების ერთობლიობიდან, მგრ/გ³; ზღბ_m – შესაბამისი მავნე ნივთიერების მაქსიმალური ერთჯერადი ზღვრულად დასაშვები კონცენტრაცია, მგრ/გ³.

ცხრილი 1

ატმოსფერულ ჰაერში მტვრის ზღვრულად დასაშვები კონცენტრაციები [12]

მავნე ნივთიერების დასახელება	კოდი	ატმოსფერულ ჰაერში I-ური მავნე ნივთიერებების ზღპ, მგრ/ გ ³	საშუალო დღე-დამური
		მაქსიმალური ერთ-ჯერადი	
შეწონილი ნაწილაკები-მტვერი	2902	0,5	0,15
მტვერი: 70-20 % SiO ₂	2908	0,3	0,1

ატმოსფერულ ჰაერში ერთდროულად რამდენიმე ჯამური ზემოქმედების მქონე მავნე ნივთიერების არსებობისას უნდა სრულდებოდეს პირობა

$$\frac{C_{m1}}{\text{ზღბ}_{m1}} + \frac{C_{m2}}{\text{ზღბ}_{m2}} + \dots + \frac{C_{mn}}{\text{ზღბ}_{mn}} \leq 1, \quad (2)$$

სადაც C_{m1}, C_{m2}, ..., C_{mn} არის ატმოსფეროს მიწისპირა ფენის ერთსა და იმავე ადგილას მავნე ნივთიერებების განგარიშებული მაქსიმალური კონცენტრაცია დაინბურების ყველა წყაროების ერთობლიობიდან, მგრ/გ³; ზღბ_{m1}, ზღბ_{m2}, ..., ზღბ_{mn} – შესაბამისი მავნე ნივთიერების მაქსიმალური ერთჯერადი ზღვრულად დასაშვები კონცენტრაცია, მგრ/გ³.

როგორც ფუჭი ქანების, ისევე სასარგებლო წიაღისეულის ავტოთვითმცლელებში ჩატერთვა-გადმოტვირთვისას წვრილდისაერთისეული მტვრის ემისის გაანგარიშების პრობლემა მეტად მნიშვნელოვანია ჰაერის ხარისხის გასაუმჯოსებლად კარიერის სამუშაო ზონაში. მტვრის მაქსიმალური რაოდნობა გამოიყოფა ექსკავატორების, შედარებით უფრო ნაკლები, სატვირთველას (იხ. ნახ. 1 ა) მუშაობისას.

მტვრის ჯამური მასა (M_s, ტ/წელ), რომელიც ერთი წლის განმავლობაში გამოიყოფა ერთჩამჩიანი ექსკავატორის მუშაობისას განისაზღვრება ფორმულით

$$M_s = q_s (3,6x\gamma x E x K_s / t_g) T_s x K_1 x K_2 x 10^{-3}, \quad (3)$$

სადაც q_s არის მტვრის კუთრი გამოყოფა 1 ტ

გადატვირთული მასალისაგან, გ/ტ; γ – ქანის ს იმ-კვრივი, ტ/გ³; E – ექსკავატორის ჩამჩის ტევალია, გ³; K_s – ექსკავაციის კოეფიციენტი; t_g – ექსკავატორის ციკლის დრო, წმ; K₁ – ქარის სიჩქარის კოეფიციენტი; K₂ – მასალის ტენიანობის კოეფიციენტი.

ერთჩამჩიანი ექსკავატორით ავტოთვითმცლელის დატვირთვისას მტვრის მაქსიმალური ერთჯერადი ემისა (M_{s,max} გრ/წმ) იანგარიშება ფორმულით

$$M_{s,max}^3 = q_s x 3,6 x \gamma x E x K_s x K_1 x K_2 / (1/3 t_g) \quad (4)$$

ატმოსფერულ ჰაერში მტვრის წლიური ემისა (M_s, ტ/წელ), კარიერზე მომუშავე ყველა ავტოთვითმცლელი-დან იანგარიშება ფორმულით

$$M_s = 2 (q_s x K_5 x L_s + q_b x K_5 x L_b) n_s x N_s x 10^{-3}, \quad (5)$$

სადაც q_s, q_b არის ავტოთვითმცლელის მიერ მტვრის კუთრი გამოყოფა 1 ტ დროებითი და სტაციონარული გზის მონაკვეთზე, შესაბამისად, გ/კმ; K₅ – ავტოთვითმცლელის საშუალო სიჩქარის გამოვალისწინებელი კოეფიციენტი; L_s, L_b – შესაბამისად, დროებითი და სტაციონარული გზის მონაკვეთების სიგრძე, კმ; n_s – ავტოთვითმცლელის რეისების რაოდნობა წელიწადში; N_s – ავტოთვითმცლელის რაოდნობა.

ავტოთვითმცლელის მოძრაობისას მტვრის მაქსიმ-

ალური ერთჯერადი ემისია (M_{\max}^{δ} , გრ/წმ) იანგარიშება ფორმულით

$$M_{\max}^{\delta} = 2(q_{\text{g}} \times K_5 \times L_{\text{g}} + q_{\text{l}} \times K_5 \times L_{\text{l}}) n_{\text{b}} \times N_{\text{d}} / 3,6 , \quad (6)$$

სადაც n_{b} არის ავტოთვითმცლელის რეისების რაოდენობა 1 სთ-ში.

ავტოთვითმცლელის ძარიდან ქარის მიერ ატაცებული მტვრის ჯამური ემისია M_{j}^{δ} , გრ/წმ) იანგარიშება ფორმულით

$$M_{\text{j}}^{\delta} = q_{\text{g}} \times S_{\text{b}} \times N_{\text{d}} \times L_{\text{g}} \times n_{\text{b}} \times K_1 \times K_2 \times 10^{-6} , \quad (7)$$

სადაც q_{g} არის მტვრის კუთრი გამოყოფა 1 მ² ავტოთვითმცლელის ძარაზე დაყრილი სამთო ქანის 1 მ² ზედაპირიდან 1 კმ მანძილზე მისი ტრანსპორტირებისას, გრ/მ²; S_{b} – ავტოთვითმცლელის ძარაზე დაყრილი სამთო ქანების ზედაპირის ფართი, მ²; N_{d} – ავტოთვითმცლელის საშუალო რაოდენობა, რომლების წლის განმავლობაში ეწვეიან სამთო ქანების გადაზიდვას კარიერის ტერიტორიაზე; L_{g} – ტრანსპორტირების მანძილი; n_{b} – რეისების რაოდენობა წელიწადში.

ავტოთვითმცლელის ძარიდან ქარის მიერ ატაცებული მტვრის მაქსიმალური ერთჯერადი ემისია (M_{j}^{δ} , გრ/წმ) იანგარიშება ფორმულით

$$M_{\text{j}}^{\delta} = q_{\text{b}} \times S_{\text{b}} \times N_{\text{d}} \times L_{\text{g}} \times n_{\text{b}} \times K_1 \times K_2 / 3600 . \quad (8)$$

საკარიერო ავტოთვითმცლელის მიერ მტვრის მაქსიმალური ერთჯერადი ჯამური ემისია (G_{\max}^{δ} , გრ/წმ) იანგარიშება ფორმულით

$$G_{\max}^{\delta} = M_{\max}^{\delta} + M_{\text{j}}^{\delta} . \quad (9)$$

მაგალითი. განისაზღვროს საკარიერო ავტოთვითმცლელ ნელა-3-7540 მიერ მტვრის მაქსიმალური ერთჯერადი ჯამური ემისია (G_{\max}^{δ} , გრ/წმ) ფუჭი ქანის (თიხა) ტრანსპორტირებისას შემდეგი საწყისი პირობებისათვის: ავტოთვითმცლელის ტვირთამწეობა – $P_{\text{d}} = 30$ ტ, ძარის ფართი – $S_{\text{d}} = 14$ მ²; ტრანსპორტირების მანძილი სანაყარომდე – $L_{\text{d}} = 2,5$ კმ ($L_{\text{g}} = 0,4$ კმ; $L_{\text{b}} = 2,1$ კმ), ტრანსპორტირების სიჩქარე – $v_{\text{d}} = 15-30$ კმ/სთ, ქარის სიჩქარე $v_{\text{g}} = 7-8$ მ/წმ, რეისების რაოდენობა – $n_{\text{b}} = 4$, $N_{\text{d}} = 1$; ძარაზე დაყრილი გაფხვირებული თიხების სიმკერივე – $\gamma = 1,8$ ტ/მ³, ტენიანობა – $w = 0,5$ %.

ფორმულებში (6) და (8) შემავალი პარამეტრების მნიშვნელობები დაზუსტდა [15, 16] მეთოდიკების მიხედვით: $q_{\text{g}} = 1,59$ კგ/კმ, $q_{\text{b}} = 0,92$ კგ/კმ, $K_{\text{d}} = 1,7$ (გზის დროებით მონაკვეთზე), $K_{\text{g}} = 2,0$ (მოხრეშილ გზაზე), $q_{\text{b}} = 6$ კგ/მ², $S_{\text{b}} = 18$ მ².

$$G_{\max}^{\delta} = 2(1,59 \times 1,7 \times 0,4 + 0,92 \times 3,5 \times 2,1)4 \times 1 / 3,6 + 6 \times 18 \times 2,5 \times 4 \times 2 \times 2 / 3600 = 21,4 \text{ გრ/წმ.}$$

კარიერის ექსპლუატაციის პროცესში ატმოსფერული ჰაერში ავტოთვითმცლელის მუშაობისას მტვრის ემისიების მინიმიზაციის მიზნით მიზანშეწონილია გატარდეს შემდეგი შემარბილებელი ღონისძიებები [7, 9, 11]: პერსონალის ინსტრუქტაჟი სამუშაოების დაწყებამდე და შემდეგ პერიოდულად 6 თვეში ერთხელ; საკარიერო ავტოთვითმცლელის ტექნიკური გამართულობის უზრუნველყოფა; ტრანსპორტის მოძრაობის ოპტიმალური სიჩქარის დაცვა; გაზომვების ჩატარება და სათანადო რეაგირება; მტვრის გამოყოფის ადგილზე გამოყენებული უნდა იქნეს მტვერდებში ან მტვერდამჭერი საშუალებები; იმ შემთხვევაში, როდესაც გამოყენებული საშუალებები ვერ უზრუნველყოფენ კარიერზე ჰაერის დასაშეგ ხარისხს ექსკავატორებისა, საბურლი დაზგების და სხვა მომუშავე მანქანების კაბინებს უნდა გაუკეთდეს იზოლაცია და მიეწოდოს გაწმენდილი პაერი; კარი-

ერის ცუდად განიავებად და ყრუ ზონებში ბუნებრივი ჰაერმიმოცვლის ინტენსივური კონცენტრაციისათვის უნდა მოეწყოს ხელოვნური ვენტილაცია ვენტილატორების ან სხვა საშუალებების დახმარებით. საკარიერო გზებზე მტვრის ჩასხმობად წლის ცივ პერიოდში და მოხრეშილი ზედაპირის ცვეთის შესამცირებლად წლის თბილ პერიოდში გზებს მუშავებრივ კალციუმის ან ნატრიუმის ქლორიდის ხსნარებით. მაქსიმალური ეფექტი მიიღწევა გზის ზედაპირის დამუშავებისას კალციუმის ქლორიდის 30 %-ანი ხსნარით (ხარჯი 1,5-2 ლ/მ²) [17].

წარმოდგენილი შედეგები შეიძლება გათვალისწინებული იქნეს საქართველოს ტერიტორიაზე და სამთო სამუშაოების ობიექტების ატმოსფეროს შემადგენლობის შეფასებისას საკარიერო ავტოთვითმცლელის მტვაობისას მტვრის მოსალოდნელი ემისიის გაანგარიშების ჩატარების დროს.

2. თ. ფირცხალავა, ნ. ბოჭორიშვილი. გარემოს დაცვის შესახებ ბაკურანის ანდეზიტის საბაზოზე. "სამთო უკრნალი", №1(38), თბილისი, 2017. გვ. 226-230.
3. თ. ფირცხალავა. საკარიერო ტექნოლოგიური კომპლექსის მანქანების გამონაბოლქვის მავნე ნივთიერებებით ატმოსფეროს ჰაერის დაბინძურების შესახებ. "სამთო უკრნალი", №1(42), თბილისი, 2019. გვ. 143-149.
4. Иванов А. В. Снижение аэрозольного загрязнения

ლიტერატურა

1. Коваленко В. С. Рациональное использование и охрана природных ресурсов при открытых горных работах. Охрана атмосферы. Электронная книга. «ЛитРес», 2018, 97 с. <https://www.litres.ru/vladimir-kovalenko-1/racionalnoe-ispolzovanie-i-ohrana-prirodnyh-30816145/>

- атмосферного воздуха от производственных объектов ОАО «Ковдорский ГОК». Дис. на соиск. уч. ст. к. т. н. Санкт-Петербург, 2015, 206 с.
5. Мариев П. Л., Кулешов А. А., Егоров А. Н., Зырянов И. В. Карьерный автотранспорт: состояние и перспективы. «Наука», Санкт-Петербург, 2004. 429 с.
 6. Сайкин А. М. Особенности проблемы снижения вредного воздействия автотранспорта на рабочий персонал в карьерах. Отдельный выпуск Горного информационно-аналитического бюллетеня, № 8. «Мир горной книги», Москва, 2008. с. 251-259.
 7. საქართველოს მთავრობის 2013 წლის 31 დეკემბრის დადგენილება №450 “ტექნიკური რეგლამენტი კარიერების უსაფრთხოების შესახებ”. <https://matsne.gov.ge/ka/document/view/2188761>
 8. საქართველოს მთავრობის 2013 წლის 31 დეკემბრის დადგენილება №408 “ტექნიკური რეგლამენტი ატმოსფერულ ჰაერში მავნე ნივთიერებათა ზღვრულად დასაშვები გაფრქვევის ნორმების გაანგარიშების მეთოდიკა”. <http://eiec.gov.ge/თემები/Air/Legislation/Regulation/mtavrobis-dadgenileba-N408.aspx>
 9. საქართველოს მთავრობის 2014 წლის 3 იანვრის დადგენილება №8 “ტექნიკური რეგლამენტი არა-ნელსყერულ ჰაერის დაბინძურების სტაციონარული წყაროების ინვენტარიზაციის მეთოდიკა”. <http://eiec.gov.ge/თემები/Air/Legislation/Regulation/mtavrobis-dadgenileba-N8.aspx>
 10. საქართველოს მთავრობის 2014 წლის 6 იანვრის დადგენილება №42 “ტექნიკური რეგლამენტი ატმოსფერული ჰაერის დაბინძურების სტაციონარული წყაროების ინვენტარიზაციის მეთოდიკა”. <https://matsne.gov.ge/ka/document/view/2189559>
 11. საქართველოს მთავრობის 2013 წლის 31 დეკემბრის დადგენილება №448 “ტექნიკური რეგლამენტი ატმოსფერული ჰაერის მავნე ნივთიერებით დაბინძურების ინდექსის გამოთვლისა და ატმოსფერული ჰაერის დაბინძურების დონეების მიხედვით განსაკუთრებით მაღალი დაბინძურების, დაბინძურებული და დაბინძურების არმქონე კატეგორიის რეგიონებისათვის ატმოსფერული ჰაერის მავნე
- ПИРЦХАЛАВА Т.Г.
РАСЧЕТ ЭМИССИИ ПЫЛИ ПРИ РАБОТЕ
КАРЬЕРНОГО АВТОТРАНСПОРТА**
- АННОТАЦИЯ:** В работе показано, что при открытой разработке месторождений полезных ископаемых основным видом технологического транспорта остается автомобильный, на долю которого приходится около 80 % от перевозок добытой в мире горной массы (в США, Канаде и Южной Америке – 85 %, Южной Африке – более 90 %, в Австралии – почти 100 %). При работе карьерного автотранспорта одним из актуальных вопросов проблемы ослабления отрицательного антропогенного воздействия на природную среду является вопрос уменьшения загрязнения атмосферного воздуха выбросами пыли. Для оценки
- ნივთიერებით დაბინძურების ინდექსების სიღილების შესახებ”. <http://eiec.gov.ge/თემები/Air/Legislation/Regulation/mtavrobis-dadgenileba-N448.aspx>
12. საქართველოს მთავრობის 2013 წლის 31 დეკემბრის დადგენილება №435 “ტექნიკური რეგლამენტი დაბინძურების სტაციონარული წყაროებიდან ატმოსფერულ ჰაერში გაფრქვევის ფაქტობრივი რაოდენობის დამდგრინი სპეციალური გამზომსაკონტროლო აპარატურის სტანდარტული ჩამონათვალისა და დაბინძურების სტაციონარული წყაროებიდან ტექნოლოგიური პროცესების მიხედვით ატმოსფერულ ჰაერში გაფრქვევის ფაქტობრივი რაოდენობის საანგარიშო მეთოდიკის შესახებ”. <http://eiec.gov.ge/Air/Legislation/Regulation/mtavrobis-dadgenileba-N435.aspx>
13. Карьерный самосвал БелАЗ-7540. <http://fb.ru/article/318542/kareerniy-samosval-belaz---tehnicheskie-harakteristiki-osobennosti-i-otzyivyi>
14. Поклад Л. Н., Иванис П. В. Расчет выбросов вредных веществ в окружающую среду при работе карьерных самосвалов. В сборнике научных трудов конференции Белорусского национального технического университета: «Организация дорожного движения и перевозок пассажиров и грузов». «БНТУ», Минск, 2017. с. 268-272.
15. Методика расчета выбросов (сбросов) для комплекса оборудования открытых горных работ (на основе удельных показателей). http://snipov.net/c_4654_snip_59758.html
16. Методика расчета выбросов загрязняющих веществ в атмосферу от предприятий по производству строительных материалов. online.zakon.kz/-Document/?doc_id=30372867
17. Снижение запыленности на карьерных автодорогах. studopedia.su/11_17807_snizheniye-avtodorogah.html

степени воздействия на загрязнение атмосферы выбросов пыли при работе карьерного автотранспорта были использованы нормативные документы Грузии, которые устанавливают стандарт качества воздуха. Приведены расчетный алгоритм и результаты расчета эмиссии пыли от карьерного автомобиля БелАЗ-7540.

КЛЮЧЕВЫЕ СЛОВА: карьеры; загрязнение атмосферного воздуха; карьерный автотранспорт; эмиссия пыли; предельно допустимая концентрация; алгоритм расчета.

PIRTSKHALAVA T.
CALCULATION OF EMISSION OF DUST AT WORK OF CAREER MOTOR TRANSPORT

ABSTRACT. It is shown in this paper that during the opencast development of mineral deposits the main type of technological transport is still automobile transport, which accounts for about 80% of the world's mined rock mass transportation (in the USA, Canada and South America - 85%, South Africa - more than 90%, in Australia - almost 100%). One of the topical issues in the operation of quarry vehicles is the issue of reducing the negative anthropogenic

impact on the environment, which is the reduction of air pollution by dust emissions. In order to assess the degree of impact of dust emissions from quarry vehicles on the atmosphere, Georgian regulations were used, which set the standard for air quality. The calculation algorithm and results of calculation of dust emission from the open-pit car BelAZ-7540 are given.

KEY WORDS: career; air pollution; career vehicles; dust emission; maximum permissible concentration; calculation algorithm.

აკადემიკოსი ლ. პატარიძე, აკად. დოქტორი თ. გოგევაზოლი,
 აკად. დოქტორი გ. ლოსარაშვილი, ს. დევათიაშვილი
თეორეტული მიზანის კონსეკვენციული ეფექტური ფარების მდგრადი განვითარების გარეული მიზანის შეზღუდვის არსებული მეთოდები.

უკა 504. 519.6

ანოტაცია. განვითარების უცხოელი და საბჭოთა მეცნიერების სამეცნიერო სტატიები და მონოგრაფიები. გაანალიზებულია მეწყრული მოვლენების წარმომშობი მაზეზები, მეწყერის სახეები და მათი მდგრადობის შეფასების არსებული მეთოდები. ნაჩვევნებია, რომ მოუხედავად იმისა თუ მდგრადობის გაანვარიშების რომელ მეთოდის ავირჩევთ, მდგრადობის კოეფიციენტების სილიტები კონკრეტული მეწყრულის პირობებისათვის ცის განვითარება კონსტანტური განვითარებისაგან და სამგარიშო სქემებში სარგებლობებს ურთიერთ მსგავსი გამამარტივებული დაშვებებით.

არსებული მეთოდების საილუსტრაციოდ შერჩეულია კონკრეტული ავტომობის მეთოდები და კონკრეტული სამოლეკულოვიური პირობებისათვის გამოთვლილია მდგრადობის კოეფიციენტები. იგივე პირობებისათვის ჩატარებულია გამოთვლები ჩვენს მატერალური მიზნისამდებრი რიცხვთ-ანალიზური მეთოდით, პროგრამა Phase2-ის და Excel-ის გამოყენებით. მიღებულია ძაბვების კომპინენტების და მდგრადობის კოეფიციენტების შემცველობები, რომელიც თავისუფალია ნერგებული გამამარტივებული დაშვებებისაგან.

აღნიშნული მეთოდი გამოიყენებულ იქნა წყნეთი-სამაღლის 2015 წლის

მეწყრული მოვლენების შემდეგ დარჩენილი ბლოკების მდგრადობის საკითხის შესასწავლად.

სატენარი სიტყვები: ბლოკერი მეწყერი; კონსეკურული მეწყერი; მეწყრის მდგრადობა; რიცხვთ-ანალიზური მეთოდი.

მთავრიანი რელიეფის ტერიტორიები საერთოდ და კერძოდ, საქართველოს მრავალი რეგიონი ხასიათდება მეწყერსაშიშროების მაღალი ზარისხით, სადაც არც თუ იშვიათია სხვადასხვა ტიპის და სიღრიდის მეწყრული მოვლენა ადამიანთა მსხვერპლით და დიდი მატერიალური ზარალით. გეოლოგიური სამსახურების მიერ შედეგისა მეწყერსაშიშროების ასახველი სხვადასხვა სახის (ძირითადად წარილმასტაბიანი) რუქები. დამუშავებულია მეწყერსაშიში ფერდოების მდგრადობის

რაოდენობრივი შეფასების მეთოდები, ნორმატიული დოკუმენტები და რეკომენდაციები. დაგროვილია დიდი მოცულობის სპეციალური ლიტერატურა, თეორიული ცოდნა და პრაქტიკული გამოცდილება, ამ მიმართულებით.

მეწყრული პროცესი არის მოვლენა, რომელიც ვთარიღება მთის ფერდოს (ქანობის) მიერ მდგრადობის დაკარგვის შედეგად და წარმოადგენს ქანების მასივის გრავიტაციული და სეისმური ძალებით გამოწვეულ გადაღვილებას სხვა უძრავი ქანების მიმართ. გადაღვილებულ ტანს უწოდებენ მეწყრულ ტანს, ხოლო ზედაპირს, რომელზეც ხდება გადაღვილება - სრიალის ზედაპირს [1].

ძირითად იბიჯეტებს, რომელთა დაშლა ხდება მეწყრული მოვლენების შედეგად წარმოადგენს ფერდობი და ქანობები. ფერდობი (ფერდო) სამეცნიერო ლიტერატურულში განმარტებულია როგორც ლითოს-ფერის დახრილი ზედაპირი, რომელიც ჩამოყალიბდა რელიეფის წარმომქმნელი პროცესების ზემოქმედებით. ხოლო ქანობი წარმოადგენს ბუნებრივად ან ხელოვნურად შექმნილ ზედაპირს, რომელიც შემოსაზღვრავს სხვადასხვა შედეგისათვების ყრილებს (გზის ყრილი, დამბა, მიწის კაშხალი და ა.შ.) [2].

მეტეოროლოგიური, სეისმური, გეოტექნიკური სამუშაოების და სხვა არაკონტროლირებადი ზემოქმედების შედეგად გრუნტების მასივი, შემოსაზღვრული ფერდოთი, შეიძლება წონასწორობის მდგომარეობიდან გამოვიდეს, რაც შეიძლება გახდეს მეწყრული პროცესის განვითარების მიზანი. ამდენად, ფერდოს (ქანობის) ერთ-ერთ გეოლიტების მასასით ბლოკები მისი მდგრადობა, რომელშიც იგულისხმება ფერდოს უნარი შეინარჩუნოს პროფილი ხანგრძლივი დროის განმავლობაში.

ფერდობების და ქანობების მდგრადობის ხარისხი განისაზღვრება მის ყველა წერტილში მოქმედი ურთიერთსაწინააღმდევო ძალების თანაფარდობით. ძალების ერთი ჯეუფი ცდილობს ქანების მასების დაძვრა-გადაღვილებას გრავიტაციის კანონის შესაბამისად, მეორე ჯეუფი კი ფერდობის წონასწორობის მდგომარეობაში აკავებს. ფერდობების მდგრადობა ირლევება:

ა) აქტიური (მძროელი) ძალების გაზრდით;

ანალიზი - ANALYSIS

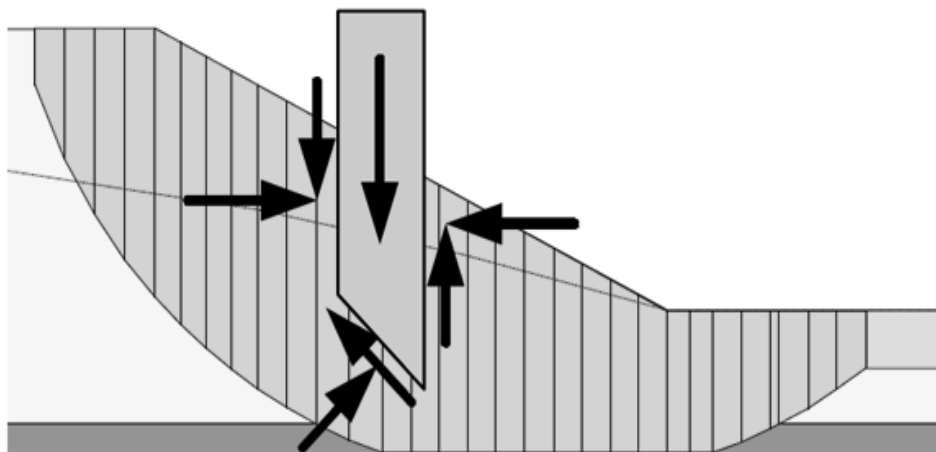
გოლდშტეინის, გ. ტერ-სტეფანიანის, ე. ემელიანოვას და სხვათა შრომები.

- **მეოთხე პერიოდი** იწყება გასული საუკუნის 70-იანი წლებიდან და გრძელება დღესაც. იგი ხსიათდება კომპიუტერული ტექნოლოგიების და პროგრამირების მეთოდების სწრაფი განვითარებით, რამაც შესაძლებელი გახდა ფერდოს მდგრადობის გაანგარიშებაში ახალი მიღებობების ჩამოყალიბება. 1970 წელს დ. ფრედლუნდმა შეიმუშავა ზღვრული წინასწორობის მეთოდი [10] და შეადგინა მისი კომპიუტერზე რეალიზაციის პროგრამა.

მეწყრული ტანის მდგრადობის ამოცანის ამოხსნის მეთოდები შეიძლება გაიყოს ორ ძირითად ნაწილად:

— ზღვრული წინასწორობის მეთოდი (GLE) და
— მხების ძაბების შემცირების მეთოდი (SSRM).

ზემოთაღნიშნული პერიოდებიდან პირველი სამი მიეძღვნა ზღვრული წინასწორობის მეთოდების განვითარებას, ხოლო მეოთხე პერიოდი - მხები ძაბების შემცირების მეთოდის განვითარებას.



ნახ. 1. მეწყრული ტანის დაყოფა ბლოკებად და ბლოკზე მოქმედი ძალები

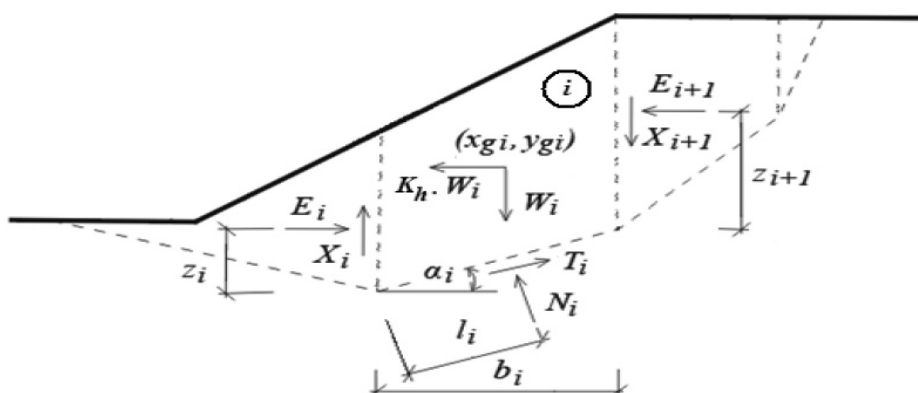
ზღვრული წინასწორობის მეთოდები სხვადასხვაგვარია, მაგრამ მათი საერთო ნიშანი არის ის, რომ შევლა ავტორი (გარდა ტეილორისა) იყენებს მეწყრული ტანის დაყოფას ვერტიკალურ ბლოკებად (ნახ. 1). გარკვეული ნიშნის მიხედვით და ცალკეული ბლოკის

მდგრადობის კოეფიციენტის განსაზღვრას სტატიის (1) განტოლებების გამოყენებით. გრუნტი განისილება, როგორც სრულიად არადეფორმირებადი ტანი და მისი ძვრისადმი სიმტკიცე თანაბარია სრიალის ზედაპირის გასწვრივ ყველა წერტილში.

$$\sum_{i=1}^n F_{ix} = 0; \quad \sum_{i=1}^n F_{iy} = 0; \quad \sum_{i=1}^n M_{io} = 0 \quad (1)$$

იმ ფაქტის საილუსტრაციოდ თუ რა და რამდენი უცნობი არის განსასაზღვრავი და რა განტოლებებია მათ საბოვნელად მკვლევარის განკარგულებაში განვიხილეთ სარმას მეთოდი [11]. სადაც E_i , X_i - ბლოკთაშორის მოქმედი ნორმალური და მხები ძალები, N_i , T_i - სრიალის

ზედაპირზე მოქმედი ნორმალური და მხები ძალები, W_i , - ბლოკის წინა, ხოლო K_h , W_i - პორიზონტალური ძალაა, რომელსაც სარმა იყენებს ზღვრული წინასწორობის მისაღწევად.



ნახ. 2. სტატიკური სქემა: სარმას მეთოდი

ანალიზ - ANALYSIS

ზღვრული წონასწორობის გასაანგარიშებლად საჭი- ში), შემდეგი უცნობის (იხ. ნახ. 2) $E_i, N_i, T_i, X_i, z_i, l_i$ რო 6n (სადაც n ბლოკების რაოდენობაა მეწყრულ ტან- პოვნა შემდეგი განტოლებებიდან:

ა) პირიზონტალური ძალვების წონასწორობის პირობა

$$T_i \cos \alpha_i - N_i \sin \alpha_i = -F x_i + E_{i+1} - E_i$$

ბ) ვერტიკალური ძალვების წონასწორობის პირობა

$$N_i \cos \alpha_i - T_i \sin \alpha_i = W_i - F y_i + X_{i+1} - X_i$$

გ) მომენტთა წონასწორობის პირობა

$$N_i l_i - X_{i+1} b_i \sec \alpha_i \cos \alpha_i + E_{i+1} z_{i+1} - E_i z_i - W_i (x_{g_i} - x_i) - F x_i r x_i + F y_i r y_i = 0$$

დ) კულონ-მორის განტოლებები

$$T_i = N_i \tan \varphi_i + c_i b_i \sec \alpha_i$$

$$X_i = E_i \tan \varphi_i + c_i b_i$$

ცხრილი 1

სასრულო ელემენტების მეთოდის გამოყენებით გამოთვლილი მაცვის
კომპონენტების და მდგრადობის კოეფიციენტების მნიშვნელობები

	X _x ქპა	Y _y ქპა	X _y ქპა	θ°	N ქპა	T ქპა	C ქპა	φ°	N*tan +c	K
1	44	60	33	16	62.9	32.6	10.30	26.53	42	
2	35	64	28	16	51.6	31.3	10.30	26.53	36	
3	32	69	24	16	48.0	30.3	10.30	26.53	34	
4	32	74	22	16	46.3	29.7	10.30	26.53	33	
5	31	79	20	16	45.3	29.3	10.30	26.53	33	
6	31	84	18	16	44.5	28.8	10.30	26.53	33	
7	31	87	16	45	74.5	27.9	10.30	26.53	47	
8	28	82	13	45	68.3	27.0	10.30	26.53	44	
9	26	77	11	45	62.2	25.7	10.30	26.53	41	
10	23	71	9	45	56.3	23.9	10.30	26.53	38	
11	21	65	7	45	50.4	21.9	10.30	26.53	35	
12	20	62	6	45	47.0	20.8	10.30	26.53	34	
13	22	69	5	-8	21.8	-1.1	10.30	26.53	21	
14	24	75	5	-8	24.0	-2.0	10.30	26.53	22	
15	26	82	5	-8	26.1	-2.7	10.30	26.53	23	
16	28	88	5	-8	28.0	-3.5	10.30	26.53	24	
17	28	88	4	-8	28.0	-4.0	10.30	26.53	24	
18	27	85	4	23	38.2	23.4	10.30	26.53	29	
19	25	81	3	23	35.9	22.2	10.30	26.53	28	
20	24	77	2	23	33.5	21.0	10.30	26.53	27	
21	22	73	2	23	31.0	19.5	10.30	26.53	26	
22	21	69	1	23	28.5	17.9	10.30	26.53	25	
23	19	64	0	23	26.0	16.2	10.30	26.53	23	
24	17	56	0	23	23.0	14.0	10.30	26.53	22	
25	14	45	-1	48	30.8	15.5	10.30	26.53	26	
26	11	34	-1	48	23.2	11.3	10.30	26.53	22	
27	8	22	0	48	15.7	7.2	10.30	26.53	18	
28	5	11	0	48	8.1	3.2	10.30	26.53	14	
					Σ	487.2		Σ	827	
									K_s	1.70

მაშვალამე, ექსი უცნობის საპოვნელად გვაქვს ხუთი განტოლებისგან შემდგარი სისტემა. ამდენად, განტოლებათა სისტემა ამოხსნადი რომ გახდეს, საჭიროა რომელიმეს გამორიცხვა ზემოთ ჩამოთვლილი უცნობებიდან. სარმამ ასეთად ბლოკთაშორის მოქმედი პორიზონტალური ძალვების მოდების წერტილი აირჩია და ისინი ბლოკებს შორის საზღვრის შუაში მოსდო, როთაც მან Z_i უცნობები უგულებელყო და ამით გამოწვეული უზუსტობის ხარჯზე სისტემა გახდა ამოხსნადი. ანალოგიურ დაშვებებს თავი ვერ დააღწიეს სხვა ავტორებმაც (ანბუ, ბიშოპი და სხვა), რომ გამოც მათ თავიანთ მეთოდებს გამარტივებული (simplified) უწოდეს.

ჩვენს მიერ “შეხები ძაბვების შემცირების პრინციპზე”

დაყრდნობით, რაც ითვლება ანალ ერთ მეწყერების ანალიზის თეორიაში [12], ქანების ძირითადი მასივის და დაცურების მიმართ საშიშ ტანში მოქმედი ძაბვის კომპონენტების გაანგარიშება ქანების მასივის გეომეტრიკური მასასითებლების კონკრეტული მნიშვნელობისათვის და სრიალის ზედაპირის წინასწარმოცემული კონფიგურაციისათვის ჩატარდა ფირმა „Rockscience“-ის სასრულო ელემენტების (FEM) პროგრამა „Phase2“-ის და „Excel“-ის გამოყენებით.

ძაბვის კომპონენტების მიღებული სიდიდეებისთვის და (2) ფორმულების მიხედვით გამოთვლილი იქნა ანალიზურად. მთავრი ნორმალური და მხები ძაბვების მნიშვნელობები მოცემულია ცხრილში 1.

$$\left. \begin{aligned} N &= \frac{X_x + Y_y}{2} + \frac{X_x - Y_y}{2} \cos 2\varphi + X_y \sin 2\varphi \\ T &= -\frac{X_x - Y_y}{2} \sin 2\varphi + X_y \cos 2\varphi \end{aligned} \right\} \quad (2)$$

ცხრილი 2

მდგრადობის კოეფიციენტის სიდიდე შეჭიდულობის კოეფიციენტის და შინაგანი ზაზუნის კუთხის სხვადასხვა მნიშვნელობისათვის

№	c კპა	φ გრად	K					
			ფელენიუსი	ბიშოფი	იანბუ	მორგენშტერნ-პრაისი	შახუნიანცი	Phase2
1	50	28	4.44	3.31	3.80	4.40	3.61	4.10
2	30	28	3.20	2.70	2.75	3.20	2.78	2.90
3	20	28	2.60	2.21	2.10	2.60	2.37	2.33
4	15	28	2.30	1.92	1.96	2.30	2.16	2.04
5	12	28	2.13	1.77	1.80	2.13	2.03	1.87
6	6	28	1.77	1.52	1.52	1.77	1.78	1.52
8	5	28	1.71	1.48	1.48	1.71	1.74	1.46
9	5	17	1.11	0.98	0.95	1.11	1.54	0.96

მდგრადობის კოეფიციენტი გამოთვლილია შემდეგი ფორმულით

$$K_s = \frac{\Sigma (Ntg \varphi + c)}{\Sigma T}$$

ფერდობის მდგრადობის გაანგარიშების მეთოდების ანალიზის საფუძველზე, მდგრადობის კოეფიციენტის გამოთვლის საილუსტრაციოდ შერჩეულ იქნა ფელენიუსის, ბიშოფის და იანბუს გამარტივებული და მორგენშტერნ-

პრაისის და შახუნიანცის მეთოდები. ქანების მასივის იგივე გეომეტრიკური მახასიათებლებისათვის გამოთვლები განხორციელდა MS Excel პროგრამის გამოყენებით.

გამოთვლების შედეგები მოცემულია ცხრილში 2.

ლიტერატურა

1. Ломтадзе В.Д. Инженерная геология и инженерная геодинамика. Москва, Недра, 1977. 479 с.
2. Емельянова Е.П. Основные закономерности оползневых процессов. Недра, Москва, 1972. 310 с.
3. Ptterson, K.E. The Early History of Circular Sliding Surfaces. Géotechnique, Vol. 5, 1955. pp. 275-296.
4. Janbu N. Application of composite slip surface for stability analysis. In: Proceedings of the European Conference on Stability of Earth Slopes. Stockholm, Sweden. Balkema, Rotterdam, 1954. pp. 43-49
5. Bishop A.W. The use of the slip circle in the stability analysis of slopes. Géotechnique. №5, Great Britain, Vol. 5, No. 1, 1955. pp. 7-17.
6. Morgenstern N. R. and Price V.E. The analysis of the

JAPARIDZE L., GOBEJISHVILI T., LOSABERIDZE M., DEMETRASHVILI S.
COMPARATIVE ANALYSIS OF EXISTING METHODS FOR CALCULATING CONSEQUENTIAL LANDSLIDE BODIES OF BLOCK TYPE

ABSTRACT. Scientific articles and monographs of foreign and Soviet scientists are considered. The causes of landslide phenomena, types of landslides and existing methods for assessing their stability are analyzed. It is shown that no matter what method of calculating stability we choose, the value of the stability coefficients for a certain landslide is slightly different from each other, and the calculation schemes have similar simplifying assumptions.

In order to illustrate the existing methods, the methods of specific authors were selected and the stability coefficients are calculated for specific mining and geological conditions. The calculations were carried out using the original numerical-analytical method developed by us using the computer programs Phase2 and Excel, the values of the Stress components and stability coefficients for similar mining and geological conditions were obtained.

This method has been successfully used to study the issue of the stability of blocks remaining after the 2015 Tskneti-Samadlo landslide.

KEY WORDS: block landslide; consequences of landslides; landslide stability; numerical-analytical method.

7. Spencer E. A method of analysis of the stability of embankments assuming parallel inter-slice forces. Geotechnique, Vol. 17, 1967. pp. 11-26.
8. Шахунянц Г.М. О методике проектирования мероприятий по стабилизации земляного полотна. Техника железных дорог, 1944. 12 с.
9. Fredlund D.G., and Krahn J. Comparison of slope stability methods of analysis. Canadian Geotechnical Journal. №14 (3), 1977. pp. 429-439.
10. Sarma S.K. Stability Analysis of Embankments and Slopes. Géotechnique, Vol. 23(3), 1973. pp. 423-433.
11. Rocscience. A New Era in Slope Stability Analysis: Shear Strength Reduction Finite Element Technique. Strengthreduction.pdf. 2004.

**ДЖАПАРИДЗЕ Л.А, ГОБЕДЖИШВИЛИ Т.Г.,
 ЛОСАБЕРИДЗЕ М.В., ДЕМЕТРАШВИЛИ С.А.
 СРАВНИТЕЛЬНЫЙ АНАЛИЗ
 СУЩЕСТВУЮЩИХ МЕТОДОВ РАСЧЕТА
 КОНСЕКВЕНТНЫХ ОПОЛЗНЕВЫХ ТЕЛ
 БЛОЧНОГО ТИПА**

АННОТАЦИЯ. Рассмотрены научные статьи и монографии зарубежных и советских ученых. Анализируются причины возникновения оползневых явлений, типы оползней и существующие методы оценки их устойчивости. Показано, что какой бы метод расчета устойчивости мы ни выбрали, величина коэффициентов устойчивости для определенного оползня незначительно отличается друг от друга, а схемы расчета имеют аналогичные упрощающие допущения.

С целью иллюстраций существующих методов, выбраны методы конкретных авторов и коэффициенты устойчивости рассчитаны для конкретных горно-геологических условий. Проведены расчеты с помощью разработанным нами оригинальным численно-аналитическим методом с использованием компьютерных программ Phase2 и Excel получены значения компонентов напряжения и коэффициентов устойчивости для аналогичных горно-геологических условий.

Данный метод успешно был использован с целью изучения вопроса устойчивости блоков, оставшихся после оползня Цкнети-Самадло 2015 года.

КЛЮЧЕВЫЕ СЛОВА: оползень блочного типа; консеквентный оползень; устойчивость оползня; численно-аналитический метод.

АКАДЕМИЧЕСКИЙ ДОКТОР ШАПАКИДЗЕ Е.В., АКАДЕМИЧЕСКИЙ ДОКТОР СХВИТАРИДЗЕ Р.Е., АКАДЕМИЧЕСКИЙ ДОКТОР КАМУШАДЗЕ И.Г., АКАДЕМИЧЕСКИЙ ДОКТОР ГАБУНИЯ Л.В., АКАДЕМИЧЕСКИЙ ДОКТОР ГЕДЖАДЗЕ И.В., МАГИСТР ЧЕИШВИЛИ О.Ю.,
МАГИСТР ПЕТРИАШВИЛИ Т.Т.

РАЗРАБОТКА РЕЖИМА ТЕРМИЧЕСКОГО МОДИФИЦИРОВАНИЯ ГЛИНИСТЫХ ПОРОД С ЦЕЛЬЮ ИХ ПУЦЦОЛНОВОЙ АКТИВАЦИИ

АННОТАЦИЯ. Статья посвящена исследованию возможности разработки режима термического модифицирования глинистых пород Грузии для получения высокоактивных пущцолановых добавок для цемента. С этой целью были изучены местные глинистые сланцы, аргиллиты и легкоплавкие глины методами химического, рентгенофазового, ДТА и т. д. Была установлена оптимальная температура и режим термообработки для каждой породы. Модифицированные добавки были испытаны на механическую прочность в композиции с цементом.

Установлено, что термически модифицированные глинистые породы при определенном режиме термообработки могут быть применены в качестве высокоактивной пущцолановой добавки в портландцемент. Применение этих добавок до 35 % даст возможность сократить долю клинкера в составе портландцемента без снижения механической прочности, а при добавлении около 6% модифицированных глинистых пород наблюдается значительное повышение механической прочности цемента.

КЛЮЧЕВЫЕ СЛОВА: термическое модифицирование; пущцолановая добавка; глинистые породы.

Работа выполнена при поддержке Национального научного фонда Грузии им. Шота Руставели (SRNSFG) [грант № AR-18-343].

Уже много десятилетий, как цемент и бетон являются основными строительными материалами и спрос на них безуклонно растет. Это связано, как с устройством бытовых условий (строительство жилищных, административных, торговых, развлекательных, медицинских учреждений). А также, с изменениями окружающей среды, таких как глобальное потепление планеты, масштабные наводнения, ураганы, землетрясения и др. стихийные бедствия, не говоря о локальных войнах, которые сопряжены с большим потоком беженцев и их обеспечением жилыми помещениями. Растищий спрос на цемент влечет за собой рост его дефицита.

Все перечисленные выше факторы не чужды для Грузии, поэтому большое значение для цементного производства страны имеет расширение собственной сырьевой базы, а особенно минеральных добавок, дефицит которых, наблюдается уже давно.

После распада Советского Союза, начиная с 1991 г., из-за появления таможенных пошлин на ввоз материалов и подорожания транспортных перевозок,

создался дефицит традиционных материалов, применяемых в качестве минеральной добавки в цементной промышленности Грузии. Производители цемента были вынуждены искать в самой Грузии альтернативные нетрадиционные материалы для их применения в производстве [1].

Известно, что производство цемента связано с большими затратами топливно-энергетических ресурсов. Поэтому, применение минеральных (пущцолановых) добавок в портландцемент является одним из эффективных решений этих проблем. Замена части клинкера минеральной добавкой способствует более рациональному потреблению природных ресурсов, а также снижает затраты на производство продукции, при сохранении высокой гидравлической активности цемента.

Вследствие ограниченного распространения природных добавок-пущцоланов представляет практический интерес возможность использования местного сырья, проявляющего гидравлические свойства и разработка способов повышения его активности.

В последние годы большой популярностью в мире пользуется метакаолин в качестве эффективной пущцолановой добавки к цементу [2]. Добавка метакаолина позволяет повысить плотность, водонепроницаемость и прочность цемента, тем самым дает возможность снизить расход клинкера – энергоемкого и дорогого продукта цементной промышленности. Получают метакаолин термообработкой каолиновых глин, месторождения которых строго ограничены. Поэтому ведутся разработки по исследованию возможности получения метакаолина из обычных полиминеральных глин и глинистых сланцев, что намного бы удешевило и сделало бы доступным получение этого материала [3, 4].

Из-за отсутствия местных природных пущцоланов расширение сырьевой базы минеральных добавок может быть достигнуто за счет термической модификации обычных глин и других глинистых материалов, обожженных при различных температурах, применение которых практикуется с давних пор [5 - 10].

С этой целью нами были изучены глинистые породы, широко распространенные в Грузии, такие, как глинистые сланцы, аргиллиты и легкоплавкие глины.

Качество пущцолановой добавки определяется его способностью связывать гидрат окиси кальция, образовавшийся вследствие гидратации цементных мине-

ралов в трудно растворимые гидросиликаты кальция, твердение и набор прочности которых определяют качество цементного камня.

Для исследования были использованы следующие глинистые породы: глинистые сланцы с берегов реки Дуруджи (южный склон Кавказского хребта), аргиллиты из Телети (близ г. Тбилиси) и три вида легкоплавких глин из Метехи, Мириани и Гардабани (все из Картлинского региона).

Минеральный состав глин определялся с помощью поляризационного микроскопа Optika B-383POL (Италия).

Для термогравиметрического анализа использовал-

ся дериватограф фирмы NETZSCH с анализатором STA-2500 REGULUS thermogravimetric and differential thermal analyzer (TG/DTA). Образцы нагревались до 1000 °C, в керамическом тигле, скорость нагрева 10 град/мин. Эталонное вещество а-Al₂O₃.

Рентгенофазовый анализ проводился на дифрактометре Дрон-4.0, НПП «Буревестник», с медным анодом и никелевым фильтром. У (напряжение kV)-35kV. I(ток mA)- 20mA. Скорость съемки -2 градуса/мин. λ = 1,54178 Å.

Для определения пущолановой активности модифицированных добавок применяли стандартный метод по GOST R 56593.

Таблица 1

Химический состав глинистых пород, масс. %

№	ппп	SiO ₂	TiO ₂	Al ₂ O ₃	Fe ₂ O ₃	FeO	Mn ₂ O ₃	CaO	MgO	SO ₃	Na ₂ O	K ₂ O
1	4.50	59.95	0.89	17.30	3.45	3.65	0.59	1.53	2.43	0.30	2.20	2.20
2	7.01	47.19	-	15.90	13.36	-	0.10	6.30	4.10	1.39	2.86	1.30
3	13.70	49.35	0.24	11.20	4.55	-	0.24	13.55	2.28	0.55	1.13	1.73
4	15.16	46.71	0.42	13.20	4.19	-	0.10	15.5	1.40	0.73	1.34	1.05
5	10.60	52.84	-	15.07	6.47	-	-	7.06	2.49	1.36	1.19	2.17

В таблице 1 приведены химические составы исследуемых материалов.

№1 – Сланец; №2 – Аргиллит; №3 – Глина (Метехи); №4 – Глина (Мириани); №5 - Глина (Гардабани).

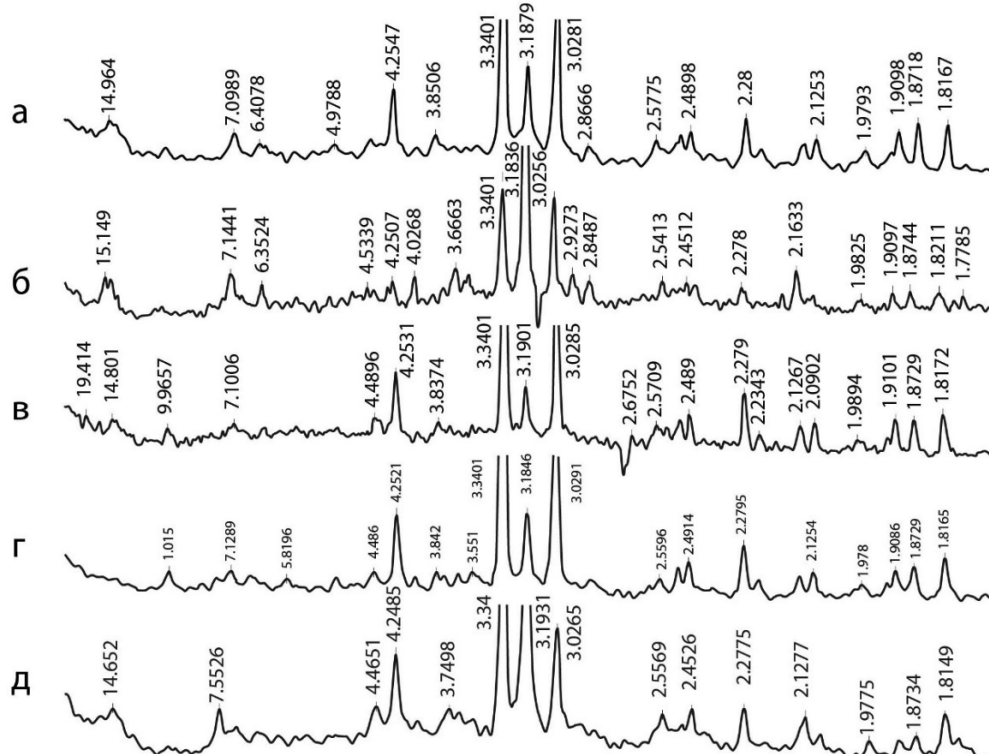


Рис. 1. Рентгенограммы глинистых пород: а – сланец, б – аргиллит, в – глина (Метехи), г – глина (Мириани), д - глина (Гардабани)

На рис.1 представлены рентгенограммы исследуемых глин где фиксируются наличие глинистых минералов ($14.66 - 14.96, 7.14, 4.25, 3.66, 2.86, 2.327 \text{ \AA}$); кварца (3.34 \AA); полевых шпатов (3.87 \AA), карбоната (3.03 \AA).

Для определения температуры термической модификации глинистой породы, т. е. интервала температур, в котором последний переходит в активную – реакционноспособную модификацию, проводился термогравиметрический анализ глин. Кривые DTG показаны на рис. 2.

По данным дифференциального-термического анализа (рис.2) эндоэффект при $100 - 150 \text{ }^{\circ}\text{C}$ присутствует на всех кривых ДТА, который соответствует удалению физически связанной воды. В интервале температур

$650-850 \text{ }^{\circ}\text{C}$ наблюдается эндоэффект, что очевидно связано с разрушением кристаллической решетки глинистых минералов и их переход в активную аморфную форму (метакаолин). Пик этого эндоэффекта при сравнительно низкой температуре ($718 \text{ }^{\circ}\text{C}$) наблюдается у Гардабанской глины, что говорит о высокой склонности этой породы к температурной активации – модифицированию.

Для определения температурных изменений минерального состава Гардабанская глина прокалывалась в лабораторной муфельной печи при температурах $550, 600, 700$ и $800 \text{ }^{\circ}\text{C}$, с выдержкой 1 час при максимальной температуре. Прокаленные образцы подвергались рентгенофазовому анализу (рис. 3).

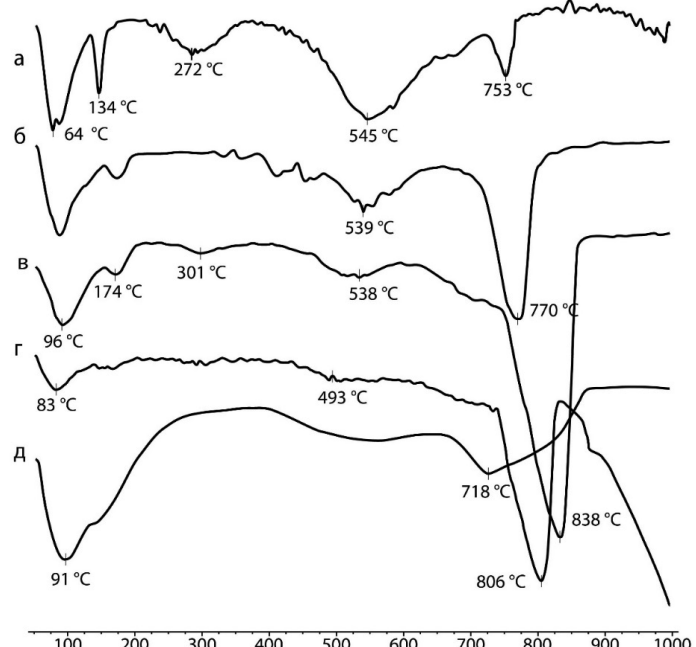


Рис. 2. Кривые DTG глинистых пород: а – сланец, б – аргиллит, в – глина (Метехи), г – глина (Миринани), д – глина (Гардабани)

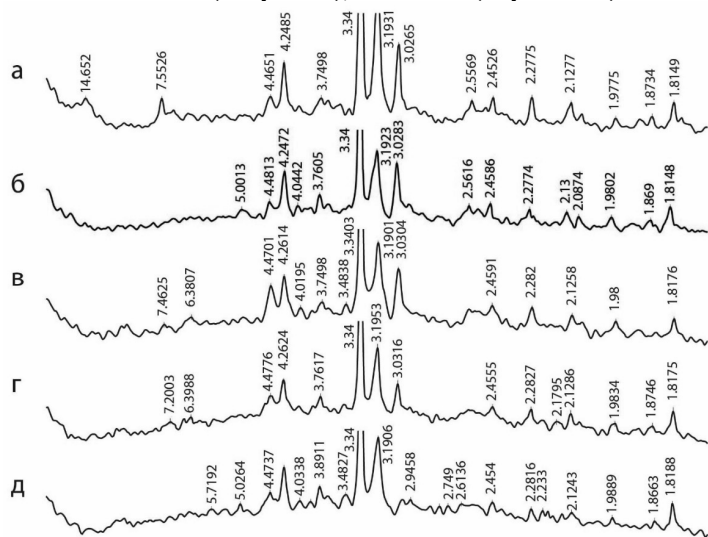


Рис. 3. Рентгенограммы Гардабанской глины: а – исходная (необожженная), б – обожженная при $550 \text{ }^{\circ}\text{C}$, в – обожженная при $600 \text{ }^{\circ}\text{C}$, г – обожженная при $700 \text{ }^{\circ}\text{C}$, д – обожженная при $800 \text{ }^{\circ}\text{C}$

На рентгенограммах (см. рис. 3) отчетливо просматриваются фазовые изменения материала с повышением температуры обжига. На дифрактограмме а (необожженная глина) присутствует глинистый минерал хлорит ($14.66, 7.55, 4.46, 3.74 \text{ \AA}^0$). С повышением температуры обжига (б, в, г, д) количество хлорита уменьшается и появляется рентгеноаморфная фаза (в виде выпуклости).

Очевидно, что при температурной обработке глинистых пород от 550°C начинается частичное разложение глинистой составляющей и появляются окислы SiO_2 , Al_2O_3 и Fe_2O_3 в рентгеноаморфной - активной форме, т.е. обожженная глина приобретает пущолановые свойства (способность связывать гидроокись кальция при твердении цементного камня в труднорастворимые гидросиликаты кальция). С повышением температуры

до 800°C глина полностью разрушается и количество активной фазы растет, поэтому улучшаются и пущолановые свойства обожженных глинистых пород.

Пущолановая активность термообработанных добавок определялась методом поглощения извести из известкового раствора по ГОСТ Р 56592-2015 (Mineral admixtures for concretes and mortars. General specifications). По результатам проведенных испытаний (см. рис. 4) установлено, что все исследуемые добавки имеют разную пущолановую активность в зависимости от температуры термообработки. По требованиям стандарта добавка обладает высокими пущоланическими свойствами, если количество поглощенного CaO из насыщенного раствора более 70 мг/г, средними – от 30 до 70 мг/г и низкими – до 30 мг/г.

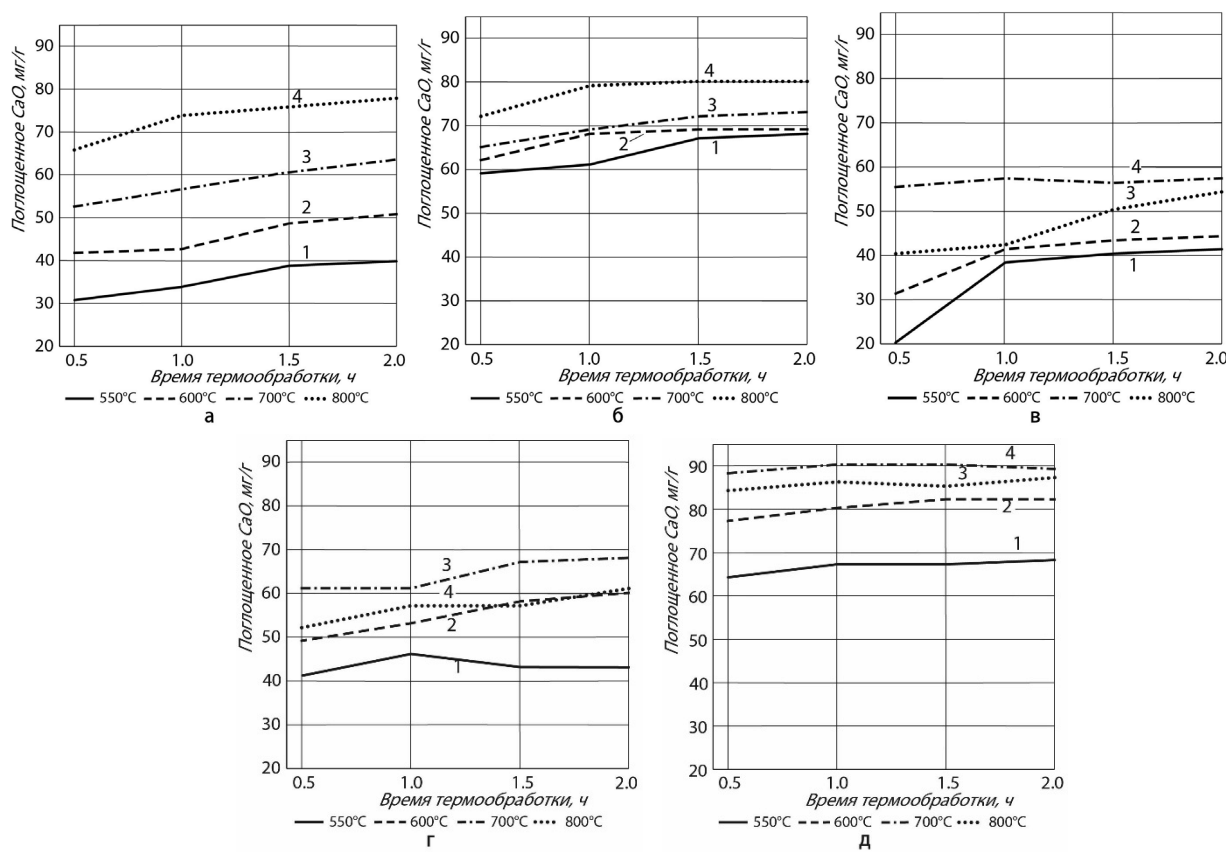


Рис. 4. Кинетика поглощения CaO термообработанными глинистыми породами из насыщенного раствора: а – глинистый сланец, б – аргиллит, в – глина (Метехи), г – глина (Мириани), д – глина (Гардабани)

Гардабанская глина, термообработанная при разных температурах показала лучшую скорость поглощения CaO из известкового раствора на всех этапах проведения испытания.

Реакционная способность по отношению к извести термообработанных глинистых пород объясняется прежде всего тем, что при $600\text{--}800^{\circ}\text{C}$ основной компонент глин — инертный каолинит $\text{Al}_2\text{O}_3 \cdot 2\text{SiO}_2 \cdot 2\text{H}_2\text{O}$ обезвоживается и переходит в активный каолинитовый ангидрид — метакаолин ($\text{Al}_2\text{O}_3 \cdot 2\text{SiO}_2$), аморфизирован-

ный в результате удаления гидратной воды. В цементных композициях добавка метакаолина способствует образованию новых гидратных фаз. Активный кремнезем реагирует с известью, образуя гидросиликаты кальция, при этом активный глинозем образует стабильные гидроалюминаты и гидрогранаты. В результате реакции ионов Ca^{2+} и Al^{3+} с аморфным кремнеземом метакаолина образуются новые соединения, в том числе, прочный минерал стратлингит C_2ASH_8 [11].

Механические испытания гидравлической актив-

ности цементов проводились в малых образцах (размером 2x2x2 см) из цементного теста нормальной густоты.

Цементы готовились с добавкой модифицированных глинистых пород с разной температурой термообработки и разным количеством добавок. Постоянным параметром для всех испытуемых цементов оставили время термообработки – 1 час. Для сравнения был при-

готовлен контрольный состав – без добавки (см. рис. 5).

Самые высокие значения по прочности показали цементы с добавкой 10% и 20% глины (Гардабани) и 20% аргиллита модифицированных при 700 °C. С повышением температуры до 800 °C прочность цементов немного снижается. Хотя, в случае с глинистым сланцем, прочность цементов растет с повышением температуры термообработки от 700 °C до 800 °C.

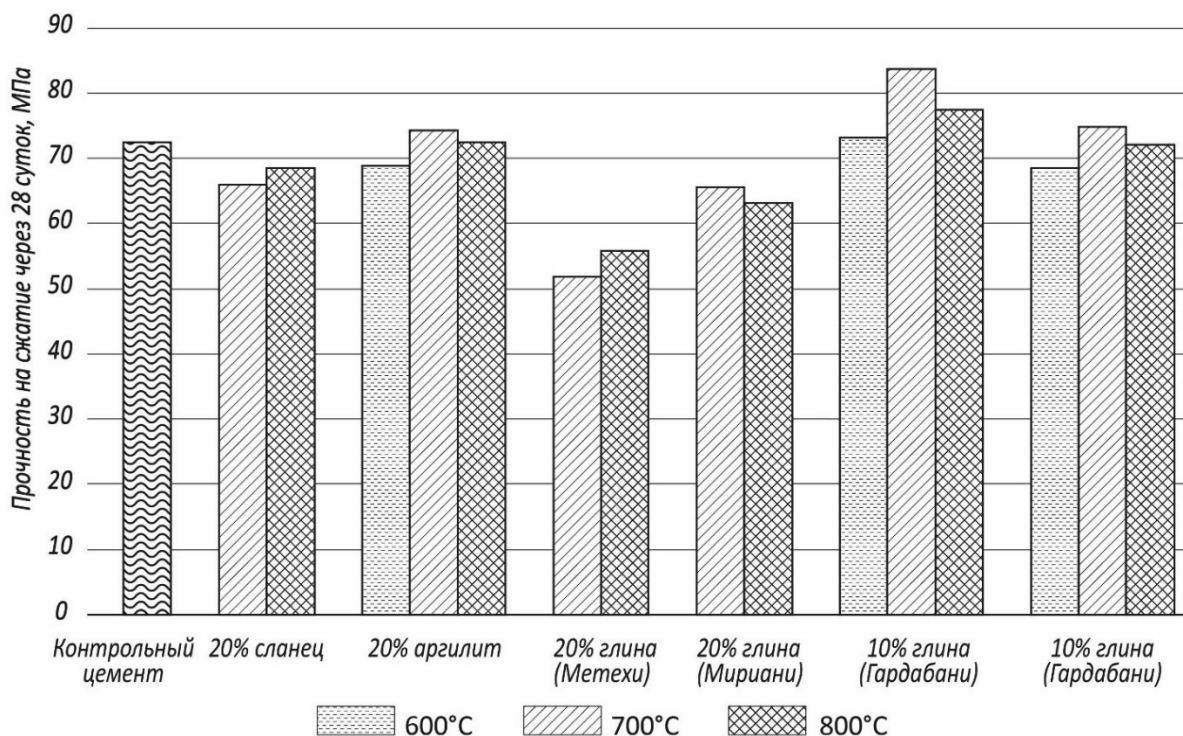


Рис. 5. Гидравлическая активность цементных образцов через 28 сут. твердения, содержащих разное количество добавки, с разной температурой модификации, с выдержкой 1 час.

Сравнивая результаты по поглощению CaO термообработанными глинистыми породами (Рис.4), не всегда наблюдается закономерность того, что гидравлическая активность цементов может быть предсказана только лишь на основании способности материала, при погружении его в насыщенный раствор гидроксида кальция быстро связывать большие ее количества. Это подтверждает существование некоторых противоречий между пущолановой активностью минеральной и наборе высокой гидравлической активности, т. е. механической прочности в растворе или бетоне [12].

Очевидно, на гидравлическую активность цементов влияет содержание в минеральной добавке компонентов, способных при термической обработке претерпевать структурные изменения, ведущие к образованию

активных соединений, способствующих повышению механической прочности цемента. На гидравлическую активность портландцемента большое влияние оказывает также структура вводимой минеральной добавки.

На основании результатов данного исследования можно определить перспективные местные горные породы, которые при разработке режима температурного модифицирования с целью повышения пущолановой активности, способны в значительном количестве сократить долю клинкера в составе портландцемента без снижения механической прочности. Такими являются, на наш взгляд, глинистый сланец, модифицированный при 800 °C, аргиллит и глина (Гардабани) – при 600 °C и 700 °C.

- #### ЛИТЕРАТУРА
- Схвтаридзе Р., Шапакидзе Е., Геджадзе И., Кордзахия Т., Цинцкаладзе Г., Гиоргадзе И., Верулава Ш. Использование природных и техногенных минеральных ресурсов в цементной

- промышленности Грузии. Цемент и его применение. №.3, Санкт-Петербург, 2018. с. 81-87.
- Dr. K. Srinivasu, M. L. N. Krishna Sai, Venkata Sairam Kumar N. A. Review on Use of Metakaolin in Cement Mortar and Concrete. International Journal

- of Innovative Research in Science, Engineering and Technology. Vol. 3, Issue 7, July 2014. pp. 14697-14701.
3. Siddigye R., Klaus I, Influence of metakaolin on the properties of mortar and concrete. Applied Clay Science. 2009. Vol. 43. No. 3-4. pp. 392-400.
 4. Гайфуллин А.Р., Рахимов Р.З., Рахимова Н.Р. Влияние добавок глинитов в портландцемент на прочность при сжатии цементного камня. Инженерно-строительный журнал. №7, Санкт-Петербург, 2015. с. 66-73. DOI: 10.5862/MCE.59.7
 5. Scrivener K.L., Nonut A. Hydratation of Cementitious Materials, Present and Future. Cement and Concrete Research. №41, 2011. p. 651–665.
 6. Ramachandran V.S. Concrete Admixtures Handbook – Properties, Science and Technology. 2nd ed. William Andrew Publishing. – New York, 1999. – 964 p.
 7. Rakhimov R. Z., Rakhimova N. R. Construction and mineral binders of past, present and future. Building Mater, 1, 2013, p. 124-128.
 8. Коновалов В.М., Гликин Д.М., Соломатова С.С. Использование аргиллитов в производстве
- 9. შაპაკიძე, რ. სხვატარიძე,
ი. მამუშავი, დ. გაგუანა, ი. გვარაძე,
ო. ზეითვალიძე, თ. ჰეთირიაზვილი
თბილისი ძალის თერმული მუდ-
იცივირების რეზისის ზემუშავ-
ხა მათი პულიში აუცილანური პეტივაციის
მიზნით**
9. Shapakidze E., Skhvitaridze R., Kamushadze I., Gabunia L., Gejadze I., Cheishvili O., Petriashvili T., Elaboration of Optimal Mode for Heat Treatment of Shales For Obtaining Metakaolin. Eur. Chem. Bull. 2019, 8(1), 31-33. DOI: 10.17628/ecb.2019.8.31-33.
 10. Shapakidze E., Nadirashvili M., Maisuradze V., Gejadze I., Petriashvili T., Avaliani M., Todradze G. Elaboration of Optimal Mode for Heat Treatment of Shales For Obtaining Metakaolin. Eur. Chem. Bull. 2019, 8(1), 31-33. DOI: 10.17628/ecb.2019.8.31-33.
 11. Краснобаева С.А., Медведева И.Н., Брыков А.С., Стәфеева З.В. Свойства материалов на основе портландцемента с добавкой метакаолина МКЖЛ. Цемент и его применение. №1(2), Санкт-Петербург, 2015. с. 50-55.
 12. Мальвори Дж. Пуццолановый портландцемент. Четвертый Международный конгресс по химии цемента. Стройиздат, Москва, 1964. с. 576-585.

SHAPAKIDZE E., SKHVITARIDZE R.,
KAMUSHADZE I., GABUNIA L., GEJADZE I.,
CHEISHVILI O., PETRIASHVILI T.

**DEVELOPMENT OF THE REGIME OF THERMAL
MODIFICATION OF CLAYEY ROCKS FOR
THEIR POZZOLANIC ACTIVATION**

ანონტაცია. სტატია გთხოვნა საქართველოს თიხოვანი ქანების თერმული მოდიფიცირების რეზუმის შემუშავებას ცემენტის მაღალაქტიური პუცკოლანური დანამატების მისაღებად. ამ მაჩვით ადგილობრივი თიხური ფიქლები, არგილიტები და ადგილოდღოლობადი თიხები შესწავლილი იქნა ქიმიური, რენტგენოფაზური, დიფურენციალურ-თერმული და სხვა ანალიზის მეთოდებით. თითოეული ქანისთვის დაღვენიშვილი იქნა თერმული დამუშავების ოპტიმალური ტემპერატურა და რეზიმი. მოდიფიცირებული დანამატები გამოცდილ იქნა მექანიკურ სიმტკიცეზე ცემენტების კომპონიტებში.

დაღვენილ იქნა, რომ მოდიფიცირებული თიხოვანი ქანები გარევეული რეზიმით დამუშავების შემდეგ შეიძლება გამოყენებულ იქნან პორტლანდცემენტის მაღალაქტიური პუცკოლანური დანამატების სპეციალური ტემპერატურის მიზნით თიხოვანი ქანების დამატება 35%-ზე და საშუალებას იძლევა, რომ შემცირდეს კლინკერის წილი პორტლანდცემენტში ამ უკანასკნელის მექანიკური სიმტკიცის გაუარესების გარეშე, ხოლო მათი 6%-ით დამატებისას, ადგილი აქვს პორტლანდცემენტის მექანიკური სიმტკიცის მნიშვნელოვან ზრდას.

საბოლოო სიტყვები: თერმული მოდიფიცირება, პუცკოლანური დანამატები; თიხოვანი ქანები.

смешанных цементов. Современные проблемы науки и образования. Издательский Дом «Академия Естествознания», № 2 (часть 2), Пенза, 2015. с. 96-98.

9. Rakhimov R. Z., Rakhimova N. R, Gaifullin A. R., Influence of the addition of dispersed fine polymineral calcined clays on the properties of Portland cement paste. Advances in Cement Research, V. 29 (1), 2017, p. 21-32.
10. Shapakidze E., Nadirashvili M., Maisuradze V., Gejadze I., Petriashvili T., Avaliani M., Todradze G. Elaboration of Optimal Mode for Heat Treatment of Shales For Obtaining Metakaolin. Eur. Chem. Bull. 2019, 8(1), 31-33. DOI: 10.17628/ecb.2019.8.31-33.
11. Краснобаева С.А., Медведева И.Н., Брыков А.С., Стәфеева З.В. Свойства материалов на основе портландцемента с добавкой метакаолина МКЖЛ. Цемент и его применение. №1(2), Санкт-Петербург, 2015. с. 50-55.
12. Мальвори Дж. Пуццолановый портландцемент. Четвертый Международный конгресс по химии цемента. Стройиздат, Москва, 1964. с. 576-585.

SHAPAKIDZE E., SKHVITARIDZE R.,
KAMUSHADZE I., GABUNIA L., GEJADZE I.,
CHEISHVILI O., PETRIASHVILI T.

**DEVELOPMENT OF THE REGIME OF THERMAL
MODIFICATION OF CLAYEY ROCKS FOR
THEIR POZZOLANIC ACTIVATION**

ANNOTATION. The article is devoted to the study of the possibility of developing a regime of thermal modification of clay rocks of Georgia to obtain highly active pozzolanic additives for cement. To this end, local clay shales, mudstones and fusible clays were studied by chemical, X-ray phase, DTA, etc. The optimal temperature and heat treatment regime for each rock were established. Modified additives were tested for mechanical strength in the composition with cement.

It has been established that thermally modified clay rocks under a certain heat treatment regime can be used as a highly active pozzolanic additive in Portland cement. The use of these additives to 35% will make it possible to reduce the share of clinker in Portland cement without reducing mechanical strength, and when adding about 6% of modified clay rocks, a significant increase in cement mechanical strength is observed.

KEY WORDS: thermal modification; pozzolanic additive; clay rocks.

შპტ 338.012-1(4) : 553.04

აკად. დოქტორი გ. ლოგვანიძე, აკად. დოქტორი გ. თაბათაძე, დოქტორანტი გ. თამათავაძი**სამთო-სამსახურო კლასიური ცორილი და მიმღები მუსიკალური ფასი**

ანოტაცია. ნაშრომში გაანალიზებულია იმურეთის რევილში არსებული მინერალური რესურსების ძირითადი სახეობები, მარაგები და მათი გამოყენების პერსპექტიული შესაძლებლობები; დახასიათებულია კლასტერების სახეები და განსაზღვრულია მინერალური რესურსების უფექტური ათვისებაში რევილში და სამრეწველო კლასტერების ჩამოყალიბების როლი და მნიშვნელობა, დამატებული ღირებულების ზრდის თვალსაზრისით; შემუშავებულია წინადაღებები და პრაქტიკული რეკომენდაციები იმურეთის რევილში კლასტერული პოლიტიკის ფორმირებისა და რეალიზაციის მექანიზმის ეტაპების თეორიულ-მეთოდოლოგიური საფუძვლების შესახებ.

სამკანი სისტემები: მინერალური რესურსები; მარაგები; ეკონომიკური ანალიზი; რევილში ეკონომიკა; მიზნები სექტორი; კონკურენტურარიანობა.

თანამედროვე პერიოდსა და პირობებში, მსოფლიოში გამოკვეთილია რევილში როლი და მნიშვნელობა სოციალური-ეკონომიკური სხვადასხვა ამოცანების ეფექტი-ანად გადაწყვეტის თვალსაზრისით, სადაც მნიშვნელოვანია ცალკეულ აღმინისტრაციულ-ტერიტორიულ ერთეულში მიმდინარე პროცესების ეფექტიანი მართვა, განვითარების პერსპექტივებისა და ძირითადი მიმართულებების მეცნიერული განსაზღვრა და მათი ეფექტიანი რეალიზება, რაც თავის მხრივ, დადგებითად მოქმედებს როგორც რეგიონის სწორი მიმართულებით განვითარებაზე, ისე მისი პოზიციების გაუმჯობესებაზე კონკურენციულ გარემოში. რეგიონის შესაძლებლობა მდგომარეობს იმაში, რომ შექმნას ისეთი ეკონომიკური პოტენციალი, რომელიც უზრუნველყოფს პროგრესულ განვითარებას, მოსახლეობის შემოსავლების მაღალ და სტაბილურ დონეს და საინკუსტიციო რესურსების მოზიდვას. აქ მნიშვნელოვანია რეგიონის მინერალურ-სანედლეულო ბაზის და საზოგადოების სოციალურ-ეკონომიკური განვითარებას შორის ურთიერთობების რაციონალური ოპტიმიზაცია.

იმურეთის რეგიონი მდიდარია და მნიშვნელოვან-

წილად გამოირჩევა საქართველოს ტერიტორიაზე არსებული წილისეული სიმდიდრეების მრავალ-ფეროვნებით, რომელთა უდინაკარგო, კომპლექსური და ეფექტური ათვისება, ახალი ტექნოლოგიების დანერვა ხელს შეუწყობს მათ ბაზაზე მომუშავე საწარმოთა რეაბილიტაციას და ეკონომიკური ეფექტური მუსიკალური ინიციატივის მიზანის მიმღები მარაგი და მიმიურღების დასაქმება და ინფრასტრუქტურის შემდგომი განვითარება, მოსახლეობის სტაბილური შემოსავლი და გაიზარდოს რეგიონის კონკურენტუნარიანობა. რეგიონის ეკონომიკის განვითარებისთვის ასევე მნიშვნელოვანია ფინანსურ რესურსებზე ხელმისაწვდომობა, რეგიონის ეკონომიკური აქტივობის ზრდისთვის აუცილებელია სახელმწიფოს მხარდაჭერა იმ პრობლემების გადაჭრაში, რომელიც უკავშირდება რეგიონში ბიზნესგარემოს გაუმჯობესებას, ადგილობრივი წარმოების პროტექციონიზმს, ინფრასტრუქტურისა და ფინანსური შუამავლობის განვითარებას და სხვ.

ამჟამად იმურეთში 100-ზე მეტი (სსიპ წილის ეროვნული სააგენტოს მასალების მიზედვით საქართველოში აღმოჩენილი 395 საბაზოდან 109 საბაზო, მათ შორის კულაზე ბევრი მანგანუმის (26) და კირქვის (23) საბაზოა, რომლებიც ჭიათურასა და თერჯოლაში მდებარეობს), მინერალურ-სანედლეულო რესურსის საბაზოა აღრიცხული, რომელთაგან ნახევარზე მეტი საექსპორტოა (იხ. ცხრილი 1 და ნახ. 1).

ცხრილში 1 და ნახაზზე 1 და 2 მკაფიოდ ჩანს, რომ საქართველოს კულა მხარე, ქვეყნის დედაქალაქის ჩათვლით, მინერალური რესურსების საკმაო მარაგის მქონეა. ამასთან, აფხაზეთი, აჭარა, გურია, სამეგრელო და ზემო სვანეთი, მეტრეთი და ქვემო ქართლი შეიცავს კულა ეკონომიკური ტიპის რესურსს. ნახ. 1 და 2 ასახავს მინერალური რესურსული ფონდის განაწილებას მინერალური რესურსების ეკონომიკური ტიპების მიხედვით და აღმინისტრაციულ-ტერიტორიული ერთეულების მიზედვით [1, 2, 3, 4].

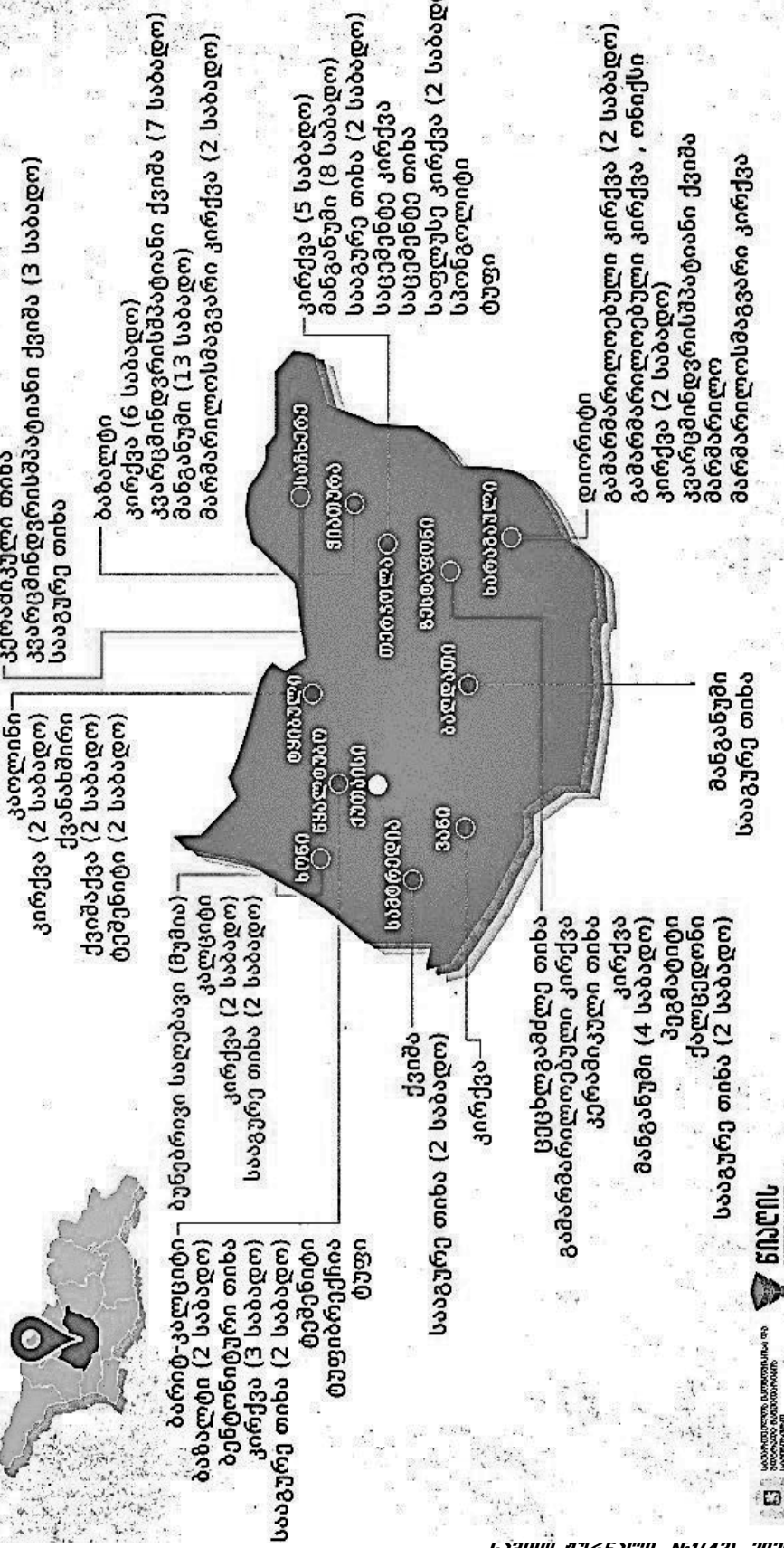
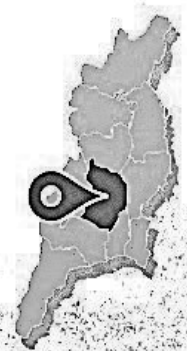
მინერალური რესურსების ფონდის განაწილება საქართველოს მხარეებში, [4]

მხარე	რესურსების ეპონომიკური ტიპი, %							
	სამდობარი და მდგრადი მუნიციპალიტეტი	მუნიციპალიტეტი და რეგიონი	ქალაქი და მუნიციპალიტეტი	მდგრადი მუნიციპალიტეტი				
თბილისი	2.4	0.0	1.0	0.0	0.4	0.8	0.0	0.6
აფხაზეთის ა.რ.	19.0	10.1	14.6	1.3	14.3	10.2	14.5	11.6
აჭარის ა.რ.	2.4	4.3	1.0	2.5	2.6	1.7	4.3	2.3
გურია	16.7	1.4	3.1	3.8	1.7	2.8	5.8	3.4
სამეგრელო & ზემო სვანეთი	23.8	5.8	5.2	7.5	9.1	9.1	5.8	8.7
იმერეთი	7.1	7.2	34.2	30.0	22.1	19.2	13.0	20.7
რაჭა-ლეჩხუმი & ქვემო სვანეთი	0.0	31.9	5.5	20.0	6.5	5.2	2.9	8.3
შიდა ქართლი	0.0	10.1	7.3	8.0	5.6	14.0	8.7	9.3
სამცხე-ჯავახეთი	2.4	0.0	11.5	13.8	7.8	8.3	14.5	8.5
მცხეთა-მთიანეთი	0.0	0.0	7.3	7.5	5.2	6.1	14.5	6
ქვემო ქართლი	7.1	27.5	5.2	8.6	21.2	8.3	8.7	12.5
კახეთი	19.1	1.5	4.1	0.0	3.5	14.3	7.3	8.1
სულ ჯამი	100.0	100.0	100.0	100.0	100.0	100.0	100.0	100.0

იმერეთის რეგიონში საქმაოდ ცნობილი საბაზოებიდან აღსანიშნავია შემდეგი: მანგანუმის მაღნის, ქვანახ-შირის, მოსაპირეთებელი მასალების (ტეშენიტი, კირქვები, მარმარილოსებრი კირქვები, ტუფი, ბაზალტი), სააგურე, კერამიკული და ცეცხლგამძლე თიხების, კალიუმის, ალუ-

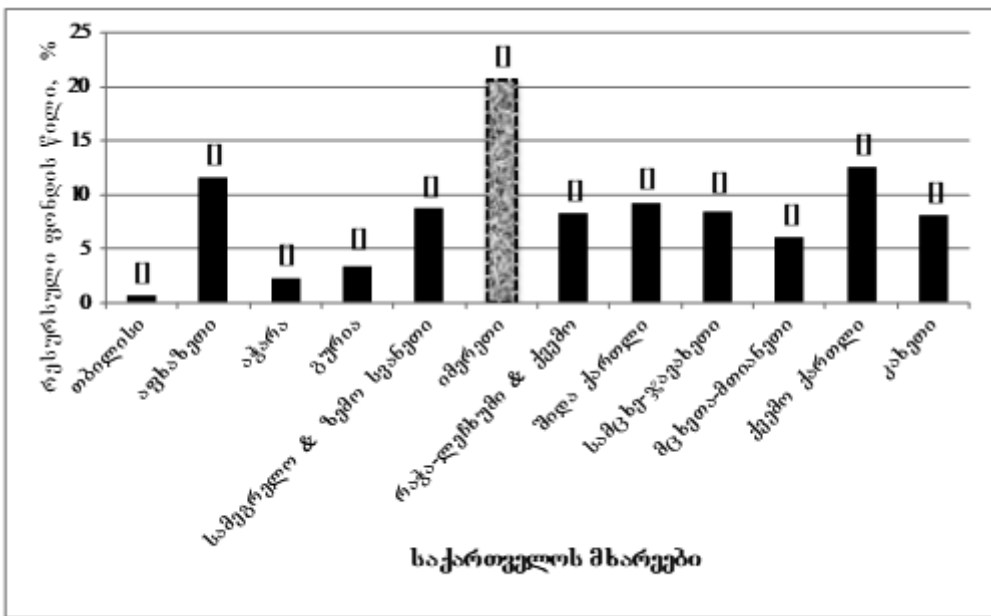
მინისა და ეკოლოგიურად სუფთა სასუქების მისაღებად ვარგისი გლაუკონიტის შემცველი ნედლეულის, გიშერის, მინერალური თერმული წყლების და სხვა საბაზო.

საქართველოს მინერალური რესურსები იმპერია



სამარგარილოს მარგარიტის ტიხა

ნიაზის



ნახ. 2. მინერალური რესურსული ფონდის განაწილება საქართველოს მხარეებში, [4]

ძირითადი წიაღისეული რესურსის ჭიათურის მანგანუმის ბალანსური და ბალანსგარეშე მარაგი დაახლოებით 215 მლნ ტონას შეადგენს, მათის ყველა ტიპის (ჟანგეული, კარბინატული, დაუნაგული, შერეული, ქვიშაქვები) მიხედვით. ამასთან, აღსანიშნავია მანგანუმის ჯერ კიდევ დაუმუშავებელი მარაგის სავარაუდო

არსებობა ყვირილისა და ზესტაფონის, ჩხარი-აჯამეთის, ქუთაისისა და თერჯოლის ტერიტორიებზე. აღსანიშნავია, რომ ჭიათურის მანგანუმის საბადო გამორჩეულია მაღალი ხარისხის უძველესი და კარბონატული მანგანუმის მაღანუმის მაღანებით, სადაც მანგანუმის შემცველობა 11-55 %-მდე.

ცხრილი 2

ჭიათურის მანგანუმის მაღნის საბჭოს ტიპები [6]

მაღნის ტიპი	ნ-ის შემცველობა (%)
ოოლითური ან მასიური ჟანგეული	20-25-იდან 50-55-მდე
ოოლითური ან წვრილკრისტალური კარბონატული	10-15-იდან 25-28-მდე
დაუნაგული	15-20-იდან 30-40-მდე

ამჟამად, ჭიათურის მანგანუმის მაღნის საბადოზე მოპოვებით და გამდიდრებით სამუშაოებს აწარმოებს მსხვილი პოლიანგი „ჯორჯიან ემერიქენ ელიოს“ (Georgian American Alloys), რომელიც აერთიანებს „ჯორჯიან მანგანეზის“ (ჭიათურის სამთო გამამდიდრებელი კომპინატი და ზესტაფონის ფეროშენადნობთა ქარხანა), ვარციხის პიდოროელექტროსადგურსა და კლინიკა ფერომედს. ამასთან, შეს „ჯორჯიან მანგანეზი“ საქართველოში ერთ-ერთი მთავარი დამსაქმებელია. მანგანუმის მაღნის მოპოვება ხდება 4 მეტრის ტექნოლოგიით მომუშავე მაღაროში, 9 ახალი ტექნოლოგიით მომუშავე მიწისქეშა უბანსა და 7 ღა საკარიერო უბანზე. ჭიათურის კომპანია საშუალო წლის განმავლობაში მოიპოვებს და ამდიდრებს 1.3 მლნ ტონა მანგანუმის მაღნის. ხოლო, საშუალო წლის განმავლობაში მოიპოვებს და ამდიდრებს 330 ათას ტონას. აღსანიშნავია, რომ

კომპანიის მიერ წარმოებული პროდუქცია გათვლილია უცხოეთის ბაზრისთვის, იგი მაღალი ხარისხის ფეროშენადნობების უმსხვილესი მწარმოებელი და ექსპორტიორია. 2018 წელს ზესტაფონის ფეროშენადნობთა ქარხანაშ 223 000 ტონა სილიკომანგანუმი და 6 000 ტონა ფერომანგანუმი აწარმოა. კომპანიის მიერ წარმოებულ პროდუქციას საერთაშორისო ბაზარზე ისეთი ქვეყნები ყოდელობენ, როგორიცაა ჩინეთი და სამხრეთ ამერიკა, რუსეთი და დასავლეთის სხვა ქვეყნები. ამასთან, ჭიათურაში მოპოვებული მანგანუმი შეადგენს საქართველოს საექსპორტო ბრუნვის დაახლოებით 10 %-ს. ხოლო ფერომანგანუმებს ეკროპულ ბაზარზე უკავიათ 2 %-იანი სეგმენტი, რაც როგორც რეგიონისთვის ისევე, მთლიანად საქართველოსთვის საქმაოდ მნიშვნელოვანია.

შპს „ჯორჯიან-მანგანეზ“-ის კომპანიის პროდუქცია [6]

კონცენტრატის ელემენტი	კონცენტრატის ზომა (მმ) და შემადგენლობა (%)			
	5-0 მმ	20-5 მმ	20-0 მმ	70-0 მმ
Mn	43 %	30-32 %	37 %	30-31 %
SiO ₂	10-15 %	20-25 %	15-20 %	25-28 %
H ₂ O	11 %	11 %	11 %	11-12 %
Al ₂ O ₃	2 %	2.25 %	2.15 %	4-5 %
P	0.2 %	0.2 %	0.2 %	0.15-0.2
CaO	3-4	5-6	4-5	5.5-6.5
Fe	1.2-1.3 %	1.4-1.5	1.3-1.4	1.5-1.8
S	0.19-0.2 %	0.25-0.27	0.2-0.25	0.18-0.28

შპს „ჯორჯიან-მანგანეზ“-ის პროდუქცია დიდი მოთხოვნილებით სარგებლობს მსოფლიო ბაზარზე. კომპანიის მიერ წარმოებული პროდუქციის რაოდენობა ყოველწლიურად იზრდება. ბოლო წლებში საწარმოში ჩადგებულ იქნა 100 მილიონ ლარზე მეტი ინვესტიცია, რომელიც ძირითადად ქარხნის ტექნოლოგიური პროცესების გაუმჯობესებას მოზრდა. მოქმედი კანონმდებლობის მიხედვით ქარხანა ადგილობრივ ბიუჯეტში ინდის მხოლოდ ქონების და მიწის გადასახადებს (ყოველწლიურად დაახლოებით 1-1,5 მლნ ლარი). ხოლო, მათ მიერ ადგილობრივ ბიუჯეტში შეტანილი გადასახადები შეადგენს მთლიანი ადგილობრივი ბიუჯეტის 15 %-ს.

ჭიათურის რაიონი მდიდარია კვარცის სილით, რომელიც ბევრ ადგილას მძლავრი ფენების სახით გამოდის მიწის ზედაპირზე და ადვილად დასამუშავებელია. მდ. ყვირილას ხეობაში, ქალაქედან 6 კმ-ის მანძილზე, სოფელ სალიეთთან, მაღალი კლდოვანი ფერდობი წარმოადგენს წითელი მარმარილოს დიდ საბაზოს, სადაც მარმარილოს ფენის სისქე 60 მეტრამდეა. თეთრი მარმარილოს საბაზოა სოფელ მოზროვოთუბანში.

საქართველო სამხრეთ კავკასიაში, ერთადერთი ქვეყნაა, რომელიც ფლობს ექსპლუატაციაში არსებულ დაღასტურებულ ქვანახშირის რეზერვებს. საქართველოში გამოვლენილია ნახშირის ორი ტიპი, შავი და მურა ნახშირი, რომელიც გამოიყენება როგორც საწვავი და ენერგორესურსი. ცნობილია, რომ საქართველოში არსებული საწვავისა და მინერალური რესურსების სულ 42 აუზიდან, 9 ნახშირისაა, მაგრამ მათგან მხოლოდ 3 არის აღიარებული კომერციული თვალსაზრისით მნიშვნელოვნად (ტყიბული-შაორი და ტყვარჩელი).

ტყიბული-შაორის ტერიტორიაზე ქვანახშირის მოპოვება დაიწყო ჯერ კიდევ მე-19 საუკუნეში, თუმცა საბჭოთა კავშირის დამლის შემდეგ თითქმის გაჩერდა. კომპანიამ, „საქართველოს ინდუსტრიულმა ჯგუფი“ 2006 წელს დაიწყო სამრეწველო მოპოვების ოპერაციები და ფაქტობრივად, ამ წლიდანვე დაიწყო მთლიანად ტყიბულის რეგიონის სოციალურ-ეკონომიკური აღორმინებაც, რაც ტრადიციულად მთლიანად დამტკიცებული იყო ქვანახშირის წარმოებაზე.

ტყიბული-შაორის ქვანახშირის საბაზოზე ძირითადად ენერგეტიკული ქვანახშირია, რომლის ნაცრიანობა 30-45 %, საშუალო თბოუნარიანობა 2 5500 კალორიაა. სასარგებლო წიაღისეულის მოპოვებაზე ლიცენზირის შესაბამისად ქვანახშირის მთლიანი მოცულობა შეადგენს 331 მლნ მეტრიკულ ტონს.

კომპანია „საქართველო ჯი-აი-ჯი ჯგუფი“ იყო რა საქართველოს ინდუსტრიულ ჯგუფის სრულ მფლობელობაში არსებული შეილობილი კომპანია და ქვანახშირის ერთად-ერთი მომპოვებელი კომპანია საქართველოში, რომელიც ახორციელებდა ისეთ ოპერაციებს როგორიცაა ნახშირის მოპოვება, ნახშირის ტრანსპორტირება, ნახშირის გამდიდრება და ელექტროენერგიის გენერაცია. „საქართველო ჯი-აი-ჯის“ შეილობილი კომპანია იყო შპს „სავაჭრო სახლი საქართველო“ რომლის საქმიანობის სფეროსაც წარმოადგენდა საერთაშორისო ვაჭრობა.

ამჟამად მოქმედებს ქვანახშირის საბაზოს ორი „მინდელის და ძიძიგურის სახელობის შახტი. ორივე წარმოადგენს ტყიბული-შაორის ქვანახშირის აუზის ნაწილს, რომელიც მდებარეობს იმერეთის მთიან რეგიონში რაჭის

წარმოება: მათეთრებელი, რომელსაც იყენებენ ნავთობის ტიტულური სათვის და საყალიბე გუბბრინი, რომელიც ფხ-გნილის სახით გამოიყენება მეტალურგიაში ყალიბების დასამზადებლად. ასევე როგორც ნავთობის, ცხიმებისა და ღვინის გამწმენდი საშუალება.

თიხა „გუბბრინი“ ასევე აღმოჩენილია ცხუნკურსა და ბუმისთავში. ზონაში გენერაცია აკრეთვე კირქების და გრანიტის საბადოები. კირქებისაგან ამზადებენ კირს და ბუნებრივი ქვის სამშენებლო ბლოკებს.

გრანიტის საბადო აღმოჩენილია სოფლების ფონეთისა და ოფურჩხეთის ტერიტორიაზე. ზოლო სოფლების გე-გუთის, ფარცხანაფანენების და გვიშტიბის ტერიტორიებზე მრავლადაა სააგურე თიხა.

განსაკუთრებით აღსანიშნავია სათაფლის (წყალტუბო) და პერვეისის (ჭიათურა) ჩამოსასხმელი ბაზალტის საბადოების რაციონალური ათვისება, რადგან როგორც კვლევებმა აჩვენეს, ამ ნედლეულის გამოყენების პერსპექტივა მრავალმხრივ განსაკუთრებულია და მოთხოვნა ამ უკანასკნელის გამოყენებით წარმოებულ სამშენებლო და ხელოვნური ბოჭკის პროდუქციაზე მზარდია როგორც შიგა ბაზარზე, ისე მის ფარგლებს გარეთ [4, 9].

ცხადია, საქართველოს რეგიონების კონკურენტუნარიანობის გაუმჯობესების პერსპექტივა ითვალისწინებს დღევანდელი რეალობის საფუძვლიან ეკონომიკურ ანალიზს. სხვადასხვა მონაცემების შესწავლამ ცხადყო, რომ არსებობს როგორც მნიშვნელოვანი პროგრესი, ასევე საპ-მარ გამოწვევები იმერეთის რეგიონში სოციალურ-ეკონომიკური მდგომარეობის თვალსაზრისით და არსებული ბიზნეს აქტივობის მაჩვენებლების მიხედვით.

აღსანიშნავია, რომ იმერეთის რეგიონში, სადაც 2019 წლის მონაცემებით საქართველოს მოსახლეობის დახ-

ლოებით 497,4 ათასი კაცი ცხოვრობს, 2018 წლის მონაცემებით ერთ სულ მოსახლეზე მთლიანი შიდა პროდუქტის რეალურმა ზრდამ წინა წელთან შედარებით 15,4 % და 4 125,6 მლნ აშშ \$, ანუ შშპ ერთ სულ მოსახლეზე 3 241,2 აშშ \$, უმუშევრობის დონემ 12,4 %, 2019 წლის მონაცემებით რეგისტრირებული ეკონომიკური სუბიექტების რაოდენობამ 103 181 ერთეული შეადგინა, რომელთაგან აქტიური მხოლოდ 24 013 ერთეული იყო და იმერეთის რეგიონშე ბიზნეს-სექტორში პროდუქციის მთლიანი გამოშვების დაახლოებით 6 % მოდის. ასევე, იმერეთის რეგიონში ბიზნეს სექტორის არ-სებულ მდგომარეობაზე გარკვეულ წარმოდგენას გვიქმნის ისეთ მაჩვენებლებზე დაკვირვება, როგორებიცაა: ბრუნვის, პროდუქციის გამოშვების, დამატებული დირებულების, შუალედური მოხმარების და სხვ. მაჩვენებლების დინამიკა 2007-2018 წლებში. ასე მაგალითად, თუ, ვთქვათ, 2010-2018 წლებში იმერეთში შშპ-ის ზრდამ 140,7 % შეადგინა.

იმერეთში არსებული ბიზნეს სექტორის ძირითადი მაჩვენებლები (ბრუნვა, პროდუქციის გამოშვება, დამატებული დირებულება, შუალედური მოხმარება, დასაქმებულთა საშუალო წლიური რაოდენობა, შრომითი დანახარჯები, დასაქმებულთა საშუალო თვიური ანაზღაურება, ინვესტიციები ფიქსირებულ აქტივებში) გვიჩვენებს რეგიონის ეკონომიკური საქმიანობის ძირითად ზრდად ტენდენციებს.

ქვემოთ მოცემულ ცხრილში 3 წარმოდგენილია რეგიონის ბიზნეს სექტორის მაჩვენებლები 2007-2018 წლებში, როგორც მთლიანად საქართველოს და იმერეთის რეგიონის და ასევე, სამთო მრეწველობის საქმიანობის მიხედვით [10].

ბიზნეს სუქტორი საქართველოსა და ობიექტთას რევიზიაში სულ, მოლისად და სამოსა მრავალულბის
საჭმანის (NACE rev.2) მიხევვთ [10]

მაჩვინებელი	წლები											
	2007	2008	2009	2010	2011	2012	2013	2014	2015	2016	2017	2018
1	2	3	4	5	6	7	8	9	10	11	12	13
საქართველო, სულ	17544,4	19650,7	20302,2	24400,7	36726,2	42048,0	44327,9	50064,7	56984,8	64081,8	71740,1	86625,1
გ.შ. ობიექტთა	850,1	1003,4	867,3	1259,1	1742,3	1886,0	2042,4	2378,6	2591,4	2860,0	3484,1	4010,9
საქართველოს სამოს მრავალულბის, სულ	477,3	585,0	196,6	243,7	313,8	283,8	288,5	357,8	571,5	611,8	671,4	749,3
გ. შ. სამოს მრავალულბა ობიექტთაში	14,6	21,7	14,0	30,0	50,3	60,9	66,1	78,1	127,5	112,1	109,7	113,5
პროცეციის გამოშვება, მლნ ლარი												
საქართველო, სულ	9645,4	10248,4	11003,1	13303,7	19239,9	23096,0	23553,6	26068,6	29993,9	34156,9	38206,8	41649,2
გ.შ. ობიექტთა	512,7	701,0	479,5	762,0	1089,8	1185,4	1135,5	1346,5	1497,6	1645,0	2264,3	2553,8
საქართველოს სამოს მრავალულბის, სულ	277,3	262,0	195,5	254,9	329,1	364,4	325,3	402,2	652,7	633,4	690,6	767,0
გ. შ. სამოს მრავალულბა ობიექტთაში	12,7	23,2	21,1	37,6	53,7	73,1	66,4	75,9	127,1	123,8	110,0	115,1
ლაბოტური დირექტულება, მლნ ლარი												
საქართველო, სულ	4541,8	5162,6	5464,1	6703,2	9253,7	11190,7	12139,1	12849,4	14761,0	16772,4	19036,3	20726,9
გ.შ. ობიექტთა	185,3	303,0	226,5	342,0	460,9	514,9	473,9	474,8	836,5	720,1	1014,1	1151,4
საქართველოს სამოს მრავალულბის, სულ	197,7	155,3	92,4	142,0	167,7	178,6	153,1	172,7	244,9	260,8	309,7	320,3
გ. შ. სამოს მრავალულბა ობიექტთაში	3,7	6,9	13,4	17,4	28,3	53,5	41,1	35,3	56,0	50,4	65,5	54,2
ტუალეტური მომზადება, მლნ ლარი												
საქართველო, სულ	5103,7	5085,8	5539,0	6600,5	9984,8	11905,3	11414,5	13219,2	15232,9	17384,5	19170,5	20922,4
გ.შ. ობიექტთა	327,4	398,0	253,0	420,0	628,9	670,4	661,6	871,8	661,1	924,9	1250,2	1402,4
საქართველოს სამოს მრავალულბის, სულ	79,6	106,7	103,1	112,9	161,4	185,7	172,2	229,5	407,8	372,6	380,9	446,7
გ. შ. სამოს მრავალულბა ობიექტთაში	227,4	291,0	154,7	307,3	389,7	430,5	441,1	599,8	371,3	488,8	756,1	875,3

1	2	3	4	5	6	7	8	9	10	11	12	13
ლასახებულთა საშუალო წლოვიწლითი რაოდნობა, კრიტული												
საქართველო, სულ	361209	349250	387463	397806	503236	534397	550885	592147	626739	666790	708165	734215
გ.შ. იმურეთი	37240	36086	35361	35534	40087	43815	43122	46897	46934	49547	51986	52920
საქართველოს სამინი მრეწველობა, სულ	4532	4344	5207	5092	5884	7157	6353	7003	8120	7907	8565	8806
გ. შ. სამინი მრეწველობა მმწრუში	1152	1222	1201	1500	1792	2223	2080	2160	2708	2431	2492	2344
ლაქირავისულთა დასაქტისულთა საშუალო წლოვიწლითი რაოდნობა, კრიტული												
საქართველო, სულ	345859	334286	369396	380709	482254	514387	532787	565902	584484	620069	652439	679453
გ.შ. იმურეთი	34524	33912	32590	32429	36705	40308	40430	42577	40198	42286	43755	45727
საქართველოს სამინი მრეწველობა, სულ	4447	4260	5100	4981	5714	6918	6289	6924	8018	7512	8255	8634
გ. შ. სამინი მრეწველობა მმწრუში	1127	1206	1198	1497	1750	2202	2063	2136	2688	2282	2355	2275
შრომითი დანახარჯები, მლნ ლარი												
საქართველო, სულ	1916,4	2106,6	2419,0	2741,0	3636,9	4446,6	4907,2	5470,6	6329,6	7022,2	8046,4	9046,4
გ.შ. იმურეთი	105,9	124,3	126,1	148,5	197,1	241,4	246,6	267,2	297,0	322,3	380,1	408,7
საქართველოს სამინი მრეწველობა, სულ	42,2	41,5	41,5	48,6	57,5	72,6	67,5	75,0	101,2	104,1	125,2	143,2
გ. შ. სამინი მრეწველობა მმწრუში	3,7	4,9	5,5	9,5	14,7	18,9	17,1	17,9	24,6	22,9	26,8	29,9
ლასახებულთა საშუალო თვეური ანაზღაურება, მლნ ლარი												
საქართველო, სულ	381,6	519,8	538,1	592,7	622,6	714,3	760,1	800,5	896,8	938,3	1019,7	1101,3
გ.შ. იმურეთი	202,8	287,1	309,9	370,7	435,4	481,0	489,3	505,1	604,6	619,3	698,0	726,4
საქართველოს სამინი მრეწველობა, სულ	657,7	808,9	677,7	812,3	838,6	874,5	893,1	902,8	1047,4	1154,1	1260,4	1379,2
გ. შ. სამინი მრეწველობა მმწრუში	221,9	336,5	381,0	528,1	700,3	714,4	690,5	697,8	762,6	837,3	944,5	1094,4

1	2	3	4	5	6	7	8	9	10	11	12	13
საქართველოს და მოწახურების ფილფში, მლნ ლარი												
საქართველო, სულ	15184,9	15003,9	18545,8	28501,0	32357,0	33316,2	37906,4	41185,0	45350,9	50756,0	56662,4	15184,9
გ.შ. იმტრეთი	830,7	634,9	941,8	1343,8	1452,5	1591,5	1735,3	1719,3	2159,4	2601,0	2849,8	830,7
საქართველოს სამთო მრავალობა, სულ	287,9	429,3	97,3	105,9	155,1	177,5	152,4	208,6	384,7	356,4	352,6	450,1
გ. შ. სამთო მრავალობა იმტრეთში	10,8	17,4	7,8	17,8	28,9	20,6	22,5	40,9	76,4	73,3	44,0	61,6
გასაფდად განკუთხებით საქანილისა და მოშანერების ფილფში, მლნ ლარი												
საქართველო, სულ	13723,4	15184,9	15003,9	18545,8	28501,0	32357,0	33316,2	37906,4	41185,0	45350,9	50756,0	56662,4
გ.შ. იმტრეთი	830,7	634,9	941,8	1343,8	1452,5	1591,5	1735,3	1719,3	2159,4	2601,0	2849,8	830,7
საქართველოს სამთო მრავალობა, სულ	287,9	429,3	97,3	105,9	155,1	177,5	152,4	208,6	384,7	356,4	352,6	450,1
გ. შ. სამთო მრავალობა იმტრეთში	17,4	7,8	17,8	28,9	20,6	22,5	40,9	76,4	73,3	44,0	61,6	17,4
ინვესტიციები ზოგიანტულ კეტიფებში, მლნ ლარი												
საქართველო, სულ	2588,4	2229,0	2157,8	3210,1	2602,4	3245,6	3937,3	3559,6	4333,6	4665,4	5586,1	4967,8
გ.შ. იმტრეთი	43,0	112,3	83,1	61,5	92,3	133,4	75,7	80,5	99,5	110,2	104,7	141,8
საქართველოს სამთო მრავალობა, სულ	85,9	45,8	13,3	17,1	41,4	25,3	16,0	22,3	54,7	41,1	52,0	73,8
გ. შ. სამთო მრავალობა იმტრეთში	4,8	1,2	4,4	4,1	18,0	10,9	2,4	2,7	19,7	8,7	12,6	7,2

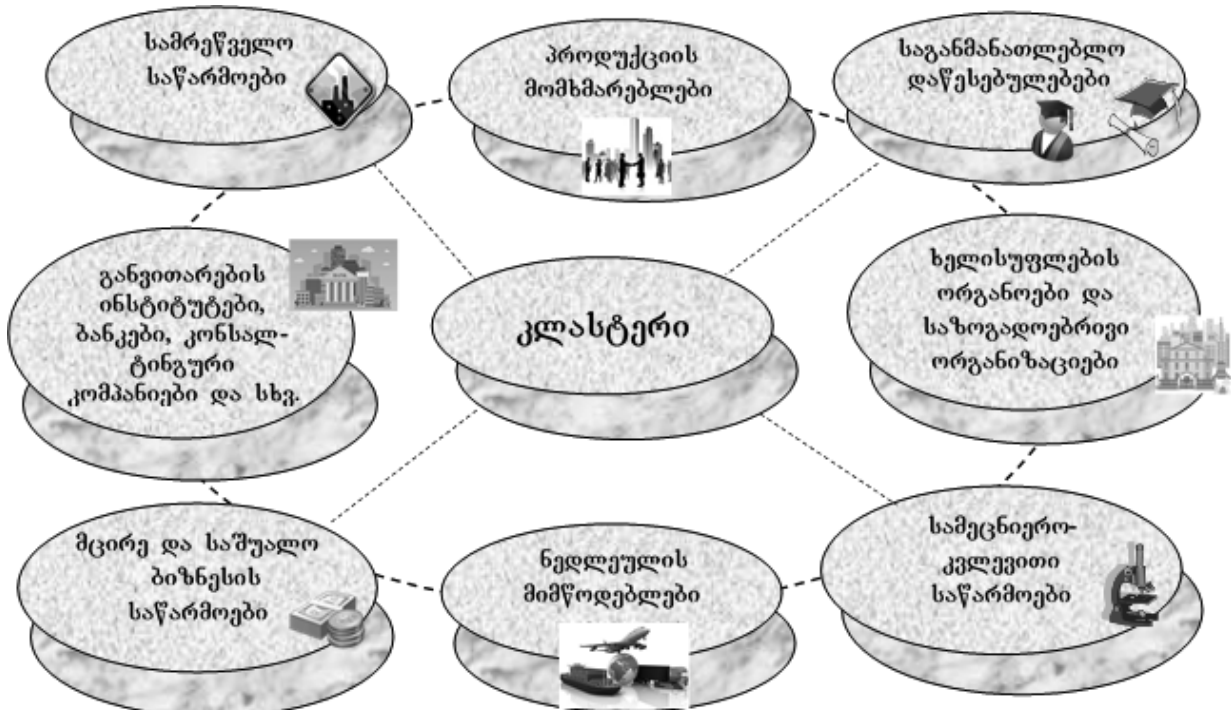
* ცხრილი შელენილია საქართველოს სტატისტიკის ეროვნული სამსახურის მსალების საფუძვლზე.

რეგიონის განვითარებული მაჩვენებელების ანალიზიდან გამომდინარეობს, რომ იმერეთის რეგიონის სამთო მრეწველობის თითქმის ყველა ეკონომიკურ საქმიანობაში აღინიშნება ზრდის ტეპი, რაც მიუთითებს იმ ფაქტორზე, რომ მას გააჩნია განვითარების რეალურად ხელსაყრელი შესაძლებლობები და პოტენციალი სამთო-სამრეწველო პროდუქციის ბაზარზე მოწინავე პოზიციების დასაკავებლად.

ცნობილია, რომ საბაზრო ეკონომიკის უზრუნველყოფა პარამეტრებს განეკუთვნება ინტეგრირება მსოფლიო ბაზარზე, სადაც სულ უფრო მეტი ყურადღება ეთმობა რეგიონული და სამრეწველო კლასტერების

შესწავლას, როგორც ტერიტორიების და დარგების კონკურენტუნარიანობის ზრდის ინსტრუმენტს, რომელიც უზრუნველყოფს აქტიური ინვესტიციური და ინოვაციური საქმიანობისთვის მიმზიდველი ცენტრების მ. შ. სწორედ კლასტერების, ბიზნეს-ინკუბატორების და სხვათა ფორმირებას.

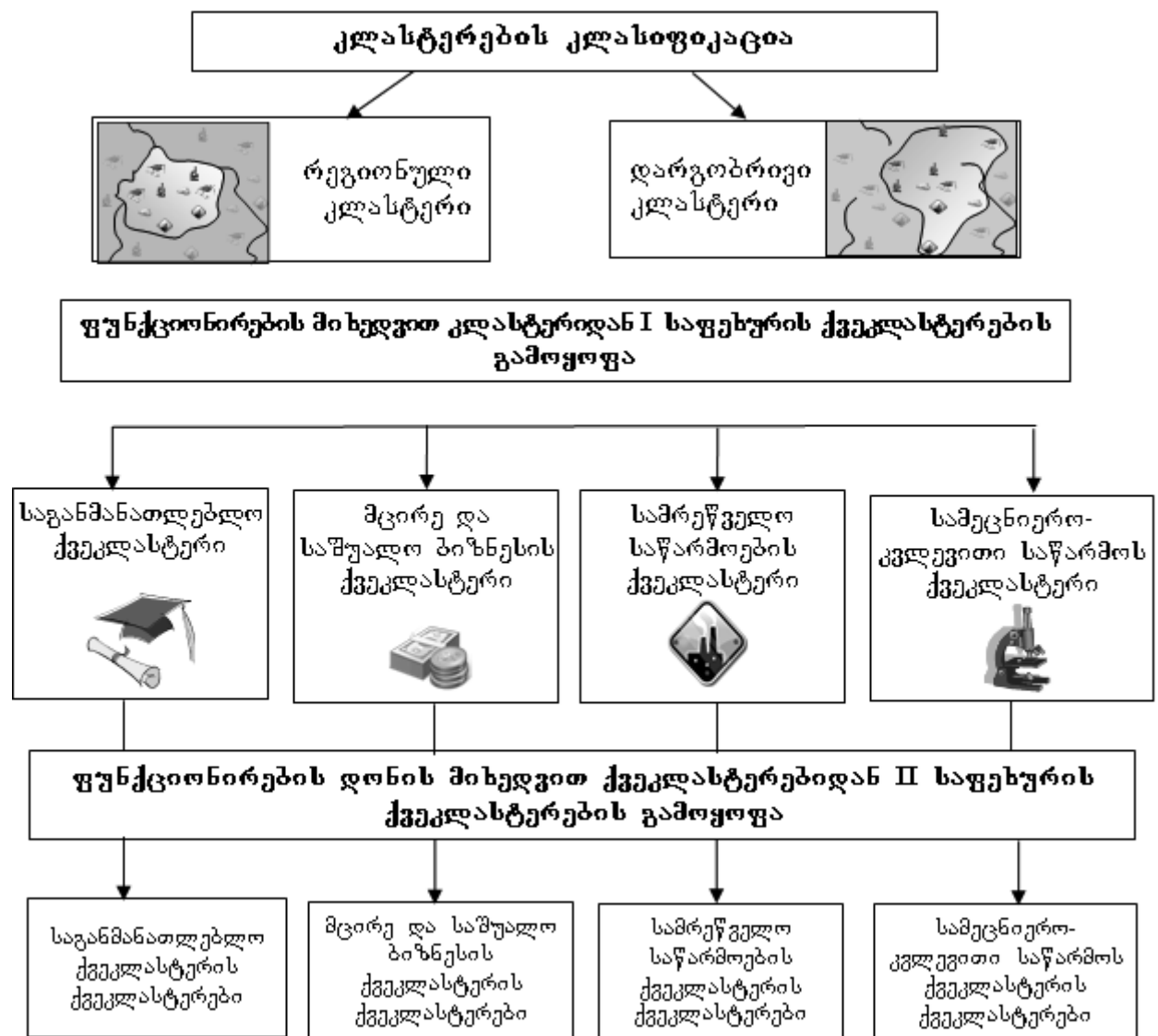
კლასტერი არის რეგიონის საზღვრებში ტერიტორიულად და დარგობრივად ახლოს მყოფი დამოუკიდებელი კომპანიების ჯგუფი, რომელიც კოოპერირებს და კონკურენციას უწევს და ურთიერთქმედებს ერთმანეთან, იმყოფებან რა ღირებულების დაგროვების ერთიან ჯაჭვში.



ნახ. 3. კლასტერის მონაწილე სტრუქტურული ერთეულები [11]

კლასტერი დროსა და სივრცეში პარალელურად ვითარდება, განსაკუთრებით მნიშვნელოვანია მისი სივრცითი შეფასება და ის თუ, როგორია სივრცითი მოცემულობა. სწორედ, ამის საფუძველზე შესაძლებელია მოხდეს კლასტერების სელექცია, უკვე მოქმედ კომპანიებზე

ან სამრეწველო ათვისებისათვის პოტენციურად პერსპექტიულ მინერალურ რესურსებზე, რეგიონულ (მუნიციპალურ) და დარგობრივ (სამრეწველო) კლასტერებად, ნახ. 4-ზე გამოსახული კლასიფიკაციის მიხედვით.



სურ. 4. კლასტერების რეგიონული და დარგობრივი კლასიფიკაცია [11]

ჩატარებული კვლევის შედეგების თანახმად, როგორც საქართველოს მთლიანობაში, ასევე მის ცალკეულ რეგიონს და კონკრეტულად, იმერეთს აქვს საკვლევი სამორ სექტორის განვითარების საკმაოდ კარგი პოტენციალი, რათა რაციონალურად განისაზღვროს როგორც არსებული, ასევე გამოუყენებელი მინერალურ-რესურსები პოტენციალის ეფექტუანი ათვისების შესაძლებლობები, შეიქმნას უფრო მაღალი დამატებითი ღირებულების შემქნელი საწარმოების სხვადასხვა სპეციალიზებაში, ამაღლდეს წარმოების ეფექტურობა, შემოიტანილ იქნას

ახალი ტექნოლოგიები, მოიძიებული და აითვისებული ადგილობრივი და უცხოური ბაზარი, გაიზარდოს დამატებით სამუშაო ადგილები და მიღწეულ იქნას უფრო მაღალ ეკონომიკური ზრდა.

კლასტერული პოლიტიკის ფორმირებისა და რეალიზაციის მექანიზმის ეტაპები რეგიონში შესაძლებელია განხორციელდეს ნახ. 5-ზე გამოსახული სქემის შესაბამისად.

რეგიონის კლასტერული პოტენციალის შეფასება

I ეტაპი. კონკურენტული მდგრადობის რაოდენობრივი ანალიზი

ლოკალიზაციის კოეფიციენტი	ერთ სულ მოსახლეზე წარმოების კოეფიციენტი	სპეციალიზაციის კოეფიციენტი
-----------------------------	---	-------------------------------

II ეტაპი. კონკურენტული მდგრადობის პირობების ანალიზი

წარმოების ფაქტორები	მოთხოვნა შიგა ბაზარზე	თანხმლები დარგები
------------------------	--------------------------	----------------------

III ეტაპი. კლასტერების ანალიზი

კლასტერების ინსტიტუციონალური ორგანიზაცია	კლასტერების ინიცირებისა და მზარდაჭერის შიგა მოტივაცია	კლასტერის მონაწილეების შედარებითი კონკურენტუნარი- ანობის ძალა
--	--	---

კლასტერების სტრატეგიული პოტენციალის შეფასება

ნახ. 5. რეგიონის კლასტერული პოტენციალის შეფასება [12, 13]

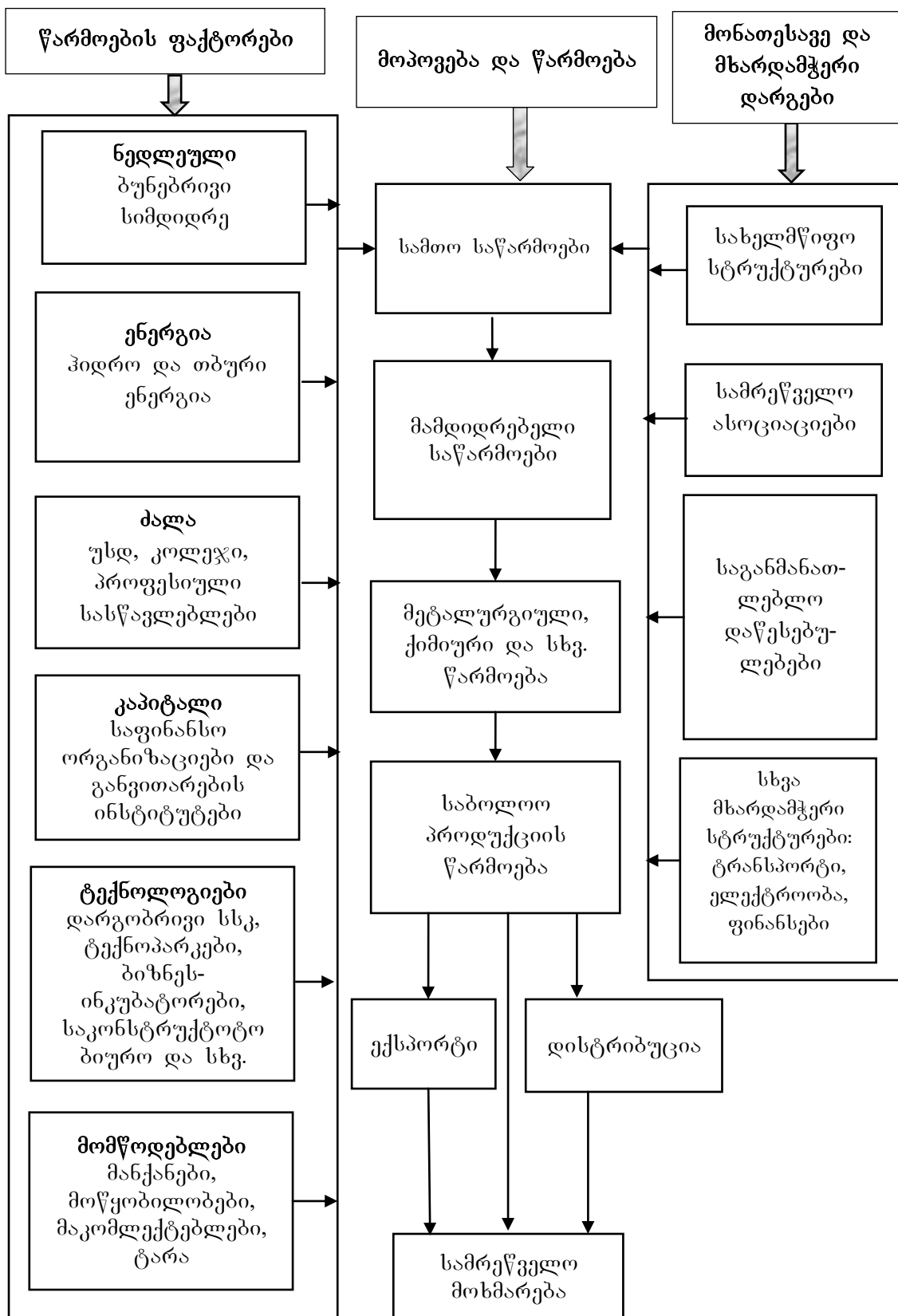
ჩვენს შემთხვევაში, მნიშვნელოვანია იმერეთის მხარეში კერამიკის წარმოებისათვის ნედლეულის (კერამიკული რეგიონული და სამრეწველო კლასტერების ჩამოყალიბება, თიხა), მეტალურგიისათვის დამხმარე ნედლეულის სადაც გაითვალისწინება მეტალურგიული (მანგანუმის ცეცხლგამძლე თიხები), მოსაპირკეთებელი ქვების მაღნის მოპოვებავადამუშავება, კონცენტრატების და (მარმარილო, მარმარილოსებრი კირქვები, ტეშენიტი, ფერომენადნობების წარმოება) და სათბობ-ენერგეტიკული ბაზალტი) და სხვა წიაღისეულთა ბაზაზე ადგილობრივი პროდუქციის (ტყიბულის ქვანახშირის მოპოვება-მოხმარების და საექსპორტო პროდუქციის წარმოება, გადამუშავება), ქიმიური მრეწველობის ნედლეულის ნახ. 6-ზე წარმოდგენილი იმერეთის რეგიონის სამთო- გადამუშავება), ქიმიური მრეწველობის ნედლეულის სამშენებლო მასალების (თიხები, მ. შ. სააგურე თიხა), სახით.

ცნობილი 1
კლასტერიზაციის პოლიციური პროცესის საბუღალო მინისტრული რესურსების უფროსიან ათვისტის, რომელთა გარშემო შესაძლებელია კლასტერების განვითარება [8,9]

ექიმომაჯ - ეკონომიკა - ECONOMICS								
კორონიტეტული რესურსების ეკონომიკური ტიპი	უძლიერდებული ცალიერდებული საბადო და აღილებებარება	მარაგები			მართავდო რესურსი	პროდუქტია	გამოჯუნების მიმართულება	
		A+B+C1	C2	P1+P2				
1	2	3	4	5	6	7	8	9
საიმობ-ენერგეტიკული რესურსები	ტებაბუღო-შავისის საბადო სამზრევის საბადო, 62°C (0,10)	ათ. ტ ათ. გვ/დღ.	281 673 2 765	49 806 ”	კერასშირი გამდიდრებული ქსენიანშირი, ლიკლიანოლოზები	კრისტალური და სასა- თბურებულებულო-გარეტ გურიოლებული და სხვა.		
ჰიათურის საბადო	ჰიათურის საბადო	ათ. ტ	201 921	12 662	”	”	შევალურებია, კლემტონებური მრეწმილობა, მინს, ლაპ- სალძავების, კრიატიკის წარმოება, სოფლის მეურნეობა...	
მუტლები და იშვათი ლითონები	ჩხარია-ჯაჭვის საბადო (თერჯოლი)	ათ. ტ	5 000	”	მანგანუმი კანკენტრატი	მანგანუმის კანკენტრატი		
	ყვირილის საბადო 1. (თერჯოლი) 2. (ზესტაფინი)	ათ. ტ	1. 8 520 2. 6940	1. 4 380 2. 7 160	”	”	საცალბე მასალა, ნაკ- ორისა და ნაფთობ- ქმნიური მრეწმილობა, მტებალურებია, მშენებ- ლობა, ფარმაცევტიკა, კარგიულერია, მუდვი- ნება და სხვა.	
	ვემინის საბადო (წყალტუბო)	ათ. გ ³	4 100	1 342	”	ბენზონიტური თინები	ბენზონიტები	
ქამბისთავის საბადო (წყალტუბო)	ქამბისთავის საბადო (წყალტუბო)	ათ. გ ³	1 740	”	”	”	”	
ქამიური, აგროქიმიური და სხვა რესურსები	ქალკოტეტული (წყალტუბო) ქუთახი და სხვა რესურსები	ათ. ტ	27 211	2 806	”	კალცოტი	სხვადასხვა ფრაქციად დაფიცილი კალცოტი	

კურსოვია - ეკონომიკა - ECONOMIC

1	2	3	4	5	6	7	8	9
საოცელებრ, სანატორ ქვები და მტრამიგული რესურსები	შროშის საბადო (ზექაფარი) 1. ლეველის საბადო (წყალტუბო); 2. მიროვანის საბადო (ტყიბული)	ათ. გ ³ 6	2 232 1. 100 2. 110	2 " 2 " 2 "	პუბლიცის ქანცნიტოტი საიუველირო-სანატორის წარმოება	პუბლიცის ქანცნიტოტი 1. ასპისი 2. გიშენი სამშენებლო, ღეგორა-ტოული და სხვა მსალაბის წარმოება.	მინისა, ფიაფურისა და კაპანურის მრეწველობა	მინისა, ფიაფურისა და კაპანურის მრეწველობა
მოლითის საბადო (ხარაგაული)	ათ. გ ³ 3 846	594 "	მარმარილოსქებრი კირქვა	მარმარილოს ბლოკები და სხვ.	ბლოკები, ფილები, ბორდიურები, კიბის საფეხურები, ღეგორა-ტოული და სხვა მსალაბის წარმოება.	სამშენებლო, ღეგორა-ტოული და სხვა მსალაბის წარმოება.	მინისა, ფიაფურისა და კაპანურის მრეწველობა	მინისა, ფიაფურისა და კაპანურის მრეწველობა
მოსაპირეთებული და საუნიკები მშები	1. კურსების სამადო (ტყაჭრლი); 2. ლოლაშენის საბადო (ტყიბული); 3. ოფურჩხეიის საბადო (ტყაჭრლი)	ათ. გ ³ 1. 1 495 2. 1 633 3. 3 037	2 " 2 " 2 "	მოსაპირეთებული კირქვა	ტეშენტი	სამშენებლო, ღეგორა-ტოული და სხვა მსალაბის წარმოება.	სამშენებლო, ღეგორა-ტოული და სხვა მსალაბის წარმოება.	სამშენებლო, ღეგორა-ტოული და სხვა მსალაბის წარმოება.
აჯამების საბადო (ზერჯოლი)	ათ. გ 3 477	2 "	ქალციდონი	ქალციდონი, SiO ₂	სილიკამნგანუმის, ბოჭკოვანი გადმცემი საზოგადოებისა და კაბელების წარმოება	სილიკამნგანუმის, ბოჭკოვანი გადმცემი საზოგადოების წარმოება	სილიკამნგანუმის, ბოჭკოვანი გადმცემი საზოგადოების წარმოება	სილიკამნგანუმის, ბოჭკოვანი გადმცემი საზოგადოების წარმოება
მუტალურგიული, ინტრტული და სამშენებლო რესურსები	1. ხონის საბადო (ხონი); 2. შნარის საბადო (ზერჯოლი).	ათ. გ ³ 16 098	2 "	სპარგილითი სპარგილითი	სპარგილითი სპარგილითი სპარგილითი	სპარგილითი აგურის წარმოება	სპარგილითი აგურის წარმოება	სპარგილითი აგურის წარმოება
სათაფლიას საბადო (ქუთაისი)	ათ. გ ³ 1 255	2 099	საუგურე თიხა	თიხა	საშენის მსალების, კერაიკული ნაწარმის და სხვ. წარმოება	საშენის მსალების, კერაიკული ნაწარმის და სხვ. წარმოება	საშენის მსალების, კერაიკული ნაწარმის და სხვ. წარმოება	საშენის მსალების, კერაიკული ნაწარმის და სხვ. წარმოება
პურვების საბადო (ჭიათურა)	ათ. გ ³ 8 637		ჩამიონისასხეული გაზალტი					



ნახ. 6. იმერეთის რეგიონის სამთო-სამრეწველო კლასტერის განზოგადებული სტრუქტურა [13, 14, 15]

ზემოაღნიშნულის თვალსაზრისით, იმერეთის რეგიონის სამთო-სამრეწველო ეკონომიკური განვითარების ანალიზი გვაძლევს საფუძველს დაგასკვნათ, რომ რეგიონის ეკონომიკური აქტივობის უფრო მეტი ზრდისა და დაღებითი ეკონომიკური უფექტის მიღებისათვის, სამთო-სამრეწველო კლასტერების ჩამოყალიბების და ეფექტობრუნვის უფექციონირების მიზნით მნიშვნელოვნად მიგვაჩინა, შემდგენ სტრატეგიული ძირითადი მიმართულებების და საკითხების გათვალისწინება-გადაწყვეტა:

- რეგიონის სოციალურ-ეკონომიკური განვითარების სტრატეგიის შემუშავება ინოვაციური ინფრასტრუქტურული სახეების მ.შ. კლასტერების, ბიზნეს-ინკუბატორებისა და სხვათა ჩამოყალიბების თვალსაზრისით;
- სამთო სექტორში მცირე და საშუალო ბიზნესის განვითარების ხელშეწყობი რეგიონული პროგრამების მომზადება, მათი განხორციელების მექანიზმების გასაზღვრა და მათ ეფექტიან შესრულებაზე კონტროლის დაწესება. არსებულ სამეწარმეო პოტენციალისა და მაღალი ტექნოლოგიების ბაზაზე სამეწარმეო პროდუქტის ახალი სახეობების მაღალეფექტიანი წარმოებების შექმნა.
- სექტორში საინვესტიციო და ბიზნეს გარემოს გაუმჯობესება, სოციალური პასუხისმგებლობის მაღალი სტანდარტების დანერგვა, რაც ითვალისწინებს მინერალური რესურსების ათვისებაში როგორც ადგილობრივი მოსახლეობის სარგებლის მიღებას, ასევე კერძო სექტორის რეალური მოთხოვების გათვალ-

ისწინებას.

- მინერალური რესურსების ეფექტიანი მართვის პროცესში სასაქონლო პროდუქტებით დამატებითი ღირებულების შექმნა, წიაღისეულის ქვეყნის ტერიტორიაზე გადამუშავების ხელშეწყობა და ამ მიზნით მაკორდინირებული ორგანიზაციების ჩამოყალიბება ცენტრალურ და რეგიონულ დონეზე.

მრიგად, რეგიონის მინერალურ-სანედლეულო პოტენციალის წარმოჩენისა და მისი საბაზრო ურთიერთობებში რაციონალური ჩართვის მიზნით აუცილებელია ისეთი ღონისძიებების განხორციელება, რომელიც დაარეგულირებს ამ დარგში საქმიანობის სრულ ციკლს წიაღისეულის მოპოვების, გადამუშავების, საბოლოო ტექნოლოგიატევადი და მაღალეფექტიანი პროდუქტების მიღების და მის მარკეტინგიულ სტრატეგიას (მოთხოვნა, ფასი, ხარისხი და სხვა), ამ პროდუქციის ეფექტიან გასაღებამდე, უზრუნველყოფს მართვის დინამიური სისტემის გამართულ მუშაობას, გაითვალისწინებს მომხმარებლის რეალურ მოთხოვნებს და მინერალურ-სანედლეულო ბაზის საწარმოო შესაძლებლობებს, რომელიც მოიცავს ისეთ მნიშვნელოვან მიმართულებებს, როგორებიცაა წიაღის სარგებლობის, შრომის, გარემოსდაცვითი და სოციალური ზეგავლენის საკითხები, ადგილობრივი მოსახლეობის ინტერესები, რაც თავის მხრივ, მნიშვნელოვნად გაუმჯობესებს რეგიონის სოციალურ-ეკონომიკურ განვითარებას გრძელვადიან პერსპექტივაში.

8. იმერეთის მხარე. პასპორტი. 2007 წელი. 114 გვ.
9. დავითგური ა. ა., ბეთანელი კ. პ. დრ. მინერальные ресурсы Грузии и проблемы их рациональной разработки. „Мецниереба“, Тбилиси, 1991. 279 с.
10. <http://www.geostat.ge/>
11. <http://www.myshared.ru/slide/319634/>
12. Бабкин. А. В., Новиков А.О. Кластер как субъект экономики: сущность, современное состояние, развитие. Санкт-Петербургский Государственный Политехнический Университет, Научно-технические ведомости «Экономические науки», №1(235), Санкт-Петербург, 2016. с. 9-29.
13. Производственные кластеры и конкурентоспособность региона. Монография, колл. авт. под рук. Т.В. Усковой. Ин-т социально экономического развития территорий РАН, Вологда, 2010. 246 с.
14. http://www.ind.kurganobl.ru/assets/files0/klasternye_politiki_i_klaste.pdf
15. Christian Ketels (IVO), Sergiy Protsiv. Clusters and the New Growth Path for Europe. July 2013. 73 p.

ლიტერატურა

1. ე. ბარათაშვილი, ლ. ბერიგაშვილი, რ. ოთინაშვილი, ა. აბრალავა. ბიზნესის ქსე-ლური ორგანიზაცია: კლასტერული მენეჯმენტი და უსაფრთხოება. სტუს და სოხუმის სახელმწიფო უნივერსიტეტის გამომცემლობა, თბილისი, 2013. 208 გვ.
2. ი. გაგნიძე. ქვეყნების კონკურენტუნარიანობა და კლასტერები: ისტორია და თანამედროვეობა. გამოცემლობა „უნივერსალი“, თბილისი, 2012. 120 გვ.
3. წიაღის ეროვნული სააგენტოს მასალები.
4. ზ. ლუდმილაური. კლასტერები – ქართული ბიზნესის კონკურენტუნარიანობის საშუალება. ჟურნალი „ბიზნესი და კანონმდებლობა“, №13-14, თბილისი, 2008. 7გვ.
5. ა. თვალჭრელიძე, ა. სილაგაძე, გ. ქეშელაშვილი, დ. გვერდის. საქართველოს სოციალურ-ეკონომიკური განვითარების პროგრამა. „ნეკერი“, თბილისი, 2011. გვ. 29-64.
6. კომპანია „ჯორჯიან მანგანეზის“ მასალები.
7. კომპანია „საქანახშირის“ მასალები.

LOBJANIDZE G., TABATADZE G.,
NANITASHVILI G.

CURRENT ASPECTS OF THE POTENTIAL
FOR MINING-INDUSTRIAL CLUSTERS
FORMATION IN THE IMERETI REGION

ЛОБДЖАНИДЗЕ Г.З., ТАБАТАДЗЕ Г.Д.,
НАНИТАШВИЛИ Г.Ж.

АКТУАЛЬНЫЕ АСПЕКТЫ ПОТЕНЦИАЛА
ФОРМИРОВАНИЙ ГОРНО-ПРОМЫШЛЕННОГО
КЛАСТЕРА В ИМЕРЕТИНСКОЙ ОБЛАСТИ

ANNOTATION. The paper analyzes the main types of mineral resources, reserves and prospects for their use in the Imereti region; characterized the types of clusters are and their role and importance in the formation of regional and industrial clusters in the effective development of mineral resources from the point of view of growth in value added are determined; developed proposals and practical recommendations on the theoretical and methodological foundations of the stages of formation and implementation of cluster policy in the Imereti region.

KEY WORDS: mineral resources; reserves; economic analysis; regional economy; business sector; competitiveness.

АННОТАЦИЯ. В работе проанализированы основные виды полезных ископаемых, запасы и перспективы их использования в Имеретинской области; охарактеризованы типы кластеров и определены их роль и значение при формирований региональных и промышленных кластеров в эффективном освоений минеральных ресурсов с точки зрения роста добавленной стоимости; разработаны предложения и практические рекомендации по теоретико-методологическим основам этапов формирования и реализации кластерной политики в Имеретинской области.

КЛЮЧЕВЫЕ СЛОВА: минеральные ресурсы; запасы; экономический анализ; региональная экономика; бизнес-сектор; конкурентоспособность.



გოდერძი ტაბათაძე ГОДЕРДЗИ ТАБАТАДЗЕ GODERDZI TABATADZE

საქართველოს ტექნიკური უნივერსიტეტის სამთო-გეოლოგიური ფაკულტეტის პროფესორ-მასწავლებლები ულოცავენ ბატონ გოდერძი ტაბათაძეს დაბადების 80 წლისთავს.

გოდერძი პეტრეს ძე ტაბათაძე დაიბადა ქ. თბილისში 1939 წლის 16 დეკემბერს, 1957 წელს დაამთავრა ქ. თბილისის 31-ე საშუალო სკოლა და იმავე წელს გახდა საქართველოს პოლიტექნიკური ინსტიტუტის სამთო-გეოლოგიური ფაკულტეტის სტუდენტი; აღნიშნული ფაკულტეტი დაამთავრა 1962 წელს სამთო-ინჟინრის კვალიფიკაციით.

1962–1965 წწ.-ში მუშაობდა რუსთავის მეტალურგიული ქარხნის მაღაროთა სამმართველო „სადახლოს“ ინჟინრად, შემდეგ კი, ამავე ქარხნის კირქვების და დოლომიტების საამქროს ცვლის უფროსად.

1965–1979 წწ.-ში იყო საქართველოს მეცნიერებათა აკადემიის სამთო მექანიკის ინსტიტუტის უმცროსი მეცნიერ თანამშრომელი; ასპირანტურის დამთავრების შემდეგ 1977 წელს დაიცვა ქ. მოსკოვში საკანდიდატო დისერტაცია და მიენიჭა ექონომიკის მეცნიერებათა კანდიდატის სამეცნიერო ხარისხი.

1979–1981 წწ.-ში იყო საქართველოს ეკონომიკის სამინისტროსთან არსებული სახალხო მეურნეობის ეკონომიკის, დაგეგმვის და მართვის სამეცნიერო-კვლევითი ინსტიტუტის უფროსი მეცნიერ თანამშრომელი, სექტორის გამგე.

1981–1983 წწ.-ში მუშაობდა საწარმოო გაერთიანება „საქნავთობის“ ლილოს ნავთობგაზ-მომპირგებელი სამმართველოს მთავარი ეკონომისტად; ხოლო, 1983–1984 წწ.-ში საწარმოო გაერთიანება „საქნავთობის“ პროფესიონალის თავჯდომარედ.

1984–1995 წწ.-ში იყო საწარმოო გაერთიანება „საქნავთობის“ ნორმატიულ–საკვლევი სადგურის უფროსი, ხოლო, 1995–2005 წწ.-ში შპს „ნავთობსამეცნიეროს“ ეკონომიკური კვლევების ლაბორატორიის გამგე.

2001 წელს იმყოფებოდა აშშ-ში როგორც საერთაშორისო პროგრამის „ნავთობის შემოსავლების მენეჯმენტი“ წევრი. მიღებული აქვს აშშ-ის ალასკის შტატის პარლამენტის ლირსების სერტიფიკატი.

ბატონი გოდერძი წლების განმავლობაში ეწევა პედაგოგიურ საქმიანობას და ღირსეულად

ემსახურება მაღალი კვალიფიკაციის საინჟინრო კადრების მომზადებას. 1991 წლიდან დღემდე მუშაობს საქართველოს ტექნიკურ უნივერსიტეტში; 1991-2006 წწ.-ში იყო საქართველოს ტექნიკური უნივერსიტეტის სამთო-გეოლოგიისა და ქიმიურ-მეტალურგიული წარმოების ეკონომიკისა და ორგანიზაციის № 49 კათედრის დოცენტი; ხოლო 2006-2017 წწ.-ში ამავე უნივერსიტეტის ეკონომიკისა და მენეჯმენტის №49 მიმართულების პროფესორი და მრავალი წლის მანილზე კითხულობს ლექციებს საჭარბოთ ეკონომიკასა და მენეჯმენტში. წლების განმავლობაში იყო ფაკულტეტის სადისერტაციო საბჭოს წევრი, სამთო საქმისა და გეოლოგიის მენეჯმენტის მიმართულების კოლეგის სხდომის თავჯდომარე და მდივანი.

ბატონ გოდერძი ტაბატაძეს აკადემიურ მოღვაწეობაში პროფესიული აღიარებისათვის, საქართველოს ტექნიკური უნივერსიტეტის აკადემიური საბჭოს გადაწყვეტილებით, უნივერსიტეტში ხანგრძლივი, ნაყოფიერი პედაგოგიური და სამეცნიერო მოღვაწეობისათვის 2017 წელს მიენიჭა დამსახურებული პროფესორის და ემერიტუსის აკადემიური წოდება. ამჟამად ბატონი გოდერძი საქართველოს ტექნიკურ უნივერსიტეტში სასწავლო-სამეცნიერო საქმიანობას სწორედ ემერიტუსის სტატუსით წარმართავს და დღესაც ჩვეული შემართებით და თავდადებით განაგრძობს პედაგოგიურ საქმიანობას. მისი სელმძღვანელობით მომზადებული და დაცულია მრავალი სადოქტორო და სამაგისტრო ნაშრომი. მის მიერ აღზრდილი თაობებიდან მრავალი ცნობილი მეცნიერი და სპეციალისტია.

გ. ტაბატაძეს გამოქვეყნებული აქვს 100-მდე სამეცნიერო ნაშრომი, რომელთა შორისაა სამეცნიერო სტატიები, სახელმძღვანელოები და სხვა. მისი სამეცნიერო მოღვაწეობის ძირითადი თემატიკაა ეკონომიკისა და მენეჯმენტის პრობლემები სამთო საქმისა და გეოლოგიის, ნაგთობისა და გაზის დარგში. არის სამეცნიერო ჟურნალ „საქართველოს ნაგთობისა და გაზის“ სარედაქციო კოლეგიის წევრი. იგი მრავალი ადგილობრივი და საერთაშორისო სემინარისა და კონფერენციის აქტიური მონაწილეა.

განსაკუთრებით საგულისხმოა ბატონ გ. ტაბატაძის ადამიანური თვისებებინ პატიოსნება, შრომისმოყვარეობა, პასუხისმგებლობა, ფართო ერუდიცია, პროფესიონალიზმი, ღრმად განსწავლულობა, გულისხმიერება, მეგობრობა, პატრიოტიზმი, რითაც დიდი სიყვარული და პატივისცემა მოიპოვა კოლეგებსა და ახალგაზრდა თაობებს შორის. ამასთან, ბატონი გოდერძი არის გულისხმიერი, შესანიშნავი ოჯახის მამა, პყავს კეთილშობილი და სათხო მეუღლე ქალბატონი ნანა, ვაჟიშვილი ბექა, რძალი ნატა, შვილიშვილები ალექსანდრე და მარიამი; აღსანიშნავია, რომ ბექა წარმატებულად საქმიანობს პროფესიულ ასპარეზზე - ნაგთობისა და გაზის სახელმწიფო სააგენტოში.

გულითადად ვულოცავთ ბატონ გოდერძი ტაბატაძეს დირსშესანიშნავ საიუბილეო თარიღს - დაბადებიდან 80 წლისთვის და ვუსურვებთ ჯანმრთელობას, დიდხანს სიცოცხლეს და ნაყოფიერ შემოქმედებით მოღვაწეობას.

საქართველოს ტექნიკური უნივერსიტეტის
სამთო-გეოლოგიური ფაკულტეტის პროფესორ-მასწავლებლები
უურნალების „საქართველოს ნაგთობი და გაზი“ და
„სამთო ჟურნალის“ სარედაქციო კოლეგიები

К СВЕДЕНИЮ АВТОРОВ!

ТРЕБОВАНИЯ ДЛЯ ОФОРМЛЕНИЯ И ПРЕДСТАВЛЕНИЯ НАУЧНЫХ СТАТЕЙ В ЖУРНАЛЕ

В «Горном журнале» публикуются материалы (научные статьи, информация, реклама и др.) на грузинском, русском и английском языках. Материалы статьи должны публиковаться впервые (кроме обзора зарубежных изданий, публикуемых по рекомендации Редколлегии), представлять новизну и иметь теоретическую и практическую значимость.

Материал для опубликования должен быть напечатан в формате А4 через один интервал и записан на диске CD. Для подготовки статьи должен использоваться Текстовый редактор Microsoft Word 2007/2010, шрифты: Грузинский – Acad Nusx, размер - 12 пт, русский - Times New Roman, размер - 12 пт, английский - Times New Roman, размер – 12 пт. Поля статьи: верхнее – 2 см; нижнее – 2 см; левое – 3 см; правое – 1,5 см.

Материал статьи должен быть изложен в следующей последовательности:

УДК – размер шрифта 14 пт, ФИО авторов заглавными буквами, шрифт – полужирный, размер шрифта – 12 пт, выравнивание по левому краю.

Заголовок должен быть набран заглавными буквами полужирным шрифтом (размер шрифта – 14 пт) и выравнивается по левому краю.

К статье должна прилагаться **аннотация** на двух языках, отличных от языка, на котором она написана. Авторы должны убедиться, что аннотация написана достаточно простым и понятным языком. **Аннотация** должна кратко излагать предмет статьи и основные содержащиеся в ней выводы. Рекомендуемый средний объем аннотации составляет 600 печатных знаков. Шрифт - курсив, полужирный, выравнивание по ширине страницы. Размер шрифта – 12 пт.

Ключевые слова (на грузинском, русском и английском языках) – обязательны и должны содержать 5-10 слов и словосочетаний. Ключевые слова и словосочетания отделяются друг от друга точкой с запятой. Приведенные ключевые слова должны предельно точно отражать предметную область исследования.

Текст статьи: Размер шрифта – 12 пт, межстрочный интервал – одинарный, красная строка – 1,25 см. Форматирование выравниванием по ширине.

Формулы и математические символы должна

быть выполнены в Microsoft Equation.

Таблицы в тексте должны быть выполнены в редакторе Microsoft Word.

Рисунки и графический материал размещаются в рамках рабочего поля. Допускается использование рисунков в форматах JPEG. Подпись под рисунком, шрифт полужирный, размер - 11 пт, выравнивание по центру, интервал – одинарный, в конце названия рисунка точка не ставится. Убедитесь, что все элементы рисунка указаны в подрисуночной надписи.

Список литературы размещается в конце статьи. Размер шрифта 12 пт., форматирование выравниванием по ширине страницы.

Фамилия и инициалы автора/авторов, название, выходные данные, включая название издательства.

Примеры оформления списка литературы:

ЛИТЕРАТУРА

1. თ. ფირცხალავა. საკარიერო ტექნოლოგიური კომპლექსის მანქანების გამონაბოლქვის მავნე ნივთიერებებით ატმოსფეროს ჰაერის დაბინაურების შესახებ. "სამთო ქურნალი", №1(42), თბილისი, 2019. გვ. 143-149.
2. Pitterson, K.E. The Early History of Circular Sliding Surfaces. Géotechnique, Vol. 5, 1955. pp. 275-296.
3. Емельянова Е.П. Основные закономерности оползневых процессов. Недра, Москва, 1972. 310 с.

К представленным материалам прилагаются данные об авторе (авторах) - место работы, должность, ученая степень и ученое звание, домашний или служебный адрес, телефон, E-mail.

Все статьи обязательно подлежат редакции (научной и технической).

FOR AUTHORS!

REQUIREMENTS FOR PREPARATION AND SUBMISSION SCIENTIFIC ARTICLES IN THE JOURNAL

The Mining Journal publishes materials (scientific articles, information, advertising, etc.) in Georgian, Russian, and English. The materials of the article should be published for the first time (except for a review of foreign publications published on the recommendation of the Editorial Board), represent novelty and have theoretical and practical significance.

Material for publication must be printed in A4 format, line spacing - 1 and recorded on a CD. To prepare the article, the Microsoft Word 2007/2010 Text Editor, fonts: for Georgian - Acad Nusx, font size -12 pt, Russian - Times New Roman, 12 pt, English - Times New Roman, 12 pt should be used. Page margins: up, down - 2 cm; left - 3 cm; right - 1.5 cm.

The material of the manuscript should be presented as follows:

UDC - font size 14 pt, authors' full name in all upper case letters, 12 pt bold, left align.

The title should be typed in all upper case letters, 14 pt bold, and left align.

An abstract should be attached to the article in two languages other than the language in which it is written. Authors need to ensure that **abstracts** are easily readable and understandable to a broad readership. The abstract should accurately reflect the content of the article, contain 600 characters at the average; font - italic, bold, 12 pt; justified.

Keywords (in Georgian, Russian and English) are required and should be between 5-10 words. Keywords are separated by semicolon. The given keywords should accurately reflect the topical area of the study.

Text of the article: Font size - 12 pt, line spacing - single, paragraph indent - 1.25 cm, justified.

Use the Equation editor for **formulas and mathematical symbols**.

For **tables** in the text use the Microsoft Word editor.

Figures and graphical material are placed with-

in the working field. Figures must be presented in JPG format. Each figure should include a caption in bold, size - 11 pt, centered, single spacing, no dot is placed at the end of the caption. Please, make sure to identify all elements found in the figure in the caption.

References follow the text in a separate section headed "REFERENCES.", the font size - 12pt, justified. Surname and initials of the author / authors, name, imprint, including the name of the publisher.

A few examples follow below:

REFERENCES

1. თ. ფირცხალავა. საკარიერო ტექნოლოგიური კომპლექსის მანქანების გამონაბოლქვების მავნე ნივთიერებებით ატმოსფეროს ჰაერის დაბინძურების შესახებ. "შამთო ქურნალი", № 1 (42), ობილისი, 2019. გვ. 143-149.

2. Pitterson, K.E. The Early History of Circular Sliding Surfaces. Géotechnique, Vol. 5, 1955. pp. 275-296.

3. Emelyanova EP The main laws of landslide processes. Nedra, Moscow, 1972. 310 p.

The materials presented are accompanied by data on the author(s) - affiliation, position, academic degree and title, home or business address, phone, E-mail.

All articles must be reviewed (scientific and technical).

ავტორთა საყურადღებო მოთხოვები ზურნალი გამოსაქვეპეპელი სამეცნიერო სტატიების გაცორევების და ფარმოდგენისათვის

„სამთო ჟურნალში“ ქვეყნდება მასალები (სამეცნიერო სტატიები, ინფორმაცია, რეკლამა და სხვა) ქართულ, რუსულ და ინგლისურ ენებზე. სტატიის მასალები უნდა ქვეყნდებოდეს პირველად (უცხოური გამოცემების ანალიზის გარდა, რომლებიც ქვეყნდება რედკოლეგის რეკომენდაციით), წარმოადგენდეს სიახლეს და უნდა ქონდეს გარკვეული თეორიული და პრაქტიკული მნიშვნელობა.

მასალა გამოსაქვეყნებლად დაბეჭდილი უნდა იყოს A4 ფორმატში 1 ინტერვალით და ჩაწერილი უნდა იყოს CD დისკზე. სტატიის მოსამზადებლად გამოყენებული უნდა იქნეს ტექსტური რედაქტორი Microsoft Word 2007/2010, შრიფტი: ქართული - Acad Nusx, ზომა - 12, რუსული - Times New Roman, ზომა - 12. ინგლისური - Times New Roman, ზომა 12. სტატიის ველები: ზედა - 2 სმ, ქვედა - 2 სმ, მარცხენა - 3 სმ, მარჯვენა - 1,5 სმ.

სტატიის მასალა წარმოდგენილი უნდა იქნეს შემდეგი თანმიმდევრობით: უაკ - შრიფტის ზომა 14, ავტორთა გვარები და ინიციალები AcadMtavr ასოებით, შრიფტი - გამუქებული, შრიფტის ზომა 14, გასწორება მარცხენა კიდესთან.

სათაური უნდა აიკრიფოს ასევე AcadMtavr გამოყენებული შრიფტით (შრიფტის ზომა -14) და გასწორდეს მარცხენა კიდეზე.

სტატიას უნდა ახლდეს **ანოტაცია** ორ უცხო ენაზე, რომლებიც არ წარმოადგენენ იმ ენას, რომელზეც სტატიაა დაწერილი. **ანოტაცია** მოკლედ უნდა აღწერდეს სტატიის საგანს და მასში აღწერილ ძირითად შედეგებს. ანოტაციის რეკომენდებული საშუალო მოცულობა შეადგენს 600 ნაბეჭდ ნიშანს. შრიფტი - დახრილი, გამუქებული, გასწორება ფურცლის მარცხენა და მარჯვენა კიდეებთან, შრიფტის ზომა - 12.

საკვანძო სიტყვები (ქართულ, რუსულ და ინგლისურ ენებზე) - აუცილებელია და უნდა შეიცავდეს 5-10 სიტყვას. საკვანძო სიტყვები ერთმანეთისაგან გამოიყოფა წერტილ-მძიმით. მოყვანილი საკვანძო სიტყვები ზუსტად უნდა ასახავდნენ კვლევის საგნობრივ არსს.

სტატიის ტექსტი: შრიფტის ზომა - 12, ინტერვალი სტრიქონებს შორის - 1, აბზაცი - 1,25 სმ,

დაფორმატება: გასწორება ფურცლის მარცხენა და მარჯვენა კიდეებთან.

ფორმულები და მათემატიკური სიმბოლოები შესრულებული უნდა იყოს Microsoft Equation-ში.

ცხრილები ტექსტში შესრულებული უნდა იყოს Microsoft Word რედაქტორში.

სურათები და გრაფიკული მასალა მოქცეული უნდა იყოს სამუშაო ველის ჩარჩოებში. დაშვებულია მათი გამოყენება JPEG ფორმატში. წარწერები სურათებსა და გრაფიკული მასალის ქვეშ გამუქებული, შრიფტით 11, ცენტრში გასწორებული, ინტერვალი - 1, სურათის დასახელების ბოლოს წერტილი არ ისმება.

ლიტერატურა მოთავსებულია სტატიის ბოლოს. შრიფტის ზომა 12, დაფორმატება: გასწორება ფურცლის მარცხენა და მარჯვენა კიდეებთან.

უნდა შეიცავდეს ავტორის/ავტორთა გვარებსა და ინიციალებს, დასახელებას, მონაცემებს გამომცემლობის შესახებ.

ლიტერატურის გაფორმების ნიმუში:

ლიტერატურა

1. თ. ფირცხალავა. საკარიერო ტექნოლოგიური კომპლექსის მანქანების გამონაბოლქვის მავნე ნივთიერებებით ატმოსფეროს პაერის დაბინძურების შესახებ. „სამთო ჟურნალი“, №1(42), თბილისი, 2019. გვ. 143-149.

2. Pitterson, K.E. The Early History of Circular Sliding Surfaces. Géotechnique, Vol. 5, 1955. pp. 275-296.

3. Емельянова Е.П. Основные закономерности оползневых процессов. Недра, Москва, 1972. 310 с.

წარმოდგენილ მასალას უნდა ახლდეს აგრეთვე ინფორმაცია ავტორის (ავტორთა) შესახებ - სამუშაო ადგილი, თანამდებობა, სამეცნიერო ხარისხი და წოდება, სამსახურის ან ბინის მისამართი, ტელეფონი და ელექტრონული ფოსტა (E-mail.)

ყველა სტატია აუცილებლად გაივლის როგორც სამეცნიერო, ასევე ტექნიკურ რედაქტირებას.

რედაქციისგან

სამეცნიერო, საინჟინრო, საინფორმაციო, ანალიზური, რეფერი-რებადი „სამთო ჟურნალი” გამოდის 1998 წლიდან. ამ ხნის გან-მავლობაში ჟურნალი ერთადერთია, რომელშიც ქართულ, რუსულ და ინგლისურ ენაზე სისტემატიურად იპეჭდება სამთო-გეოლოგიური დარგის პრობლემისადმი მიძღვნილი სამეცნიერო ნაშრომები. ჟურნალმა დიდი დახმარება გაუწია არა მხოლოდ ამ დარგში მოღვაწე გამოჩენილ მეცნიერებს, არამედ ბაკალავრიატისა და მაგისტრატურის სტუდენტებს, დოქტორანტებს. მთელი ამ ხნის განმავლობაში ჟურნალის საქმიანობას უდიდესი პროფესიონალიზმით და რუდუნებით უძლვებოდა **თ.მ.დ. პროფ. ლეონ მახარაძე**, რომის პირადი დამსახურებაა, რომ „სამთო ჟურნალი” უდიდესი ავტორიტეტით სარგებლობს საზოგადოებაში და სამეცნიერო წრეებში.

„სამთო ჟურნალის” სარედაქციო კოლეგია განეული ფასდაუდებელი შრომისათვის უღრმეს მადლობას უხდის პროფ. ლ. მახარაძეს, უსურვებს მას ჯანმრთელობას და ხანგრძლივ, ნაყოფიერ სამეცნიერო მოღვაწეობას ჩვენი ქვეყნის საკეთილდღეოდ.